

RELATÓRIO ANUAL  
2017



**CNPEN**

Parte III



## Sumário

ANEXO 1 – Indicadores de Desempenho .....	2
ANEXO 2 – Indicadores Específicos de Projetos: Sirius e SisNano .....	47
ANEXO 3 – Lista de Bolsistas e Pós-doutores .....	61
ANEXO 4 – Referências de Publicações Científicas, Teses e Dissertações e Memorandos Técnicos.....	80
ANEXO 5 – Recomendações da Comissão de Avaliação do Contrato de Gestão .....	173
ANEXO 6 – Recomendações de Órgãos de Controle .....	175
ANEXO 7 – Informações Complementares .....	179
ANEXO 8 – Relatório dos Auditores Independentes.....	182

## ANEXO 1 – Indicadores de Desempenho

ID	Indicador	Eixos de Atuação	Unidade	Tipo	Peso	Qualificação	Meta	Resultado
01	Taxa geral de ocupação das instalações	Todos	%	Uso	01	Eficácia	70%	83%
02	Confiabilidade da fonte de luz síncrotron	Todos	%	D	04	Eficácia	95%	95,4%
03	Taxa de ocupação das instalações por usuários	Eixo 1	%	Uso	01	Eficácia	40%	43%
04	Beneficiários externos das instalações abertas	Eixo 1	Número absoluto	Uso	01	Eficácia	1.800	2.246
05	Propostas realizadas por usuários externos nas instalações abertas	Eixo 1	Número absoluto	Uso	03	Eficácia	900	1.086
06	Índice de satisfação dos usuários externos	Eixo 1	%	D/Uso	02	Efetividade	85%	95,2%
07	Artigos publicados de pesquisadores externos	Eixo 1	Razão	Uso	04	Efetividade	0,75	0,77
08	Taxa de publicação da pesquisa interna	Eixo 2	Razão	Uso	04	Efetividade	2	2,1
09	Qualidade da produção científica interna	Eixo 2	%	Uso	01	Efetividade	50%	53%
10	Taxa de coautoria internacional	Eixo 2	%	Uso	01	Efetividade	30%	41%
11	Parcerias em projetos de P&D com instituições de ensino e pesquisa	Eixo 2	Número absoluto	D	02	Eficiência	20	29
12	Parcerias em projetos de PD&I	Eixo 3	Número absoluto	D	02	Eficiência	35	45
13	Recursos associados à inovação	Eixo 3	%	D	02	Eficiência	8%	16%
14	Tecnologias protegidas	Eixos 2 e 3	Número absoluto	D	01	Efetividade	8	11
15	Horas de capacitação de pesquisadores externos	Eixo 4	Número absoluto	Uso	02	Eficácia	300	239
16	Número de pesquisadores externos capacitados	Eixo 4	Número absoluto	Uso	02	Eficácia	270	296
17	Eventos científicos	Eixo 4	Número absoluto	Uso	02	Eficácia	4	9
18	Pesquisadores de outras regiões capacitados pelo CNPEM	Eixo 4	Número absoluto	Uso	01	Eficácia	80	52

**Indicador 1:****Taxa geral de ocupação das instalações****Eixos de Atuação:**

Eixo 1 – Instalações abertas a usuários externos

Eixo 2 – Pesquisa e desenvolvimento *in-house*

Eixo 3 – Apoio à geração de inovação

Eixo 4 – Treinamento, educação e extensão

**Objetivo Estratégico do CG:**

Prover e manter infraestrutura nacional de classe mundial para pesquisa, desenvolvimento e inovação nas suas áreas de atuação disponibilizada à comunidade de pesquisa acadêmica e industrial.

**Finalidade:**

Medir a taxa de ocupação das instalações dos Laboratórios Nacionais do CNPEM, no ano de referência, por usuários externos, P&D *in-house*, interação com empresas e atividades de treinamento, educação e difusão.

**Descrição:**

Razão entre o número total de horas efetivamente utilizadas nas atividades mencionadas e o número total de horas planejadas para utilização, sendo retiradas as horas de manutenção e paradas programadas das instalações. Consideram-se no cálculo todos os usuários (internos e externos) em atividades relacionadas aos quatro eixos de atuação do CNPEM.

**Fórmula de cálculo:**

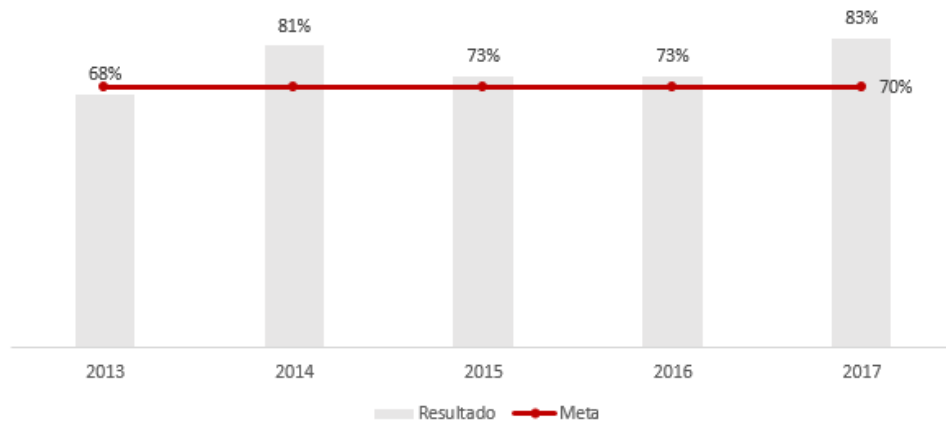
$$\frac{\text{Número de horas efetivamente utilizadas no período}}{\text{Horas previstas de disponibilidade para uso das instalações no período}}$$

**Tipo:** Uso**Peso:** 1**Unidade:** Percentual**Qualificação:** Eficácia**Meta 2017:**

70%

**Resultado 2017:**

83%

**Histórico:**

**Comentário:**

O número de horas disponíveis para uso das instalações é estimado no início do ano e considera as agendas de todas as instalações abertas no Portal de Usuários do CNPEM. As horas disponibilizadas para uso das instalações abertas, denominador do indicador, é o produto dos dias úteis pelo número de horas dos turnos diários da instalação, menos a previsão de horas de manutenção e paradas programadas. As horas efetivamente utilizadas são aquelas associadas às propostas de pesquisa externas e internas agendadas e realizadas e a registros do tempo utilizado na execução de projetos em parceria com empresas, prestações de serviços, treinamento, entre outros eventos especiais.

Em 2017, o indicador superou a meta pactuada em 13 pontos percentuais.

LN	Taxa de Ocupação				
	2013	2014	2015	2016	2017
LNLS	74%	90%	66%	78%	89%
LNBIO	71%	75%	85%	72%	45%
LNNANO	57%	73%	74%	78%	96%
CTBE	-	93%	89%	54%	89%
CNPEM	68%	81%	73%	73%	83%

	Eixo 1	Eixo 2	Eixo 3	Eixo 4	Horas Utilizadas	Horas Disponíveis	Taxa de Ocupação de 2017
LNLS	34024	13818	15	0	47857	53862	89%
LNBIO	5547	4790	236	0	10573	23715	45%
LNNANO	13988	10542	9069	1442	35041	36437	96%
CTBE	2092	6346	6032	24	14494	16359	89%
CNPEM	55651	35496	15352	1466	107965	130373	83%

**Indicador 2:****Confiabilidade de fonte de luz síncrotron****Eixo de Atuação:**

Eixo 1 – Instalações abertas a usuários externos

Eixo 2 – Pesquisa e desenvolvimento *in-house*

Eixo 3 – Apoio à geração de inovação

Eixo 4 – Treinamento, educação e extensão

**Objetivo Estratégico do CG:**

Prover e manter infraestrutura nacional de classe mundial para pesquisa, desenvolvimento e inovação nas suas áreas de atuação disponibilizada à comunidade de pesquisa acadêmica e industrial.

**Finalidade:**

Aferir a capacidade do atendimento técnico da fonte de luz síncrotron aos usuários externos, dentro dos prazos e períodos programados nos agendamentos de realização dos experimentos, estabelecendo padrão de comparação internacional.

**Descrição:**

Razão entre as horas de luz síncrotron entregues aos usuários no tempo programado e as horas previstas na programação de operação da fonte de luz síncrotron.

**Fórmula de cálculo:**

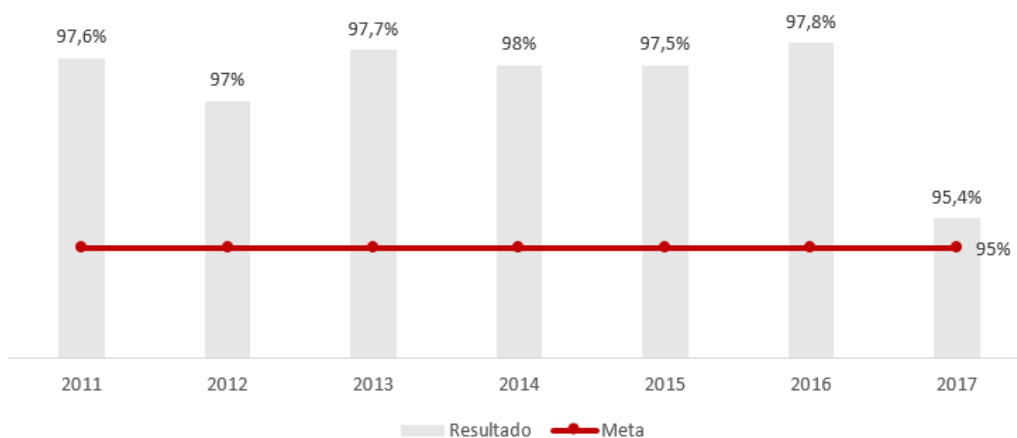
$$\frac{\text{Horas entregues no período}}{\text{Horas previstas no período}}$$

**Tipo:** Desempenho**Peso:** 4**Unidade:** Percentual**Qualificação:** Eficácia**Meta 2017:**

95%

**Resultado 2017:**

95,4%

**Histórico:**

**Comentário:**

A fonte de luz operou para usuários ao longo de todo o ano. Em 2017, foram programadas 3.841 horas de feixe para usuários, das quais foram realizadas 3.663 horas de feixe, o que resultou em confiabilidade de 95,4% no ano. Embora tenha ficado 2% abaixo da média dos últimos cinco anos, o resultado apurado foi levemente superior à meta definida para o ano (95%). A principal razão para a queda de confiabilidade foi um vazamento em um componente da câmara de vácuo da linha de luz DXAS, no trecho longo após a saída de luz na câmara do dipolo 07 do anel, usualmente designado como parte do *front-end* da linha. Outros fatores responsáveis pela queda da confiabilidade foram o longo tempo de recuperação da fonte após alguns eventos de queda do feixe e falhas que exigiram um tempo longo para diagnóstico e reparação. Observa

	Jan	Fev	Mar	Abr	Mai	Jun	Jul	Ago	Set	Out	Nov	Dez	Geral	
<b>Corrente Inicial Média</b>	252,5	251,7	248,1	252,2	252,3	253	252	252,2	252,4	252,1	252,3	252,1	251,9	mA
<b>Corrente Média</b>	185,7	180,1	182,5	174,7	178,9	183,6	176,3	179,6	183,8	183,8	183,4	179,9	180,9	mA
<b>Tempo de Vida Médio</b>	15,1	16,2	15,9	15,2	15,6	15,9	16,3	16,4	17,3	16,6	16,3	16,2	16,1	h
<b>Corrente Integrada</b>	25,7	68	56,1	51,3	71,9	66	40,6	79,2	60,7	66,3	53,5	38,8	678,1	A.h
<b>Tempo de Feixe Programado</b>	153	376	314	284	406	368	230	437	330	406	322	215	3.841	h
<b>Tempo de Feixe no Horário Programado</b>	136,8	370,8	302,1	281,5	389,4	353,9	227,9	432,9	324,8	349,5	281	212,6	3.663	h
<b>Tempo Total de Feixe</b>	138,4	377,6	307,3	293,8	402	359,4	230,6	440,7	330,3	360,6	291,6	215,8	3.748	h
<b>Confiabilidade</b>	89,4	98,6	96,2	99,1	95,9	96,2	99,1	99,1	98,4	86,1	87,3	98,9	95,4	%
<b>Desempenho</b>	113,8	112,9	112,9	110,1	112	113,9	111,8	113,1	115,5	114,7	114,3	112,9	113,2	%



**Indicador 3:****Taxa de ocupação das instalações por usuários externos****Eixos de Atuação:**

Eixo 1 – Instalações abertas a usuários externos

**Objetivo Estratégico do CG:**

Prover e manter infraestrutura nacional de classe mundial para pesquisa, desenvolvimento e inovação nas suas áreas de atuação disponibilizada à comunidade de pesquisa acadêmica e industrial.

**Finalidade:**

Medir a ocupação dos Laboratórios Nacionais do CNPEM por usuários externos no período de referência

**Descrição:**

Razão entre o número de horas efetivamente utilizadas por usuários externos e o número de horas totais disponibilizadas para todos os eixos de atuação

**Fórmula de cálculo:**

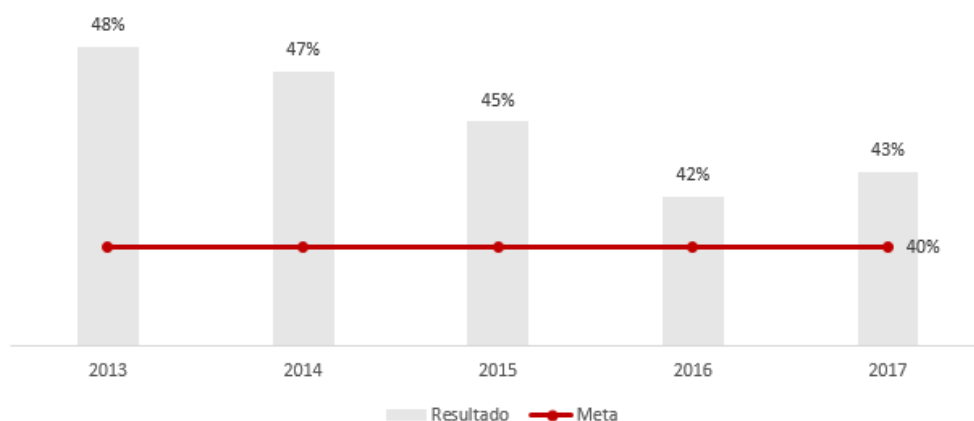
$$\frac{\text{Número de horas efetivamente utilizadas por usuários externos no período}}{\text{Horas previstas de disponibilidade para uso das instalações no período}}$$

**Tipo:** Uso**Peso:** 1**Unidade:** Percentual**Qualificação:** Eficácia**Meta 2017:**

40%

**Resultado 2017:**

43%

**Histórico:****Comentário:**

As horas disponibilizadas para uso das instalações no período, denominador do indicador, é o produto dos dias úteis pelo número de horas dos turnos diários da instalação, menos a previsão de horas de manutenção e de paradas programadas. O número de horas de uso das instalações para atendimento de propostas externas de pesquisa é medido por meio das horas agendadas com essa finalidade no

Portal de Usuários do CNPEM. No cálculo do indicador são consideradas apenas as propostas realizadas.

A distribuição dessas horas de uso entre os Laboratórios Nacionais não é uniforme, refletindo as diferenças de seus objetivos estratégicos e a singularidade de suas instalações.

Em 2017, o resultado apurado para o indicador superou a meta estabelecida em 7,5%. O número de horas dedicadas ao atendimento de propostas externas por Laboratório Nacional apresentou a seguinte distribuição: 61% - LNLS; 25% - LNNano; 10% - LNBio; e 4% - CTBE.

LN	Taxa de Ocupação do Eixo 1				
	2013	2014	2015	2016	2017
<b>LNLS</b>	<b>63%</b>	<b>75%</b>	<b>52%</b>	<b>56%</b>	<b>63%</b>
<b>LNBIO</b>	<b>37%</b>	<b>39%</b>	<b>48%</b>	<b>42%</b>	<b>23%</b>
<b>LNNANO</b>	<b>31%</b>	<b>30%</b>	<b>35%</b>	<b>34%</b>	<b>38%</b>
<b>CTBE</b>		<b>4%</b>	<b>29%</b>	<b>17%</b>	<b>13%</b>
<b>CNPEM</b>	<b>48%</b>	<b>47%</b>	<b>45%</b>	<b>42%</b>	<b>43%</b>

	Eixo 1	Horas Disponíveis	Taxa de Ocupação de 2017
<b>LNLS</b>	<b>34024</b>	<b>53862</b>	<b>63%</b>
<b>LNBIO</b>	<b>5547</b>	<b>23715</b>	<b>23%</b>
<b>LNNANO</b>	<b>13988</b>	<b>36437</b>	<b>38%</b>
<b>CTBE</b>	<b>2092</b>	<b>16359</b>	<b>13%</b>
<b>CNPEM</b>	<b>55651</b>	<b>130373</b>	<b>43%</b>

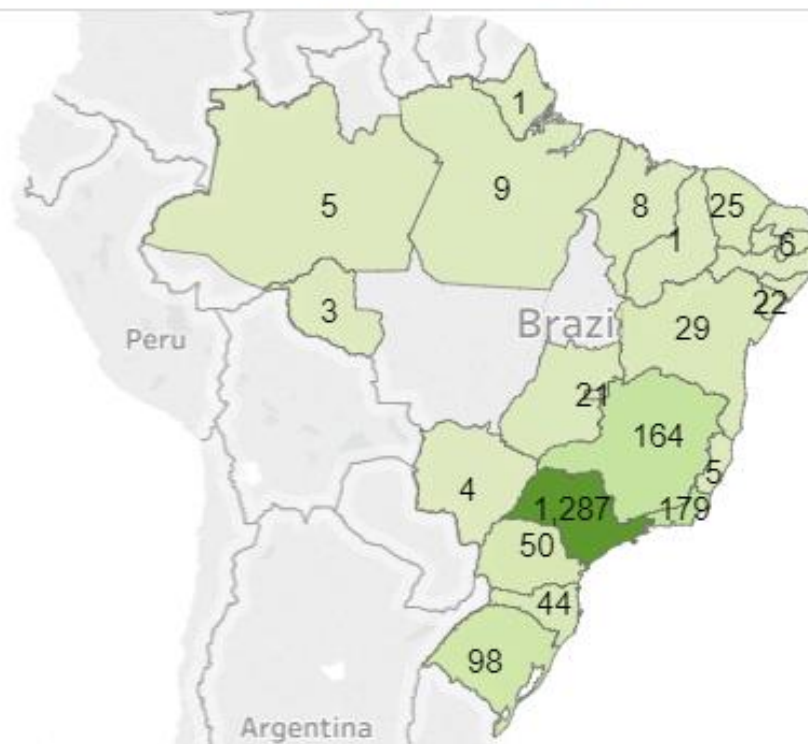
<b>Indicador 4:</b>																								
<b>Beneficiários externos das instalações abertas</b>																								
<b>Eixo de Atuação:</b>																								
Eixo 1 – Instalações abertas a usuários externos																								
<b>Objetivo Estratégico do CG:</b>																								
Prover e manter infraestrutura nacional de classe mundial para pesquisa, desenvolvimento e inovação nas suas áreas de atuação disponibilizada à comunidade de pesquisa acadêmica e industrial.																								
<b>Finalidade:</b>																								
Medir o universo de pesquisadores externos beneficiados pelo uso das instalações abertas do CNPEM, no ano de referência.																								
<b>Descrição:</b>																								
Número de beneficiários externos identificados nas propostas de pesquisa realizadas nas instalações abertas do CNPEM. Para esse cálculo, são considerados os pesquisadores que utilizaram diretamente as instalações e/ou integraram o grupo de pesquisa que realizou a proposta.																								
<b>Fórmula de cálculo:</b>																								
<i>Número total de beneficiários externos das instalações abertas do CNPEM no período</i>																								
<b>Tipo:</b> Uso	<b>Peso:</b> 1	<b>Unidade:</b> Número Absoluto	<b>Qualificação:</b> Eficácia																					
<b>Meta 2017:</b>			1.800																					
<b>Resultado 2017:</b>			2.246																					
<b>Histórico:</b>																								
<table border="1" style="margin: 10px auto; border-collapse: collapse;"> <thead> <tr> <th>Ano</th> <th>Resultado</th> <th>Meta</th> </tr> </thead> <tbody> <tr> <td>2012</td> <td>1812</td> <td>1600</td> </tr> <tr> <td>2013</td> <td>1894</td> <td>1700</td> </tr> <tr> <td>2014</td> <td>1865</td> <td>1700</td> </tr> <tr> <td>2015</td> <td>1911</td> <td>1700</td> </tr> <tr> <td>2016</td> <td>2122</td> <td>1700</td> </tr> <tr> <td>2017</td> <td>2246</td> <td>1800</td> </tr> </tbody> </table>				Ano	Resultado	Meta	2012	1812	1600	2013	1894	1700	2014	1865	1700	2015	1911	1700	2016	2122	1700	2017	2246	1800
Ano	Resultado	Meta																						
2012	1812	1600																						
2013	1894	1700																						
2014	1865	1700																						
2015	1911	1700																						
2016	2122	1700																						
2017	2246	1800																						
<b>Comentário:</b>																								
Em 2017, o indicador alcançou 125% da meta pactuada. Sua metodologia de cálculo prevê a contabilização do número de pesquisadores externos beneficiados com a realização das propostas de pesquisa no CNPEM. O indicador considera cada pesquisador uma única vez, ainda que ele tenha utilizado mais de uma instalação ou que esteja envolvido em mais de uma proposta de pesquisa. Assim,																								

a somatória dos beneficiários por instalação é superior ao número total de pesquisadores beneficiados contabilizado no indicador.

Do total de beneficiários, 88% são brasileiros e 12% de outros países, provenientes de 224 diferentes instituições (Universidades, Institutos de Pesquisa e Desenvolvimento, Fundações e Empresas).

Regiões brasileiras (%)					Nac. & Internacional (%)	
Sul	Sudeste	Norte	Nordeste	Centro-Oeste	Nacional	Internacio..
9.66%	82.09%	0.91%	5.48%	1.86%	88.26%	11.74%

### Mapa de Beneficiários



<b>Beneficiários Externos (sem duplicatas)</b>		<b>2246</b>
<b>Laboratório Nacional de Luz Síncrotron</b>		<b>1429</b>
MX2		128
PGM		90
SAXS1		314
DXAS		83
TGM		48
XAFS1		11
XAFS2		183
XDS		101
XPD		126
XRD1		91
XRD2		135
XRF		130
IMX		92
XTMS		44
SXS		136
IR		75
<b>Laboratório Nacional de Biociências</b>		<b>281</b>
MAS		117
LEC		71
ROBOLAB		32
RMN		72
<b>Laboratório Nacional de Nanotecnologia</b>		<b>628</b>
LCS		133
DSF		23
COM		76
LME		256
LMF		74
LMN		216
<b>Laboratório Nacional de Ciência e Tecnologia do Bioetanol</b>		<b>59</b>
LDB		2
PPDP		6
LAM		14
LDP		7
BVC		9
MET		6
NGS		18

## **Instituições Brasileiras**

Associação Vidárvore  
Centro Brasileiro de Pesquisas Físicas  
Centro de Desenvolvimento da Tecnologia Nuclear  
Centro de Educação Superior Norte  
Centro de Energia Nuclear na Agricultura  
Centro de Pesquisas Odontológicas São Leopoldo Mandic  
Centro de Tecnologia da Informação Renato Archer  
Centro de Tecnologias Estratégicas do Nordeste  
Centro Estadual de Educação Tecnológica Paula Souza  
Centro Federal de Educação Tecnológica Celso Suckow da Fonseca  
Centro Federal de Educação Tecnológica de Minas Gerais  
Centro Infantil de Investigações Hematológicas Dr Domingos A Boldrini  
Centro Odontológico Sanches  
Centro Tecnológico da Marinha  
Centro Tecnológico do Exército  
Centro Universitário da Zona Oeste  
Centro Universitário Salesiano São Paulo  
Comissão Nacional de Energia Nuclear  
DUPONT NUTRITION & HEALTH  
Embrapa  
Empreendimento e Agroassistência LTDA  
Escola Estadual Professora Irene Branco da Silva  
Faculdade de Ciências e Tecnologias de Campos Gerais  
Faculdade de Medicina de São José do Rio Preto  
Faculdade de Tecnologia de São José dos Campos  
Faculdade de Tecnologia de São Paulo  
Faculdade de Tecnologia de Sorocaba  
Faculdade Kennedy  
Faculdade São Leopoldo Mandic  
Faculdade Sudoeste Paulista  
Fundação Antônio Prudente  
Fundação Oswaldo Cruz (Instituto Carlos Chagas)  
Fundação Universidade do Amazonas  
Fundação Universidade Federal de Rondônia  
Fundação Universidade Federal do Rio Grande  
IBILCE  
IEAPM  
Instituto Agrônomo de Campinas  
Instituto Butantan  
Instituto de Aeronáutica e Espaço  
Instituto de Ensino Superior de Indaiatuba  
Instituto de Medicina Integral Prof. Fernando Figueira  
Instituto de Pesquisa e Desenvolvimento

Instituto de Pesquisas Energéticas e Nucleares  
Instituto de Pesquisas Tecnológicas  
Instituto do Câncer do Estado de São Paulo  
Instituto do Coração  
Instituto Federal de Educação, Ciência e Tecnologia da Bahia  
Instituto Federal de Educação, Ciência e Tecnologia do Rio de Janeiro  
Instituto Federal de Santa Catarina  
Instituto Federal de São Paulo  
Instituto Militar de Engenharia  
Instituto Nacional de Metrologia, Qualidade e Tecnologia  
Instituto Nacional de Pesquisas Espaciais  
Instituto Nacional de Tecnologia  
Instituto Nacional de Traumatologia e Ortopedia Jamil Haddad  
Instituto Tecnológico de Aeronáutica  
Metrocamp  
Petrobrás - Cenpes  
Polícia Civil do Distrito Federal  
PUC - Minas Gerais  
PUC - Campinas  
PUC - Rio de Janeiro  
PUC - São Paulo  
Sociedade Brasileira de Métodos Alternativos à Experimentação  
Universidade Anhuera de São Paulo  
Universidade Cruzeiro do Sul  
Universidade de Araraquara  
Universidade de Brasília  
Universidade de Caxias do Sul  
Universidade de Franca  
Universidade de Guarulhos  
Universidade de Pernambuco  
Universidade de São Paulo  
Universidade do Estado de Santa Catarina  
Universidade do Estado do Pará  
Universidade do Estado do Rio de Janeiro  
Universidade do Extremo Sul Catarinense  
Universidade do Sagrado Coração  
Universidade do Vale do Paraíba  
Universidade do Vale do Rio dos Sinos  
Universidade Estadual de Campinas  
Universidade Estadual de Feira de Santana  
Universidade Estadual de Londrina  
Universidade Estadual de Maringá  
Universidade Estadual de Ponta Grossa  
Universidade Estadual de Santa Cruz  
Universidade Estadual do Centro-Oeste

Universidade Estadual Norte Fluminense  
Universidade Estadual Paulista  
Universidade Federal da Bahia  
Universidade Federal da Integração Latino-Americana  
Universidade Federal da Paraíba  
Universidade Federal de Alagoas  
Universidade Federal de Alfenas  
Universidade Federal de Goiás  
Universidade Federal de Itajubá  
Universidade Federal de Juiz de Fora  
Universidade Federal de Lavras  
Universidade Federal de Mato Grosso do Sul  
Universidade Federal de Minas Gerais  
Universidade Federal de Ouro Preto  
Universidade Federal de Pelotas  
Universidade Federal de Pernambuco  
Universidade Federal de Santa Catarina  
Universidade Federal de Santa Maria  
Universidade Federal de São Carlos  
Universidade Federal de São João Del-Rei  
Universidade Federal de São Paulo  
Universidade Federal de Sergipe  
Universidade Federal de Uberlândia  
Universidade Federal de Viçosa  
Universidade Federal do ABC  
Universidade Federal do Amapá  
Universidade Federal do Amazonas  
Universidade Federal do Ceará  
Universidade Federal do Espírito Santo  
Universidade Federal do Estado do Rio de Janeiro  
Universidade Federal do Maranhão  
Universidade Federal do Oeste da Bahia  
Universidade Federal do Oeste do Pará  
Universidade Federal do Pampa  
Universidade Federal do Pará  
Universidade Federal do Paraná  
Universidade Federal do Piauí  
Universidade Federal do Recôncavo da Bahia  
Universidade Federal do Rio de Janeiro  
Universidade Federal do Rio Grande  
Universidade Federal do Rio Grande do Norte  
Universidade Federal do Rio Grande do Sul  
Universidade Federal do Sul e Sudeste do Pará  
Universidade Federal dos Vales do Jequitinhonha e Mucuri  
Universidade Federal Fluminense



Universidade Federal Rural do Rio de Janeiro  
Universidade Paulista  
Universidade Presbiteriana Mackenzie  
Universidade São Francisco  
Universidade Tecnológica Federal do Paraná  
Universidade Tiradentes

**Instituições de outros países**

Advanced Research Center for Nanolithography  
BioNTech  
Brookhaven National Laboratory  
Centre National de la Recherche Scientifique  
Centro Atómico Constituyentes  
Centro Atómico de Bariloche  
Centro de Investigaciones Ópticas  
Chalmers University of Technology  
CICATA  
Clemson University  
Comisión Nacional de Energía Atómica  
Consejo Nacional de Investigaciones Científicas y Técnicas  
Consejo Superior de Investigaciones Científicas  
Consiglio Nazionale delle Ricerche  
Deutsches Elektronen  
École Nationale Supérieure de Chimie de Paris  
European XFEL  
Fundación Instituto Leloir  
HUSLAB-HUS  
IMEC  
Imperial College London  
Institut de Biologie Structurale  
Institut de Ciència de Materials de Barcelona  
Institut Polytechnique de Grenoble  
Institute for Energy Technology  
Instituto de Investigaciones en Ciencia y Tecnología de Materiales  
Instituto de Investigaciones Fisicoquímicas Teóricas y Aplicadas  
Instituto Nacional de Tecnología Industrial  
Instituto Politécnico Nacional  
Johannes Gutenberg Universitaet Mainz  
King Abdullah University of Science and Technology  
Laboratorio de Investigaciones Bioquímicas, Químicas y de Medio Ambiente  
Lund University  
MAX IV Laboratory  
Max Planck Institut für Kohlenforschung  
Max Planck Institute for Chemical Physics of Solids

National University of Lomas de Zamora  
North Carolina State University  
Norwegian University of Science and Technology  
Oklahoma State University  
Pontificia Universidad Católica Argentina  
Pontificia Universidad Católica de Chile  
Pontificia Universidad Católica de Valparaíso  
Synchrotron SOLEIL  
Technical University of Munich  
Teesside University  
The Ohio State University  
Ulm University  
Universidad Austral de Chile  
Universidad Autónoma de San Luis Potosí  
Universidad de Buenos Aires  
Universidad de Chile  
Universidad de la República  
Universidad de Santiago de Chile  
Universidad de Sucre  
Universidad Industrial de Santander  
Universidad Nacional de Asunción  
Universidad Nacional de Colombia  
Universidad Nacional de Córdoba  
Universidad Nacional de General San Martín  
Universidad Nacional de La Plata  
Universidad Nacional de Quilmes  
Universidad Nacional de Río Cuarto  
Universidad Nacional de San Luis  
Universidad Nacional de Tucumán  
Universidad Privada Boliviana  
Universidad Tecnológica Nacional  
Universidade de Santiago de Compostela  
Universidade do Porto  
Universidade Nova de Lisboa  
Universidade Técnica Federico Santa María  
Università Politecnica delle Marche  
Universitat Politècnica de Catalunya  
University of Bath  
University of California at Berkeley  
University of Cape Town  
University of Copenhagen  
University of Gothenburg  
University of Leeds  
University of the Witwatersrand  
University of Toronto

University of Virginia

Uppsala University

Yachay Tech

YPF Tecnología

**Indicador 5:****Propostas realizadas por usuários externos nas instalações abertas****Eixo de Atuação:**

Eixo 1 - Instalações abertas a usuários externos

**Objetivo Estratégico do CG:**

Prover e manter infraestrutura nacional de classe mundial para pesquisa, desenvolvimento e inovação nas suas áreas de atuação disponibilizada à comunidade de pesquisa acadêmica e industrial.

**Finalidade:**

Medir o número de propostas realizadas nas instalações abertas do CNPEM.

**Descrição:**

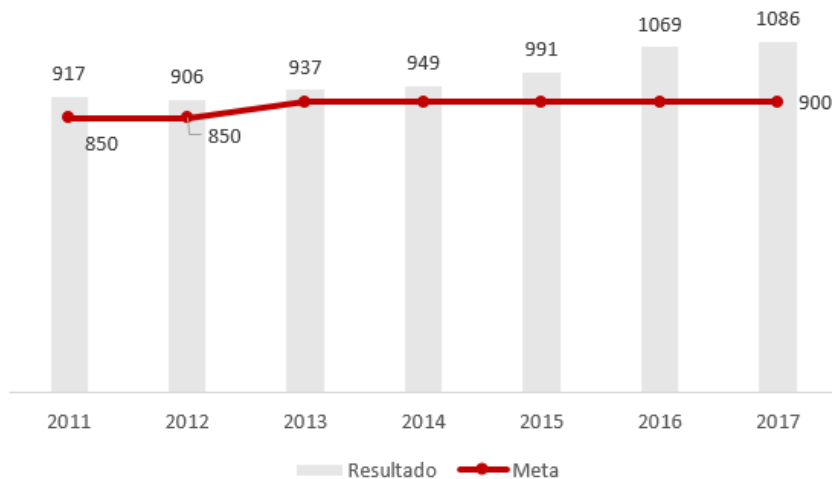
Propostas realizadas por usuários externos nas instalações abertas do CNPEM, no ano de referência.

**Fórmula de cálculo:***Número total de propostas externas realizadas no período***Tipo:** Uso**Peso:** 3**Unidade:** Número Absoluto**Qualificação:** Eficácia**Meta 2017:**

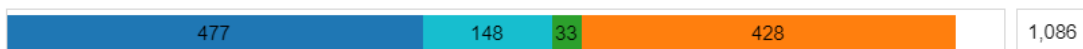
900

**Resultado 2017:**

1.086

**Histórico:****Comentário:**

Este indicador alcançou 121% da meta pactuada em 2017. As propostas de pesquisa externas realizadas nas instalações abertas do CNPEM distribuíram-se da seguinte forma: 44% - LNLS; 39% - LNNANO; 14% - LNBIO e 3% CTBE.



<b>Propostas de Pesquisa Externas</b>		<b>1086</b>
<b>Laboratório Nacional de Luz Síncrotron</b>		<b>477</b>
MX2		53
PGM		25
SAXS1		83
DXAS		22
SXS		28
TGM		8
XAFS1		2
XAFS2		42
XDS		30
XPD		32
XRD1		26
XRD2		34
XRF		33
IMX		24
XTMS		11
IR		24
<b>Laboratório Nacional de Biociências</b>		<b>148</b>
MAS		51
LEC		31
ROBOLAB		40
RMN		26
<b>Laboratório Nacional de Nanotecnologia</b>		<b>428</b>
LCS		69
COM		41
DSF		12
LME		171
LMF		37
LMN		98
<b>Laboratório Nacional de Ciência e Tecnologia do Bioetanol</b>		<b>33</b>
LDB		1
PPDP		2
BVC		5
LDP		4
LAM		7
MET		4
NGS		10

<b>Indicador 6:</b>																											
<b>Índice de satisfação dos usuários externos</b>																											
<b>Eixo de Atuação:</b>																											
Eixo 1 – Instalações abertas a usuários externos																											
<b>Objetivo Estratégico do CG:</b>																											
Prover e manter infraestrutura nacional de classe mundial para pesquisa, desenvolvimento e inovação nas suas áreas de atuação disponibilizada à comunidade de pesquisa acadêmica e industrial.																											
<b>Finalidade:</b>																											
Medir a satisfação dos usuários das instalações abertas de modo sistemático e periódico.																											
<b>Descrição:</b>																											
O indicador mede o índice de satisfação dos usuários externos com a utilização das instalações abertas do CNPEM, no ano de referência, com base em questão específica do formulário aplicado na realização da proposta de pesquisa.																											
<b>Fórmula de cálculo:</b>																											
$\frac{\text{Número de respostas "muito satisfeito" e "satisfeito" no período}}{\text{Número total de respostas no período}}$																											
<b>Tipo:</b> Desempenho e Uso	<b>Peso:</b> 2	<b>Unidade:</b> Percentual	<b>Qualificação:</b> Efetividade																								
<b>Meta 2017:</b>			85%																								
<b>Resultado 2017:</b>			95,2%																								
<b>Histórico:</b>																											
<table border="1" style="margin: 10px auto;"> <thead> <tr> <th>Ano</th> <th>Realizado (%)</th> <th>Meta (%)</th> </tr> </thead> <tbody> <tr> <td>2011</td> <td>85%</td> <td>85%</td> </tr> <tr> <td>2012</td> <td>94%</td> <td>85%</td> </tr> <tr> <td>2013</td> <td>95,2%</td> <td>85%</td> </tr> <tr> <td>2014</td> <td>95%</td> <td>85%</td> </tr> <tr> <td>2015</td> <td>97%</td> <td>85%</td> </tr> <tr> <td>2016</td> <td>92%</td> <td>85%</td> </tr> <tr> <td>2017</td> <td>95,2%</td> <td>85%</td> </tr> </tbody> </table>				Ano	Realizado (%)	Meta (%)	2011	85%	85%	2012	94%	85%	2013	95,2%	85%	2014	95%	85%	2015	97%	85%	2016	92%	85%	2017	95,2%	85%
Ano	Realizado (%)	Meta (%)																									
2011	85%	85%																									
2012	94%	85%																									
2013	95,2%	85%																									
2014	95%	85%																									
2015	97%	85%																									
2016	92%	85%																									
2017	95,2%	85%																									
<b>Comentário:</b>																											
Em 2017, 289 proponentes responderam ao questionário de avaliação de satisfação e 275 declararam-se “muito satisfeitos” ou “satisfeitos” com o uso das instalações abertas. Este resultado corresponde a 95,2% de satisfação. Porém, permanece o desafio de elevar o número de repostas ao questionário de avaliação. No ano, a taxa de resposta alcançou 27% do total de propostas realizadas.																											

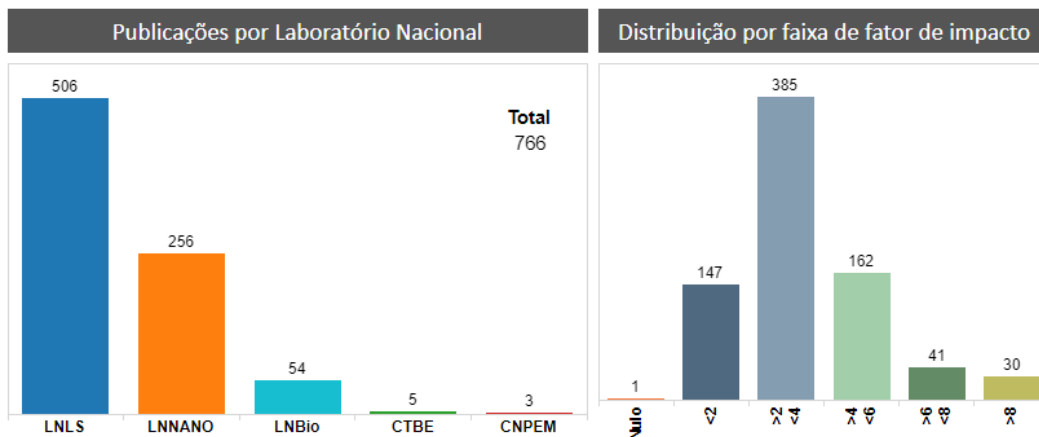
<b>Indicador 7:</b>																					
<b>Artigos publicados por pesquisadores externos</b>																					
<b>Eixo de Atuação:</b>																					
Eixo 1 – Instalações abertas a usuários externos																					
<b>Objetivo Estratégico do CG:</b>																					
Prover e manter infraestrutura nacional de classe mundial para pesquisa, desenvolvimento e inovação nas suas áreas de atuação disponibilizada à comunidade de pesquisa acadêmica e industrial.																					
<b>Finalidade:</b>																					
Aferir resultados das atividades de pesquisa realizadas por pesquisadores externos, decorrentes do uso das instalações abertas do CNPEM, no ano de referência.																					
<b>Descrição:</b>																					
Razão entre o número de artigos de pesquisadores externos ao CNPEM que decorreu do uso das instalações no ano X, indexados na base <i>Web of Science</i> nos anos x, x+1, x+2, e o número de propostas realizadas no ano X.																					
<b>Fórmula de cálculo:</b>																					
$\frac{\text{Número de artigos de pesq. externos na base WoS nos anos } x, x + 1, x + 2}{\text{Número de propostas realizadas no ano } X}$																					
<b>Tipo:</b> Uso	<b>Peso:</b> 4	<b>Unidade:</b> Razão	<b>Qualificação:</b> Efetividade																		
<b>Meta 2017:</b>			0,75																		
<b>Resultado 2017:</b>			0,77																		
<b>Histórico:</b>																					
<table border="1" style="margin: auto;"> <thead> <tr> <th>Ano</th> <th>Resultado</th> <th>Meta</th> </tr> </thead> <tbody> <tr> <td>2013</td> <td>0,69</td> <td>0,75</td> </tr> <tr> <td>2014</td> <td>0,82</td> <td>0,75</td> </tr> <tr> <td>2015</td> <td>0,79</td> <td>0,75</td> </tr> <tr> <td>2016</td> <td>0,79</td> <td>0,75</td> </tr> <tr> <td>2017</td> <td>0,77</td> <td>0,75</td> </tr> </tbody> </table>				Ano	Resultado	Meta	2013	0,69	0,75	2014	0,82	0,75	2015	0,79	0,75	2016	0,79	0,75	2017	0,77	0,75
Ano	Resultado	Meta																			
2013	0,69	0,75																			
2014	0,82	0,75																			
2015	0,79	0,75																			
2016	0,79	0,75																			
2017	0,77	0,75																			
<b>Comentário:</b>																					
Para o ano de 2017, o indicador mede a produtividade científica dos beneficiários das propostas externas realizadas no CNPEM em 2015. Foram considerados todos os artigos publicados em 2015, 2016 e 2017 por pesquisadores envolvidos nas propostas de pesquisa externas a partir do uso das																					

instalações do CNPEM em 2015. Na contabilização das publicações são incluídas apenas aquelas que fazem citação ao uso de instalações dos Laboratórios Nacionais.

Vale observar que ao contrário de outras instituições de pesquisa que medem exclusivamente a produção científica de seus próprios funcionários, o Laboratório Nacional aberto deve aferir também os resultados obtidos por seus usuários externos. Isso implica desafios à metodologia de busca. Devem ser identificadas, inicialmente, todas as possíveis formas de registro dos nomes de cerca de 2000 beneficiários. Num segundo momento, levantam-se todas as possibilidades de citação ao CNPEM, aos Laboratórios Nacionais e a instalações específicas. Historicamente o CNPEM apresenta mais de 120 formas distintas de citação institucional, incluindo citações a instalações, a equipamentos e a laboratórios.

O CNPEM recebe diretamente de seus beneficiários a relação de artigos publicados a partir do uso das instalações, via Portal de Usuários e/ou diretamente pela biblioteca. Contudo, como o número de beneficiários que reporta suas publicações não é totalmente satisfatório, essas informações são utilizadas para checagem no processo de busca. É possível ainda que o número total de artigos publicados esteja subestimado por casos de beneficiários que não fazem citações diretas ao CNPEM, impossibilitando a contabilização de seus artigos.

O número total de artigos computados entre 2015 e 2017 é 766 e o número de propostas realizadas em 2015, 991. Portanto o resultado apurado para o indicador é 0,77, que representa 103% da meta pactuada.





**Indicador 8:**

**Artigos publicados por pesquisadores internos**

**Eixo de Atuação:**

Eixo 2 – Pesquisa e desenvolvimento *in-house*

**Objetivo Estratégico do CG:**

Realizar e difundir pesquisa própria, desenvolvimento e inovação em nível dos melhores laboratórios similares no mundo, em áreas previstas na Política Nacional de Ciência, Tecnologia e Inovação.

**Finalidade:**

Aferir resultados das atividades de pesquisa interna realizadas por pesquisadores e especialistas do CNPEM envolvidos com essas atividades.

**Descrição:**

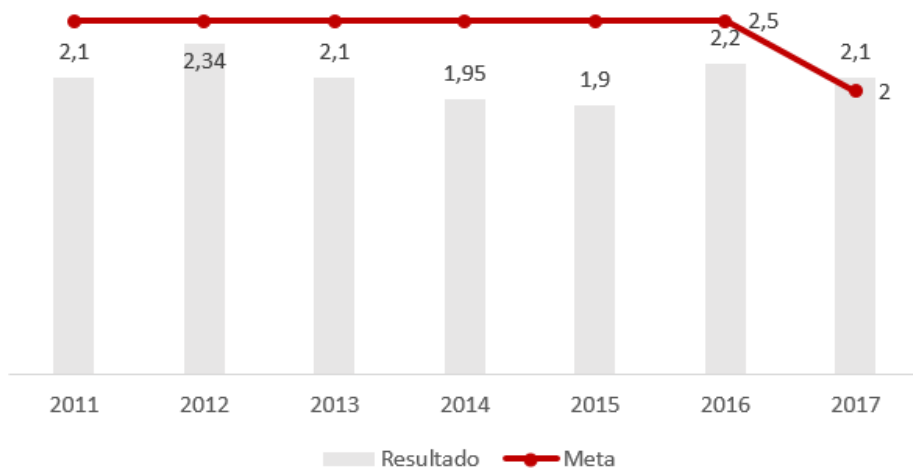
Razão entre o número de artigos publicados por pesquisadores e especialistas do CNPEM em periódicos indexados na base *Web of Science*, no ano de referência, e o número de pesquisadores e especialistas considerados.

**Fórmula de cálculo:**

$$\frac{\text{Número de artigos de pesq. e especialistas internos na base WoS no período}}{\text{Número de pesquisadores e especialistas internos no período}}$$

<b>Tipo:</b> Uso	<b>Peso:</b> 4	<b>Unidade:</b> Razão	<b>Qualificação:</b> Efetividade
<b>Meta 2017:</b>			2
<b>Resultado 2017:</b>			2,1

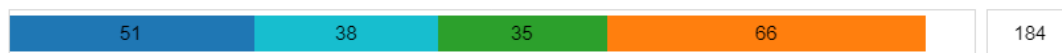
**Histórico:**



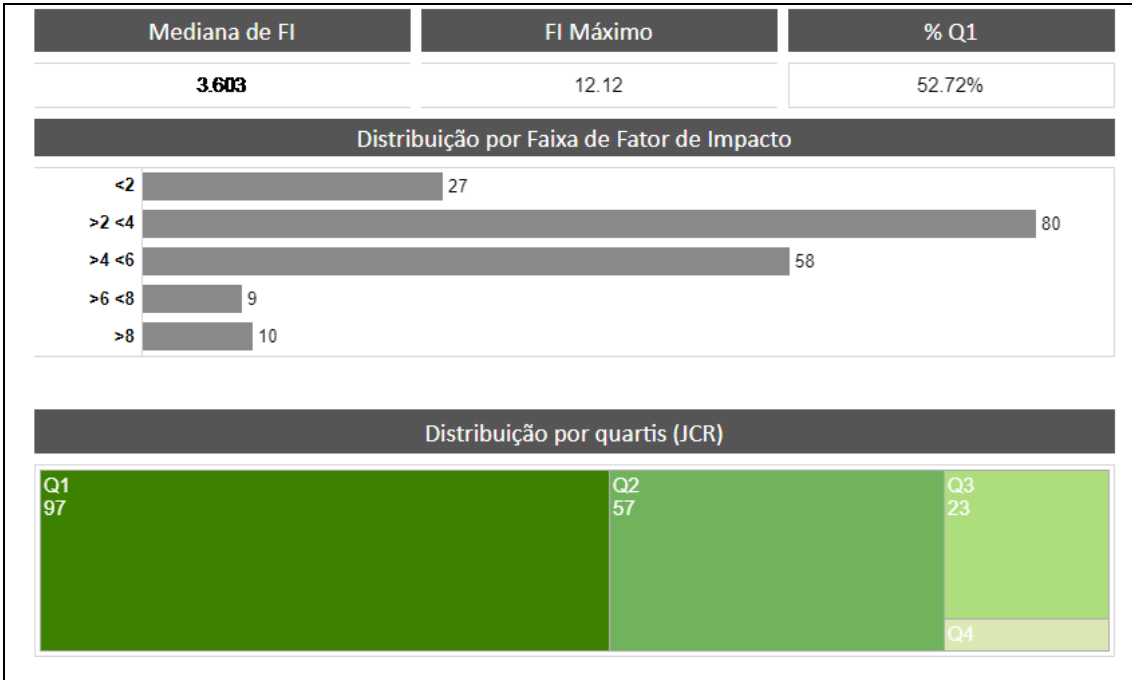
**Comentário:**

O CNPEM conta com 98 pesquisadores na carreira científica, parte deles dedicada a projetos de desenvolvimento tecnológico de grande porte. Por outro lado, há um conjunto de especialistas que coordenam as instalações e também mantêm atividades de pesquisa e desenvolvimento que resultam

em artigos científicos. Para efeito de apuração do indicador, considera-se uma lista de 86 pesquisadores internos. Em 2017, eles foram responsáveis pela publicação de 184 artigos científicos indexados na base *Web of Science*, o que correspondeu a uma taxa de 2,1 artigos por pesquisador interno, superando a meta pactuada para o ano.



<b>Indicador 9:</b>			
<b>Qualidade da produção científica interna</b>			
<b>Eixo de Atuação:</b>			
Eixo 2 – Pesquisa e desenvolvimento <i>in-house</i>			
<b>Objetivo Estratégico do CG:</b>			
Realizar e difundir pesquisa própria, desenvolvimento e inovação em nível dos melhores laboratórios similares no mundo, em áreas previstas na Política Nacional de Ciência, Tecnologia e Inovação.			
<b>Finalidade:</b>			
Aferir resultados das atividades de pesquisa interna realizadas por pesquisadores e especialistas do CNPEM envolvidos com essas atividades.			
<b>Descrição:</b>			
Razão entre número de artigos publicados por pesquisadores/especialistas internos classificados no Quartil 1 e número total de artigos publicados (indexados na base WoS).			
<b>Fórmula de cálculo:</b>			
$\frac{\text{Número de artigos de pesq. e especialistas internos classificados no Quartil 1}}{\text{Número total de artigos publicados}}$			
<b>Tipo:</b> Uso	<b>Peso:</b> 1	<b>Unidade:</b> Razão	<b>Qualificação:</b> Efetividade
<b>Meta 2017:</b>			50%
<b>Resultado 2017:</b>			53%
<b>Histórico:</b> Este indicador passou a compor o Quadro de Indicadores e Metas do Contrato de Gestão em 2017 e por isso não apresenta acompanhamento histórico.			
<b>Comentário:</b>			
A medida utilizada afere a qualidade da produção científica interna, por meio do padrão de quartis do <i>Journal of Citation Report (JCR)</i> . Vale ressaltar que a classificação por quartis é realizada a partir dos fatores de impacto das revistas, respeitando as diferenças amplamente reconhecidas entre áreas do conhecimento.			
Em 2017, 97 artigos publicados foram classificados no primeiro quartil, correspondendo a 52,7% da produção científica total.			



<b>Indicador 10:</b>			
<b>Taxa de coautoria internacional</b>			
<b>Eixo de Atuação:</b>			
Eixo 2 – Pesquisa e desenvolvimento <i>in-house</i>			
<b>Objetivo Estratégico do CG:</b>			
Realizar e difundir pesquisa própria, desenvolvimento e inovação em nível dos melhores laboratórios similares no mundo, em áreas previstas na Política Nacional de Ciência, Tecnologia e Inovação.			
<b>Finalidade:</b>			
Medir o esforço de cooperação dos Laboratórios Nacionais com instituições de ensino e pesquisa, voltado ao fortalecimento da capacidade mútua de solução de problemas científicos e tecnológicos.			
<b>Descrição:</b>			
Razão entre o número de artigos publicado por pesquisadores internos (indexados na base WoS) com coautor filiado a instituições internacionais e o número total de artigos publicado por pesquisadores internos (indexados na base WoS).			
<b>Fórmula de cálculo:</b>			
$\frac{\text{Número de artigos de pesq. e especialistas internos com coautoria internacional}}{\text{Número total de artigos publicados}}$			
<b>Tipo:</b> Uso	<b>Peso:</b> 1	<b>Unidade:</b> Razão	<b>Qualificação:</b> Efetividade
<b>Meta 2017:</b>			30%
<b>Resultado 2017:</b>			41%
<b>Histórico:</b> Este indicador passou a compor o Quadro de Indicadores e Metas do Contrato de Gestão em 2017 e por isso não apresenta acompanhamento histórico.			
<b>Comentário:</b>			
O indicador mede o número total de artigos publicados por pesquisadores internos que apresenta coautores vinculados a organizações internacionais. Em 2017, 75 publicações contaram com autores internacionais, envolvendo 139 instituições.			

### Coautoria Internacional de Artigos Internos



### Artigos Internos

Participações Internacionais	Exclusivos Nacionais	Total geral
75	109	184

### Taxa de Coautoria Internacional

41%

**Indicador 11:****Parcerias em projetos de P&D com instituições de ensino e pesquisa****Eixo de Atuação:**Eixo 2 – Pesquisa e desenvolvimento *in-house***Objetivo Estratégico do CG:**

Implantar e gerir a infraestrutura do CNPEM, visando ganhos de eficiência e eficácia mediante mecanismos de gestão, informação e difusão.

**Finalidade:**

Medir o esforço de cooperação dos Laboratórios Nacionais com instituições de ensino e pesquisa, voltado ao fortalecimento da capacidade mútua de solução de problemas científicos e tecnológicos.

**Descrição:**

Para a apuração deste indicador são contabilizados acordos de cooperação e contratos formalizados com instituições de ensino e pesquisa, vigentes no ano de referência.

**Fórmula de cálculo:**

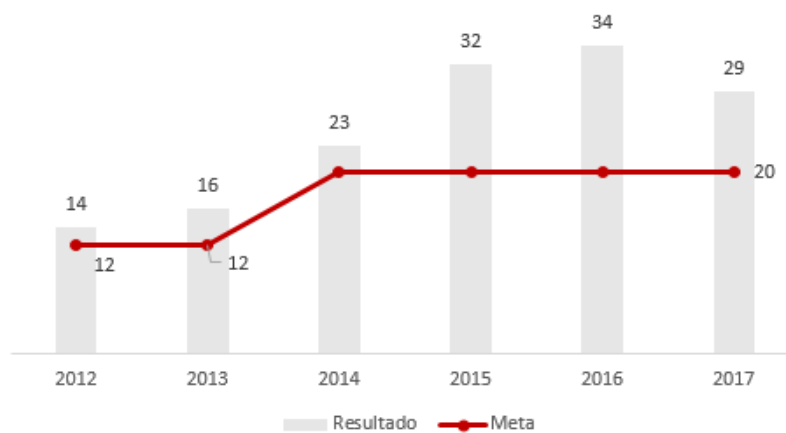
*Número total de acordos e contratos com instituições de ensino e pesquisas  
vigentes no período*

**Tipo:** Desempenho**Peso:** 2**Unidade:** Número Absoluto**Qualificação:** Eficiência**Meta 2017:**

20

**Resultado 2017:**

29

**Histórico:****Comentário:**

Em 2017, o indicador alcançou 135% da meta pactuada. Ao final desse ano, o CNPEM mantinha 29 acordos com instituições de ensino e pesquisa, no Brasil e no exterior.

LN	Instituição Parceira	Início da Vigência	Fim da Vigência
CNPEM	Laboratório Nacional de Energia e Geologia, I.P., Portugal	05/12/2016	05/12/2020
CNPEM	Universidade Federal do Rio de Janeiro	20/12/2013	19/12/2019
CTBE	Universidade Federal de Pernambuco	27/06/2016	27/01/2017
CTBE	Max-Planck Institute	17/06/2014	16/06/2017
CTBE	Forschungszentrum Jülich GmbH - Jülich Leibniz-Zentrum für Agrarlandschaftsforschung e.V. - Zalf Federal Institute of Goiás - IFG Federal University of Goiás - UFG	11/05/2015	31/12/2017
CTBE	Universidade Estadual de Campinas - UNICAMP	01/10/2015	28/02/2017
CTBE	University of British Columbia	29/02/2016	29/02/2019
CTBE	Fundação Universidade de Caxias do Sul - FUCS	11/12/2009	10/06/2017
CTBE	Universidade Estadual de Campinas - UNICAMP	05/06/2017	04/06/2018
CTBE	Universidade Estadual de Campinas - UNICAMP	19/07/2017	19/07/2018
CTBE	Universidade Estadual de Campinas - UNICAMP	01/03/2016	28/02/2021
LN BIO	Instituto D'Or de Pesquisa e Ensino	28/03/2016	28/03/2017
LN BIO	Fundação Antonio Prudente (Hospital A.C. Camargo)	04/11/2012	03/11/2017
LN Bio	MS Recepta	30/12/2013	30/05/2018
LN BIO	Universidade de São Paulo (USP), através do Instituto de Química de São Carlos (IQSC)	17/03/2015	16/03/2020
LN Bio	Instituto Nacional de Metrologia, Qualidade e Tecnologia - INMETRO Fundação Oswaldo Cruz - FIOCRUZ Instituto Nacional de Controle de Qualidade em Saúde - INCQS	04/08/2015	04/09/2020
LN BIO	Fundação Centros de Referência em Tecnologias Inovadoras	19/08/2011	18/08/2021
LN BIO	The Rector and Visitors of the University of Virginia	16/09/2016	16/09/2021
LN BIO	UNIMORE - Università Degli Studi Di Modena E Reggio Emilia	01/02/2014	31/01/2017
LNLS	European Organization for Nuclear Research	16/01/2013	15/01/2017
LNLS	Brookhaven Science Associates	16/12/2011	15/12/2021
LNLS	European Organization for Nuclear Research	14/01/2013	Indeterminado
LNLS	Universidade Estadual de Campinas - UNICAMP	31/03/2016	30/03/2018
LNNano	Fraunhofer-Gesellschaft zur Förderung der angewandten Forschung e.V.	01/09/2014	31/08/2017
LNNANO	The National Center for Nanoscience and Nanotechnology (NERCN)	05/09/2012	27/09/2017
LNNano	Fraunhofer-Gesellschaft zur Förderung der angewandten Forschung e.V.	01/04/2015	31/03/2018
LNNANO	Fundação de Desenvolvimento de Pesquisa - FUNDEP e Instituto de Biologia Molecular do Paraná - IBMP	24/08/2016	24/08/2018
LNNano	Instituto de Biologia Molecular o Paraná - IBMP	02/06/2015	01/06/2020
SIRIUS	Universidade Federal de Juiz de Fora	16/03/2016	16/03/2018



<b>Indicador 12:</b>																											
<b>Parcerias em projetos PD&amp;I</b>																											
<b>Eixo de Atuação:</b>																											
Eixo 3 – Apoio à geração de inovação																											
<b>Objetivo Estratégico do CG:</b>																											
Implantar e gerir a infraestrutura do CNPEM, visando ganhos de eficiência e eficácia mediante mecanismos de gestão, informação e difusão.																											
<b>Finalidade:</b>																											
Medir o esforço de cooperação dos Laboratórios Nacionais com empresas para o fortalecimento da capacidade de inovação no País.																											
<b>Descrição:</b>																											
Para a apuração deste indicador serão contabilizados acordos de cooperação formalizados com empresas, vigentes no ano de referência.																											
<b>Fórmula de cálculo:</b>																											
<i>Número total de acordo com empresas vigentes no período</i>																											
<b>Tipo:</b> Desempenho	<b>Peso:</b> 2	<b>Unidade:</b> Número Absoluto	<b>Qualificação:</b> Eficiência																								
<b>Meta 2017:</b>			35																								
<b>Resultado 2017:</b>			45																								
<b>Histórico:</b>																											
<table border="1"> <thead> <tr> <th>Ano</th> <th>Resultado</th> <th>Meta</th> </tr> </thead> <tbody> <tr> <td>2011</td> <td>23</td> <td>16</td> </tr> <tr> <td>2012</td> <td>24</td> <td>16</td> </tr> <tr> <td>2013</td> <td>32</td> <td>24</td> </tr> <tr> <td>2014</td> <td>39</td> <td>39</td> </tr> <tr> <td>2015</td> <td>42</td> <td>39</td> </tr> <tr> <td>2016</td> <td>45</td> <td>39</td> </tr> <tr> <td>2017</td> <td>45</td> <td>39</td> </tr> </tbody> </table>				Ano	Resultado	Meta	2011	23	16	2012	24	16	2013	32	24	2014	39	39	2015	42	39	2016	45	39	2017	45	39
Ano	Resultado	Meta																									
2011	23	16																									
2012	24	16																									
2013	32	24																									
2014	39	39																									
2015	42	39																									
2016	45	39																									
2017	45	39																									
<b>Comentário:</b>																											

Ao final de 2017, o CNPEM registrava 45 projetos em parceria com empresas de diversos portes e setores de aplicação. Tradicionalmente, este indicador apresenta resultados superiores à meta pactuada.

LN	Empresa Parceira	Setor de Aplicação	Início da Vigência	Fim da Vigência
CTBE	Raízen Energia S/A	Agrícola	20/03/2013	19/03/2018
CTBE	Empresa Brasileira de Pesquisa Agropecuária	Agrícola	01/12/2016	31/05/2018
CTBE	Brasil Kirin Indústria de Bebidas S/A	Alimentício	03/10/2016	31/05/2017
CTBE	Brasil Kirin Indústria de Bebidas S/A	Alimentício	02/06/2017	28/08/2017
LNBO	Brasil Kirin Indústria de Bebidas S/A	Alimentício	19/12/2014	18/12/2017
LNNANO	Tecnodrill Indústria de Máquinas Ltda	Automação	10/07/2013	09/07/2018
LNNANO	Mahle Metal Leve S/A	Automobilístico	24/04/2013	31/10/2017
CTBE	DOW Brasil Sudeste Industrial Ltda e DSM South America Ltda	Biocombustíveis	14/03/2014	31/12/2017
CTBE	Eli Lilly do Brasil Ltda	Biocombustíveis	02/09/2013	02/09/2018
CTBE	Empresa Brasileira de Pesquisa Agropecuária	Biocombustíveis	24/03/2014	23/04/2020
CTBE	Mahle Metal Leve S/A	Biocombustíveis	19/09/2016	30/06/2019
LNBO	Cencoderma Instituição de Pesquisa e Desenvolvimento de Cosméticos Ltda (Boticário)	Cosméticos	27/11/2015	31/12/2018
LNLS	WEG Equipamentos Elétricos S/A	Engenharia	14/02/2014	14/12/2017
LNBO	Recepta Biophama	Fármacos	25/02/2014	24/05/2017
LNBO	ChromaDex Inc	Fármacos	03/04/2014	02/04/2019
LNBO	ColOff Industrial Ltda EPP	Fármacos	26/02/2014	26/02/2017
LNBO	Phytobios Pesquisa, Desenvolvimento e Inovação Ltda	Fármacos	05/08/2014	24/01/2018
LNBO	Natura Inovação e Tecnologia de Produtos Ltda	Fármacos	18/10/2010	05/11/2019
LNBO	Aché Laboratórios Farmacêuticos S.A e Phytobios Pesquisa, Desenvolvimento e Inovação LTDA	Fármacos	30/08/2017	29/08/2022
LNBO	Aché Laboratórios Farmacêuticos S.A e Phytobios Pesquisa, Desenvolvimento e Inovação LTDA	Fármacos	30/08/2017	29/08/2022
LNBO	Phytobios Pesquisa, Desenvolvimento e Inovação Ltda	Fármacos	14/09/2017	13/09/2032
LNNANO	Nova Analítica Importação e Exportação Ltda	Instrumentação	30/04/2015	29/04/2017
SIRIUS	BRPHOTONICS Produtos Optoeletrônicos Ltda	Instrumentação	18/05/2016	17/01/2018
LNNANO	Votorantim Metais Embraer S.A.	Materiais	28/09/2015	28/08/2020
SIRIUS	Engecer Ltda.	Materiais	01/12/2015	01/12/2017
LNNANO	Petróleo Brasileiro S/A PETROBRAS	Microfabricação	29/01/2016	27/01/2018
LNNANO	Omnis Biotecnologia S.A	Nanomateriais	11/08/2016	10/08/2018
LNNANO	Ticon Indústria, Comércio, Importação e Exportação de Tintas Condutivas Ltda	Nanomateriais	06/09/2016	05/09/2018
LNNANO	Confidencial (Empresa Setor Automotivo)	Nanomateriais	21/07/2017	20/03/2019
LNLS	ADEST Técnicas para soldagem de Metais Ltda	Petrolífero	15/06/2007	14/06/2027
LNNANO	Petróleo Brasileiro S/A PETROBRAS	Petrolífero	10/09/2013	05/07/2017
LNNANO	FMC Technologies do Brasil Ltda	Petrolífero	17/07/2014	30/03/2017
LNNANO	Petróleo Brasileiro S/A PETROBRAS	Petrolífero	23/12/2014	22/12/2017
LNNANO	Petróleo Brasileiro S/A PETROBRAS	Petrolífero	09/12/2014	07/12/2017

CTBE	Braskem S/A	Química Verde	12/06/2013	11/06/2020
CTBE	Empresa Brasileira de Pesquisa Agropecuária	Química Verde	18/03/2015	17/03/2018
LNNANO	Petróleo Brasileiro S/A PETROBRAS	Sensores e dispositivos	16/08/2016	15/08/2019
LNNANO	Comp Line Informática Ltda	Sensores e dispositivos	23/10/2016	22/10/2018
LNNANO	Petróleo Brasileiro S/A PETROBRAS	Sensores e dispositivos	27/12/2017	25/06/2019
CTBE	Açucareira Quatá S/A e Companhia Agrícola Quatá	Sustentabilidade	09/11/2015	09/05/2019
CTBE	Pedra Agroindustrial S/A	Sustentabilidade	05/09/2016	05/09/2021
CTBE	Usina Santa Isabel - Unidade de Mendonça S/A	Sustentabilidade	20/09/2016	20/09/2021
CTBE	Dedini S/A Indústria de Base	Sustentabilidade	28/09/2016	27/09/2021
CTBE	PNUD Usinas	Sustentabilidade	20/04/2015	31/12/2019
CTBE	União da Agroindústria Canavieira do Estado de SP	Sustentabilidade	12/04/2016	12/04/2020

<b>Indicador 13:</b>																					
<b>Recursos associados à inovação</b>																					
<b>Eixo de Atuação:</b>																					
Eixo 3 – Apoio à geração de inovação																					
<b>Objetivo Estratégico do CG:</b>																					
Implantar e gerir a infraestrutura do CNPEM, visando ganhos de eficiência e eficácia mediante mecanismos de gestão, informação e difusão.																					
<b>Finalidade:</b>																					
Aferir o volume de recursos associados a projetos de parceria e contratos de prestação de serviços envolvendo empresas dos setores de agricultura, indústria e serviços.																					
<b>Descrição:</b>																					
Razão entre o volume de recursos associados a projetos de parceria e contratos de prestação de serviços diretamente relacionados à inovação e o volume de recursos recebidos, no ano de referência.																					
<b>Fórmula de cálculo:</b>																					
$\frac{\text{Recursos de projetos e contratos com empresas recebidos no período}}{\text{Recursos totais recebidos no período}}$																					
<b>Tipo:</b> Desempenho	<b>Peso:</b> 2	<b>Unidade:</b> Percentual	<b>Qualificação:</b> Eficiência																		
<b>Meta 2017:</b>			8%																		
<b>Resultado 2017:</b>			16%																		
<b>Histórico:</b>																					
<table border="1" style="margin: auto;"> <thead> <tr> <th>Ano</th> <th>Resultado (%)</th> <th>Meta (%)</th> </tr> </thead> <tbody> <tr> <td>2013</td> <td>12%</td> <td>8%</td> </tr> <tr> <td>2014</td> <td>16%</td> <td>8%</td> </tr> <tr> <td>2015</td> <td>25%</td> <td>8%</td> </tr> <tr> <td>2016</td> <td>13%</td> <td>8%</td> </tr> <tr> <td>2017</td> <td>16%</td> <td>8%</td> </tr> </tbody> </table>				Ano	Resultado (%)	Meta (%)	2013	12%	8%	2014	16%	8%	2015	25%	8%	2016	13%	8%	2017	16%	8%
Ano	Resultado (%)	Meta (%)																			
2013	12%	8%																			
2014	16%	8%																			
2015	25%	8%																			
2016	13%	8%																			
2017	16%	8%																			
<b>Comentário:</b>																					
Em 2017, foram recebidos R\$ 13,7 milhões provenientes de projetos em parceria com empresas e de contratos de prestação de serviços voltados à inovação. No mesmo ano, o CNPEM recebeu um volume																					

de R\$ 82,8 milhões de todas as fontes, incluindo o Contrato de Gestão. Portanto, o resultado apurado para o indicador foi 16%.

**Data base: 31/12/2017**

<b>Recursos de Projetos e Contratos com empresas</b>	<b>13.653</b>
Convênios com Inovação	11.885
Devolução de Convênios e Projetos	-89
Prestação de Serviços	1.857
<b>Recursos Totais Recebidos</b>	<b>82.847</b>
Contrato de Gestão - 2017	54.877
Restos a pagar 2016 - Operação	-
Convênios e Projetos	14.839
Devolução de Convênios e Projetos	-155
Prestação de Serviço	1.862
Rendimento Financeiro	6.209
Outras Receitas	1.529
Auxílios Individuais (Recursos executados)	3.685

<b>Indicador 14:</b>																								
<b>Tecnologias protegidas</b>																								
<b>Eixo de Atuação:</b>																								
Eixo 2 – Pesquisa e desenvolvimento <i>in-house</i>																								
Eixo 3 – Apoio à geração de inovação																								
<b>Objetivo Estratégico do CG:</b>																								
Realizar e difundir pesquisa própria, desenvolvimento e inovação em nível dos melhores laboratórios similares no mundo, em áreas previstas na Política Nacional de Ciência, Tecnologia e Inovação.																								
<b>Finalidade:</b>																								
Aferir resultados das atividades de pesquisa e desenvolvimento próprias dos Laboratórios Nacionais do CNPEM.																								
<b>Descrição:</b>																								
Para a apuração deste indicador são contabilizados pedidos de patentes, registros de <i>software</i> e modelos de utilidade depositados no Instituto Nacional de Propriedade industrial ou em outros escritórios de patentes, no ano de referência.																								
<b>Fórmula de cálculo:</b>																								
<i>Número total de pedidos de propriedade intelectual depositados no período</i>																								
<b>Tipo:</b> Desempenho	<b>Peso:</b> 1	<b>Unidade:</b> Número Absoluto	<b>Qualificação:</b> Efetividade																					
<b>Meta 2017:</b>			8																					
<b>Resultado 2017:</b>			11																					
<b>Histórico:</b>																								
<table border="1" style="margin: auto;"> <thead> <tr> <th>Ano</th> <th>Resultado</th> <th>Meta</th> </tr> </thead> <tbody> <tr> <td>2012</td> <td>6</td> <td>7</td> </tr> <tr> <td>2013</td> <td>10</td> <td>6</td> </tr> <tr> <td>2014</td> <td>9</td> <td>9</td> </tr> <tr> <td>2015</td> <td>9</td> <td>9</td> </tr> <tr> <td>2016</td> <td>5</td> <td>9</td> </tr> <tr> <td>2017</td> <td>11</td> <td>8</td> </tr> </tbody> </table>				Ano	Resultado	Meta	2012	6	7	2013	10	6	2014	9	9	2015	9	9	2016	5	9	2017	11	8
Ano	Resultado	Meta																						
2012	6	7																						
2013	10	6																						
2014	9	9																						
2015	9	9																						
2016	5	9																						
2017	11	8																						
<b>Comentário:</b>																								
Em 2017, o CNPEM depositou onze novos pedidos de propriedade intelectual, número superior à meta estabelecida para o ano. O resultado inclui 8 pedidos de patente, 1 registro de <i>software</i> , 1 registro de topografia e 1 modelo de utilidade.																								

Processo	Título	Data de solicitação de registro	LN
BR 102017005782-8	Método de aplicação de doses de nitrogênio a taxas variadas em culturas	21/03/2017	CTBE
BR 10 2017 008751-4	Procedimento para quantificar o teor de hidrogênio em juntas soldadas pelo processo de soldagem por atrito com pino não consumível (FSW)	27/04/2017	LNNANO
BR 102017011800-2	Processo para produção de açúcar e etanol a partir de soluções impuras de sacarose de cana-de-açúcar contendo níveis elevados de não-sacarose	02/06/2017	CTBE
BR 60 2017 000002-5	Arranjo Peak Hunter para Módulo de cromatografia gasosa	13/06/2017	LNNANO
BR 51 2017 000683-0	Peak Hunter	13/06/2017	LNNANO
BR 102017014282-5	Módulo de plantio para desagregação, ordenamento e dosagem de rebolo	30/06/2017	CTBE
BR 10 2017 019178-8	Instrumento para movimentação e posicionamento de elementos ópticos com resolução e estabilidade mecânica nanométricas em linhas de luz	06/09/2017	LNLS
BR 102017023632-3	Fertilizante preparado a partir de biocarvão, processo de obtenção e material para propagação vegetal	01/11/2017	CTBE
BR 20 2017 025743-1	cultivo mínimo de solo com sulcador, subsolador e enxada rotativa	29/11/2017	CTBE
BR 10 2017 026594 3	Processo de preparo de extrato de guaraná	08/12/2017	CTBE
BR 10 2017 026595 1	Composição e método para mosturação de malte	08/12/2017	CTBE

<b>Indicador 15:</b>			
<b>Horas de capacitação de pesquisadores externos</b>			
<b>Eixo de Atuação:</b>			
Eixo 4 – Treinamento, educação e extensão			
<b>Objetivo Estratégico do CG:</b>			
Implantar e gerir a infraestrutura do CNPEM, visando ganhos de eficiência e eficácia mediante mecanismos de gestão, informação e difusão.			
<b>Finalidade:</b>			
Medir o esforço dos Laboratórios Nacionais na capacitação de pesquisadores da comunidade científica e tecnológica brasileira.			
<b>Descrição:</b>			
Número total de horas de eventos de capacitação organizados pelo CNPEM			
<b>Fórmula de cálculo:</b>			
<i>Número total horas de eventos de capacitação organizados pelo CNPEM</i>			
<b>Tipo:</b> Uso	<b>Peso:</b> 2	<b>Unidade:</b> Número Absoluto	<b>Qualificação:</b> Eficácia
<b>Meta 2017:</b>			300
<b>Resultado 2017:</b>			239
<b>Histórico:</b> Este indicador passou a compor o Quadro de Indicadores e Metas do Contrato de Gestão em 2017 e por isso não apresenta acompanhamento histórico.			
<b>Comentário:</b>			
Em 2017, o CNPEM promoveu sete cursos de capacitação, somando 239 horas de atividades teóricas e práticas. Este resultado corresponde a 80% da meta pactuada.			
Eventos de Capacitação de 2017:			
<ul style="list-style-type: none"> <li>• 1ª Escola Brasileira de Síncrotron</li> <li>• II Curso de Introdução – Nanotecnologia &amp; Nanotoxicologia</li> <li>• Sao Paulo School of Advanced Science on Mass Spectrometry-based Proteomics (SPSAS-MS)</li> <li>• 6th School of Small Angle X-ray Scattering Data Analysis</li> <li>• Curso Básico de Operação do Biorreator Eppendorf - Bioflo115</li> <li>• PREMASUL</li> <li>• Curso de Caracterização Química de Bagaço e Palha de Cana de Açúcar</li> </ul>			

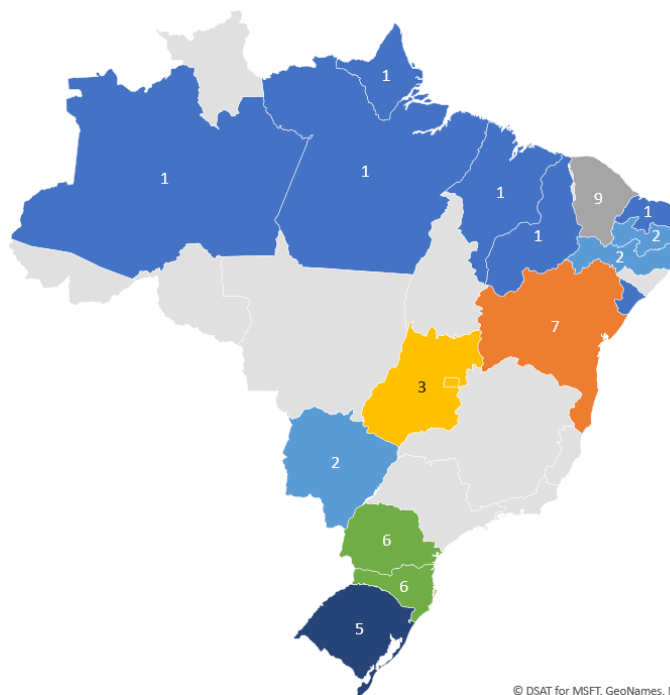


<b>Indicador 16:</b>			
<b>Número de pesquisadores externos capacitados</b>			
<b>Eixo de Atuação:</b>			
Eixo 4 – Treinamento, educação e extensão			
<b>Objetivo Estratégico do CG:</b>			
Implantar e gerir a infraestrutura do CNPEM, visando ganhos de eficiência e eficácia mediante mecanismos de gestão, informação e difusão.			
<b>Finalidade:</b>			
Medir o esforço dos Laboratórios Nacionais na capacitação de pesquisadores da comunidade científica e tecnológica brasileira.			
<b>Descrição:</b>			
Número total pesquisadores externos capacitados em eventos organizados pelo CNPEM			
<b>Fórmula de cálculo:</b>			
<i>Número total de pesquisadores externos capacitados em eventos de capacitação organizados pelo CNPEM</i>			
<b>Tipo:</b> Uso	<b>Peso:</b> 2	<b>Unidade:</b> Número Absoluto	<b>Qualificação:</b> Eficácia
<b>Meta 2017:</b>			270
<b>Resultado 2017:</b>			296
<b>Histórico:</b> Este indicador passou a compor o Quadro de Indicadores e Metas do Contrato de Gestão neste ano e por isso não apresenta acompanhamento histórico.			
<b>Comentário:</b>			
Em 2017, os sete cursos de capacitação promovidos pelo CNPEM envolveram 296 pesquisadores externos, equivalente a 110% da meta pactuada. O cômputo do indicador exclui duplicatas em casos de pesquisadores capacitados em mais de um evento no período de referência.			

<b>Indicador 17:</b>			
<b>Eventos científicos</b>			
<b>Eixo de Atuação:</b>			
Eixo 4 – Treinamento, educação e extensão			
<b>Objetivo Estratégico do CG:</b>			
Implantar e gerir a infraestrutura do CNPEM, visando ganhos de eficiência e eficácia mediante mecanismos de gestão, informação e difusão			
<b>Finalidade:</b>			
Medir o número de eventos científicos promovidos pelo CNPEM direcionados à comunidade científica e tecnológica brasileira.			
<b>Descrição:</b>			
Para a apuração deste indicador é contabilizado o número de eventos de grande porte (acima de 50 participantes), de caráter científico, realizados pelo CNPEM no ano de referência - exceto cursos de capacitação envolvendo participantes externos.			
<b>Fórmula de cálculo:</b>			
<i>Número de eventos científicos do período</i>			
<b>Tipo:</b> Uso	<b>Peso:</b> 2	<b>Unidade:</b> Número Absoluto	<b>Qualificação:</b> Eficácia
<b>Meta 2017:</b>			4
<b>Resultado 2017:</b>			9
<b>Comentário:</b>			
No ano foram realizados nove eventos científicos, superando a meta pactuada.			
<ol style="list-style-type: none"> <li>1. <i>Workshop</i> Estratégico CTBE: Setor Sucroenergético no Nordeste</li> <li>2. II Desafios Analíticos Atuais Na Indústria Farmacêutica: Produtos de Degradação</li> <li>3. <i>Workshop</i> Estratégico CTBE: Macaúba, oportunidades e desafios</li> <li>4. II AFM Workshop</li> <li>5. <i>Workshop</i> Estratégico CTBE: Entendendo o RenovaBio</li> <li>6. <i>Workshop</i> Estratégico CTBE: RenovaBio - Modelagem Econômica</li> <li>7. "Cateretê <i>Workshop</i>" - 2nd User Workshop on Coherent X-ray Imaging and Small Angle X-ray Scattering</li> <li>8. 27th Annual Users' Meeting</li> <li>9. <i>Workshop on Second Generation Bioethanol and Biorefining</i></li> </ol>			

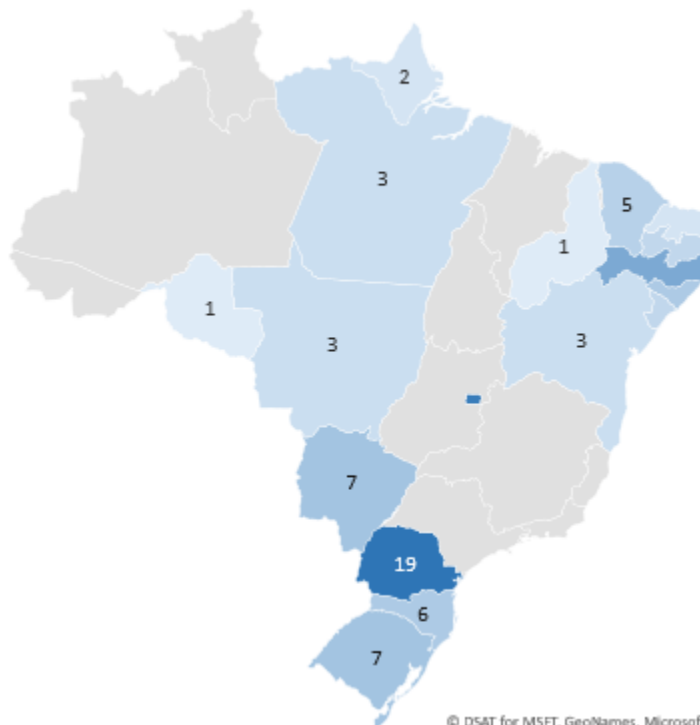
<b>Indicador 18:</b>			
<b>Pesquisadores de outras regiões do país capacitados pelo CNPEM</b>			
<b>Eixo de Atuação:</b>			
Eixo 4 – Treinamento, educação e extensão			
<b>Objetivo Estratégico do CG:</b>			
Implantar e gerir a infraestrutura do CNPEM, visando ganhos de eficiência e eficácia mediante mecanismos de gestão, informação e difusão			
<b>Finalidade:</b>			
Medir o número de participantes em eventos científicos e de capacitação do CNPEM provenientes das regiões norte, nordeste, sul e centro-oeste.			
<b>Descrição:</b>			
Número total pesquisadores externos provenientes das regiões norte, nordeste, sul e centro-oeste capacitados em eventos (cursos, seminários e workshops) realizados no Campus do CNPEM ou em outras regiões (fora da região sudeste).			
<b>Fórmula de cálculo:</b>			
<i>Número total de pesquisadores externos capacitados em eventos organizados pelo CNPEM</i>			
<b>Tipo:</b> Uso	<b>Peso:</b> 1	<b>Unidade:</b> Número Absoluto	<b>Qualificação:</b> Eficácia
<b>Meta 2017:</b>			80
<b>Resultado 2017:</b>			52
<b>Histórico:</b> Este indicador passou a compor o Quadro de Indicadores e Metas do Contrato de Gestão em 2017 e por isso não apresenta acompanhamento histórico.			
<b>Comentário:</b>			
Participaram dos eventos de capacitação promovidos pelo CNPEM 52 pesquisadores provenientes de estados brasileiros das regiões norte, nordeste, sul e centro-oeste. Apesar dos esforços realizados para a atração de pesquisadores e estudantes das regiões foco deste indicador, o resultado apurado foi inferior à meta pactuada.			
Ressalta-se que a agenda de eventos científicos do CNPEM foi responsável pela atração de 102 pesquisadores provenientes de estados brasileiros das regiões norte, nordeste, sul e centro-oeste. Essas iniciativas promovem a divulgação das atividades do CNPEM, incluindo suas oportunidades de capacitação.			
Em 2018, o CNPEM deverá aprimorar as estratégias de divulgação para os eventos de capacitação realizados em seu campus e buscar parcerias para a realização de eventos com instituições estratégicas das diferentes regiões brasileiras. Esta última estratégia prevê negociações com diferentes instituições de ensino e pesquisa e a busca de apoio de instituições de fomento de outros estados.			

### Pesquisadores Capacitados por Estado (exceto sudeste)



Da plataforma Bing  
© DSAT for MSFT, GeoNames, Microsoft, Navteq, Wikipedia

### Participantes em Eventos Científicos



Da plataforma Bing  
© DSAT for MSFT, GeoNames, Microsoft, Navteq, Wikipedia

## Economicidade da Produção Científica do CNPEM

### Macroprocesso:

Operar o Laboratório Nacional

### Eixos de Atuação:

Eixo 1 - Instalações Abertas a Usuários Externos

Eixo 2 - P&D *in-house*

### Objetivos Estratégicos:

Induzir atividades de produção de conhecimento e criação de novos produtos, instrumentações e processos nas áreas de energia, materiais e biociências.

### Finalidade:

Medir a economicidade da produção científica do CNPEM em relação a universidades e institutos de pesquisa brasileiros selecionados.

### Descrição:

Comparação da razão entre número de artigos indexados na base *Web of Science* (WoS) e o volume de recursos de origem pública executado pelo CNPEM e por um conjunto selecionado de universidades e institutos de pesquisa, para os últimos três anos. Na contagem dos artigos do CNPEM foram consideradas todas as publicações indexadas na base *Web of Science* decorrentes do uso das instalações dos Laboratórios Nacionais do CNPEM.

**Fórmula:**  $((\text{Total de publicações indexadas na WoS})/(\text{Total de Recursos de origem pública destinado às atividades de PDI}^*)) / (\text{Mediana } ((\text{Total de publicações indexadas na WoS})/(\text{Total de Recursos de origem pública destinado às atividades de PDI}))^{**})$

\* CNPEM

\*\* USP, Unicamp, UFSCar, UFMG, Embrapa, Fiocruz e INPE

**Tipo:** Economicidade

**Peso:** 1

**Unidade:** número absoluto

**Meta 2017:** > 1,5

**Realizado 2017:** 2,71

### Comentários:

No ano de 2017, o CNPEM apresentou resultado superior aos apurados para as instituições selecionadas na base de comparação. Considerando as sete instituições em conjunto, o resultado da comparação entre o índice proposto para o CNPEM e para esse conjunto correspondeu a 2,71. Tal resultado ficou muito acima da meta pactuada. A Tabela apresentada a seguir detalha os dados utilizados no cálculo do indicador e apresenta as respectivas fontes de informação.

	UFMG	UFSCAR	UNICAMP	USP	Embrapa	Fiocruz	INPE	CNPEM
Orcamento 2015	1.149.379.716	423.790.276	1.519.129.021	3.188.248.523	3.014.489.640	2.303.235.033	99.800.000	76.096.898
Orcamento 2016	1.660.872.016	442.878.719	1.623.185.279	3.141.873.437	3.177.985.355	2.205.969.428		72.792.102
Orcamento 2017	1.301.162.895	489.906.701	1.278.999.029	2.908.537.745	3.315.449.183	2.424.660.172		75.273.874
Artigos 2015	2.689	1.056	3.424	11.006	1.068	1.484	284	475
Artigos 2016	2.168	1.129	2.896	9.040	1.457	1.403	314	495
Artigos 2017	2.649	1.226	3.349	9.682		1.552	375	486
Artigos/ Orç 2015	2,34	2,49	2,25	3,45	0,35	0,64	2,85	6,24
Artigos/ Orç 2016	1,31	2,55	1,78	2,88	0,46	0,64		6,80
Artigos/ Orç 2017	2,04	2,50	2,62	3,33	-	0,64		6,46
Mediana	2,04	2,50	2,25	3,33	0,35	0,64	2,85	6,46

Mediana Geral	2,38
CNPEM	6,46
CNPEM/Med. Geral	2,71

Fontes de Informações e Notas Explicativas:

Dados Orcamentários

1) Universidade Federais, Embrapa e Fiocuz - SIOP/Execução Orcamentária por Unidade

2) Universidade Estaduais - <https://www.fazenda.sp.gov.br/SigeoLei131/Paginas/FlexConsDespesa.aspx>

acompanhamento orcamentário não apresentou dados atualizados para 2016 e 2017. O Sistema SIGA (<https://www12.senado.leg.br/orcamento/sigabrazil>) permite a extração dos valores empenhados exceto pagamento de pessoal. Desta forma, as informações desta instituição não foram atualizadas.

4) Excuí-se do orçamento total das universidades valores referentes aos Hospitais Universitários, Inativos, Museus e Programa de Graduação.

5) USP - Dados orcamentarios extraídos dos relatório do site <http://www.transparencia.sp.gov.br/> e elaboração de proxys a partir dos relatórios do Anuario USP (<https://uspdigital.usp.br/anuario>), tabela 7.02 para exclusão dos inativos, museus e hospitais. As informações disponíveis referem-se apenas ao ano de 2013, para os demais anos foram excluídos os valores proporcionais (30% do montante total de recursos).

6) UNICAMP - Dados orcamentarios extraídos dos relatório do site <http://www.transparencia.sp.gov.br/> e elaboração de proxys para exclusão da área da saúde a partir dos relatórios do Anuario USP (<https://uspdigital.usp.br/anuario>), para 2013 pags 167 e 178 e para 2014 pags 175 e 184. Para 2015, foi utilizado um fator de correção de 7% no valor da proxy de 2014 devido a indisponibilidade de informações atualizadas.

7) Para o CNPEM são considerados todos os recursos recebidos por meio do Contrato de Gestão, exceto Projeto Sirius (Ação 13 CL) e Projeto SisNano (Ação 14XT)

Produção Científica

1) Busca por organização consolidada na base Web of Science. Categoria: Articles

2) INPE e Embrapa - Relatório Anual de Atividades

<b>Economicidade das Linhas de Luz do LNLS</b>	
<b>Macroprocesso:</b> Operar o Laboratório Nacional	
<b>Eixos de Atuação:</b> Eixo 1 - Instalações Abertas a Usuários Externos Eixo 2 - P&D <i>in-house</i> Eixo 3 - Apoio à geração de inovação	
<b>Objetivos Estratégicos:</b> Manter, atualizar e integrar infraestrutura e competências e desenvolver instrumentação científica de alto nível, com vistas a garantir a competitividade das instalações nas áreas de energia, materiais e biociências; Atuar como centro facilitador do desenvolvimento científico e tecnológico, oferecendo condições adequadas de atendimento, capacitação e apoio técnico-científico aos usuários externos.	
<b>Finalidade:</b> Aferir a economicidade das horas de linhas de luz disponibilizadas pelo Laboratório Nacional de Luz Síncrotron em relação a Laboratórios Síncrotrons de outros países	
<b>Descrição:</b> Comparação da razão entre número de horas de linhas de luz disponibilizadas anualmente e o valor do orçamento do Contrato de Gestão destinado à Operação do LNLS com a mesma razão para um conjunto selecionados de laboratórios Síncrotron de outros países	
<b>Fórmula:</b> $((\text{Total de horas de linhas de luz disponíveis para uso})/(\text{Total de Recursos de origem pública destinado ao Laboratório Nacional de Luz Síncrotron}^*)) / (\text{Mediana } ((\text{Total de horas de linhas de luz disponíveis para uso})/(\text{Total de Recursos destinados à Laboratórios Síncrotrons de outros países}))^{**})$ * Exceto Sirius ** ALBA, Canadian Light Source, Diamond Light Source, ESRF, Soleil, Australian Synchrotron, Argonne (APS) e Advanced Light Source.	
<b>Tipo:</b> Economicidade	
<b>Unidade:</b> número absoluto	
<b>Meta 2017:</b> < 0,65	<b>Realizado 2017:</b> 0,18
<b>Comentários:</b> Para essa comparação foram selecionados oito Laboratórios de Luz Síncrotron. Uma vez que as informações referentes a esses Laboratórios não se encontravam atualizadas em seus respectivos relatórios e <i>sites</i> , considerou-se idealmente que as possíveis variações da razão hora/US\$ para um período de 2 – 4 anos não seriam expressivas. Para o LNLS foram considerados os dados médios para 2014 - 2017, resultando em índice de 105 US\$/hora, o que representa 18% do índice médio dos oito Laboratórios Síncrotron utilizados como base de comparação.	

<b>Laboratórios</b>	<b>Geração</b>	<b>Ano de Referência</b>	<b>Linhas de Luz</b>	<b>Horas Operação Anel</b>	<b>Horas Posíveis Operação</b>	<b>Orçamento (M U\$)</b>	<b>Custo/hora (US\$)</b>
ALBA	3ª geração	2016	8	4.261	34.088	27	\$778
Canadian Light Source	3ª geração	2016	11	5.500	60.500	32	\$529
Diamond Light Source (Inglaterra)	3ª geração	2016	28	4.524	126.683	87	\$686
ESRF	3ª geração	2016	44	5.547	244.068	131	\$535
<i>Soleil</i>	<i>3ª geração</i>	<i>2013</i>	<i>27</i>	<i>4.912</i>	<i>132.624</i>	<i>72</i>	<i>\$543</i>
Australian Synchrotron	3ª geração	2016	9	4.719	42.471	32	\$753
<i>APS - Argonne</i>	<i>3ª geração</i>	<i>2015</i>	<i>71</i>	<i>4.944</i>	<i>351.024</i>	<i>145</i>	<i>\$413</i>
<i>Advanced Light Source (Berkeley)</i>	<i>3ª geração</i>	<i>2015</i>	<i>39</i>	<i>5.184</i>	<i>202.176</i>	<i>60</i>	<i>\$297</i>
LNLS*	2ª geração	2014	17	3.869	65.782	8,4	\$128
	2ª geração	2015	17	3.826	67.764	6,2	\$91
	2ª geração	2016	17	3.826	66.292	7,0	\$106
	2ª geração	2017	16	3.748	59.968	5,6	\$94
<b>Média Internacional</b>		<b>\$566,81</b>					

**Notas:**

1. O cômputo das horas possíveis de operação é composto a partir da multiplicação do número de linhas de luz e das horas totais de feixe disponibilizadas pela máquina. Ressalta-se que este valor é superior ao número de horas disponibilizadas reais e, portanto, os valores considerados para o LNLS nos Indicadores 1 e 3 são inferiores aos computados no presente indicador.
2. Os Laboratórios *Soleil*, *APS-Argonne* e *ALS - Berkeley* não tiveram suas informações atualizadas. Os relatórios disponibilizados nos seus respectivos sítios da internet não apresentam informações orçamentárias.
3. A informação de orçamento apresentada para o Laboratório *Alba* no Relatório Anual de 2016, referente a operação do Laboratório em 2015, apresentou erro na conversão euro - dólar americano. O orçamento *Alba* em 2015 foi de aproximadamente 23,5 milhões de euros).
4. Para o Laboratório "Australian Synchrotron" adotou-se a premissa de que seus valores orçamentários foram apresentados em dólares americanos.
5. A taxa de câmbio utilizada para conversão dos valores em reais foram calculadas a partir de informações mensais extraídas no Banco Central.

Dólar = 2,68 Reais (média 2014)

Dólar = 3,45 Reais (média 2015)

Dólar = 3,13 Reais (média 2016)

Dólar = 3,19 Reais (média 2017)

<b>Média Internacional</b>	<b>\$566,81</b>	<b>Média LNLS</b>	<b>\$104,70</b>
----------------------------	-----------------	-------------------	-----------------

**Indicador = 18%**



## ANEXO 2 – Indicadores Específicos de Projetos: Sirius e SisNano

### Projeto Sirius

ATIVIDADE	META	INDICADOR	PRAZO	VALOR (em R\$)	STATUS (em dez/2017)	EXECUÇÃO (em dez/2017)
<b>TOTAL</b>				<b>325.933.705</b>		
<b>OBRAS E INSTALAÇÕES</b>				<b>177.702.960</b>		
Pisos/Bases/Blindagem	Conclusão dos pisos especiais dos aceleradores e linhas de luz e conclusão das blindagens dos aceleradores	100% de execução física	Dez/17	30.965.486	Ampliação do escopo, com alteração do piso das linhas longas para especial	95%
Estrutura metálica	Finalização da estrutura metálica e da cobertura das edificações	100% de execução física	Dez/17	2.100.000	Falta segunda telha cobertura linhas longas, arremates e vedação	98%
Alvenarias/Revestimentos/ Caixilhos/Vidros	Término das alvenarias e início dos revestimentos e pinturas. Instalação de caixilhos e vidros	50% de execução física	Dez/17	13.340.000	1. Conclusão das alvenarias de fechamento da edificação principal e execução e revestimento da casa de geradores. Segue pendente a pintura e o sombreamento com miniwave  2. Execução e revestimento da alvenaria lateral das linhas longas. Segue pendente o fechamento de	100%

ATIVIDADE	META	INDICADOR	PRAZO	VALOR (em R\$)	STATUS (em dez/2017)	EXECUÇÃO (em dez/2017)
					fundo, adiado para execução da modificação do piso	
Esquadrias, vidros e revestimentos	Conclusão da implantação das esquadrias, vidros e revestimentos interno e externo. Início da pintura.	100% de execução física	Dez/17	12.394.371	1. Caixilharia e vidro do eixo F com mais de 95% de avanço, pele de vidro da fachada principal com 40% de execução. Vidros internos não iniciados.	85%
Instalações (elétrica, hidráulica, saneamento, entre outras)	Dar continuidade à aquisição e instalação de equipamentos, tais como: transformadores, painéis, aparelhos de ar condicionado, tubulações, entre outras. Iniciar o comissionamento de alguns sistemas.	60% de execução física	Dez/17	107.321.436	1. Equipamentos elétricos e cabos adquiridos, com mais de 90% já entregues.  2 – Sistema de ar condicionado: chillers adquiridos, aguardam a entrega a partir de março de 2018. Fica pendente a definição de alguns Fan coils em função da alteração de layout realizada em setembro.  3. ETE: adquirida e entregue. Será instalada assim que construída a parte civil.  4. Instalações 95% concluídas. Segue pendente as interligações com a subestação de AT e com o campus atual.	83%

ATIVIDADE	META	INDICADOR	PRAZO	VALOR (em R\$)	STATUS (em dez/2017)	EXECUÇÃO (em dez/2017)
					5 - Detecção e combate a incêndio: Avanço de mais de 60%, com instalação de rede de hidrantes, sprinklers e detectores quase finalizada na parte interna das edificações. Segue pendente basicamente as linhas longas e área externa.	
Serviços complementares	Executar a primeira fase da pavimentação e instalação de pontes rolantes	35% de execução física	Dez/17	2.139.408	Executado 60% do arruamento previsto até a fase da primeira camada de pavimentação. A pavimentação final será feita no último mês de obra.	100%
Serviços complementares	Fluidos mecânicos, serviços especiais e construção da área externa	45% de execução física	Dez/17	9.442.259	Infraestrutura e tubulação em instalação.	100%
<b>ACELERADORES</b>				<b>87.847.000</b>		
Berços em aço para multipolos	Fabricação de todos os berços	90% de execução física	Dez/17	3.000.000	Em processo de análise. Caso necessário, será feito retrabalho.	100%
Berços em aço para dipolos	Conclusão do projeto e fabricação parcial dos berços	80% de execução física	Dez/17	1.000.000	Modelo 1: processo de compra finalizado e fabricação em andamento. Modelos 2 e 3: processo de compra em finalização.	70%

ATIVIDADE	META	INDICADOR	PRAZO	VALOR (em R\$)	STATUS (em dez/2017)	EXECUÇÃO (em dez/2017)
Berços do booster	Conclusão do projeto e fabricação de todos os berços	100% de execução física	Nov/17	1.200.000	Em retrabalho, em razão de estarem fora das especificações.	50%
Suportes para as linhas de transporte de elétrons e dispositivos de injeção	Conclusão do projeto e fabricação dos suportes	100% de execução física	Out/17	1.200.000	Por se tratarem de berços específicos de acordo com a aplicação, o processo é único, ou seja, contempla o projeto, análise e fabricação.	70%
Fabricação dos dipolos BC	Fabricação dos dipolos BC	100% de execução física	Dez/17	1.800.000	Optou-se por adiar a fabricação por falta de espaço para armazenamento.	10%
Racks para fontes DC, sistema de controle, interlock, instrumentação de vácuo e diagnóstico de feixe	Conclusão da especificação e compra dos racks	100% de execução física	Out/17	1.700.000	Processo em andamento no setor de compras.	100%
Sensores de vácuo e analisadores de gás residual para os aceleradores	Compra dos sensores de vácuo e analisadores de gás	70% de execução física	Dez/17	2.500.000	Conforme previsão	100%
Bombas de vácuo tipo iônica para o anel e booster	Compra de todas as bombas iônicas	60% de execução física	Dez/17	3.500.000	Conforme previsão	100%

ATIVIDADE	META	INDICADOR	PRAZO	VALOR (em R\$)	STATUS (em dez/2017)	EXECUÇÃO (em dez/2017)
Foles especiais	Compra dos foles metálicos para os aceleradores	100% de execução física	Out/17	500.000	Conforme previsão	100%
Bombas iônicas, sensores e válvulas de vácuo para as linhas de transporte	Compra dos sensores de vácuo e analisadores de gás	100% de execução física	Nov/17	937.000	Conforme previsão	100%
Servidor e switches para o sistema de controle dos aceleradores	Especificação e compra dos servidores e switches do sistema de controle	100% de execução física	Set/17	1.100.000	Servidores comprados e entregues. Switches aguardando a entrega.	100%
Fabricação de monitores de posição de feixe para o anel e booster	Finalização da fabricação dos monitores	100% de execução física	Out/17	1.600.000	Sensores do booster estão 100% fabricados, com exceção dos corpos. Cerca de 70 a 80% dos sensores do anel estão fabricados e os corpos, 100%. Para ambos, segue pendente a etapa de soldagem dos sensores nos corpos.	60%
Câmaras dos kickers	Projeto e fabricação das câmaras dos kickers	100% de execução física	Nov/17	200.000	O projeto dos kickers on-axis está finalizado. Já os não-lineares são similares e estão em teste para a conclusão do projeto. As câmaras dos kickers on-axis e não-lineares estão 20% fabricados. Está prevista a chegada de até 5 peças até o final de janeiro; o restante (peças	35%

ATIVIDADE	META	INDICADOR	PRAZO	VALOR (em R\$)	STATUS (em dez/2017)	EXECUÇÃO (em dez/2017)
					reservas) deverá chegar até final de fevereiro. Após o recebimento será iniciada a brasagem.	
Suportes dos BPMs	Prototipagem e fabricação dos suportes de BPM	100% de execução física	Out/17	2.000.000	Os protótipos estão 100% concluídos. A fabricação é feita em duas etapas: a fabricação dos blocos está 100% concluída e a usinagem dos blocos está em andamento.	70%
Eletrônicas para BPMs	Fabricação das eletrônicas de BPM para o anel e o booster	80% de execução física	Dez/17	5.500.000	Aguardando a chegada das peças.	100%
Fontes DC para o sistema de RF do anel	Compra das fontes DC para o sistema de RF do anel	70% de execução física	Dez/17	700.000	Optou-se por dividir a compra em razão de fluxo de caixa à época.	70%
Circuladores de RF para o sistema do anel	Compra dos circuladores de RF para o sistema do anel	100% de execução física	Out/17	1.000.000	Sistema inicial para cavidade de cobre adquirido. Segue pendente a aquisição do sistema para cavidade supercondutora.	100%
Sistema de interlock	Compra de componentes e integração do sistema de interlock	80% de execução física	Dez/17	1.000.000	Conforme previsão	100%

ATIVIDADE	META	INDICADOR	PRAZO	VALOR (em R\$)	STATUS (em dez/2017)	EXECUÇÃO (em dez/2017)
Medidores de corrente para fontes dos dipolos do Booster e anel	Compra dos monitores de corrente	100% de execução física	Set/17	200.000	Conforme previsão	100%
Fontes DC para o anel	Conclusão da fabricação das fontes DC do anel	100% de execução física	Dez/17	800.000	Houve atraso no cronograma previsto por conta de dificuldades técnicas, já superadas. A previsão de conclusão é março de 2018.	50%
Fontes AC para o booster	Conclusão da fabricação das fontes AC para o booster	100% de execução física	Dez/17	1.500.000	Houve atraso no cronograma previsto por conta de dificuldades técnicas, já superadas. A previsão de conclusão é março de 2018.	50%
Fontes DC para corretores de órbita	Conclusão da fabricação das fontes DC para corretores de órbita	70% de execução física	Dez/17	4.100.000	Houve atraso na entrega do fabricante e problemas na aquisição de componentes importados. A previsão de conclusão é março de 2018.	70%
Fontes - Cabos especiais para conexão entre fontes e imãs	Cabos encomendados	100% de execução física	Dez/17	10.600.000	Para prevenir roubos e furtos, decidiu-se que os cabos serão comprados assim que necessários. As especificações técnicas e o prazo de entrega já foram acertados com o fornecedor.	0%

ATIVIDADE	META	INDICADOR	PRAZO	VALOR (em R\$)	STATUS (em dez/2017)	EXECUÇÃO (em dez/2017)
Sistema de RF	Encomenda de duas cavidades supercondutoras e início de sua fabricação	50% de execução física	Dez/17	16.000.000	As cavidades foram encomendadas. Estamos aguardando a data de início de fabricação (esquemáticos). A entrega está prevista para o 2º semestre de 2019.	100%
Sistema de RF - Planta de recuperação de Hélio	Itens necessários para a implantação da planta de recuperação de Hélio encomendados	100% de execução física	Dez/17	9.250.000	Planta não foi encomendada em razão do adiamento da compra da cavidade supercondutora.	0%
Fabricação dos quadrupolos do anel	Produção dos quadrupolos tipo Q14, Q20 e Q30	100% de execução física	Dez/17	8.000.000	Conforme previsão	100%
Aquisição do acelerador linear (Linac) e acessórios	Instalação do Linac e encomenda de Klystrons e outros acessórios	100% de execução física	Dez/17	6.960.000	A compra do Linac e Klynstrons foi efetuada. A preparação da infraestrutura do Linac foi iniciada. A instalação foi adiada para fevereiro.	80%
<b>LINHAS DE LUZ E ESTAÇÕES EXPERIMENTAIS</b>				<b>37.523.705</b>		
Onduladores	Fabricação de protótipo de ondulator delta de 2,4 metros	100% de execução física	Set/17	6.000.000	Os principais componentes mecânicos estão em usinagem e as primeiras peças críticas ficaram dentro da especificação. A câmara de vácuo ainda precisa ser ajustada, e os primeiros testes de keepers	30%



ATIVIDADE	META	INDICADOR	PRAZO	VALOR (em R\$)	STATUS (em dez/2017)	EXECUÇÃO (em dez/2017)
					serão feitos no primeiro semestre de 2018.	
Detectores	Fabricação de um detector de $\pi$ mega de 1.536 x 1.536 pixels e desenvolvimento de um protótipo de 3 $\pi$ mega de 3.072 x 3.072 pixels	30% de execução física	Dez/17	6.000.000	<p>Empresa BrPhotonics fechou e o projeto foi transferido para a empresa pi-TEC (com principal quadro técnico da BrPhotonics), que está atuando junto ao Instituto Eldorado (Infraestrutura de packaging e programadores).</p> <p>A cabeça ótica está em construção, e seus principais componentes mecânicos estão validados.</p> <p>A conexão entre sensor e cerâmica condutora ainda apresenta desafios quanto ao acoplamento resistivo (plano B está em curso).</p> <p>A placa MFB está em ativação.</p> <p>A placa de transporte está em fase de construção.</p> <p>Os chassis estão em projeto e os componentes de dissipação estão em construção.</p>	100%

ATIVIDADE	META	INDICADOR	PRAZO	VALOR (em R\$)	STATUS (em dez/2017)	EXECUÇÃO (em dez/2017)
					O firmware está pronto, com primeiros comandos aprovados.	
<i>Front Ends</i>	Fabricação de 6 Front Ends para linhas de ondulator	80% de execução física	Dez/17	6.000.000	Previsão de contratação de 6 FrontEnds não foi concretizada por questões de fluxo de caixa. Para preservar o andamento foram contratados 3 FrontEnds. Os demais serão contratados no início de 2018. A instalação está prevista para junho de 2018.	50%
Cabanas Fase 1	Projeto executivo das cabanas de 6 linhas de ondulator	100% de execução física	Set/17	2.000.000	O pré-projeto executivo do modelo foi realizado internamente, como padrão para todas as linhas. O escopo de contratação foi alterado para contemplar o fornecimento completo de 6 cabanas. O contrato para fornecimento da cabana da linha Manacá foi firmado e está em execução por uma empresa nacional. O contrato para outras 5 linhas está em confecção e deverá ser firmado no início de 2018, com empresas nacionais.	90%

ATIVIDADE	META	INDICADOR	PRAZO	VALOR (em R\$)	STATUS (em dez/2017)	EXECUÇÃO (em dez/2017)
Aquisição de parte das instalações, equipamentos e dispositivos necessários para o conjunto de cabanas óticas	Itens necessários para a implantação das cabanas óticas encomendados, incluindo espelhos, monocromadores, suportes de espelhos, fendas e a infraestrutura interna	100% de execução física	Dez/17	8.114.223	A mecânica dos espelhos para todas as linhas está em projeto. As primeiras bases de granito dos monocromadores foram recebidas e os testes de aceite foram concluídos. Foram adquiridos fendas e alguns componentes de vácuo. Novas aquisições estão aguardando regularização do fluxo de caixa.	30%
Aquisição de parte das instalações, equipamentos e dispositivos necessários para o conjunto de cabanas experimentais	Itens necessários para a implantação das cabanas experimentais encomendados, incluindo goniômetros, suportes, manipuladores, porta amostras e infraestrutura interna	100% de execução física	Dez/17	5.409.482	<p>Linha Cateretê: 70% dos componentes da estação experimental foi comprado, boa parte foi entregue e está em metrologia.</p> <p>Linha Ipê: 80% dos componentes do espectrômetro de RIXS está em compra.</p> <p>Linhas Carnaúba e Ema: Detectores de fluorescência foram encomendados. O magneto permanente para experimentos da linha Ema já foi adquirido.</p>	30%

ATIVIDADE	META	INDICADOR	PRAZO	VALOR (em R\$)	STATUS (em dez/2017)	EXECUÇÃO (em dez/2017)
					Novas aquisições estão aguardando regularização do fluxo de caixa	
DCM Partes	Peças e partes importados para fabricação de um DCM	100% de execução física	Dez/17	2.000.000	Protótipo 1: 80% finalizado, com previsão de término para maio de 2018.  Componentes para o DCM da Manacá estão em aquisição, com instalação prevista para junho a setembro de 2018.	80%
Espelhos	Fabricação de 12 espelhos das linhas de ondulator	60% de execução física	Dez/17	2.000.000	70% dos espelhos das primeiras 5 linhas foram contratados e estão em fabricação por empresas do exterior.  Espelhos das linhas Manacá, Ema e parte dos espelhos da Carnaúba foram entregues para validação no laboratório de metrologia do LNLS.	100%
<b>GESTÃO DO PROJETO</b>				<b>22.860.040</b>		
Equipe técnica	Equipe técnica dedicada ao projeto mantida	100% de execução física	Dez/17	20.636.908	Equipe mantida durante o ano de 2017	100%

ATIVIDADE	META	INDICADOR	PRAZO	VALOR (em R\$)	STATUS (em dez/2017)	EXECUÇÃO (em dez/2017)
Gestão e Infraestrutura	Gerenciamento do projeto, manutenção e expansão da infraestrutura	Projeto monitorado e infraestrutura adequada	Dez/17	2.223.132	Projeto monitorado e infraestrutura adequada, conforme previsão.	100%

## Projeto SisNano

INSTALAÇÃO	META	INDICADOR	PRAZO	VALOR (em R\$)	STATUS (em dez/2017)	EXECUÇÃO (em dez/2017)
Criomicroscopia Eletrônica, Microfabricação e Caracterização de Materiais	Obras de expansão para abrigar os criomicroscópios e os Laboratórios de Microfabricação e Caracterização de Materiais	Infraestrutura física instalada em 24%	Dez/2017	3.964.393	Obra contratada e iniciada construção com previsão de término em maio/2018.	100%
Laboratório de Microscopia Eletrônica	Aquisição de microscópios eletrônicos de varredura e de transmissão	Microscópio adquirido e instalado	Dez/2017	2.700.000	Aquisição do microscópio Titan Krios. Devido ao atraso no repasse dos recursos contratados em 2017, o equipamento só foi adquirido em dezembro desse ano, com previsão de recebimento para o final de 2018. Essa aquisição foi viabilizada com recursos da FAPESP, que aportou 50% do valor do Titan Krios.	50%

## ANEXO 3 – Lista de Bolsistas e Pós-doutores

ID	Modalidade	Nome	LN	Agencia de Fomento	Programa Pós-Graduação	Instituto	Universidade
1	BOLSISTA - MESTRADO	AGNES CRISTINA PIMENTEL	CTBE	CNPQ	BIOLOGIA FUNCIONAL E MOLECULAR	IB - INSTITUTO DE BIOLOGIA	UNICAMP
2	BOLSISTA - MESTRADO	ANA CAROLINA PIVA DE OLIVEIRA	CTBE	CAPES	BIOLOGIA FUNCIONAL E MOLECULAR	IB - INSTITUTO DE BIOLOGIA	UNICAMP
3	BOLSISTA - MESTRADO	CAMILA FERREIRA NETTO	CTBE	CAPES	ENGENHARIA AGRICOLA	FEAGRI - FACULDADE DE ENGENHARIA AGRICOLA	UNICAMP
4	BOLSISTA - MESTRADO	CARLA ALOIA CODIMA	CTBE	CNPQ	GENETICA E BIOLOGIA MOLECULAR	IB - INSTITUTO DE BIOLOGIA	UNICAMP
5	BOLSISTA - MESTRADO	FELIPE CALZADO	CTBE	FAPESP	BIOLOGIA FUNCIONAL E MOLECULAR	IB - INSTITUTO DE BIOLOGIA	UNICAMP
6	BOLSISTA - MESTRADO	FELIPE CARDOSO RAMOS	CTBE	CAPES	MICROBIOLOGIA E IMUNOLOGIA	INSTITUTO DE BIOCENCIAS E CIENCIAS EXATAS	UNESP
7	BOLSISTA - MESTRADO	GUILHERME KEPPE ZANINI	CTBE	CNPQ	GENETICA E BIOLOGIA MOLECULAR	IB - INSTITUTO DE BIOLOGIA	UNICAMP
8	BOLSISTA - MESTRADO	KAREN CRISTINA COLLOGRAI	CTBE	CNPQ	ENGENHARIA QUIMICA	FEQ - FACULDADE DE ENGENHARIA QUIMICA	UNICAMP
9	BOLSISTA - MESTRADO	LEANDRO CAROLINO GONZAGA	CTBE	CAPES	ENGENHARIA AGRONOMICA	IAC - INSTITUTO AGRONOMICO DE CAMPINAS	IAC
10	BOLSISTA - MESTRADO	MARIA CECILIA QUEIROGA BAZETTO	CTBE	CNPQ	ENGENHARIA QUIMICA	FEQ - FACULDADE ENGENHARIA QUIMICA	UNICAMP
11	BOLSISTA - MESTRADO	MICHAEL FELIPE DE SOUZA	CTBE	CAPES	ENGENHARIA AGRICOLA	FEAGRI - FACULDADE DE ENGENHARIA AGRICOLA	UNICAMP
12	BOLSISTA - MESTRADO	MICHELLE ALEXANDRINO ASSIS	CTBE	FAPESP	GENETICA E BIOLOGIA MOLECULAR	IB - INSTITUTO DE BIOLOGIA	UNICAMP
13	BOLSISTA - MESTRADO	MIRTA NATALIA COUTOUNE	CTBE	CAPES	GENETICA E BIOLOGIA MOLECULAR	IB - INSTITUTO DE BIOLOGIA	UNICAMP
14	BOLSISTA - MESTRADO	RENATO AUGUSTO CORREA DOS SANTOS	CTBE	FAPESP	GENETICA E BIOLOGIA MOLECULAR	IB - INSTITUTO DE BIOLOGIA	UNICAMP
15	BOLSISTA - MESTRADO	ROBERTA MARIA MENEGALDO TAVARES SOARES DAL'MAS	CTBE	CAPES	GENETICA E BIOLOGIA MOLECULAR	IB - INSTITUTO DE BIOLOGIA	UNICAMP

16	BOLSISTA - MESTRADO	THAYNARA CORADINI PIN	CTBE	CAPES	ENGENHARIA QUIMICA	FEQ - FACULDADE ENGENHARIA QUIMICA	UNICAMP
17	BOLSISTA - MESTRADO	ANGELA JULIETH BUITRAGO MEJIA	LN BIO	CAPES	BIOLOGIA CELULAR E ESTRUTURAL	IB - INSTITUTO DE BIOLOGIA	UNICAMP
18	BOLSISTA - MESTRADO	EDWIN FERNANDO VASQUEZ VASQUEZ	LN BIO	FAPESP	BIOCIENCIAS E TECNOLOGIAS DE PRODUTOS BIOATIVOS	IB - INSTITUTO DE BIOLOGIA	UNICAMP
19	BOLSISTA - MESTRADO	FABIO MALTA DE SA PATRONI	LN BIO	FAPESP	GENETICA E BIOLOGIA MOLECULAR	IB - INSTITUTO DE BIOLOGIA	UNICAMP
20	BOLSISTA - MESTRADO	FRANCIELE DE LIMA	LN BIO	CNPQ	MEDICINA EXPERIMENTAL	HEMOCENTRO	METROCAMP
21	BOLSISTA - MESTRADO	GRAZIELE IZALINA VASCONCELOS BENRO	LN BIO	CAPES	BIOCIENCIAS E TECNOLOGIAS DE PRODUTOS BIOATIVOS	IB - INSTITUTO DE BIOLOGIA	UNICAMP
22	BOLSISTA - MESTRADO	ISADORA FERRAZ SEMIONATTO	LN BIO	CAPES	BIOCIENCIAS E TECNOLOGIAS DE PRODUTOS BIOATIVOS	IB - INSTITUTO DE BIOLOGIA	UNICAMP
23	BOLSISTA - MESTRADO	LIVIA MOREIRA GENARO	LN BIO	CAPES	CIENCIAS MEDICAS	FCM - FACULDADE DE CIENCIAS MEDICAS	UNICAMP
24	BOLSISTA - MESTRADO	MARIA LUISA BOLDIM VAGGIONE	LN BIO	CAPES	FISIOPATOLOGIA MEDICA	IB - INSTITUTO DE BIOLOGIA	UNICAMP
25	BOLSISTA - MESTRADO	MARIELI MARIANO GONCALVES DIAS	LN BIO	CAPES	BIOLOGIA FUNCIONAL E MOLECULAR	IB - INSTITUTO DE BIOLOGIA	UNICAMP
26	BOLSISTA - MESTRADO	MARINA ALVES FONTOURA	LN BIO	CNPQ	BIOLOGIA CELULAR E ESTRUTURAL	IB - INSTITUTO DE BIOLOGIA	UNICAMP
27	BOLSISTA - MESTRADO	NATHALIA DE CARVALHO INDOLFO	LN BIO	CNPQ	BIOCIENCIAS E TECNOLOGIAS DE PRODUTOS BIOATIVOS	IB - INSTITUTO DE BIOLOGIA	UNICAMP
28	BOLSISTA - MESTRADO	RAQUEL ORTEGA FERREIRA	LN BIO	CAPES	BIOCIENCIAS E TECNOLOGIAS DE PRODUTOS BIOATIVOS	IB - INSTITUTO DE BIOLOGIA	UNICAMP
29	BOLSISTA - MESTRADO	RHUBIA SILVEIRA MARTINS	LN BIO	CAPES	BIOCIENCIAS E TECNOLOGIAS DE PRODUTOS BIOATIVOS	IB - INSTITUTO DE BIOLOGIA	UNICAMP
30	BOLSISTA - MESTRADO	THAIS HELENA TITTANEGRO	LN BIO	FAPESP	BIOCIENCIAS E TECNOLOGIAS DE PRODUTOS BIOATIVOS	IB - INSTITUTO DE BIOLOGIA	UNICAMP



31	BOLSISTA - MESTRADO	WILLIAN DE SOUZA BERNARDES	LNBO	CAPES	GENETICA E BIOLOGIA MOLECULAR	IB - INSTITUTO DE BIOLOGIA	UNICAMP
32	BOLSISTA - MESTRADO	ANDIRA NURRIELLI DE OLIVEIRA COSTA	LNLS	CAPES	CIENCIA DOS MATERIAIS	CENTRO ENGENHARIAS	UNIVERSIDADE FEDERAL DO TOCANTINS
33	BOLSISTA - MESTRADO	ELIJAH ANERTEY ABBEY	LNLS	CAPES	FISICA	FISICA	UFCG
34	BOLSISTA - MESTRADO	ERIK ODA USUDA	LNLS	CAPES	FISICA	FISICA	USP
35	BOLSISTA - MESTRADO	FELIPE FERRAZ MORGADO DE OLIVEIRA	LNLS	FAPESP	FISICA	IF - INSTITUTO DE FISICA	UNICAMP
36	BOLSISTA - MESTRADO	FELIPE LUIZ ALVARES VITAL	LNLS	CAPES	FISICA	IF - INSTITUTO DE FISICA	UNICAMP
37	BOLSISTA - MESTRADO	GABRIEL GUARANY DE ARAUJO	LNLS	CAPES	BIOTECNOLOGIA	INSTITUTO DE PESQUISAS TECNOLOGICAS	USP
38	BOLSISTA - MESTRADO	GABRIEL PEREIRA FREITAS	LNLS	CAPES	FISICA	IF - INSTITUTO DE FISICA	UNICAMP
39	BOLSISTA - MESTRADO	LARA MALDANIS CERQUEIRA PERES	LNLS	CAPES	FISICA APLICADA	FISICA	USP
40	BOLSISTA - MESTRADO	LETICIA DE MELO COSTA	LNLS	FHR STFITU	BIOFISICA/ FISICA DA MATERIA CONDENSADA	IF - INSTITUTO DE FISICA	UNICAMP
41	BOLSISTA - MESTRADO	LUCAS CAPEL GODINHO	LNLS	CAPES	FISICA	IF - INSTITUTO DE FISICA	UNICAMP
42	BOLSISTA - MESTRADO	MARIA FERNANDA CERINI	LNLS	CAPES	FISICA APLICADA	FISICA	USP
43	BOLSISTA - MESTRADO	MARTA VENANCIA FRANCA RODRIGUES	LNLS	CAPES	QUIMICA	IQ - INSTITUTO DE QUIMICA	UNIVERSIDADE FEDERAL DO MARANHAO – UFMA
44	BOLSISTA - MESTRADO	MAYARA MARIA BELTANI AURICCHIO	LNLS	CAPES	ENGENHARIA MECANICA	FEM - FACULDADE DE ENGENHARIA MECANICA	UNICAMP
45	BOLSISTA - MESTRADO	THIAGO ALTAIR FERREIRA	LNLS	CAPES	FISICA BIOMOLECULAR	FISICA	USP
46	BOLSISTA - MESTRADO	ALFREDO JOSE FLOREZ ARIZA	LNNANO	CAPES	FISICA APLICADA	FISICA	USP
47	BOLSISTA - MESTRADO	CAMILA LUNA DE CAMARGO	LNNANO	CAPES	ENGENHARIA MECANICA	FEM - FACULDADE DE ENGENHARIA MECANICA	UNICAMP

48	BOLSISTA - MESTRADO	DEBORAH CEZAR MENDONCA	LNNANO	CAPES	FISICA APLICADA	FISICA	USP
49	BOLSISTA - MESTRADO	FLAVIA ELISA GALDINO	LNNANO	CNPQ	QUIMICA	IQ - INSTITUTO DE QUIMICA	UNICAMP
50	BOLSISTA - MESTRADO	FRANCINE COA	LNNANO	CAPES	AQUICULTURA E PESCA	AGRICULTURA	APTA
51	BOLSISTA - MESTRADO	JAIRO BRENO FRANCISCO DE OLIVEIRA BARAUNA	LNNANO	CAPES	ENGENHARIA MECANICA	FEM - FACULDADE DE ENGENHARIA MECANICA	UNICAMP
52	BOLSISTA - MESTRADO	KLEYTON TORIKAI	LNNANO	CAPES	CIENCIAS E TECNOLOGIA DE MATERIAIS	FACULDADE DE CIENCIAS	UNESP
53	BOLSISTA - MESTRADO	LAIS LUZ RODRIGUES NETO	LNNANO	CAPES	TECNOLOGIA	FT - FACULDADE DE TECNOLOGIA	UNICAMP
54	BOLSISTA - MESTRADO	LARISSA FERNANDA FERREIRA	LNNANO	FAPESP	BIOTECNOLOGIA	BTC - PROGRAMA DE POS GRADUACAO EM BIOTECNOCENCIA	UNIVERSIDADE FEDERAL DO ABC
55	BOLSISTA - MESTRADO	LIDIANE DE OLIVEIRA PINTO	LNNANO	CAPES	QUIMICA	IQ - INSTITUTO DE QUIMICA	UNICAMP
56	BOLSISTA - MESTRADO	PAULA ANDREIA PETRINI	LNNANO	CAPES	CIENCIAS E TECNOLOGIA DE MATERIAIS	FACULDADE DE CIENCIAS	UNESP
57	BOLSISTA - MESTRADO	RICARDO MAGNO LOPES DA SILVA	LNNANO	CAPES	CIENCIAS E TECNOLOGIA DE MATERIAIS	FACULDADE DE CIENCIAS	UNESP
58	BOLSISTA - MESTRADO	TATIANA PARRA VELLO	LNNANO	FAPESP	QUIMICA	IQ - INSTITUTO DE QUIMICA	UNICAMP
59	BOLSISTA - DOUTORADO	AMANDA SILVA DE SOUSA	CTBE	CAPES	BIOCIENCIAS E TECNOLOGIAS DE PRODUTOS BIOATIVOS	IB - INSTITUTO DE BIOLOGIA	UNICAMP
60	BOLSISTA - DOUTORADO	ANA MARIA ZETTY ARENAS	CTBE	CNPQ	BIOENERGIA	FEA - FACULDADE DE ENGENHARIA DE ALIMENTOS	UNICAMP
61	BOLSISTA - DOUTORADO	ANTONIO ADALBERTO KAUPERT NETO	CTBE	CAPES	GENETICA E BIOLOGIA MOLECULAR	IB - INSTITUTO DE BIOLOGIA	UNICAMP
62	BOLSISTA - DOUTORADO	BEATRIZ STANGHERLIN SANTUCCI	CTBE	CNPQ	QUIMICA ORGANICA	IQ - INSTITUTO DE QUIMICA	USP
63	BOLSISTA - DOUTORADO	BIANCA CONSORTI BUSSAMRA	CTBE	CNPQ	ENGENHARIA QUIMICA	FEQ - FACULDADE ENGENHARIA QUIMICA	UNICAMP
64	BOLSISTA - DOUTORADO	BRUNA CONSTANTE FONSECA	CTBE	CAPES	QUIMICA	IQ - INSTITUTO DE QUIMICA	USP

65	BOLSISTA - DOUTORADO	BRUNA CRISTINA GALLO	CTBE	CAPES	BIOENERGIA	FEA - FACULDADE DE ENGENHARIA DE ALIMENTOS	UNICAMP
66	BOLSISTA - DOUTORADO	BRUNA TATSUE GRICHOSWSKI NAKAGAWA	CTBE	CAPES	GENETICA E BIOLOGIA MOLECULAR	IB - INSTITUTO DE BIOLOGIA	UNICAMP
67	BOLSISTA - DOUTORADO	CARLA DE SANTANNA FREITAS	CTBE	CAPES	QUIMICA	IQ - INSTITUTO DE QUIMICA	UNICAMP
68	BOLSISTA - DOUTORADO	CAROLINA CASSANO MONTE BELLO	CTBE	FAPESP	GENETICA E BIOLOGIA MOLECULAR	IB - INSTITUTO DE BIOLOGIA	UNICAMP
69	BOLSISTA - DOUTORADO	CLEILTON SANTOS LIMA	CTBE	CAPES	BIOTECNOLOGIA INDUSTRIAL	ENGENHARIA	USP
70	BOLSISTA - DOUTORADO	CLEITON MARCIO PINTO BRAGA	CTBE	CAPES	BIOTECNOLOGIA	CIENCIAS BIOLOGICAS	UFSCAR
71	BOLSISTA - DOUTORADO	DIEGO ANDRES RUEDA ORDONEZ	CTBE	CAPES	BIOENERGIA	FEA - FACULDADE DE ENGENHARIA DE ALIMENTOS	UNICAMP
72	BOLSISTA - DOUTORADO	DIOGO MIRANDA	CTBE	CAPES	BIOENERGIA	FEA - FACULDADE DE ENGENHARIA DE ALIMENTOS	UNICAMP
73	BOLSISTA - DOUTORADO	EDUARDO CRUZ MORAES	CTBE	CNPQ	BIOLOGIA FUNCIONAL E MOLECULAR	IB - INSTITUTO DE BIOLOGIA	UNICAMP
74	BOLSISTA - DOUTORADO	EDUARDO FRANCISCO ALMEIDA BENALCAZAR	CTBE	FAPESP	ENGENHARIA QUIMICA	FEQ - FACULDADE ENGENHARIA QUIMICA	UNICAMP
75	BOLSISTA - DOUTORADO	ELISA MAGALHAES DE MEDEIROS	CTBE	TU DELFT	ENGENHARIA QUIMICA	FEQ - FACULDADE ENGENHARIA QUIMICA	UNICAMP
76	BOLSISTA - DOUTORADO	FABRICIA FARIAS DE MENEZES	CTBE	FAPEAM	BIOENERGIA	FEA - FACULDADE DE ENGENHARIA DE ALIMENTOS	UNICAMP
77	BOLSISTA - DOUTORADO	FERNAN DAVID MARTINEZ JIMENEZ	CTBE	CAPES	ENGENHARIA QUIMICA	FEQ - FACULDADE ENGENHARIA QUIMICA	UNICAMP
78	BOLSISTA - DOUTORADO	GUILHERME ADALBERTO FERREIRA CASTIONI	CTBE	CNPQ	ENGENHARIA DE AGUA E SOLO	FEAGRI - FACULDADE DE ENGENHARIA AGRICOLA	UNICAMP
79	BOLSISTA - DOUTORADO	GUSTAVO PAGOTTO BORIN	CTBE	FAPESP	GENETICA E BIOLOGIA MOLECULAR	IB - INSTITUTO DE BIOLOGIA	UNICAMP
80	BOLSISTA - DOUTORADO	ISABELA MENDES BONFIM	CTBE	CAPES	BIOLOGIA FUNCIONAL E MOLECULAR	IB - INSTITUTO DE BIOLOGIA	UNICAMP
81	BOLSISTA - DOUTORADO	JESSICA MARCON BRESSANIN	CTBE	CAPES	BIOENERGIA	FEA - FACULDADE DE ENGENHARIA DE ALIMENTOS	UNICAMP
82	BOLSISTA - DOUTORADO	JOAO ROSSI NETO	CTBE	CAPES	BIOENERGIA	FEA - FACULDADE DE ENGENHARIA DE ALIMENTOS	UNICAMP

83	BOLSISTA - DOUTORADO	JOSIANE ANIELE SCARPASSA	CTBE	CAPES	MICROBIOLOGIA E IMUNOLOGIA	INSTITUTO DE BIOCENCIAS E CIENCIAS EXATAS	UNESP
84	BOLSISTA - DOUTORADO	LEANDRO CARNEIRO BARBOSA	CTBE	CAPES	ENGENHARIA AGRICOLA	FEAGRI - FACULDADE DE ENGENHARIA AGRICOLA	UNICAMP
85	BOLSISTA - DOUTORADO	LIVIA BEATRIZ BRENELLI DE PAIVA	CTBE	FAPESP	BIOLOGIA FUNCIONAL E MOLECULAR	IB - INSTITUTO DE BIOLOGIA	UNICAMP
86	BOLSISTA - DOUTORADO	LUCAS GELAIN	CTBE	CNPQ	ENGENHARIA QUIMICA	FEQ - FACULDADE ENGENHARIA QUIMICA	UNICAMP
87	BOLSISTA - DOUTORADO	LUCAS SOUZA LOPES	CTBE	FAPESP	BIOENERGIA	BIOLOGIA	ESALQ
88	BOLSISTA - DOUTORADO	LUCAS TADEU FUESS	CTBE	FAPESP	ENGENHARIA HIDRAULICA E SANEAMENTO	ENGENHARIA	USP
89	BOLSISTA - DOUTORADO	LUCIANA DO CARMO ZOTELLI	CTBE	CAPES	PLANEJAMENTO DE SISTEMAS ENERGETICOS	FEM - FACULDADE DE ENGENHARIA MECANICA	UNICAMP
90	BOLSISTA - DOUTORADO	LUIS GUILHERME FURLAN ABREU	CTBE	CNPQ	GENETICA E BIOLOGIA MOLECULAR	IB - INSTITUTO DE BIOLOGIA	UNICAMP
91	BOLSISTA - DOUTORADO	LUIZ EDUARDO BIAZI	CTBE	FAPESP	ENGENHARIA QUIMICA	FEQ - FACULDADE ENGENHARIA QUIMICA	UNICAMP
92	BOLSISTA - DOUTORADO	MARCELE PANDELO MARTINS	CTBE	CAPES	BIOLOGIA FUNCIONAL E MOLECULAR	IB - INSTITUTO DE BIOLOGIA	UNICAMP
93	BOLSISTA - DOUTORADO	MARCELO MIRANDA DE OLIVEIRA	CTBE	CAPES	CIENCIA E ENGENHARIA DE MATERIAIS	FISICA	USP
94	BOLSISTA - DOUTORADO	MARIANE PAUDETTI ZUBIETA	CTBE	FAPESP	BIOLOGIA FUNCIONAL E MOLECULAR	IB - INSTITUTO DE BIOLOGIA	UNICAMP
95	BOLSISTA - DOUTORADO	PATRICIA DOS SANTOS COSTA	CTBE	FAPESP	ENGENHARIA QUIMICA	FEQ - FACULDADE ENGENHARIA QUIMICA	UNICAMP
96	BOLSISTA - DOUTORADO	PAULO RICARDO CASAGRANDE LAZZARINI	CTBE	CAPES	BIOENERGIA	FEA - FACULDADE DE ENGENHARIA DE ALIMENTOS	UNICAMP
97	BOLSISTA - DOUTORADO	PEDRO AVELLAR CABRAL RODRIGUES DA COSTA	CTBE	CAPES	BIOLOGIA FUNCIONAL E MOLECULAR	IB - INSTITUTO DE BIOLOGIA	UNICAMP
98	BOLSISTA - DOUTORADO	PEDRO YORITOMO SOUZA NAKASU	CTBE	CNPQ	ENGENHARIA QUIMICA	FEQ - FACULDADE ENGENHARIA QUIMICA	UNICAMP
99	BOLSISTA - DOUTORADO	RAFAEL FERRAZ ALVES	CTBE	CAPES	BIOENERGIA	FEA - FACULDADE DE ENGENHARIA DE ALIMENTOS	UNICAMP
100	BOLSISTA - DOUTORADO	REGIANE ALVES DE OLIVEIRA	CTBE	FAPESP	BIOENERGIA	FEA - FACULDADE DE ENGENHARIA DE ALIMENTOS	UNICAMP

101	BOLSISTA - DOUTORADO	RENATO CRUZ NEVES	CTBE	CAPES	BIOENERGIA	FEA - FACULDADE DE ENGENHARIA DE ALIMENTOS	UNICAMP
102	BOLSISTA - DOUTORADO	RICARDO JUSTINO DA SILVA	CTBE	CAPES	ENGENHARIA QUIMICA	FEQ - FACULDADE ENGENHARIA QUIMICA	UNICAMP
103	BOLSISTA - DOUTORADO	RICARDO RODRIGUES DE MELO	CTBE	CNPQ	CIENCIAS ALIMENTOS	FEA - FACULDADE DE ENGENHARIA DE ALIMENTOS	UNICAMP
104	BOLSISTA - DOUTORADO	ROBSON TRAMONTINA	CTBE	FAPESP	BIOCIENCIAS E TECNOLOGIAS DE PRODUTOS BIOATIVOS	IB - INSTITUTO DE BIOLOGIA	UNICAMP
105	BOLSISTA - DOUTORADO	ROSA LORIZOLLA CORDEIRO	CTBE	FAPESP	BIOLOGIA FUNCIONAL E MOLECULAR	IB - INSTITUTO DE BIOLOGIA	UNICAMP
106	BOLSISTA - DOUTORADO	SARAH TENELLI	CTBE	CAPES	BIOENERGIA	FEA - FACULDADE DE ENGENHARIA DE ALIMENTOS	UNICAMP
107	BOLSISTA - DOUTORADO	SIDNEI EMILIO BORDIGNON JUNIOR	CTBE	CAPES	ENGENHARIA E CIENCIAS DE ALIMENTOS	INSTITUTO DE BIOCIENCIAS E CIENCIAS EXATAS	UNESP
108	BOLSISTA - DOUTORADO	SURANNY JIMENEZ CHACON	CTBE	CNPQ	ENGENHARIA QUIMICA	FEQ - FACULDADE ENGENHARIA QUIMICA	UNICAMP
109	BOLSISTA - DOUTORADO	THAYNARA CORADINI PIN	CTBE	CAPES	ENGENHARIA QUIMICA	FEQ - FACULDADE ENGENHARIA QUIMICA	UNICAMP
110	BOLSISTA - DOUTORADO	THIAGO AUGUSTO GONCALVES	CTBE	CNPQ	FISICA	IF - INSTITUTO DE FISICA	UNICAMP
111	BOLSISTA - DOUTORADO	THIAGO NEITZEL	CTBE	CAPES	BIOENERGIA	FEA - FACULDADE DE ENGENHARIA DE ALIMENTOS	UNICAMP
112	BOLSISTA - DOUTORADO	VICTOR COELHO GERALDO	CTBE	CAPES	BIOENERGIA	FEA - FACULDADE DE ENGENHARIA DE ALIMENTOS	UNICAMP
113	BOLSISTA - DOUTORADO	WILLIAM EDUARDO HERRERA	CTBE	FAPESP	ENGENHARIA QUIMICA	FEQ - FACULDADE ENGENHARIA QUIMICA	UNICAMP
114	BOLSISTA - DOUTORADO	ADALBERTO MIGUEL DE ARAUJO JR	LN BIO	CNPQ	MICROBIOLOGIA E IMUNOLOGIA	INSTITUTO DE CIENCIAS BIOMEDICAS	USP
115	BOLSISTA - DOUTORADO	ALINE GUIMARAES SANTANA	LN BIO	FAPESP	BIOLOGIA FUNCIONAL E MOLECULAR	IB - INSTITUTO DE BIOLOGIA	UNICAMP
116	BOLSISTA - DOUTORADO	ALLINY CRISTINY DA SILVA BASTOS	LN BIO	CAPES	BIOTECNOLOGIA	PPGBIOTEC - INSTITUTO DE BIOTECNOLOGIA	UNIVERSIDADE FEDERAL DO ESPIRITO SANTO
117	BOLSISTA - DOUTORADO	AMERICO TAVARES RANZANI	LN BIO	FAPESP	BIOFISICA	IB - INSTITUTO DE BIOLOGIA	UNICAMP

118	BOLSISTA - DOUTORADO	ANA AMELIA SANCHEZ IACIA	LN BIO	FAPESP	GENETICA E BIOLOGIA MOLECULAR	IAC - INSTITUTO AGRONOMICO DE CAMPINAS	IAC
119	BOLSISTA - DOUTORADO	ANA CAROLINA PASCHOALINI MAFRA	LN BIO	FAPESP	GENETICA E BIOLOGIA MOLECULAR	IB - INSTITUTO DE BIOLOGIA	UNICAMP
120	BOLSISTA - DOUTORADO	ANDREA JOHANNA MANRIQUE RINCON	LN BIO	FAPESP	BIOLOGIA FUNCIONAL E MOLECULAR	IB - INSTITUTO DE BIOLOGIA	UNICAMP
121	BOLSISTA - DOUTORADO	ANGELA MARIA FALA	LN BIO	FAPESP	BIOCIENCIAS E TECNOLOGIAS DE PRODUTOS BIOATIVOS	IB - INSTITUTO DE BIOLOGIA	UNICAMP
122	BOLSISTA - DOUTORADO	BRUNA DOMINGUES VIEIRA	LN BIO	CNPQ	BIOCIENCIAS E TECNOLOGIAS DE PRODUTOS BIOATIVOS	IB - INSTITUTO DE BIOLOGIA	UNICAMP
123	BOLSISTA - DOUTORADO	CAIO CESAR DE LIMA SILVA	LN BIO	FAPESP	GENETICA E BIOLOGIA MOLECULAR	IB - INSTITUTO DE BIOLOGIA	UNICAMP
124	BOLSISTA - DOUTORADO	CAIO HADDAD FRANCO	LN BIO	CNPQ	MICROBIOLOGIA E IMUNOLOGIA	MEDICINA	UNIFESP
125	BOLSISTA - DOUTORADO	CAMILA CRISTINA PASCOAL	LN BIO	FAPESP	BIOQUIMICA	IQ - INSTITUTO DE QUIMICA	UNICAMP
126	BOLSISTA - DOUTORADO	CAROLINA MORETTO CARNIELLI	LN BIO	FAPESP	BIOCIENCIAS E TECNOLOGIAS DE PRODUTOS BIOATIVOS	IB - INSTITUTO DE BIOLOGIA	UNICAMP
127	BOLSISTA - DOUTORADO	CAROLINE FERNANDA RODRIGUES ASCENCAO	LN BIO	FAPESP	GENETICA E BIOLOGIA MOLECULAR	IB - INSTITUTO DE BIOLOGIA	UNICAMP
128	BOLSISTA - DOUTORADO	CESAR ANDRES RIVERA MARTINEZ	LN BIO	CAPES	ESTOMATOLOGIA	FOP - FACULDADE DE ODONTOLOGIA	UNICAMP
129	BOLSISTA - DOUTORADO	DENISE REGINA BAIROS DE PILGER	LN BIO	CAPES	MICROBIOLOGIA E IMUNOLOGIA	BIOTECNOLOGIA	UNIFESP
130	BOLSISTA - DOUTORADO	DOUGLAS ADAMOSKI MEIRA	LN BIO	FAPESP	GENETICA E BIOLOGIA MOLECULAR	IB - INSTITUTO DE BIOLOGIA	UNICAMP
131	BOLSISTA - DOUTORADO	FABIO NEVES DO AMARAL	LN BIO	FAPESP	CIENCIAS	BIOLOGIA CELULAR E TECIDAL	USP
132	BOLSISTA - DOUTORADO	FERNANDA RODRIGUES DA COSTA	LN BIO	FAPESP	GENETICA E BIOLOGIA MOLECULAR	IB - INSTITUTO DE BIOLOGIA	UNICAMP
133	BOLSISTA - DOUTORADO	FLAVIA DA SILVA ZANDONADI	LN BIO	FAPESP	BIOLOGIA FUNCIONAL E MOLECULAR	IB - INSTITUTO DE BIOLOGIA	UNICAMP
134	BOLSISTA - DOUTORADO	GABRIELA MARIA DE ABREU GOMES	LN BIO	INCT	GENETICA E BIOLOGIA MOLECULAR	IB - INSTITUTO DE BIOLOGIA	UNICAMP

135	BOLSISTA - DOUTORADO	GIOVANA APARECIDA DE SOUZA CINTRA	LN BIO	FAPESP	MICROBIOLOGIA E IMUNOLOGIA	BIOLOGIA	UNIFESP
136	BOLSISTA - DOUTORADO	HELDER VERAS RIBEIRO FILHO	LN BIO	CAPES	BIOCIENCIAS E TECNOLOGIAS DE PRODUTOS BIOATIVOS	IB - INSTITUTO DE BIOLOGIA	UNICAMP
137	BOLSISTA - DOUTORADO	IRENE LAYANE DE SOUSA	LN BIO	CAPES	FISIOPATOLOGIA MEDICA	IFCH - INSTITUTO DE FILOSOFIA E CIENCIAS HUMANAS	UNICAMP
138	BOLSISTA - DOUTORADO	JAMILE DE OLIVEIRA SA	LN BIO	CAPES	ESTOMATOLOGIA	FOP - FACULDADE DE ODONTOLOGIA	UNICAMP
139	BOLSISTA - DOUTORADO	JESSICA DO NASCIMENTO FARIA	LN BIO	FAPESP	BIOQUIMICA	IQ - INSTITUTO DE QUIMICA	UNICAMP
140	BOLSISTA - DOUTORADO	JOSE EDWIN NECIOSUP QUESNAY	LN BIO	FAPESP	BIOCIENCIAS E TECNOLOGIAS DE PRODUTOS BIOATIVOS	IB - INSTITUTO DE BIOLOGIA	UNICAMP
141	BOLSISTA - DOUTORADO	JOSE RICARDO SERATTI ROSSI	LN BIO	CAPES	CIENCIAS BIOLOGICAS	INSTITUTO DE BIOCIENCIAS E CIENCIAS EXATAS	USP
142	BOLSISTA - DOUTORADO	KRISHINA RATNA SOUSA DE OLIVEI	LN BIO	FAPESP	GENETICA E BIOLOGIA MOLECULAR	IB - INSTITUTO DE BIOLOGIA	UNICAMP
143	BOLSISTA - DOUTORADO	LARISSA MENEZES DOS REIS	LN BIO	FAPESP	GENETICA E BIOLOGIA MOLECULAR	IB - INSTITUTO DE BIOLOGIA	UNICAMP
144	BOLSISTA - DOUTORADO	LAURA MARIA ALCANTARA	LN BIO	CNPQ	GENETICA E BIOLOGIA MOLECULAR	IB - INSTITUTO DE BIOLOGIA	UNICAMP
145	BOLSISTA - DOUTORADO	LUANA NUNES SANTOS	LN BIO	FAPESP	BIOLOGIA CELULAR E TECIDAL	BIOLOGIA CELULAR E DO DESENVOLVIMENTO	USP
146	BOLSISTA - DOUTORADO	LUCAS MAYRINK ASSIS	LN BIO	FAPESP	BIOQUIMICA DE MICROORGANISMOS	IB - INSTITUTO DE BIOLOGIA	UNICAMP
147	BOLSISTA - DOUTORADO	LUCIANO GRACIENI DOLCE	LN BIO	FAPESP	BIOLOGIA FUNCIONAL E MOLECULAR	IB - INSTITUTO DE BIOLOGIA	UNICAMP
148	BOLSISTA - DOUTORADO	LUIZA SANTOS NAVES	LN BIO	CAPES	GENETICA E BIOLOGIA MOLECULAR	IB - INSTITUTO DE BIOLOGIA	UNICAMP
149	BOLSISTA - DOUTORADO	MARIANA PICCOLI GONCALVES	LN BIO	CAPES	GENETICA E BIOLOGIA MOLECULAR	IB - INSTITUTO DE BIOLOGIA	UNICAMP
150	BOLSISTA - DOUTORADO	MARIO RAMOS DE OLIVEIRA BARSOTTINI	LN BIO	CNPQ	GENETICA E BIOLOGIA MOLECULAR	IB - INSTITUTO DE BIOLOGIA	UNICAMP
151	BOLSISTA - DOUTORADO	MAYARA MAYELE MIYACHIRO	LN BIO	FAPESP	GENETICA E BIOLOGIA MOLECULAR	IB - INSTITUTO DE BIOLOGIA	UNICAMP

152	BOLSISTA - DOUTORADO	NADIA RASHEED	LN BIO	CNPQ	GENETICA E BIOLOGIA MOLECULAR	IB - INSTITUTO DE BIOLOGIA	UNICAMP
153	BOLSISTA - DOUTORADO	NATALIA BERNARDI VIDEIRA	LN BIO	FAPESP	BIOCIENCIAS E TECNOLOGIAS DE PRODUTOS BIOATIVOS	IB - INSTITUTO DE BIOLOGIA	UNICAMP
154	BOLSISTA - DOUTORADO	NAYARA PATRICIA VIEIRA DE LIRA	LN BIO	FAPESP	BIOLOGIA FUNCIONAL E MOLECULAR	IB - INSTITUTO DE BIOLOGIA	UNICAMP
155	BOLSISTA - DOUTORADO	PATRICIA BALLONE	LN BIO	CAPES	BIOCIENCIAS E TECNOLOGIAS DE PRODUTOS BIOATIVOS	IB - INSTITUTO DE BIOLOGIA	UNICAMP
156	BOLSISTA - DOUTORADO	PAULO VINICIUS DA MATA MADEIRA	LN BIO	CAPES	GENETICA E BIOLOGIA MOLECULAR	IB - INSTITUTO DE BIOLOGIA	UNICAMP
157	BOLSISTA - DOUTORADO	RAFAELA MILAN BONOTTO	LN BIO	CAPES	GENETICA E BIOLOGIA MOLECULAR	IB - INSTITUTO DE BIOLOGIA	UNICAMP
158	BOLSISTA - DOUTORADO	RAISSA DE PAULA MORO	LN BIO	CNPQ	GENETICA E BIOLOGIA MOLECULAR	IB - INSTITUTO DE BIOLOGIA	UNICAMP
159	BOLSISTA - DOUTORADO	REBECA DE PAIVA FROES ROCHA	LN BIO	CAPES	GENETICA E BIOLOGIA MOLECULAR	IB - INSTITUTO DE BIOLOGIA	UNICAMP
160	BOLSISTA - DOUTORADO	RENNA KAROLINE ELOI COSTA	LN BIO	FAPESP	GENETICA E BIOLOGIA MOLECULAR	IB - INSTITUTO DE BIOLOGIA	UNICAMP
161	BOLSISTA - DOUTORADO	SABRINA GONDIM RIBEIRO MOTA	LN BIO	FAPESP	BIOCIENCIAS E TECNOLOGIAS DE PRODUTOS BIOATIVOS	IB - INSTITUTO DE BIOLOGIA	UNICAMP
162	BOLSISTA - DOUTORADO	SOLEDAD PALAMETA	LN BIO	CAPES	BIOCIENCIAS E TECNOLOGIAS DE PRODUTOS BIOATIVOS	IB - INSTITUTO DE BIOLOGIA	UNICAMP
163	BOLSISTA - DOUTORADO	TABATA RENEE DORATIOTO	LN BIO	FAPESP	BIOCIENCIAS E TECNOLOGIAS DE PRODUTOS BIOATIVOS	IB - INSTITUTO DE BIOLOGIA	UNICAMP
164	BOLSISTA - DOUTORADO	TANES IMAMURA DE LIMA	LN BIO	CAPES	BIOQUIMICA	CIENCIAS BIOLOGICAS	USP
165	BOLSISTA - DOUTORADO	TATIANE DE ROSSI	LN BIO	FAPESP	BIOLOGIA FUNCIONAL E MOLECULAR	IB - INSTITUTO DE BIOLOGIA	UNICAMP
166	BOLSISTA - DOUTORADO	TATIANI BRENELLI DE LIMA	LN BIO	CAPES	QUIMICA	IQ - INSTITUTO DE QUIMICA	UNICAMP
167	BOLSISTA - DOUTORADO	THALITA CAMELO DA SILVA FERREIRA	LN BIO	CNPQ	GENETICA E BIOLOGIA MOLECULAR	IB - INSTITUTO DE BIOLOGIA	UNICAMP



168	BOLSISTA - DOUTORADO	ANA FLAVIA SUZANA	LNLS	CAPES	QUIMICA	INSTITUTO DE QUIMICA	UNESP
169	BOLSISTA - DOUTORADO	CARLOS ALBERTO SEPULVEDA LANZIANO	LNLS	CAPES	ENGENHARIA QUIMICA	FEQ - FACULDADE ENGENHARIA QUIMICA	UNICAMP
170	BOLSISTA - DOUTORADO	CAROLINE LYDIE MOULS	LNLS	FAPESP	FISICA	IF - INSTITUTO DE FISICA	UNICAMP
171	BOLSISTA - DOUTORADO	CELSO ISRAEL FORNARI	LNLS	CNPQ	CIENCIA DOS MATERIAIS E SENSORES	CIENCIAS	INPE
172	BOLSISTA - DOUTORADO	DANIAN ALEXANDRE DUGATO	LNLS	CAPES	FISICA	CENTRO DE CIENCIAS NATURAIS E EXATAS	UNIVERSIDADE FEDERAL DE SANTA MARIA
173	BOLSISTA - DOUTORADO	FLAVIA REGINA ESTRADA	LNLS	CAPES	FISICA	FISICA	UFSCAR
174	BOLSISTA - DOUTORADO	GLAUCO FERRO LEAL	LNLS	CNPQ	QUIMICA	IQ - INSTITUTO DE QUIMICA	USP
175	BOLSISTA - DOUTORADO	JOAO JULIO MENDES AGUERA	LNLS	CAPES	FISICA	FISICA	USP
176	BOLSISTA - DOUTORADO	RODOLFO FINI	LNLS	CNPQ	QUIMICA	INSTITUTO DE QUIMICA	UNESP
177	BOLSISTA - DOUTORADO	RODRIGO DOS SANTOS RODRIGUES	LNLS	CNPQ	FISICA	IF - INSTITUTO DE FISICA	UNICAMP
178	BOLSISTA - DOUTORADO	RODRIGO SZOSTAK	LNLS	CAPES	QUIMICA	IQ - INSTITUTO DE QUIMICA	UNICAMP
179	BOLSISTA - DOUTORADO	WILLIAM IMAMURA	LNLS	CAPES	ENGENHARIA MECANICA	FEM - FACULDADE DE ENGENHARIA MECANICA	UNICAMP
180	BOLSISTA - DOUTORADO	ALINE MARIA ZIGIOTTO DE MEDEIROS	LNNANO	CAPES	CIENCIAS QUIMICA NA AGRICULTURA E NO AMBIENTE	CENA - CENTRO ENERGIA NUCLEAR NA AGRICULTURA	USP
181	BOLSISTA - DOUTORADO	ANA PAOLA KIM SARAVIA	LNNANO	CAPES	ENGENHARIA QUIMICA	FEQ - FACULDADE ENGENHARIA QUIMICA	UNICAMP
182	BOLSISTA - DOUTORADO	CARLOS CAVALCANTE LIMA	LNNANO	CAPES	QUIMICA	IQ - INSTITUTO DE QUIMICA	UNICAMP
183	BOLSISTA - DOUTORADO	CAROLINE EZEQUIEL DE PAULO DA SILVA	LNNANO	CAPES	QUIMICA	IQ - INSTITUTO DE QUIMICA	UNICAMP
184	BOLSISTA - DOUTORADO	FILIFE VARGAS FERREIRA	LNNANO	FAPESP	ENGENHARIA QUIMICA	IQ - INSTITUTO DE QUIMICA	UNICAMP

185	BOLSISTA - DOUTORADO	FRANCINE COA	LNNANO	CAPES	CIENCIAS	CENA - CENTRO ENERGIA NUCLEAR NA AGRICULTURA	USP
186	BOLSISTA - DOUTORADO	FRANCINE RAMOS SCHEFFER	LNNANO	CAPES	QUIMICA	IQ - INSTITUTO DE QUIMICA	UNICAMP
187	BOLSISTA - DOUTORADO	GABRIEL RAVANHANI SCHLEDER	LNNANO	CAPES	NANOCIENCIAS E MATERIAIS AVANÇADOS	CENTRO ENGENHARIAS	UNIVERSIDADE FEDERAL DO ABC
188	BOLSISTA - DOUTORADO	GABRIELA BORBA MONDO	LNNANO	FAPESP	QUIMICA	IQ - INSTITUTO DE QUIMICA	UNICAMP
189	BOLSISTA - DOUTORADO	GABRIELA HELENA DA SILVA	LNNANO	CAPES	QUIMICA NA AGRICULTURA E AMBIENTE	CENA - CENTRO ENERGIA NUCLEAR NA AGRICULTURA	USP
190	BOLSISTA - DOUTORADO	IRIS RENATA RIBEIRO	LNNANO	CAPES	QUIMICA	IQ - INSTITUTO DE QUIMICA	UNICAMP
191	BOLSISTA - DOUTORADO	JACIARA BAR	LNNANO	CAPES	FISICO QUIMICA	IQ - INSTITUTO DE QUIMICA	USP
192	BOLSISTA - DOUTORADO	JESSICA FERNANDA AFFONSO DE OLIVEIRA	LNNANO	FAPESP	QUIMICA	IQ - INSTITUTO DE QUIMICA	UNICAMP
193	BOLSISTA - DOUTORADO	JULIAN DAVID ESCOBAR ATEHORTUA	LNNANO	FAPESP	ENGENHARIA MECANICA	FEM - FACULDADE DE ENGENHARIA MECANICA	UNICAMP
194	BOLSISTA - DOUTORADO	LEANDRO DAS MERCES SILVA	LNNANO	CAPES	FISICA	IF - INSTITUTO DE FISICA	UNICAMP
195	BOLSISTA - DOUTORADO	LEANDRO DE SA BORTOLOZZO	LNNANO	CAPES	TECNOLOGIA	FT - FACULDADE DE TECNOLOGIA	UNICAMP
196	BOLSISTA - DOUTORADO	LETICIA MARIE MINATOGAU FERRO	LNNANO	CAPES	QUIMICA	IQ - INSTITUTO DE QUIMICA	UNICAMP
197	BOLSISTA - DOUTORADO	LIA BERALDO DA SILVEIRA BALESTRIN	LNNANO	CNPQ	QUIMICA	IQ - INSTITUTO DE QUIMICA	UNICAMP
198	BOLSISTA - DOUTORADO	LIDIANE SILVA FRANQUI	LNNANO	CAPES	TECNOLOGIA	FT - FACULDADE DE TECNOLOGIA	UNICAMP
199	BOLSISTA - DOUTORADO	MANOELLA DA SILVA CAVALCANTE	LNNANO	CNPQ	GEOLOGIA E GEOQUIMICA	GEOLOGIA	UNIVERSIDADE FEDERAL PARA
200	BOLSISTA - DOUTORADO	MARCIA EBLING DE SOUZA	LNNANO	CAPES	NANOCIENCIAS E MATERIAIS AVANÇADOS	CIENCIAS	UNIFRA
201	BOLSISTA - DOUTORADO	MARINA FERNANDES COSATE DE ANDRADE	LNNANO	CNPQ	ENGENHARIA QUIMICA	IQ - INSTITUTO DE QUIMICA	UNICAMP
202	BOLSISTA - DOUTORADO	MONIQUE ROSOLEM CHINELATTO	LNNANO	CAPES	ENGENHARIA QUIMICA	IQ - INSTITUTO DE QUIMICA	UNICAMP

203	BOLSISTA - DOUTORADO	RAMIRO JOSE CHAMORRO CONEO	LNNANO	COLCIENCIA	ENGENHARIA MECANICA	FEM - FACULDADE DE ENGENHARIA MECANICA	UNICAMP
204	BOLSISTA - DOUTORADO	TATIANA PARRA VELLO	LNNANO	FAPESP	QUIMICA	INSTITUTO DE QUIMICA	UNESP
205	BOLSISTA - DOUTORADO	VITOR HUGO BALASCO SERRAO	LNNANO	CNPQ	FISICA	FISICA	USP
206	BOLSISTA - DOUTORADO	WILLIAN TAKEMITSU SHIGEYOSI	LNNANO	CAPES	FISICA	FISICA	UFSCAR

	BOLSISTA - DOUTORADO	BOLSISTA - MESTRADO	Total
<b>APTA</b>		<b>1</b>	<b>1</b>
AQUICULTURA E PESCA		1	1
<b>ESALQ</b>	<b>1</b>		<b>1</b>
BIOENERGIA	1		1
<b>IAC</b>	<b>1</b>	<b>1</b>	<b>2</b>
ENGENHARIA AGRONOMICA		1	1
GENETICA E BIOLOGIA MOLECULAR	1		1
<b>INPE</b>	<b>1</b>		<b>1</b>
CIENCIA DOS MATERIAIS E SENSORES	1		1
<b>METROCAMP</b>		<b>1</b>	<b>1</b>
MEDICINA EXPERIMENTAL		1	1
<b>UFCG</b>		<b>1</b>	<b>1</b>
FISICA		1	1
<b>UFSCAR</b>	<b>3</b>		<b>3</b>
BIOTECNOLOGIA	1		1
FISICA	2		2
<b>UNESP</b>	<b>5</b>	<b>4</b>	<b>9</b>
CIENCIAS E TECNOLOGIA DE MATERIAIS		3	3
ENGENHARIA E CIENCIAS DE ALIMENTOS	1		1
MICROBIOLOGIA E IMUNOLOGIA	1	1	2
QUIMICA	3		3
<b>UNICAMP</b>	<b>112</b>	<b>40</b>	<b>152</b>

BIOCIENCIAS E TECNOLOGIAS DE PRODUTOS BIOATIVOS	12	7	19
BIOENERGIA	14		14
BIOFISICA	1		1
BIOFISICA/ FISICA DA MATERIA CONDENSADA		1	1
BIOLOGIA CELULAR E ESTRUTURAL		2	2
BIOLOGIA FUNCIONAL E MOLECULAR	13	4	17
BIOQUIMICA	2		2
BIOQUIMICA DE MICROORGANISMOS	1		1
CIENCIAS ALIMENTOS	1		1
CIENCIAS MEDICAS		1	1
ENGENHARIA AGRICOLA	1	2	3
ENGENHARIA DE AGUA E SOLO	1		1
ENGENHARIA MECANICA	3	3	6
ENGENHARIA QUIMICA	17	3	20
ESTOMATOLOGIA	2		2
FISICA	4	4	8
FISIOPATOLOGIA MEDICA	1	1	2
GENETICA E BIOLOGIA MOLECULAR	25	8	33
PLANEJAMENTO DE SISTEMAS ENERGETICOS	1		1
QUIMICA	11	3	14
TECNOLOGIA	2	1	3
<b>UNIFESP</b>	<b>3</b>		<b>3</b>
MICROBIOLOGIA E IMUNOLOGIA	3		3
<b>UNIFRA</b>	<b>1</b>		<b>1</b>
NANOCIENCIAS E MATERIAIS AVANCADOS	1		1
<b>UNIVERSIDADE FEDERAL DE SANTA MARIA</b>	<b>1</b>		<b>1</b>
FISICA	1		1
<b>UNIVERSIDADE FEDERAL DO ABC</b>	<b>1</b>	<b>1</b>	<b>2</b>
BIOTECNOLOGIA		1	1
NANOCIENCIAS E MATERIAIS AVANCADOS	1		1
<b>UNIVERSIDADE FEDERAL DO ESPIRITO SANTO</b>	<b>1</b>		<b>1</b>
BIOTECNOLOGIA	1		1
<b>UNIVERSIDADE FEDERAL DO MARANHAO – UFMA</b>		<b>1</b>	<b>1</b>
QUIMICA		1	1

<b>UNIVERSIDADE FEDERAL DO TOCANTINS</b>		<b>1</b>	<b>1</b>
CIENCIA DOS MATERIAIS		1	1
<b>UNIVERSIDADE FEDERAL PARA</b>	<b>1</b>		<b>1</b>
GEOLOGIA E GEOQUIMICA	1		1
<b>USP</b>	<b>17</b>	<b>7</b>	<b>24</b>
BIOLOGIA CELULAR E TECIDAL	1		1
BIOQUIMICA	1		1
BIOTECNOLOGIA		1	1
BIOTECNOLOGIA INDUSTRIAL	1		1
CIENCIA E ENGENHARIA DE MATERIAIS	1		1
CIENCIAS	2		2
CIENCIAS BIOLOGICAS	1		1
CIENCIAS QUIMICA NA AGRICULTURA E NO AMBIENTE	1		1
ENGENHARIA HIDRAULICA E SANEAMENTO	1		1
FISICA	2	1	3
FISICA APLICADA		4	4
FISICA BIOMOLECULAR		1	1
FISICO QUIMICA	1		1
MICROBIOLOGIA E IMUNOLOGIA	1		1
QUIMICA	2		2
QUIMICA NA AGRICULTURA E AMBIENTE	1		1
QUIMICA ORGANICA	1		1
<b>Total Geral</b>	<b>148</b>	<b>58</b>	<b>206</b>

ID	Modalidade	Nome	LN
1	BOLSISTA - POS-DOUTORADO	ALEXANDRE MONTEIRO SOUZA	CTBE
2	BOLSISTA - POS-DOUTORADO	ANTONIO DJALMA NUNES FERRAZ JUNIOR	CTBE
3	BOLSISTA - POS-DOUTORADO	BERNARDO MELO MONTES NOGUEIRA BORGES	CTBE
4	BOLSISTA - POS-DOUTORADO	BRUNA SOARES FERNANDES	CTBE
5	BOLSISTA - POS-DOUTORADO	CAMILA PINTO DA CUNHA	CTBE
6	BOLSISTA - POS-DOUTORADO	CARLA ANDREIA FREIXO PORTELA	CTBE
7	BOLSISTA - POS-DOUTORADO	CARLA BOTELHO MACHADO	CTBE
8	BOLSISTA - POS-DOUTORADO	CLOVIS DANIEL BORGES	CTBE
9	BOLSISTA - POS-DOUTORADO	DAISON MANUEL YANCY CABALLERO	CTBE
10	BOLSISTA - POS-DOUTORADO	DANIELE FARIAS	CTBE
11	BOLSISTA - POS-DOUTORADO	FABIANO JARES CONTESINI	CTBE
12	BOLSISTA - POS-DOUTORADO	FERNANDA MACHADO MENDES CARVALHO	CTBE
13	BOLSISTA - POS-DOUTORADO	FLAVIO HENRIQUE MOREIRA DE SOUZA	CTBE
14	BOLSISTA - POS-DOUTORADO	GEIZECLER TOMAZETTO	CTBE
15	BOLSISTA - POS-DOUTORADO	JOAO PAULO LOURENCO FRANCO CAIRO	CTBE
16	BOLSISTA - POS-DOUTORADO	LUCAS GONCALVES PEREIRA	CTBE
17	BOLSISTA - POS-DOUTORADO	LUCELIA CABRAL	CTBE
18	BOLSISTA - POS-DOUTORADO	MARCELO VIZONA LIBERATO	CTBE
19	BOLSISTA - POS-DOUTORADO	MARIANA ABRAHAO BUENO DE MORAIS	CTBE
20	BOLSISTA - POS-DOUTORADO	PLINIO SALMAZO VIEIRA	CTBE
21	BOLSISTA - POS-DOUTORADO	RICARDO RODRIGUES DE MELO	CTBE
22	BOLSISTA - POS-DOUTORADO	SAMANTHA CHRISTINE SANTOS	CTBE
23	BOLSISTA - POS-DOUTORADO	TARCILA SUGAHARA	CTBE

24	BOLSISTA - POS-DOUTORADO	VALERIA MAFRA	CTBE
25	BOLSISTA - POS-DOUTORADO	VIVIANE CRISTINA HEINZEN DA SILVA	CTBE
26	BOLSISTA - POS-DOUTORADO	AMERICO TAVARES RANZANI	LN BIO
27	BOLSISTA - POS-DOUTORADO	ANA KARINA DE OLIVEIRA	LN BIO
28	BOLSISTA - POS-DOUTORADO	ANGELA SAITO	LN BIO
29	BOLSISTA - POS-DOUTORADO	ANTONIO CARLOS BORGES	LN BIO
30	BOLSISTA - POS-DOUTORADO	ARIANE FIDELIS BUSSO LOPES	LN BIO
31	BOLSISTA - POS-DOUTORADO	DANIELI CRISTINA GONCALVES	LN BIO
32	BOLSISTA - POS-DOUTORADO	FABRICIO FREDO NACIUK	LN BIO
33	BOLSISTA - POS-DOUTORADO	FERNANDA LUISA BASEI	LN BIO
34	BOLSISTA - POS-DOUTORADO	GUSTAVO FERNANDO MERCALDI	LN BIO
35	BOLSISTA - POS-DOUTORADO	HUGO MASSAYOSHI SHIMO	LN BIO
36	BOLSISTA - POS-DOUTORADO	LUCIANA PEREIRA RUAS	LN BIO
37	BOLSISTA - POS-DOUTORADO	MARIANA BORTOLETTO GRIZANTE	LN BIO
38	BOLSISTA - POS-DOUTORADO	MARIANA MASCHIETTO	LN BIO
39	BOLSISTA - POS-DOUTORADO	NADIA RASHEED	LN BIO
40	BOLSISTA - POS-DOUTORADO	RAGHAYEH DRA SASHI KRISHHA NAGAMPALLI	LN BIO
41	BOLSISTA - POS-DOUTORADO	NICOLLI BELLOTTI DE SOUZA	LN BIO
42	BOLSISTA - POS-DOUTORADO	REBECA LEITE DE ALMEIDA	LN BIO
43	BOLSISTA - POS-DOUTORADO	RODRIGO VEZULA PIROVANI	LN BIO
44	BOLSISTA - POS-DOUTORADO	RUTE ALVES PEREIRA E COSTA	LN BIO
45	BOLSISTA - POS-DOUTORADO	VALERIA SCORSATO	LN BIO
46	BOLSISTA - POS-DOUTORADO	ZEY AUL ISLAM	LN BIO
47	BOLSISTA - POS-DOUTORADO	ALINE RIBEIRO PASSOS	LNLS

48	BOLSISTA - POS-DOUTORADO	ANDERSON HEBERT DE ABREU GOMES	LNLS
49	BOLSISTA - POS-DOUTORADO	ANDREYFABRICIO ZIEM NASCIMENTO	LNLS
50	BOLSISTA - POS-DOUTORADO	CARLOS AUGUSTO ESCANHOELA JUNIOR	LNLS
51	BOLSISTA - POS-DOUTORADO	DANUSA DO CARMO	LNLS
52	BOLSISTA - POS-DOUTORADO	FLAVIA REGINA ESTRADA	LNLS
53	BOLSISTA - POS-DOUTORADO	ITAMAR TOMIO NECKEL	LNLS
54	BOLSISTA - POS-DOUTORADO	JEOVANI BRANDAO	LNLS
55	BOLSISTA - POS-DOUTORADO	LIANA KEY OKADA NAKAMURA	LNLS
56	BOLSISTA - POS-DOUTORADO	LUCAS SOARES DE OLIVEIRA PAIXAO	LNLS
57	BOLSISTA - POS-DOUTORADO	NICOLAU MOLINA BOM	LNLS
58	BOLSISTA - POS-DOUTORADO	PEDRO FERRAZ VILLELA	LNLS
59	BOLSISTA - POS-DOUTORADO	THIAGO MONFREDINI DA SILVA	LNLS
60	BOLSISTA - POS-DOUTORADO	ULISSES FERREIRA KANEKO	LNLS
61	BOLSISTA - POS-DOUTORADO	AGUSTIN SILVIO PICCO	LNNANO
62	BOLSISTA - POS-DOUTORADO	ALEX MATOS DA SILVA COSTA	LNNANO
63	BOLSISTA - POS-DOUTORADO	ANDRE ESTEVES NOGUEIRA	LNNANO
64	BOLSISTA - POS-DOUTORADO	ANERISE DE BARROS	LNNANO
65	BOLSISTA - POS-DOUTORADO	CAIO GOMIDE OTONI	LNNANO
66	BOLSISTA - POS-DOUTORADO	CAMILA MARIA ANDRADE DOS SANTOS	LNNANO
67	BOLSISTA - POS-DOUTORADO	EDMARCIA ELISA DE SOUZA	LNNANO
68	BOLSISTA - POS-DOUTORADO	EMRE YASSITEPE	LNNANO
69	BOLSISTA - POS-DOUTORADO	FABRICIO DE SOUZA DELITE	LNNANO
70	BOLSISTA - POS-DOUTORADO	JOHN JAIRO HOYOS QUINTERO	LNNANO
71	BOLSISTA - POS-DOUTORADO	JULIAN ARNALDO AVILA DIAZ	LNNANO



72	BOLSISTA - POS-DOUTORADO	JULIANA DA FONSECA REZENDE E MELLO	LNNANO
73	BOLSISTA - POS-DOUTORADO	KARIM BOUCHMELLA	LNNANO
74	BOLSISTA - POS-DOUTORADO	KATIE CRISTINA TAKEUTI RICILUCA	LNNANO
75	BOLSISTA - POS-DOUTORADO	LARISSA BRENTANO CAPELETTI	LNNANO
76	BOLSISTA - POS-DOUTORADO	LATIF ULLAH KHAN	LNNANO
77	BOLSISTA - POS-DOUTORADO	LIVIA MESQUITA DIAS LOIOLA	LNNANO
78	BOLSISTA - POS-DOUTORADO	LUELC SOUZA DA COSTA	LNNANO
79	BOLSISTA - POS-DOUTORADO	MARCELO ALEXANDRE DE FARIAS	LNNANO
80	BOLSISTA - POS-DOUTORADO	MARCIO JORGE TELES DA COSTA	LNNANO
81	BOLSISTA - POS-DOUTORADO	MICHELLE DA SILVA LIBERATO	LNNANO
82	BOLSISTA - POS-DOUTORADO	NATHALIA CAROLINA VERISSIMO	LNNANO
83	BOLSISTA - POS-DOUTORADO	PAMELA SIERRA GARCIA	LNNANO
84	BOLSISTA - POS-DOUTORADO	RAFAEL FURLAN DE OLIVEIRA	LNNANO
85	BOLSISTA - POS-DOUTORADO	SAIONARA VILHEGAS	LNNANO
86	BOLSISTA - POS-DOUTORADO	SIVONEY FERREIRA DE SOUZA	LNNANO
87	BOLSISTA - POS-DOUTORADO	SUELY PATRICIA COSTA GONCALVES	LNNANO
88	BOLSISTA - POS-DOUTORADO	ZAIRA CLEMENTE	LNNANO

## ANEXO 4 – Referências de Publicações Científicas, Teses e Dissertações e Memorandos Técnicos

### 2015 - Artigo em Periódico Indexado - Externa

1. SILVA, I. R.; SERRÃO, V. H. B.; MANZINE, L. R.; FAÍM, L. M.; DA SILVA, M. T. A.; MAKKI, R.; SAIDEMBERG, D. M.; CORNÉLIO, M. L.; PALMA, M.S.; THIEMANN, O. H. Formation of a ternary complex for selenocysteine biosynthesis in bacteria. **Journal of Biological Chemistry**, v. 290, n. 49, p. 29178-29188, 2015. (4321) - Fator de Impacto em 2014: 4,573
2. FABIAN, F. A.; PEDRA, P. P.; FILHO, J. S. P.; DUQUE, J. G. S.; MENESES, C. T. Synthesis and characterization of La(Cr,Fe,Mn)O<sub>3</sub> nanoparticles obtained by co-precipitation method. **Journal of Magnetism and Magnetic Materials**, v. 379, p. 80-83, 2015. (4883) - Fator de Impacto em 2014: 1,97
3. POSSATO, L. G.; CASSINELLI, W. H.; GARETTO, T. F.; PULCINELLI, S. H.; SANTILLI, C. V.; MARTINS, L. One-step glycerol oxidehydration to acrylic acid on multifunctional zeolite catalysts. **Applied Catalysis A**, v. 492, p. 243-251, 2015. (5994) - Fator de Impacto em 2014: 3,942
4. TANCREDI, P.; BOTASINI, S.; MOSCOSO- LONDOÑO, O.; MÉNDEZ, E.; SOCOLOVSKY, L.M. Polymer-assisted size control of water-dispersible iron oxide nanoparticles in range between 15 and 100 nm. **Colloids and Surfaces A-Physicochemical and Engineering ASPE**, v. 464, p. 46-51, 2015. (6004) - Fator de Impacto em 2014: 2,752
5. OYAFUSO, M. H.; CARVALHO, F. C.; CHIAVACCI, L. A.; GREMIÃO, M. P. D.; CHORILLI, M. Design and characterization of silicone and surfactant based systems for topical drug delivery. **Journal of Nanoscience and Nanotechnology**, v. 15, n. 1 p. 817-826, 2015. (6012) - Fator de Impacto em 2014: 1,556
6. ZANIN, H. G.; CERAGIOLI, H. J.; PETERLEVITZ, A. C.; BARANAUSKAS, V.; MARCIANO, F. R.; LOBO, A. O. Field emission properties of the graphenated carbon nanotube electrode. **Applied Surface Science**, v. 324, p. 174-178, 2015. (6016) - Fator de Impacto em 2014: 2,711
7. POLETTI, F. S.; OLIVEIRA, C. P.; WENDER, H.; REGENT, D.; DONIDA, B.; TEIXEIRA, S. R.; GUTERRES, S. S.; ROSSI- BERGMANN, B.; POHLMANN, A. R. How sorbitan monostearate can increase drug-loading capacity of lipid-core polymeric nanocapsules. **Journal of Nanoscience and Nanotechnology**, v. 15, n. 1, p. 827-837, 2015. (6017) - Fator de Impacto em 2014: 1,556
8. RESENDE, K. A.; ÁVILA- NETO, C. N.; RABELO NETO, R. C.; NORONHA, F. B.; HORI, C. E. Hydrogen production by reforming of acetic acid using La-Ni type Perovskites partially substituted with Sm and Pr. **Catalysis Today**, v. 242, p. 71-79, 2015. (6018) - Fator de Impacto em 2014: 3,893
9. ZANIN, H. G.; MAY, P. W.; HARNIMAN, R. L.; RISBRIDGER, T.; CORAT, E. J.; FERMIN, D. J. High surface area diamond-like carbon electrodes grown on vertically aligned carbon nanotubes. **Carbon**, v. 82, p. 288-9296, 2015. (6019) - Fator de Impacto em 2014: 6,196
10. ESCOBAR, D.; OSPINA, R.; GÓMEZ, A. G.; RESTREPO PARRA, E. Microstructure, residual stress and hardness study of nanocrystalline titanium-zirconium nitride thin films. **Ceramics International**, v. 41, n. 1, p. 947-952, 2015. (6021) - Fator de Impacto em 2014: 2,605

11. MORAES, T. S.; RABELO NETO, R. C.; RIBEIRO, M. C. C.; MATTOS, L. V.; KOURTELESI, M.; LADAS, S.; VERYKIOS, X.; NORONHA, F. B. The study of the performance of PtNi/CeO<sub>2</sub>-nanocube catalysts for low temperature steam reforming of ethanol. **Catalysis Today**, v. 242, p. 35-49, 2015. (6023) - Fator de Impacto em 2014: 3,893
12. SANTOS, T. F. A.; VASCONCELOS, G. C.; SOUZA, W. A.; COSTA, M. L.; BOTELHO, E. C. Suitability of carbon fiber-reinforced polymers as power cable cores: galvanic corrosion and thermal stability evaluation. **Materials & Design**, v.65, p. 780-788, 2015. (6024) - Fator de Impacto em 2014: 3,501
13. CAPPELLARI, P. S.; BUCETA, D.; MORALES, G. M.; BARBERO, C. A.; MORENO, M. S.; GIOVANETTI, L. J.; RAMALLO-LÓPEZ, J. M.; REQUEJO, F. G.; CRAIEVICH, A. F.; PLANES, G. A. Synthesis of ultra-small cysteine-capped gold nanoparticles by pH switching of the Au(I)-cysteine polymer. **Journal of Colloid and Interface Science**, v. 44, p. 17-24, 2015. (6031) - Fator de Impacto em 2014: 3,368
14. RIBEIRO, M. M.; TEIXEIRA, G. S.; MARQUES, M. R.; SOUZA, A. P.; LINE, S. R. P. G-quadruplex formation enhances splicing efficiency of PAX9 intron 1. **Human Genetics**, v. 134, n. 1, p. 37-44, 2015. (6032) - Fator de Impacto em 2014: 4,824
15. OTAL, E. H.; SILEO, E. E.; AGUIRRE, M. H.; FÁBREGAS, I. O.; KIM, M. Structural characterization and EXAFS wavelet analysis of Yb doped ZnO by wet chemistry route. **Journal of Alloys and Compounds**, v. 622, p. 115-120, 2015. (6033) - Fator de Impacto em 2014: 2,999
16. MUÑOZ, F. F.; ACUÑA, L. M.; ALBORNOZ, C. A.; LEYVA, A. G.; BAKER, R. T.; FUENTES, R. O. Redox properties of nanostructured lanthanide-doped ceria spheres prepared by microwave assisted hydrothermal homogeneous co-precipitation. **Nanoscale**, v. 7, n. 1, p. 271-281, 2015. (6034) - Fator de Impacto em 2014: 7,394
17. BARBERO, G. F.; SANTOS, P.; AGUIAR, A. C.; REZENDE, C. A.; MARTINEZ, J. Supercritical carbon dioxide extraction of capsaicinoids from malagueta pepper (*Capsicum frutescens L.*) assisted by ultrasound. **Ultrasonics Sonochemistry**, v. 22, p. 78-88, 2015. (6035) - Fator de Impacto em 2014: 4,321
18. SERAPHIM, T. V.; GAVA, L. M.; MOKRY, D. Z.; CAGLIARI, T. C.; BARBOSA, L. R. S.; RAMOS, C. H. I.; BORGES, J. C. The C-terminal region of the human p23 chaperone modulates its structure and function. **Archives of Biochemistry and Biophysics**, v. 565, p. 57-67, 2015. (6042) - Fator de Impacto em 2014: 3,017
19. LIMA, T. A. R. M.; BRITO, N. S.; PEIXOTO, J. A.; VALERIO, M. E. G. The incorporation of chromium (III) into hydroxyapatite crystals. **Materials Letters**, v. 140, p. 187-191, 2015. (6043) - Fator de Impacto em 2014: 2,489
20. ROCHA, B. A. M.; BARROSO-NETO, I.L.; TEIXEIRA, C. S.; PIRES, A. F.; SOUZA, L. A. G.; NASCIMENTO, K. S.; SAMPAIO, A. H.; DELATORRE, P.; ASSREUY, A. M. S.; CAVADA, B. S. CRLI induces vascular smooth muscle relaxation and suggests a dual mechanism of eNOS activation by legume lectins via muscarinic receptors and shear stress. **Archives of Biochemistry and Biophysics**, v. 565, p. 32-39, 2015. (6046) - Fator de Impacto em 2014: 3,017
21. SILVA, K. T.S.; OLIVEIRA-CASTRO, R. A.; RODRIGUES, V. C.; LIMA, W. G.; RODRIGUES, C. V.; CASTRO-BORGES, W.; ANDRADE, M. H. G. DBT- and DBTO<sub>2</sub>-induced dysplasia and their associated proteomic alterations in the small intestines of wistar rats. **Journal of Proteome Research**, v. 14, n. 1, p. 386-396, 2015. (6047) - Fator de Impacto em 2014: 4,245

22. CUCATTI, S.; OCHOA BECERRA, E. A.; MORALES, M.; DROPPA JR., R.; GARCIA, J.; PINTO, H. C.; ZAGONEL, L. F.; WISNIVESKY, D.; FIGUEROA, C. A.; ALVAREZ, F. Effect of bombarding steel with Xe<sup>+</sup> ions on the surface nanostructure and on pulsed plasma nitriding process. **Materials Chemistry and Physics**, v. 149-150, p. 261-269, 2015. (6048) - Fator de Impacto em 2014: 2,259
23. JACOB, J. M.; CORRADINI, P. G.; ANTOLINI, E.; SANTOS, N. A.; PEREZ, J. Electro-oxidation of ethanol on ternary Pt-Sn-Ce/C catalysts. **Applied Catalysis B-Environmental**, v. 165, p. 176-184, 2015. (6049) - Fator de Impacto em 2014: 7,435
24. MICHELETTO, Y. M. S.; SILVEIRA, N. P. DA; BARBOZA, D. M.; SANTOS, M. C. DOS; LIMA, V. R.; GIACOMELLI, F. C.; MARTINEZ, J. C. V.; FRIZON, T. E. A.; DAL BÓ, A. G. Investigation of self-association between new glycosurfactant N-acetyl-beta-D-glucosaminyl-PEG-docosanate and soybean phosphatidylcholine into vesicles. **Colloids and Surfaces A-Physicochemical and Engineering ASPE**, v. 467, p. 166-172, 2015. (6050) - Fator de Impacto em 2014: 2,752
25. PICCO, A. S.; KNOLL, W.; CEOLÍN, M. R.; AZZARONI, O. Mesophase transformation in amphiphilic hyperbranched polymers induced by transition metal ion complexation. Creating well-defined metallo-supramolecular assemblies from "III-Defined" building blocks. **ACS Macro Letters**, v. 4, n. 1, p. 94-100, 2015. (6051) - Fator de Impacto em 2014: 5,764
26. REZENDE, M. V. DOS S.; VALERIO, M. E. G.; JACKSON, R. A. Study of Eu<sup>3+</sup> → Eu<sup>2+</sup> reduction in BaAl<sub>2</sub>O<sub>4</sub>:Eu prepared in different gas atmospheres. **Materials Research Bulletin**, v. 61, p. 348-351, 2015. (6052) - Fator de Impacto em 2014: 2,288
27. MANAIA, E. B.; KAMINSKI, R. C. K.; OLIVEIRA, A. G. DE; CORRÊA, M. A.; CHIAVACCI, L. A. Multifunction hexagonal liquid-crystal containing modified surface TiO<sub>2</sub> nanoparticles and terpinen-4-ol for controlled release. **International Journal of Nanomedicine**, v. 10, p. 811-819, 2015. (6053) - Fator de Impacto em 2014: 4,383
28. BERNARDI, M. I. B.; MESQUITA, A.; BÉRON, F.; PIROTA, K. R.; ZEVALLOS, A. O.; DORIGUETTO, A. C.; CARVALHO, H.B. The role of oxygen vacancies and their location in the magnetic properties of Ce<sub>1-x</sub>Cu<sub>x</sub>O<sub>2-Δ</sub> nanorods. **Physical Chemistry Chemical Physics (PCCP)**, v. 17, n. 5, p.3072-3080, 2015. (6055) - Fator de Impacto em 2014: 4,493
29. BATISTA, F. A. H.; ALMEIDA, G. S.; SERAPHIM, T. V.; SILVA, K. P.; MURTA, S. M. F.; BARBOSA, L. R. S.; BORGES, J. C. Identification of two p23 co-chaperone isoforms in *Leishmania braziliensis* exhibiting similar structures and Hsp90 interaction properties despite divergent stabilities. **FEBS Journal**, v. 282, n. 2, p. 388-406, 2015. (6060) - Fator de Impacto em 2014: 4,001
30. ESCOBAR, C. C.; FISCH, A. G.; SANTOS, J. H. Z. DOS Effect of a sol-gel route on the preparation of silica-based sorbent materials synthesized by molecular imprinting for the adsorption of dyes. **Industrial & Engineering Chemistry Research**, v. 54, n. 1, p. 254-262, 2015. (6061) - Fator de Impacto em 2014: 2,587
31. CORRADINI, P. G.; ANTOLINI, E.; PEREZ, J. Electro-oxidation of ethanol on ternary non-alloyed Pt-Sn-Pr/C catalysts. **Journal of Power Sources**, v. 275, p. 377-383, 2015. (6062) - Fator de Impacto em 2014: 6,217
32. MIRANDA, B. C.; CHIMENTÃO, R. J.; SZANYI, J.; BRAGA, A. H.; SANTOS, J. B. O.; GISPERT-GUIRADO, F.; LLORCA, J.; MEDINA, F. Influence of copper on nickel-based catalysts in the conversion of glycerol. **Applied Catalysis B-Environmental**, v. 166, p. 166-180, 2015. (6063) - Fator de Impacto em 2014: 7,435

33. TRINCA, R. B.; FELISBERTI, M. I. Segmented polyurethanes based on poly(L-lactide), poly(ethylene glycol) and poly(trimethylene carbonate): physico-chemical properties and morphology. **European Polymer Journal**, v. 62, p. 77-86, 2015. (6068) - Fator de Impacto em 2014: 3,005
34. FITARONI, L. B.; LIMA, J. A. DE; CRUZ, S. A.; WALDMAN, W. R. Thermal stability of polypropylene-montmorillonite clay nanocomposites: limitation of the thermogravimetric analysis. **Polymer Degradation and Stability**, v. 111, p. 102-108, 2015. (6074) - Fator de Impacto em 2014: 3,163
35. LOPES, E. S. N.; CONTIERI, R.J.; BUTTON, S. T.; CARAM JR., R. Femoral hip stem prosthesis made of graded elastic modulus metastable  $\beta$  Ti alloy. **Materials & Design**, v. 69, p. 30-36, 2015. (6075) - Fator de Impacto em 2014: 3,501
36. ARINS, A. W.; JURCA, H. F.; ZARPELLON, J.; FICHTNER, P. F. P.; VARALDA, J.; SCHREINER, W. H.; MOSCA, D. H. Correlation between tetragonal zinc-blende structure and magnetocrystalline anisotropy of MnGa epilayers on GaAs(111). **Journal of Magnetism and Magnetic Materials**, v. 381, p. 83-88, 2015. (6082) - Fator de Impacto em 2014: 1,97
37. VIANA, G. A.; MARQUES, F. C. Raman and thermal desorption spectroscopy analyses of amorphous graphite-like carbon films with incorporated xenon. **Vacuum**, v. 112, p. 17-24, 2015. (6083) - Fator de Impacto em 2014: 1,858
38. LÓPEZ, E. O.; ROSSI, AN. L.; ARCHANJO, B. S.; OSPINA, R. O.; MELLO, A.; ROSSI, A. M. Crystalline nano-coatings of fluorine-substituted hydroxyapatite produced by magnetron sputtering with high plasma confinement. **Surface & Coatings Technology**, v. 264, p. 163-174, 2015. (6084) - Fator de Impacto em 2014: 1,998
39. CICCOTTI, L.; VALE, L. A. S.; HEWER, T. L. R.; FREIRE, R. S. Fe<sub>3</sub>O<sub>4</sub>@TiO<sub>2</sub> preparation and catalytic activity in heterogeneous photocatalytic and ozonation processes. **Catalysis Science & Technology**, v. 5, n. 2, p. 1143-1152, 2015. (6085) - Fator de Impacto em 2014: 5,426
40. VIOLI, I. L.; ZELCER, A.; BRUNO, M. M.; LUCA, V.; SOLER-ILLIA, G. J. A. A. Gold nanoparticles supported in Zirconia-Ceria mesoporous thin films: a highly active reusable heterogeneous nanocatalyst. **ACS Applied Materials & Interfaces**, v. 7, n. 2, p. 1114-1121, 2015. (6086) - Fator de Impacto em 2014: 6,723
41. SILVA, I. G. N.; RODRIGUES, L. C. V.; SOUZA, E. R.; KAI, J.; FELINTO, M. C. F. C.; HÖLSÄ, J.; BRITO, H. F.; MALTA, O. L. Low temperature synthesis and optical properties of the R<sub>2</sub>O<sub>3</sub>:Eu<sup>3+</sup> nanophosphors (R<sup>3+</sup>: Y, Gd and Lu) using TMA complexes as precursors. **Optical Materials**, v. 40, p. 41-48, 2015. (6088) - Fator de Impacto em 2014: 1,981
42. MASTELARO, V. R.; FAVARIM, H.R.; MESQUITA, A.; MOSCOVICI, J.; MICHALOWICZ, A.; EIRAS, J. A. Local structure and hybridization states in Ba<sub>0.9</sub>Ca<sub>0.1</sub>Ti<sub>1-x</sub>Zr<sub>x</sub>O<sub>3</sub> ceramic compounds: correlation with a normal or relaxor ferroelectric character. **Acta Materialia**, v. 84, p. 164-171, 2015. (6089) - Fator de Impacto em 2014: 4,465
43. SIMIONI, M.; ARAUJO, T. K.; MONLLEO, I. L.; MAURER-MORELLI, C. V.; GIL-DA-SILVA-LOPES, V. L. Investigation of genetic factors underlying typical orofacial clefts: mutational screening and copy number variation. **Journal of Human Genetic**, v. 60, n. 1, p. 17-25, 2015. (6090) - Fator de Impacto em 2014: 2,462
44. BAVA, Y.B.; MARTINEZ, Y. B.; BETANCOURT, A. M.; ERBEN, M. F.; CAVASSO-FILHO, R. L.; DELLA VÉDOVA, C. O.; ROMANO, R. M. Ionic fragmentation mechanisms of 2,2,2-trifluoroethanol

- following excitation with synchrotron radiation. **ChemPhysChem**, v. 16, n. 2, p. 322-330, 2015. (6091) - Fator de Impacto em 2014: 3,419
45. GONÇALVES, R. F.; CAVALCANTE, L. S.; NOGUEIRA, I. C.; LONGO, E.; GODINHO, M. J.; SCZANCOSKI, J. C.; MASTELARO, V. R.; PINATTI, I. M.; ROSA, I. L.V.; MARQUES, A.P.A. Rietveld refinement, cluster modelling, growth mechanism and photoluminescence properties of CaWO<sub>4</sub>:Eu<sup>3+</sup> microcrystals. **CrystEngComm**, v. 17, n. 7, p. 1654-1666, 2015. (6092) - Fator de Impacto em 2014: 4,034
  46. SOUSA, C. P.; COUTINHO NETO, M. D.; LIBERATO, M. S.; KUBOTA, L.T.; ALVES, W. A. Self-assembly of peptide nanostructures onto an electrode surface for nonenzymatic oxygen sensing. **Journal of Physical Chemistry C**, v. 119, n. 2, p. 1038-1046, 2015. (6093) - Fator de Impacto em 2014: 4,772
  47. CORNELSEN, P. A.; QUINTANILHA, R. C.; VIDOTTI, M.; GORIN, P. A. J.; SIMAS-TOSIN, F. F.; RIEGEL-VIDOTTI, I. C. Native and structurally modified gum arabic: exploring the effect of the gum's microstructure in obtaining electroactive nanoparticles. **Carbohydrate Polymers**, v. 119, p. 35-43, 2015. (6095) - Fator de Impacto em 2014: 4,074
  48. HARB, S. V.; SANTOS, F. C. DOS; CAETANO, B.L.; PULCINELLI, S. H.; SANTILLI, C. V.; HAMMER, P. Structural properties of cerium doped siloxane-PMMA hybrid coatings with high anticorrosive performance. **RSC Advances**, v. 5, n. 20, p. 15414-15424, 2015. (6096) - Fator de Impacto em 2014: 3,84
  49. ANDRIEU-BRUNSEN, A.; MICOUREAU, S.; TAGLIAZUCCHI, M.; SZLEIFER, I; AZZARONI, O.; SOLER-ILLIA, G. J. A. Mesoporous hybrid thin film membranes with P-METAC@silica architectures: controlling ionic gating through the tuning of polyelectrolyte density. **Chemistry of Materials**, v. 27, n. 3, p. 808-821, 2015. (6097) – Fator de Impacto em 2014: 8,353
  50. LÓPEZ, D.; ABE, I. Y.; PEREYRA, I. Temperature effect on the synthesis of carbon nanotubes and core-shell Ni nanoparticle by thermal CVD. **Diamond and Related Materials**, v. 52, p. 59-65, 2015. (6099) - Fator de Impacto em 2014: 1,919
  51. LARA, L. R. S.; ZOTTIS, A. D.; ELIAS, W. C.; FAGGION JR., D.; CAMPOS, C. E. M.; ACUÑA, J. J. S.; DOMINGOS, J. B. The catalytic evaluation of in situ grown Pd nanoparticles on the surface of Fe<sub>3</sub>O<sub>4</sub>@dextran particles in the p-nitrophenol reduction reaction. **RSC Advances**, v. 5, n. 11, p. 8289-8296, 2015. (6100) - Fator de Impacto em 2014: 3,84
  52. AVANSI JR., W.; MENDONÇA, V. R.; LOPES, O. F.; RIBEIRO, C. Vanadium pentoxide 1-D nanostructures applied to dye removal from aqueous systems by coupling adsorption and visible-light photodegradation. **RSC Advances**, v. 5, n. 16, p. 12000-12006, 2015. (6101) - Fator de Impacto em 2014: 3,84
  53. CATTO, A. C.; SILVA, L. F.; RIBEIRO, C.; BERNARDINI, S.; AGUIR, K.; LONGO, E.; MASTELARO, V. R. An easy method of preparing ozone gas sensors based on ZnO nanorods. **RSC Advances**, v. 5, n. 25, p. 19528-19533, 2015. (6122) - Fator de Impacto em 2014: 3,84
  54. HECK, C. A.; SANTOS, J. H. Z. DOS; WOLF, C. R. Waterborne polyurethane: the effect of the addition or in situ formation of silica on mechanical properties and adhesion. **International Journal of Adhesion and Adhesives**, v. 58, p. 13-20, 2015. (6123) - Fator de Impacto em 2014: 1,773

55. MOREIRA, L. M.; FACINCANI, A. P.; FERREIRA, C. B.; FERREIRA, R. M.; FERRO, M. I. T.; GOZZO, F. C.; OLIVEIRA, J. C. F. DE; FERRO, J. A.; SOARES, M. R. Chemotactic signal transduction and phosphate metabolism as adaptive strategies during citrus canker induction by *Xanthomonas citri*. **Functional & Integrative Genomics**, v. 15, n. 2, p. 197-210, 2015. (6127) - Fator de Impacto em 2014: 2,479
56. JOANNI, E.; PERESSINOTTO, J.; DOMINGUES, P. S.; SETTI, G. O.; JESUS, D. P. Fabrication of molds for PDMS microfluidic devices by laser swelling of PMMA. **RSC Advances**, v. 5, n. 32, p. 25089-25096, 2015. (6129) - Fator de Impacto em 2014: 3,84
57. MORAES, T. S.; RABELO NETO, R. C.; RIBEIRO, M. C. C.; MATTOS, L. V.; KOURTELESIS, M.; VERYKIOS, X.; NORONHA, F. B. Effects of ceria morphology on catalytic performance of Ni/CeO<sub>2</sub> catalysts for low temperature steam reforming of ethanol. **Topics in Catalysis**, v. 58, n. 4-6, p. 281-294, 2015. (6132) - Fator de Impacto em 2014: 2,365
58. MARTINEZ, Y. B.; BAVA, Y.B.; ERBEN, M. F.; CAVASSO-FILHO, R. L.; ROMANO, R. M.; DELLA VÉDOVA, C. O. Photoexcitation, photoionization, and photofragmentation of CF<sub>3</sub>CF<sub>2</sub>CF<sub>2</sub>C(O)Cl using synchrotron radiation between 13 and 720 eV. **Journal of Physical Chemistry A**, v. 119, n. 10, p. 1894-1905, 2015. (6133) - Fator de Impacto em 2014: 2,693
59. GUIMARÃES, L. C.; OLIVEIRA, C. F. R. DE; MARANGONI, S.; DE OLIVEIRA, D. G. L.; MACEDO, M. L. R. Purification and characterization of a Kunitz inhibitor from *Poincianella pyramidalis* with insecticide activity against the mediterranean flour moth. **Pesticide Biochemistry and Physiology**, v. 118, p. 1-9, 2015. (6135) - Fator de Impacto em 2014: 2,014
60. DALFOVO, M. C.; GIOVANETTI, L. J.; RAMALLO-LÓPEZ, J. M.; SALVAREZZA, R. C.; REQUEJO, F. G.; IBAÑEZ, F. J. Real-time monitoring distance changes in surfactant-coated Au nanoparticle films upon volatile organic compounds (VOCs). **Journal of Physical Chemistry C**, v. 119, n. 9, p. 5098-5106, 2015. (6136) - Fator de Impacto em 2014: 4,772
61. DA SILVA, L. B. S.; SERRANO, G.; SERQUIS, A.; METZNER, V. C. V.; RODRIGUES JR., D. Study of TaB<sub>2</sub> and SiC additions on the properties of MgB<sub>2</sub> superconducting bulks. **Superconductor Science & Technology**, v. 28, n. 2, p. 025008, 2015. (6137) - Fator de Impacto em 2014: 2,325
62. ROZENFELD, J. H. K.; DUARTE, E. L.; BARBOSA, L. R. S.; LAMY, M. T. The effect of an oligonucleotide on the structure of cationic DODAB vesicles. **Physical Chemistry Chemical Physics (PCCP)**, v. 17, n. 11, p. 7498-7506, 2015. (6140) - Fator de Impacto em 2014: 4,493
63. SHIROMA, L. S.; MARQUES, T. T.; JESUS, D. P. A rapid and simple capillary electrophoresis method for indirect determination of the biocide 2,2-dibromo-3-nitrilo-propionamide (DBNPA) in cooling waters. **Water Science & Technology**, v. 71, n. 3, p. 434-439, 2015. (6152) - Fator de Impacto em 2014: 1,106
64. SANTILLÁN, J. M. J.; VAN RAAP, M. B. F.; ZÉLIS, P. M.; CORAL, D. F.; MURACA, D.; SCHINCA, D. C.; SCAFFARDI, L. B. Ag nanoparticles formed by femtosecond pulse laser ablation in water: self-assembled fractal structures. **Journal of Nanoparticle Research**, v. 17, n. 2, p. 86-99, 2015. (6154) - Fator de Impacto em 2014: 2,184
65. SOUZA, D. P.; OKA, G. U.; ALVAREZ-MARTINEZ, C. E.; BISSON-FILHO, A. W.; DUNGER, G.; HOBEIKA, L.; CAVALCANTE, N. S.; ALEGRIA, M. C.; BARBOSA, L. R. S.; SALINAS, R. K.; GUZZO, C. R.; FARAH, C. S. Bacterial killing via a type IV secretion system. **Nature Communications**, v. 6, p. 6453, 2015. (6157) - Fator de Impacto em 2014: 11,47

66. BALZER, R.; PROBST, L. F. D.; CANTARERO, A.; LIMA JR., M.M.; BERNARDI, M. I. B.; AVANSI JR., W.; ARENAL, R.; FAJARDO, H. V. Ce<sub>1-x</sub>CoxO<sub>2</sub> nanorods prepared by microwave-assisted hydrothermal method: novel catalysts for removal of volatile organic compounds. **Science of Advanced Materials**, v. 7, n. 7, p. 1406-1414, 2015. (6158) - Fator de Impacto em 2014: 2,598
67. TEICHMANN, A.; VARGAS, D. M.; MONTEIRO, K. M.; MENEGHETTI, B. V.; DUTRA, C. S.; PAREDES, R.; GALANTI, N.; ZAHA, A.; FERREIRA, H. B. Characterization of 14-3-3 isoforms expressed in the *Echinococcus granulosus* pathogenic larval stage. **Journal of Proteome Research**, v. 14, n. 4, p. 1700-1715, 2015. (6159) - Fator de Impacto em 2014: 4,245
68. NASCIMENTO, G. M. DO; PIM, W. D.; REIS, D. O.; SIMÕES, T. R. G.; PRADIE, N. A.; STUMPF, H. O. Characterization of compounds derived from copper-oxamate and imidazolium by X-ray absorption and vibrational spectroscopies. **Spectrochimica Acta Part A-Molecular and Biomolecular Spectroscopy**, v. 142, p. 303-310, 2015. (6160) - Fator de Impacto em 2014: 2,353
69. MARQUES, T. T.; SHIROMA, L. S.; JESUS, D. P. Determination of tetrakis (hydroxymethyl) phosphonium sulfate in commercial formulations and cooling water by capillary electrophoresis with contactless conductivity detection. **Journal of Separation Science**, v. 38, n. 5, p. 852-857, 2015. (6161) - Fator de Impacto em 2014: 2,737
70. KELLERMANN, G.; GORGESKI, A.; CRAIEVICH, A.; MONTORO, L. A. Determination of the melting and freezing temperatures of Pb nanoparticles embedded in a PbO-B<sub>2</sub>O<sub>3</sub>-SnO<sub>2</sub> glass by using only the SAXS method. **Journal of Applied Crystallography**, v. 48, n. 2, p. 520-527, 2015. (6162) - Fator de Impacto em 2014: 3,984
71. MORAIS, A.; ALVES, J. P. C.; LIMA, F. A. S.; LIRA- CANTU, M.; NOGUEIRA, A. F. Enhanced photovoltaic performance of inverted hybrid bulk-heterojunction solar cells using TiO<sub>2</sub>/reduced graphene oxide films as electron transport layers. **Journal of Photonics for Energy**, v. 5, p. 057408-21, 2015. (6167) - Fator de Impacto em 2014: 1,366
72. MOREJON- ALONSO, L.; MOTISUKE, M.; CORREA, J. R.; CARRODEGUAS, R. G.; SANTOS, L. A. In situ Synchrotron X-ray powder diffraction study of the early hydration of alpha-tricalcium phosphate/tricalcium silicate composite bone cement. **Materials Research-Ibero-American Journal of Materials**, v. 18, n. 1, p. 164-169, 2015. (6172) - Fator de Impacto em 2014: 0,793
73. NIGOGHOSSIAN, K.; SANTOS, M. V.; BARUD, H. S.; SILVA, R. R.; ROCHA, L. A.; CAIUT, J.M.A.; ASSUNÇÃO, R. M. N.; SPANHEL, L.; POULAIN, M.; MESSADDEQ, Y.; RIBEIRO, S. J. L. Orange pectin mediated growth and stability of aqueous gold and silver nanocolloids. **Applied Surface Science**, v. 341, p. 28-36, 2015. (6176) - Fator de Impacto em 2014: 2,711
74. ALEXANDRE, F.; ZAGO, V. H. S.; PANZOLDO, N. B.; PARRA, E. R.; SCHERRER, D. Z.; VENDRAME, F.; NUNES, V. S.; GOMES, E. I. L.; MARCATO, P. D.; NAKANDAKARE, E. R.; QUINTÃO, E. C. R.; FARIA, E. C. Reference values for high-density lipoprotein particle size and volume by dynamic light scattering in a brazilian population sample and their relationships with metabolic parameters. **Clinica Chimica Acta**, v. 442, p. 63-72, 2015. (6177) - Fator de Impacto em 2014: 2,824
75. JANISSEN, R.; MURILLO, D. M.; NIZA, B.; SAHOO, P. K.; NOBREGA, M. M.; CESAR, C. L.; TEMPERINI, M. L. A.; CARVALHO, H. F.; SOUZA, A. A.; COTTA, M. A. Spatiotemporal distribution of different extracellular polymeric substances and filamentation mediate *Xylella fastidiosa* adhesion and biofilm formation. **Scientific Reports**, v. 5, p. 9856, 2015. (6178) - Fator de Impacto em 2014: 5,578



76. ALVES, W. A.; DECANDIO, C. C.; SILVA, E. R.; HAMLEY, I. W.; CASTELLETTO, V.; LIBERATO, M. S.; OLIVEIRA JR., V. X.; OLIVEIRA, C. L. P. Self-assembly of a designed alternating aginine/phenylalanine oligopeptide. **Langmuir**, v. 31, n. 15, p. 4513-4523, 2015. (6179) - Fator de Impacto em 2014: 4,457
77. SANTOS, E. B.; MADALOSSO, N. V.; SIGOLI, F. A.; MAZALI, I. O. Silver nanoparticles: green synthesis, self-assembled nanostructures and their application as SERS substrates. **New Journal of Chemistry**, v.39, n. 4, p. 2839-2846, 2015. (6180) - Fator de Impacto em 2014: 3,086
78. RANGEL, T. C.; MICHELS, A. F.; HOROWITZ, F.; WEIBEL, D. E. Superomniphobic and easily repairable coatings on copper substrates based on simple immersion or spray processes. **Langmuir**, v. 31, n. 11, p. 3465-3472, 2015. (6181) - Fator de Impacto em 2014: 4,457
79. FRANCO, D. F.; SANT'ANA, A. C.; DE OLIVEIRA, L. F. C.; SILVA, M. A. P. The Sb<sub>2</sub>O<sub>3</sub> redox route to obtain copper nanoparticles in glasses with plasmonic properties. **Journal of Materials Chemistry C**, v. 3, n. 15, p. 3803-3808, 2015. (6182) - Fator de Impacto em 2014: 4,696
80. MORELHÃO, S. L.; AMIRKHANYAN, Z. G.; REMÉDIOS, C. M. R. Absolute refinement of crystal structures by X-ray phase measurements. **Acta Crystallographica A-Foundation and Advances**, v. 71, n. 3, p. 291-296, 2015. (6184) - Fator de Impacto em 2014: 2,325
81. BERNARDES, A.; TEXTOR, L. C.; SANTOS, JA. C.; CUADRADO, N. H.; KOSTETSKY, E. Y.; ROIG, M. G.; BAVRO, V. N.; MUNIZ, J. R. C.; SHNYROV, V. L.; POLIKARPOV, I. Crystal structure analysis of peroxidase from the palm tree *Chamaerops excelsa*. **Biochimie**, v. 111, p. 58-69, 2015. (6186) - Fator de Impacto em 2014: 2,963
82. MATOS, B. R.; SANTIAGO, E. I.; REY, J. F. Q.; SCURACCHIO, C. H.; MANTOVANI, G. L.; HIRANO, L. A.; FONSECA, F. C. dc proton conductivity at low-frequency in nafion conductivity spectrum probed by time-resolved SAXS measurements and impedance spectroscopy. **Journal of Polymer Science B**, v. 53, n.11, p. 822-828, 2015. (6187) - Fator de Impacto em 2014: 3,83
83. MESQUITA, A.; RHODES, F. P.; SILVA, R. T.; NEVES, P. P.; ZEVALLOS, A. O.; ANDREETA, M. R. B.; LIMA JR., M.M.; CANTARERO, A.; SILVA, I. S.; BOSELLI, M. A.; GRATENS, X.; CHITTA, V. A.; DORIGUETTO, A. C.; FERRAZ, W. B.; SABIONI, A. C. S.; CARVALHO, H. B. Dynamics of the incorporation of Co into the wurtzite ZnO matrix and its magnetic properties. **Journal of Alloys and Compounds**, v. 637, p. 407-417, 2015. (6188) - Fator de Impacto em 2014: 2,999
84. FASSBENDER, R. U.; LILGE, T. S.; CAVA, S.; ANDRÉS, J.; SILVA, L. F.; MASTELARO, V. R.; LONGO, E.; MOREIRA, M. L. Fingerprints of short-range and long-range structure in BaZr<sub>1-x</sub>Hf<sub>x</sub>O<sub>3</sub> solid solutions: an experimental and theoretical study. **Physical Chemistry Chemical Physics (PCCP)**, v. 17, n. 17, p. 11341-11349, 2015. (6189) - Fator de Impacto em 2014: 4,493
85. COELHO, T.; MICHA, R.; ARIAS, S.; LICEA, Y. E.; PALACIO, L. A.; FARO JR., A. C. Influence of the Mg<sup>2+</sup> or Mn<sup>2+</sup> contents on the structure of NiMnAl and CoMgAl hydrotalcite materials with high aluminum contents. **Catalysis Today**, v. 250, p. 87-94, 2015. (6196) - Fator de Impacto em 2014: 3,893
86. SILVA, L. F.; MASTELARO, V. R.; CATTO, A. C.; ESCANHOELA JR., C. A.; BERNARDINI, S.; ZILIO, S. C.; LONGO, E.; AGUIR, K. Ozone and nitrogen dioxide gas sensor based on a nanostructured SrTi<sub>0.85</sub>Fe<sub>0.15</sub>O<sub>3</sub> thin film. **Journal of Alloys and Compounds**, v. 638, p. 374-379, 2015. (6200) - Fator de Impacto em 2014: 2,999

87. CORTINES, J. R.; LIMA, L. M. T. R.; MOHANA-BORGES, R.; MILLEN, T. A.; GSAPAR, L. P.; LANMAN J. K.; PREVELIGE JR., P. E.; SILVA, J. L. Structural insights into the stabilization of the human immunodeficiency virus type 1 capsid protein by the cyclophilin-binding domain and implications on the virus cycle. **Biochimica et Biophysica Acta. Proteins and Proteomics**, v. 1854, n. 5, p. 341-348, 2015. (6202) - Fator de Impacto em 2014: 2,747
88. GARCÍA-BASABE, Y.; YAMAMOTO, N. A. D.; ROMAN, L. S.; ROCCO, M. L. M. The effect of thermal annealing on the charge transfer dynamics of a donor-acceptor copolymer and fullerene: F8T2 and F8T2:PCBM. **Physical Chemistry Chemical Physics (PCCP)**, v. 17, n. 17, p. 11244-11251, 2015. (6204) - Fator de Impacto em 2014: 4,493
89. BOITA, J.; CASTEGNARO, M. V.; ALVES, M. C. M.; MORAIS, J. DE. A dispenser-reactor apparatus applied for in situ XAS monitoring of Pt nanoparticle formation. **Journal of Synchrotron Radiation**, v. 22, n. 3, p. 736-744, 2015. (6210) - Fator de Impacto em 2014: 2,794
90. PEINETTI, A. S.; CERETTI, H.; MIZRAHI, M.; GONZÁLEZ, G. A.; RAMÍREZ, S. A.; REQUEJO, F. G.; MONTERRAT, J. M.; BATTAGLINI, F. Confined gold nanoparticles enhance the detection of small molecules in label-free impedance aptasensors. **Nanoscale**, v. 7, n. 17, p. 7763-7769, 2015. (6211) - Fator de Impacto em 2014: 7,394
91. SANTHIAGO, M.; MARONEZE, C. M.; SILVA, C. C. C.; CAMARGO, M. N. L.; KUBOTA, L.T. Electrochemical oxidation of glassy carbon provides similar electrochemical response as graphene oxide prepared by tour or hummers routes. **ChemElectroChem**, v. 2, n. 5, p. 761-767, 2015. (6213) - Fator de Impacto em 2014: 0
92. KADOWAKI, M. A. S.; CAMILO, C. M.; MUNIZ, A. B.; POLIKARPOV, I. Functional characterization and low-resolution structure of an endoglucanase Cel45A from the filamentous Fungus *Neurospora crassa* OR74A: thermostable enzyme with high activity toward lichenan and  $\beta$ -Glucan. **Molecular Biotechnology**, v. 57, n. 6, p. 574-588, 2015. (6217) - Fator de Impacto em 2014: 1,876
93. RAMIREZ-SARMIENTO, C. A.; BAEZ, M.; ZAMORRA, R. A.; BALASUBRAMANIAN, D.; BABUL, J.; KOMIVES, E. A.; GUIXÉ, V. The folding unit of phosphofructokinase-2 as defined by the biophysical properties of a monomeric mutant. **Biophysical Journal**, v. 108, n. 9, p. 2350-2361, 2015. (6218) - Fator de Impacto em 2014: 3,972
94. MESQUITA, A.; MICHALOWICZ, A.; MASTELARO, V. R. XANES measurements probing the local order and electronic structure of  $Pb_{1-x}BaxZr_{0.40}Ti_{0.60}O_3$  ferroelectric materials. **Journal of Alloys and Compounds**, v. 640, p. 355-361, 2015. (6219) - Fator de Impacto em 2014: 2,999
95. OLIVEIRA, G. A. P.; SILVA, J. L. A hypothesis to reconcile the physical and chemical unfolding of proteins. *Proceedings of the National Academy of Sciences USA*, v. 112, n. 21. p. E2775-E2784, 2015. (6221) - Fator de Impacto em 2014: 9,674
96. SILVEIRA, L. T.; LIBERATORE, A. M. A.; KOH, I. H. J.; BIZETO, M. A.; CAMILO, F. F. Combined bactericidal activity of silver nanoparticles and hexadecylpyridinium salicylate ionic liquid. **Journal of Nanoparticle Research**, v. 17, n. 3, p. 129-139, 2015. (6226) - Fator de Impacto em 2014: 2,184
97. MIYAMOTO, K. N.; MONTEIRO, K. M.; CAUMO, K. S.; LORENZATTO, K. R.; FERREIRA, H. B.; BRANDELLI, A. Comparative proteomic analysis of *Listeria monocytogenes* ATCC 7644 exposed to a sublethal concentration of nisin. **Journal of Proteomics**, v. 119, p. 230-237, 2015. (6227) - Fator de Impacto em 2014: 3,888

98. CASSINELLI, W. H.; MARTINS, L.; PASSOS, A. R.; PULCINELLI, S. H.; ROCHET, A.; BRIOIS, V.; SANTILLI, C. V. Correlation between structural and catalytic properties of copper supported on porous alumina for the ethanol dehydrogenation reaction. **ChemCatChem**, v. 7, n. 11, p. 1668-1677, 2015. (6271) - Fator de Impacto em 2014: 4,556
99. DE ALMEIDA, A. C.; DA SILVA, A. R. P.; NAKAMURA FILHO, A.; DE CARVALHO, M. D.; CARDOSO, A. V. Nacre compared to aragonite as a bone substitute: evaluation of bioactivity and biocompatibility. **Materials Research-Ibero-American Journal of Materials**, v. 18, n. 2, p. 395-403, 2015. (6272) - Fator de Impacto em 2014: 0,793
100. MARÇAL, L. A. B.; DE FARIA, E. H.; NASSAR, E. J.; TRUJILLANO, R.; MARTIN, N.; VICENTE, M. A.; RIVES, V.; GIL, A.; KORILI, S. A.; CIUFFI, K. J. Organically modified saponites: SAXS study of swelling and application in caffeine removal. **ACS Applied Materials & Interfaces**, v. 7, n. 20, p. 10853-10862, 2015. (6273) - Fator de Impacto em 2014: 6,723
101. SCHAFER, D.; GRANDE, P. L.; PEREIRA, LU. G.; AZEVEDO, G. DE M.; HARRES, A.; SOUSA, M. A.; PELEGRINI, F.; GESHEV, J. Antiparallel interface coupling evidenced by negative rotatable anisotropy in IrMn/NiFe bilayers. **Journal of Applied Physics**, v. 117, n. 21, p. 215301, 2015. (6280) - Fator de Impacto em 2014: 2,183
102. SILVA, T. A.; ZANIN, H. G.; VICENTINI, FE. C.; CORAT, E. J.; FATIBELLO-FILHO, O. Electrochemical determination of rosuvastatin calcium in pharmaceutical and human body fluid samples using a composite of vertically aligned carbon nanotubes and graphene oxide as the electrode material. **Sensors and Actuators B**, v. 218, p. 51-59, 2015. (6281) - Fator de Impacto em 2014: 4,097
103. BALASHOV, S.; BALACHOVA, O.; BRAGA, A. V. U.; MOSHKALEV, S. A. Influence of the deposition parameters of graphene oxide nanofilms on the kinetic characteristics of the SAW humidity sensor. **Sensors and Actuators B**, v. 217, p. 88-91, 2015. (6283) - Fator de Impacto em 2014: 4,097
104. SANTOS, E. B.; SIGOLI, F. A.; MAZALI, I. O. Intercalated 4-Aminobenzenethiol between Au and Ag nanoparticles: effects of concentration and nanoparticles neighborhood on its SERS response. **Journal of the Brazilian Chemical Society**, v. 26, n. 5, p. 970-977, 2015. (6284) - Fator de Impacto em 2014: 1,129
105. SETTI, G. O.; MAMIÁN-LÓPEZ, M. B.; PESSOA, P. R.; POPPI, R. J.; JOANNI, E.; JESUS, D. P. Sputtered gold-coated ITO nanowires by alternating depositions from Indium and ITO targets for application in surface-enhanced Raman scattering. **Applied Surface Science**, v. 347, p. 17-22, 2015. (6285) - Fator de Impacto em 2014: 2,711
106. ROCHA, B. A. M.; TEIXEIRA, C. S.; SILVA-FILHO, J. C.; NÓBREGA, R. B.; ALENCAR, D. B.; NASCIMENTO, K. S.; FREIRE, V. N.; GOTTFRIED, C. J. S.; NAGANO, C. S.; SAMPAIO, A. H.; SAKER-SAMPAIO, S.; CAVADA, B. S.; DELATORRE, P. Structural basis of ConM binding with resveratrol, an anti-inflammatory and antioxidant polyphenol. **International Journal of Biological Macromolecules**, v. 72, p. 1136-1142, 2015. (6286) - Fator de Impacto em 2014: 2,858
107. BACHEGA, J.F.R.; MALUF, F. V.; ANDI, B.; PEREIRA, H. D'M.; CARAZZOLLE, M. F.; ORVILLE, A. M.; TABAK, M.; BRANDÃO NETO, J. R.; GARRATT, R. C.; REBOREDO, E. H. The structure of the giant haemoglobin from *Glossoscolex paulistus*. **Acta Crystallographica Section D-Structural Biology**, v. 71, n. 6, p. 1257-1271, 2015. (6287) - Fator de Impacto em 2014: 2,68

108. ZANCHET, D.; SANTOS, J. B. O.; DAMYANOVA, S.; GALLO, J. M. R.; BUENO, J. M. C. Toward understanding metal-catalyzed ethanol reforming. **ACS Catalysis**, v. 5, nr. 6, p. 3841-3863, 2015. (6288) - Fator de Impacto em 2014: 9,311
109. CERRUTTI, B. M.; MORAES, M. L.; PULCINELLI, S. H.; SANTILLI, C. V. Lignin as immobilization matrix for HIV p17 peptide used in immunosensing. **Biosensors & Bioelectronics**, v. 71, p. 420-426, 2015. (6312) - Fator de Impacto em 2014: 6,409
110. CARRERAS, A. C.; CANGIANO, M. DE LOS, A.; OJEDA, M. W.; RUIZ, M. DEL C. Characterization of Cu-Ni nanostructured alloys obtained by a chemical route. Influence of the complexing agent content in the starting solution. **Materials Characterization**, v. 101, p. 40-48, 2015. (6326) - Fator de Impacto em 2014: 1,845
111. SANTIAGO, A. S.; SANTOS, C. A.; MENDES, J. S.; TOLEDO, M. A. S.; BELOTI, L. L.; SOUZA, A. A.; SOUZA, A. P. Characterization of the LysR-type transcriptional regulator YcjZ-like from *Xylella fastidiosa* overexpressed in *Escherichia coli*. **Protein Expression and Purification**, v. 113, p. 72-78, 2015. (6327) - Fator de Impacto em 2014: 1,695
112. MAZZO, T. M.; LIBANORI, G. S. N.; MOREIRA, M. L.; AVANSI JR., W.; MASTELARO, V. R.; VARELA, J. A.; LONGO, E. Influence of titanium precursor on photoluminescent emission of micro-cube-shaped CaTiO<sub>3</sub>. **Journal of Luminescence**, v. 165, p. 130-137, 2015. (6329) - Fator de Impacto em 2014: 2,719
113. SOUZA, E. E. S.; SANTOS, A. F. T. O.; GONZAGA, I. M. D.; ALVES, N. R.; COSTA, L. P. DA; SILVA, L. S. R.; EGUILUZ, K. I. B.; SALAZAR-BANDA, G. R.; CAVALCANTI, E. B. Ruthenium-tin oxides-coated graphite felt: enhanced active area and improved efficiency for the electrochemical generation of hydrogen peroxide. **Ceramics International**, v. 41, p. 10293-10297, 2015. (6332) - Fator de Impacto em 2014: 2,605
114. VÁZQUEZ, S.; DAVYT, S.; BASBUS, J. F.; SOLDATI, A. L.; AMAYA, A.; SERQUIS, A.; FACCIO, R.; SUESCUN, L. Synthesis and characterization of La<sub>0.6</sub>Sr<sub>0.4</sub>Fe<sub>0.8</sub>Cu<sub>0.2</sub>O<sub>3-Δ</sub> oxide as cathode for intermediate temperature solid oxide fuel cells. **Journal of Solid State Chemistry**, v. 228, p. 208-213, 2015. (6333) - Fator de Impacto em 2014: 2,133
115. SANTIAGO-GONZÁLEZ, B.; VÁZQUEZ-VÁZQUEZ, C.; BLANCO-VARELA, M. C.; MARTINHO, J. M. G.; RAMALLO-LÓPEZ, J. M.; REQUEJO, F. G.; LÓPEZ-QUINTELA, M. A. Synthesis of water-soluble gold clusters in nanosomes displaying robust photoluminescence with very large stokes shift. **Journal of Colloid and Interface Science**, v. 455, p. 154-162, 2015. (6334) - Fator de Impacto em 2014: 3,368
116. CAMILO, M. E.; SILVA, E. O.; KASSAB, L. R. P.; GARCIA, J. A. M.; ARAUJO, C. B. White light generation controlled by changing the concentration of silver nanoparticles hosted by Ho<sup>3+</sup>/Tm<sup>3+</sup>/Yb<sup>3+</sup> doped GeO<sub>2</sub>-PbO glasses. **Journal of Alloys and Compounds**, v. 644, p. 155-158, 2015. (6335) - Fator de Impacto em 2014: 2,999
117. FORTES-DIAS, C. L.; ORTOLANI, P. L.; FERNANDES, C. A. H.; LOBO, K. R.; MELO, L. A. DE; BORGES, M. H.; PAZIN, W. M.; OLIVEIRA NETO, M.; FERNANDEZ, R. M.; FONTES, M. R. M. Insights on the structure of native CNF, an endogenous phospholipase A(2) inhibitor from *Crotalus durissus terrificus*, the South American rattlesnake. **Biochimica et Biophysica Acta. Proteins and Proteomics**, v. 1844, p. 1569-1579, 2015. (6336) - Fator de Impacto em 2014: 2,747
118. SOARES, J. C.; SHIMIZU, F. M.; SOARES, A. C.; CASELI, L.; FERREIRA, J.; OLIVEIRA JR., O. N. Supramolecular control in nanostructured film architectures for detecting breast cancer. **ACS**

- Applied Materials & Interfaces**, v. 7, n. 22, p. 1183-11841, 2015. (6339) - Fator de Impacto em 2014: 6,723
119. GARCEZ, E. O.; ALDRIDGE, L. P.; RAVEN, M.; GATES, W. P.; COLLINS, F.; FRANCO, M.; YOKAICHIYA, F. Synchrotron powder diffraction study of cements pastes. **Journal of the Australian Ceramic Society**, v. 51, n. 2, p. 47-53, 2015. (6345) - Fator de Impacto em 2014: 0,658
  120. ARBOLEDA, D. M.; SANTILLÁN, J. M. J.; HERRERA, L. J. M.; VAN RAAP, M. B. F.; ZÉLIS, P. M.; MURACA, D.; SCHINCA, D. C.; SCAFFARDI, L. B. Synthesis of Ni nanoparticles by femtosecond laser ablation in liquids: structure and sizing. **Journal of Physical Chemistry C**, v. 199, n. 23, p. 13184-13193, 2015. (6347) - Fator de Impacto em 2014: 4,772
  121. HUNT, S. T.; KOKUMAI, T. M.; ZANCHET, D.; ROMÁN-LESHKOV, Y. Alloying tungsten carbide nanoparticles with tantalum: impact on electrochemical oxidation resistance and hydrogen evolution activity. **Journal of Physical Chemistry C**, v. 119, n. 24, p. 13691-13699, 2015. (6348) - Fator de Impacto em 2014: 4,772
  122. LOIOLA, L. M. D.; DUEK, E. A. R.; FELISBERTI, M. I. Amphiphilic multiblock copolymers of PLLA, PEO and PPO blocks: synthesis, properties and cell affinity. **European Polymer Journal**, v. 68, p.618-629, 2015. (6349) - Fator de Impacto em 2014: 3,005
  123. RODRIGUES, E. M.; GASPAR, R.D.L.; MAZALI, I. O.; SIGOLI, F. A. Polydimethylsiloxane composites containing core-only lanthanide-doped oleylamine-stabilized LaF<sub>3</sub> nanoparticles with high emission lifetimes. **Journal of Materials Chemistry C**, v. 3, n. 24, p. 6376-6388, 2015. (6350) - Fator de Impacto em 2014: 4,696
  124. SILVA, R. A. G.; PAGANOTTI, A.; SANTOS, C. M. A.; ADORNO, A. T.; CARVALHO, T. M. Precipitation hardening in the Cu-11 wt.%Al-10 wt.%Mn alloy with Ag addition. **Journal of Alloys and Compounds**, v. 643, p. S178-S181, 2015. (6351) - Fator de Impacto em 2014: 2,999
  125. SARMENTO, V. H. V.; OBARA, P. A.; RIBEIRO, S. J. L.; NALIN, M.; MOLINA, C. PWA-diureasils organic-inorganic hybrids. Photochromism and effect of the organic chain length. **Optical Materials**, v. 46, p. 64-69, 2015. (6352) - Fator de Impacto em 2014: 1,981
  126. PICKLER, A.; ALESSIO, R.; MOTA, C. L.; MANTUANO, A.; NOGUEIRA, L. P.; SALATA, C.; ALMEIDA, A. P.; SENA, G.; BRAZ, D.; ALMEIDA, C. E. V.; BARROSO, R. C. Quantitative analysis in femur of wistar rats after chemotherapy treatment for breast cancer using synchrotron X-ray microfluorescence and microtomography. **X-Ray Spectrometry**, v. 44, n. 4, p. 305-310, 2015. (6353) - Fator de Impacto em 2014: 1,348
  127. BOLZAN, M. S.; ORLANDO, M. T. D.; PASSOS, C. A. C. Critical current model for polycrystalline compounds with an intrinsic solid solution of two mixed superconductor phases. **Journal of Superconductivity and Novel Magnetism**, v. 28, n. 7, p. 1875-1880, 2015. (6356) - Fator de Impacto em 2014: 0,909
  128. LEITÃO, R.; SANTOS, C. A.; PALUMBO JR., A.; SOUZA, P.; CANELLAS, C. G. L.; ANJOS, M. J. DOS; NASCIUTTI, L. E.; LOPES, R. T. Study of response to zinc in human prostate spheroids using X-ray microfluorescence. **IEEE Transactions on Instrumentation and Measurements**, v. 64, n. 8, p. 2121-2126, 2015. (6357) - Fator de Impacto em 2014: 1,79
  129. BUCETA, D.; BUSTO, N.; BARONE, G.; LEAL, J. M.; DOMÍNGUEZ, F.; GIOVANETTI, L. J.; REQUEJO, F. G.; GARCIA, B.; LÓPEZ-QUINTELA, A. Ag-2 and Ag-3 clusters: synthesis, characterization, and

- interaction with DNA. **Angewandte Chemie International Edition**, v. 54, n. 26, p. 7612-7616, 2015. (6359) - Fator de Impacto em 2014: 11,26
130. HERRERA, M. L.; RODRIGUEZ-BATILLER, M. J.; RINCÓN-CARDONA, J. A.; AGUDELO-LAVERDE, L. M.; MARTINI, S.; CANDAL, R. J. Effect of cooling rate and temperature cycles on polymorphic behavior of sunflower oil stearins for applications as trans-fat alternatives in foods. **Food and Bioprocess Technology**, v. 8, n. 8, p. 1779-1790, 2015. (6361) - Fator de Impacto em 2014: 2,691
131. ARAÚJO, J. A.; ARAUJO, G. M.; SOUZA, R. M.; TSCHIPTSCHIN, A. P. Effect of periodicity on hardness and scratch resistance of CrN/NbN nanoscale multilayer coating deposited by cathodic arc technique. **Wear**, v. 330-331, p. 469-477, 2015. (6363) - Fator de Impacto em 2014: 1,913
132. SILVA, W. L.; LANSARIN, M. A.; LIVOTTO, P. R.; DOS SANTOS, J. H. Z. Photocatalytic degradation of drugs by supported titania-based catalysts produced from petrochemical plant residue. **Powder Technology**, v. 279, p. 166-172, 2015. (6368) - Fator de Impacto em 2014: 2,349
133. BUCETA, D.; REQUEJO, F. G.; GIOVANETTI, L. J.; LÓPEZ-QUINTELA, M. A. Photostability of gold nanoparticles with different shapes: the role of Ag clusters. **Nanoscale**, v. 7, p. 11273-11279, 2015. (6369) - Fator de Impacto em 2014: 7,394
134. MOURA, A. L. A.; OLIVEIRA, L. K. DE; CIUFFI, K. J.; MOLINA, E. F. Influence of the hydrophilic/hydrophobic nature of polyetheramines on the interaction between amine-alcohol-silicate hybrids and anionic dyes for effective water cleaning. **Journal of Materials Chemistry A**, v. 3, p. 16020-16032, 2015. (6372) - Fator de Impacto em 2014: 7,443
135. FERREIRA, S. G.; CONCEIÇÃO, V. S.; GOUVEIA, N. S.; SANTOS, G. S.; SANTOS, R. L. C.; LIRA, A. A. M.; CAVALCANTI, S. C. H.; SARMENTO, V. H. V.; NUNES, R. S. An environmentally safe larvicide against *Aedes aegypti* based on in situ gelling nanostructured surfactant systems containing an essential oil. **Journal of Colloid and Interface Science**, v. 456, p. 190-196, 2015. (6373) - Fator de Impacto em 2014: 3,368
136. BASBUS, J. F.; CANEIRO, A.; SUESCUN, L.; LAMAS, D. G.; MOGNI, L. Anomalous X-ray diffraction study of Pr-substituted BaCeO<sub>3</sub> (-) ( $\Delta$ ). **Acta Crystallographica B**, v. 71, pt.4, p. 455-462, 2015. (6374) - Fator de Impacto em 2014: 2,184
137. COSTA, J. A. S.; GARCIA, A. C. F. S.; SANTOS, D. O.; SARMENTO, V. H. V.; MESQUITA, M. E.; ROMÃO, L. P. C. Applications of inorganic-organic mesoporous materials constructed by self-assembly processes for removal of benzo[k]fluoranthene and benzo[b]fluoranthene. **Journal of Sol-Gel Science and Technology**, v. 75, n. 3, p. 495-507, 2015. (6375) - Fator de Impacto em 2014: 1,532
138. FONSECA, E. M. B.; TRIVELLA, D. B. B.; SCORSATO, V.; DIAS, M. P.; BAZZO, N. L.; MANDAPATI, K. R.; OLIVEIRA, F. L.; FERREIRA-HALDER, C. V.; PILLI, R. A.; MIRANDA, P. C. M. L.; APARICIO, R. Crystal structures of the apo form and a complex of human LMW-PTP with a phosphonic acid provide new evidence of a secondary site potentially related to the anchorage of natural substrates. **Bioorganic & Medicinal Chemistry**, v. 23, n. 15, p. 4462-4471, 2015. (6376) - Fator de Impacto em 2014: 2,793
139. HURTADO-NOREÑA, C.; DANÓN, C. A.; LUPPO, M. I.; BRUZZONI, P. Evolution of minor phases in a 9PctCr steel: effect of tempering temperature and relation with hydrogen trapping. **Metallurgical and Materials Transactions A**, v. 46A, n. 9, p. 3972-3988, 2015. (6380) - Fator de Impacto em 2014: 1,73

140. CORTEZ, M.L.; CEOLÍN, M. R.; AZZARONI, O.; BATTAGLINI, F. Formation of redox-active self-assembled polyelectrolyte-surfactant complexes integrating glucose oxidase on electrodes: Influence of the self-assembly solvent on the signal generation. **Bioelectrochemistry**, v. 105, p. 117-122, 2015. (6381) - Fator de Impacto em 2014: 4,172
141. ROCHA, L. A.; FREIRIA, J.C.; CAIUT, J.M.A.; RIBEIRO, S. J. L.; MESSADDEQ, S. H.; VERELST, M.; DEXPERT-GHYS, J. Luminescence properties of Eu-complex formations into ordered mesoporous silica particles obtained by the spray pyrolysis process. **Nanotechnology**, v. 26, n. 33, p. 335604, 2015. (6382) - Fator de Impacto em 2014: 3,821
142. BETANCOURT, A. M.; BAVA, Y.B.; MARTINEZ, Y. B.; ERBEN, M. F.; CAVASSO-FILHO, R. L.; DELLA VÉDOVA, C. O.; ROMANO, R. M. Photofragmentation mechanisms of chlorosulfonyl isocyanate, ClSO<sub>2</sub>NCO, excited with synchrotron radiation between 12 and 550 eV. **Journal of Physical Chemistry A**, v. 119, n. 29, p. 8021-8030, 2015. (6383) - Fator de Impacto em 2014: 2,693
143. OLIVEIRA, D. S.; TIZEI, L. H. G.; LI, A.; VASCONCELOS, T. L.; SENNA, C. A.; ARCHANJO, B. S.; UGARTE, D. M.; COTTA, M. A. Interaction between lamellar twinning and catalyst dynamics in spontaneous core-shell InGaP nanowires. **Nanoscale**, v. 7, n. 29, p. 12722-12727, 2015. (6384) - Fator de Impacto em 2014: 7,394
144. BERNINI, R. B.; COUTINHO, L. H.; NUNEZ, C. V.; CASTILHO, R. B.; SOUZA, G. G. B. Ionic fragmentation of the isoprene molecule in the VUV energy range (12 to 310 eV). **Journal of Electron Spectroscopy and Related Phenomena**, v. 119, n. 31, p. 107-111, 2015. (6385) - Fator de Impacto em 2014: 1,436
145. FRIZON, T. E. A.; MICHELETTO, Y. M. S.; WESTRUP, J. L.; WAKABAYASHI, P. S. S.; SERAFIM, F. R.; DAMIANI, A. P.; LONGARETTI, L. M.; ANDRADE, V. M.; GIACOMELLI, F. C.; FORT, S.; DAL BÓ, A. G. New glycosylated conjugate copolymer N-acetyl-beta-D-glucosaminyl-pluronic: Synthesis, self-assembly and biological assays. **Colloids and Surfaces B-Biointerfaces**, v. 133, p. 323-330, 2015. (6391) - Fator de Impacto em 2014: 4,152
146. ACUÑA, L. M.; MUÑOZ, F. F.; ALBORNOZ, C. A.; LEYVA, A. G.; BAKER, R. T.; FUENTES, R. O. Nanostructured terbium-doped ceria spheres: effect of dopants on their physical and chemical properties under reducing and oxidizing conditions. **Journal of Materials Chemistry A**, v. 3, n. 31, p. 16120-16131, 2015. (6392) - Fator de Impacto em 2014: 7,443
147. GERONÉS, M.; PIRANI, L. S. R.; ERBEN, M. F.; ROMANO, R. M.; CAVASSO-FILHO, R. L.; TONG, S.; GE, M.; DELLA VÉDOVA, C. O. Photoelectron spectroscopy and ionic fragmentation of OSeCl<sub>2</sub> and its analogue OSCl<sub>2</sub> under VUV irradiation. **Journal of Physical Chemistry A**, v. 119, n. 29, p. 8000-8009, 2015. (6394) - Fator de Impacto em 2014: 2,693
148. SILVEIRA, A. B.; LARANJEIRA, A. B. A.; RODRIGUES, G. O. L.; LEAL, P. C.; CARDOSO, B. A.; BARATA, J. T.; YUNES, R. A.; ZANCHIN, N. I. T.; BRANDALISE, S. R.; YUNES, J. A. PI3K inhibition synergizes with glucocorticoids but antagonizes with methotrexate in T-cell acute lymphoblastic leukemia. **Oncotarget**, v. 6, n. 15, p. 13105-13118, 2015. (6396) - Fator de Impacto em 2014: 6,359
149. DORES-SILVA, P. R.; BELOTI, L. L.; MINARI, K.; SILVA, S. M. O.; BARBOSA, L. R. S.; BORGES, J. C. Structural and functional studies of Hsp70-escort protein-Hep1-of *Leishmania braziliensis*. **International Journal of Biological Macromolecules**, v. 79, p. 903-912, 2015. (6398) - Fator de Impacto em 2014: 2,858

150. ZIMICZ, M. G.; PRADO, F. D.; SOLDATI, A. L.; LAMAS, D. G.; LARRONDO, S. A. XPD and XANES Studies of Ce<sub>0.9</sub>Zr<sub>0.1</sub>O<sub>2</sub> Nanocatalysts under redox and catalytic CH<sub>4</sub> oxidation conditions. **Journal of Physical Chemistry C**, v. 119, n. 33, p. 19210-19217, 2015. (6399) - Fator de Impacto em 2014: 4,772
151. FATAYER, S.; VEIGA, R. G. A.; PRIETO, M. J.; PERIM, E.; LANDERS, R.; MIWA, R. H.; SIERVO, A. DE Self-assembly of NiTPP on Cu(111): a transition from disordered 1D wires to 2D chiral domains. **Physical Chemistry Chemical Physics (PCCP)**, v. 17, n. 28, p. 18344-18352, 2015. (6400) - Fator de Impacto em 2014: 4,493
152. CHAGAS, G. R.; SATYANARAYANA, V. S. V.; KESSLER, F.; BELMONTE, G. K.; GONSALVES, K. E.; WEIBEL, D. E. Selective fragmentation of radiation-sensitive novel polymeric resist materials by inner-shell irradiation. **ACS Applied Materials & Interfaces**, v. 7, n. 30, p. 16348-16356, 2015. (6405) - Fator de Impacto em 2014: 6,723
153. ARAUJO, S. S.; NEVES, C. M. L.; GUIMARÃES, S. L.; WHITTMAN, C. P.; JOHNSON JR., W. H.; APARICIO, R.; NAGEM, R. A. P. Structural and kinetic characterization of recombinant 2-hydroxymuconate semialdehyde dehydrogenase from *Pseudomonas putida* G7. **Archives of Biochemistry and Biophysics**, v. 579, p. 8-17, 2015. (6408) - Fator de Impacto em 2014: 3,017
154. FERNANDES, C. A. H.; CARDOSO, F. F.; CAVALCANTE, W. L. G.; SOARES, A. M.; DAL PAI, M.; GALLACCI, M.; FONTES, M. R. M. Structural basis for the inhibition of a phospholipase A(2)-like toxin by caffeic and aristolochic acids. **PLoS One**, v. 10, n. 7, p. e0133370, 2015. (6409) - Fator de Impacto em 2014: 3,234
155. LATGE, C.; CABRAL, K. M. S.; OLIVEIRA, G. A. P.; RAYMUNDO, D. P.; FREITAS, J. A.; JOHANSON, L.; ROMÃO, L. F.; PALHANO, F. L.; HERRMANN, T.; ALMEIDA, M. S.; FOGUEL, D. The solution structure and dynamics of full-length human cerebral dopamine neurotrophic factor and its neuroprotective role against alpha-synuclein oligomers. **Journal of Biological Chemistry**, v. 290, n. 33, p. 20527-20540, 2015. (6411) - Fator de Impacto em 2014: 4,573
156. SILVA, R. A. G.; PAGANOTTI, A.; ADORNO, A. T.; SANTOS, C. M. A.; CARVALHO, T. M. Characteristics of the Cu-18.84 at.%Al-10.28 at.%Mn-1.57 at.%Ag alloy after slow cooling from high temperatures. **Journal of Thermal Analysis and Calorimetry**, v. 121, n. 3, p. 1233-1238, 2015. (6417) - Fator de Impacto em 2014: 2,042
157. SANTOS, JA. C.; BERNARDES, A.; GIAMPIETRO, L.; AMMAZZALORSO, A.; DE FILIPPIS, B.; AMORE, R.; POLIKARPOV, I. Different binding and recognition modes of GL479, a dual agonist of peroxisome proliferator-activated receptor  $\alpha/\gamma$ . **Journal of Structural Biology**, v. 191, n. 3, p. 332-340, 2015. (6422) - Fator de Impacto em 2014: 3,231
158. GONZÁLEZ-HENRÍQUEZ, C. M.; SARABIA-VALLEJOS, M. A. Electrospinning deposition of hydrogel fibers used as scaffold for biomembranes. Thermal stability of DPPC corroborated by ellipsometry. **Chemistry and Physics of Lipids**, v. 190, p. 51-60, 2015. (6427) - Fator de Impacto em 2014: 2,422
159. ROMEIRO, F. C.; MARINHO, J. Z.; LEMOS, S. C. S.; MOURA, A. P.; FREIRE, P. G.; SILVA, L. F.; LONGO, E.; MUNOZ, R. A. A.; LIMA, R. C. Rapid synthesis of Co, Ni co-doped ZnO nanoparticles: optical and electrochemical properties. **Journal of Solid State Chemistry**, v. 230, p. 343-349, 2015. (6448) - Fator de Impacto em 2014: 2,133



160. ALCANTARA, K. F.; GOMES, A. H. A.; WOLFF, W.; SIGAUD, L.; SANTOS, A. C. F. Strong electronic selectivity in the shallow core excitation of the CH<sub>2</sub>Cl<sub>2</sub> molecule. **Journal of Physical Chemistry A**, v. 119, n. 33, p. 8822-8831, 2015. (6452) - Fator de Impacto em 2014: 2,693
161. TORRE, L. M.; AURELIO, G.; GRANADO, E.; SÁNCHEZ, R. D. Structural study of Ni-substituted YBaCo<sub>4-x</sub>Ni<sub>x</sub>O<sub>7</sub> frustrated cobaltites. **Journal of Solid State Chemistry**, v. 230, p. 34-41, 2015. (6454) - Fator de Impacto em 2014: 2,133
162. TRINCA, R. B.; FELISBERTI, M. I. Effect of diisocyanates and chain extenders on the physicochemical properties and morphology of multicomponent segmented polyurethanes based on poly(l-lactide), poly(ethylene glycol) and poly(trimethylene carbonate). **Polymer International**, v. 64, n. 10, p. 1326-1335, 2015. (6493) - Fator de Impacto em 2014: 2,409
163. BILOVOL, V.; MARTÍNEZ-GARCÍA, R. Phase transformation of strontium hexagonal ferrite. **Journal of Physics and Chemistry of Solids**, v. 86, p. 131-137, 2015. (6494) - Fator de Impacto em 2014: 1,853
164. BORTOLOTTI, F.; GARCIA, A. C.; ANGELO, A. C. D. Electronic effect in intermetallic electrocatalysts with low susceptibility to CO poisoning during hydrogen oxidation. **International Journal of Hydrogen Energy**, v. 40, n. 34, p. 10816-10824, 2015. (6506) - Fator de Impacto em 2014: 3,313
165. LARRUDE, D. G.; GARCÍA-BASABE, Y.; FREIRE JR., F. L.; ROCCO, M. L. M. Electronic structure and ultrafast charge transfer dynamics of phosphorous doped graphene layers on a copper substrate: a combined spectroscopic study. **RSC Advances**, v. 5, n. 91, p. 74189-74197, 2015. (6507) - Fator de Impacto em 2014: 3,84
166. ALMEIDA, D. B.; THOMAZ, A. A.; CARVALHO, H. F.; CESAR, C. L. One- and two-photon photoluminescence excitation spectra of CdTe quantum dots in a cryogenic confocal microscopy platform. **Optics Express**, v. 23, n. 15, p. 19715-19727, 2015. (6508) - Fator de Impacto em 2014: 3,488
167. KALISZ, M.; CASSARO, R. A. A.; NOVAK, M. A.; ANDRUH, M.; AMORIM, H. S.; VAZ, M. G. F. A two-dimensional Cu-II-Mn-II heterometallic coordination polymer: structure determination using synchrotron X-ray powder diffraction and magnetic properties. **CrystEngComm**, v. 17, n. 38, p. 7423-7429, 2015. (6509) - Fator de Impacto em 2014: 4,034
168. AIROLDI, C.; ARCE, V. B.; GARGARELLO, R. M.; ORTEGA, F.; ROMANAMO, V.; MIZRAHI, M.; RAMALLO-LÓPEZ, J. M.; COBOS, C. J.; BERNADELLI, C.; DONATI, E. R.; MÁRTIRE, D. O. EXAFS and DFT study of the cadmium and lead adsorption on modified silica nanoparticles. **Spectrochimica Acta Part A-Molecular And Biomolecular Spectroscopy**, v. 151, p. 156-163, 2015. (6511) - Fator de Impacto em 2014: 2,353
169. CEZAR, A. B.; GRAFF, I. L.; VARALDA, J.; SCHREINER, W. H.; MOSCA, D. H. Local order and the dependence of magnetization on Co content in V<sub>2</sub>O<sub>5</sub> layered films. **Journal of Applied Physics**, v. 118, n. 10, p. 103903, 2015. (6512) - Fator de Impacto em 2014: 2,183
170. LÓPEZ, E. O.; MELLO, A.; FARINA, M.; ROSSI, A. M.; ROSSI, AN. L. Nanoscale analysis of calcium phosphate films obtained by RF magnetron sputtering during the initial stages of deposition. **Surface & Coatings Technology**, v. 279, p. 16-24, 2015. (6513) - Fator de Impacto em 2014: 1,998

171. FREITAS, E. T. F.; MONTORO, L. A.; GASPARON, M.; CIMINELLI, V. S. T. Natural attenuation of arsenic in the environment by immobilization in nanostructured hematite. **Chemosphere**, v. 138, n. 340-347, 2015. (6514) - Fator de Impacto em 2014: 3,34
172. GOMES, A. H. A.; OLIVEIRA, R. R.; ROCHA, A. B.; WOLFF, W.; ALCANTARA, K. F.; SIGAUD, G. M.; SANTOS, A. C. F. Strong selectivity in symmetry forbidden vibronic transitions in deep core ionic photofragmentation of the SF<sub>6</sub> molecule. **International Journal of Mass Spectrometry**, v. 388, p. 9-16, 2015. (6516) - Fator de Impacto em 2014: 1,972
173. SCZANCOSKI, J. C.; AVANSI JR., W.; COSTA, M. G. S.; LI, M. S.; MASTELARO, V. R.; SANTOS, R. S.; LONGO, E.; CAVALCANTE, L. S. Effect of different strontium precursors on the growth process and optical properties of SrWO<sub>4</sub> microcrystals. **Journal of Materials Science**, v. 50, n. 24, p. 8089-8103, 2015. (6518) - Fator de Impacto em 2014: 2,371
174. GONZÁLEZ, C. M.; PIZARRO- GUERRA, G.; DROGUETT, F.; SARABIA, M. Artificial biomembrane based on DPPC- Investigation into phase transition and thermal behavior through ellipsometric techniques. **Biochimica et Biophysica Acta-Biomembranes**, v. 1848, n. 10, p. 2295-2307, 2015. (6522) - Fator de Impacto em 2014: 3,836
175. GONZÁLEZ-HENRÍQUEZ, C. M.; PIZARRO- GUERRA, G.; SARABIA-VALLEJOS, M. A.; TERRAZA, C. Thin and ordered hydrogel films deposited through electrospinning technique; a simple and efficient support for organic bilayers. **Biochimica et Biophysica Acta-Biomembranes**, v. 1848, n. 10, p. 2126-2137, 2015. (6523) - Fator de Impacto em 2014: 3,836
176. PICKLER, A.; MOTA, C. L.; MANTUANO, A.; SALATA, C.; NOGUEIRA, L. P.; ALMEIDA, A. P.; ALESSIO, R.; SENA, G.; BRAZ, D.; ALMEIDA, C. E. V.; BARROSO, R. C. X-ray microfluorescence as a tool to analyze elemental changes in femur head induced by chemotherapy drugs for the treatment of breast cancer. **Radiation Physics and Chemistry**, v. 116, p. 257-261, 2015. (6537) - Fator de Impacto em 2014: 1,38
177. VESTGARDEN, J. I.; COLAUTO, F.; DE ANDRADE, A. M. H.; OLIVEIRA, A. A. M.; ORTIZ, W. A.; JOHANSEN, T. H. Cascade dynamics of thermomagnetic avalanches in superconducting films with holes. **Physical Review B**, v. 92, n. 14, p. 144510, 2015. (6550) - Fator de Impacto em 2014: 3,736
178. SANTOS, C. A.; JANISSEN, R.; TOLEDO, M. A. S.; BELOTI, L. L.; AZZONI, A. R.; COTTA, M. A.; SOUZA, A. P. Characterization of the TolB-Pal trans-envelope complex from *Xylella fastidiosa* reveals a dynamic and coordinated protein expression profile during the biofilm development process. **Biochimica et Biophysica Acta. Proteins and Proteomics**, v. 1854, n. 10, p. 1372-1381, 2015. (6552) - Fator de Impacto em 2014: 2,747
179. ARRUDA, M. S.; MEDINA, A.; SOUSA, J. N.; MENDES, L. A. V.; MARINHO, R. R. T.; PRUDENTE, F. V. Ionization and fragmentation of formamide induced by synchrotron radiation in the valence region via photoelectron photoion coincidence measurements and density functional theory calculations. **Journal of Physical Chemistry A**, v. 119, n. 41, p. 10300-10308, 2015. (6554) - Fator de Impacto em 2014: 2,693
180. PENNAFIRME, S.; LIMA, I.; BITENCOURT, J. A.; CRAPEZ, M. A. C.; LOPES, R. T. Microbial biofilm study by synchrotron X-ray microscopy. **Radiation Physics and Chemistry**, v. 116, p. 116-119, 2015. (6556) - Fator de Impacto em 2014: 1,38
181. MARTINS, P. F.; TICIANELLI, E. A. electrocatalytic activity and stability of platinum nanoparticles supported on carbon-molybdenum oxides for the oxygen reduction

- reaction. **ChemElectroChem**, v. 2, n. 9, p. 1298-1306, 2015. (6557) - Fator de Impacto em 2014: 0
182. SILVA, E. R.; WALTER, M. N. M.; REZA, M.; CASTELLETTO, V.; RUOKOLAINEN, J.; CONNON, C. J.; ALVES, W. A.; HAMLEY, I. W. Self-assembled arginine-capped peptide bolaamphiphile nanosheets for cell culture and controlled wettability surfaces. **Biomacromolecules**, v. 16, n. 10, p. 3180- 3190, 2015. (6560) - Fator de Impacto em 2014: 5,75
183. BORDONI, A. V.; LOMBARDO, M. V.; REGAZZONI, A. E.; SOLER-ILLIA, G. J. A. A.; WOLOSUIK, A. Simple thiol-ene click chemistry modification of SBA-15 silica pores with carboxylic acids. **Journal of Colloid and Interface Science**, v. 450, p. 316-324, 2015. (6561) - Fator de Impacto em 2014: 3,368
184. SALVADOR, G. H. M.; DREYER, T. R.; CAVALCANTE, W. L. G.; MATIOLI, F. F.; SANTOS, J. I.; VELAZQUEZ- CAMPOY, A.; GALLACCI, M.; FONTES, M. R. M. Structural and functional evidence for membrane docking and disruption sites on phospholipase A(2)-like proteins revealed by complexation with the inhibitor suramin. **Acta Crystallographica Section D-Structural Biology**, v. 71, n. 10, p. 2066-2078, 2015. (6562) - Fator de Impacto em 2014: 2,68
185. GONZALES-CASTILLO, J. R.; RODRIGUEZ, E.; JIMENEZ-VILLAR, E.; RODRIGUEZ, D.; SALOMON-GARCIA, I.; DE SÁ, G. F.; GARCIA- FERNANDEZ, T.; ALMEIDA, D. B.; CESAR, C. L.; JOHNES, R.; IBARRA, J. C. Synthesis of Ag@silica nanoparticles by assisted laser ablation. **Nanoscale**, v. 10, p. 399-407, 2015. (6563) - Fator de Impacto em 2014: 7,394
186. BARRALES, F. M.; REZENDE, C. A.; MARTINEZ, J. Supercritical CO<sub>2</sub> extraction of passion fruit (*Passiflora edulis sp.*) seed oil assisted by ultrasound. **Journal of Supercritical Fluids**, v. 104, p. 183-192, 2015. (6585) - Fator de Impacto em 2014: 2,371
187. GONÇALVES, G. R.; SCETTINO JR., M. A.; MORIGAKI, M. K.; NUNES, E.; CUNHA, A. G.; EMMERICH, F. G.; PASSAMANI, E. C.; BAGGIO-SAITOVICH, E.; FREITAS, J. C. C. Synthesis of nanostructured iron oxides dispersed in carbon materials and in situ XRD study of the changes caused by thermal treatment. **Journal of Nanoparticle Research**, v. 17, n. 7, p. 1-11, 2015. (6590) - Fator de Impacto em 2014: 2,184
188. VÁZQUEZ, S.; BASBUS, J. F.; SOLDATI, A. L.; NAPOLITANO, F.; SERQUIS, A.; SUESCUN, L. Effect of the symmetric cell preparation temperature on the activity of Ba<sub>0.5</sub>Sr<sub>0.5</sub>Fe<sub>0.8</sub>Cu<sub>0.2</sub>O<sub>3-Δ</sub> as cathode for intermediate temperature solid oxide fuel cells. **Journal of Power Sources**, v. 274, p. 318-323, 2015. (6607) - Fator de Impacto em 2014: 6,217
189. CALLIGARIS, G. A.; FRANCO, M. K. K. D.; ALDRIDGE, L. P.; RODRIGUES, M. S.; BERALDO, A. L.; YOKAICHIYA, F.; TURRILLAS, X.; CARDOSO, L. P. Assessing the pozzolanic activity of cements with added sugar cane straw ash by synchrotron X-ray diffraction and Rietveld analysis. **Construction and Building Materials**, v. 98, p. 44-50, 2015. (6608) - Fator de Impacto em 2014: 2,296
190. VASCONCELLOS, A. DE; LAURENTI, J. B.; MILLER, A. H.; SILVA, D. A. DA; MORAES, F. R. DE; ARANDA, D. A. G.; NERY, J. G. Potential new biocatalysts for biofuel production: the fungal lipases of *Thermomyces lanuginosus* and *Rhizomucor miehei* immobilized on zeolitic supports ion exchanged with transition metals. **Microporous and Mesoporous Materials**, v. 214, p. 166-180, 2015. (6609) - Fator de Impacto em 2014: 3,453
191. GONÇALVES, L. P.; FERREIRA NETO, E. P.; ULLAH, S.; SOUZA, L. V.; YSNAGA, O. A. E.; SANTOS, M. V.; RIBEIRO, S. J. L.; RODRIGUES-FILHO, U. P. Enhanced photochromic response of ormosil-

- phosphotungstate nanocomposite coatings doped with TiO<sub>2</sub> nanoparticles. **Journal of Sol-Gel Science and Technology**, v. 76, n. 2, p. 386-394, 2015. (6613) - Fator de Impacto em 2014: 1,532
192. CABRAL, K. M. S.; RAYMUNDO, D. P.; SILVA, V. S.; SAMPAIO, L. A. G.; JOHANSON, L.; HILL, L. F.; ALMEIDA, F. C. L.; CORDEIRO, Y.; ALMEIDA, M. S. Biophysical Studies on BEX3, the p75(NTR)-associated cell death executor, reveal a high-order oligomer with partially folded regions. **PLoS One**, v. 10, n. 9, p. e0137916, 2015. (6622) - Fator de Impacto em 2014: 3,234
  193. PILLING, S.; BERGANTINI, A. The effect of broadband soft X-rays in SO<sub>2</sub>-containing ices: implications on the photochemistry of ices toward young stellar objects. **Astrophysical Journal**, v. 811, n. 11, p. 151, 2015. (6639) - Fator de Impacto em 2014: 5,993
  194. DELMONICO, L.; AREIAS, V. R.; PINTO, R. C.; MATOS, C. DA S.; ROSA, M. F. F.; DE AZEVEDO, C. M.; ALVES, G. Protein identification from dried nipple aspirate fluid on Guthrie cards using mass spectrometry. **Molecular Medicine Reports**, v. 12, n. 1, p. 159-164, 2015. (6645) - Fator de Impacto em 2014: 1,554
  195. REIS, R. A. G.; LORENZATO JR., E.; SILVA, V. C.; NONATO, M. C. Recombinant production, crystallization and crystal structure determination of dihydroorotate dehydrogenase from *Leishmania (Viannia) braziliensis*. **Acta Crystallographica F**, v. 71, pt. 5, p. 547-552, 2015. (6647) - Fator de Impacto em 2014: 0,524
  196. DUMAS, A.; MIZRAHI, M.; REQUEJO, F. G. Local and extended-order evolution of synthetic talc during hydrothermal synthesis: extended X-ray absorption fine structure, X-ray diffraction, and fourier transform infrared spectroscopy studies. **Crystal Growth & Design**, v. 15, n. 11, p. 5451-5463, 2015. (6666) - Fator de Impacto em 2014: 4,891
  197. MORAES, A. C. M. DE; LIMA, B. A.; FARIA, A. F.; BROCCHI, M.; ALVES, O. L. Graphene oxide-silver nanocomposite as a promising biocidal agent against methicillin-resistant *Staphylococcus aureus*. **International Journal of Nanomedicine**, v. 10, p. 6847-6861, 2015. (6668) - Fator de Impacto em 2014: 4,383
  198. KLOSTER, G. A.; MURACA, D.; MEIORIN, C.; PIROTA, K. R.; MARCOVICH, N. E.; MOSIEWICKI, M. A. Magnetic characterization of chitosan-magnetite nanocomposite films. **European Polymer Journal**, v. 72, p. 201-211, 2015. (6670) - Fator de Impacto em 2014: 3,005
  199. VERISSIMO, N. C.; GEILICH, B. M.; OLIVEIRA, H. G.; CARAM JR., R.; WEBSTER, T. J. Reducing *Staphylococcus aureus* growth on Ti alloy nanostructured surfaces through the addition of Sn. **Journal of Biomedical Materials Research A**, v. 103, n. 12, p. 3757-3763, 2015. (6674) - Fator de Impacto em 2014: 3,369
  200. CASTRO, R. C.; BENITES, V. M.; TEIXEIRA, P. C.; ANJOS, M. J. DOS; OLIVEIRA, L. F. Phosphorus migration analysis using synchrotron radiation in soil treated with brazilian granular fertilizers. **Applied Radiation and Isotopes**, v. 105, p. 233- 237, 2015. (6675) - Fator de Impacto em 2014: 1,231
  201. KOHLRAUSCH, E. C.; ZAPATA, M. J. M.; GONÇALVES, R. V.; KHAN, S.; VAZ, M. DE O.; DUPONT, J.; TEIXEIRA, S. R. Polymorphic phase study on nitrogen-doped TiO<sub>2</sub> nanoparticles: effect on oxygen site occupancy, dye sensitized solar cells efficiency and hydrogen production. **RSC Advances**, v. 5, n. 123, p. 101276-101286, 2015. (6678) - Fator de Impacto em 2014: 3,84
  202. MERJI, A. C.; SUGAHARA, T.; MARTINS, G. V.; SILVA SOBRINHO, A. S.; REIS, D. A. P.; GONÇALVES, P. A. R.; MASSI, M. Use of Cr Inter layer to promote the adhesion of SIC films deposited on Ti-

- 6Al-4V by HiPIMS. **Materials Research-Ibero-American Journal of Materials**, v. 18, n. 5, p. 904-907, 2015. (6680) - Fator de Impacto em 2014: 0,793
203. ESCOBAR, C. C.; DALLEGRAVE, A.; LASARIN, M. A.; SANTOS, J. H. Z. DOS. The sol-gel route effect on the preparation of molecularly imprinted silica-based materials for selective and competitive photocatalysis. **Colloids and Surfaces A-Physicochemical and Engineering ASPE**, v. 486, p. 96-105, 2015. (6682) - Fator de Impacto em 2014: 2,752
204. SILVA, A. M.; MOCELLIN, A.; MONTI, S.; LI, C.; MARINHO, R. R. T.; MEDINA, A.; AGREN, H.; CARRAVETTA, V.; NAVES DE BRITO, A. Surface-altered protonation studied by photoelectron spectroscopy and reactive dynamics simulations. **Journal of Physical Chemistry Letters**, v. 6, n. 5, p. 807-811, 2015. (6683) - Fator de Impacto em 2014: 7,458
205. LÓPEZ, M.L.; CEPPI, S.A.; ASAR, M. L.; BÜRGESESSER, R. E.; ÁVILA, E. E. Rainwater analysis by synchrotron radiation-total reflection X-ray fluorescence. **Spectrochimica Acta Part B: Atomic Spectroscopy**, v. 113, p. 100-105, 2015. (6685) - Fator de Impacto em 2014: 3,176
206. SOARES, A. C.; SOARES, J. C.; SHIMIZU, F. M.; MELENDEZ, M. E.; CARVALHO, A. L.; OLIVEIRA JR., O. N. Controlled film architectures to detect a biomarker for pancreatic cancer using impedance spectroscopy. **ACS Applied Materials & Interfaces**, v. 7, n. 46, p. 25930-25937, 2015. (6721) - Fator de Impacto em 2014: 6,723
207. PASQUALETI, A. M.; OLIVEIRA, F. E. R.; LIMA, F. H. B. Metal oxide/gold hybrid nanocomposites as electrocatalysts for alkaline air electrodes. **Journal of the Brazilian Chemical Society**, v. 26, n. 11, p. 2171-2174, 2015. (6722) - Fator de Impacto em 2014: 1,129
208. MATTE, L. P.; KILIAN, A. S.; LUZA, L.; ALVES, M. C. M.; MORAIS, J. DE; BAPTISTA, D. L.; DUPONT, J.; BERNARDI, F. Influence of the CeO<sub>2</sub> support on the reduction properties of Cu/CeO<sub>2</sub> and Ni/CeO<sub>2</sub> nanoparticles. **Journal of Physical Chemistry C**, v. 119, n. 47, p. 26459-26470, 2015. (6723) - Fator de Impacto em 2014: 4,772
209. MELLO, M. G.; SALVADOR, C. F.; CREMASCO, A.; CARAM JR., R. The effect of Sn addition on phase stability and phase evolution during aging heat treatment in Ti-Mo alloys employed as biomaterials. **Materials Characterization**, v. 110, p. 5-13, 2015. (6734) - Fator de Impacto em 2014: 1,845
210. RICHENA, M.; REZENDE, C. A. Effect of photodamage on the outermost cuticle layer of human hair. **Journal of Photochemistry and Photobiology B-Biology**, v. 153, p. 296-304, 2015. (6744) - Fator de Impacto em 2014: 2,96
211. COSTA, D. DA S.; HUCK-IRIART, C.; KELLERMANN, G.; GIOVANETTI, L. J.; CRAIEVICH, A. F.; REQUEJO, F. G. In situ study of the endotaxial growth of hexagonal CoSi<sub>2</sub> nanoplatelets in Si(001). **Applied Physics Letters**, v. 107, n. 22, p. 223101, 2015. (6747) - Fator de Impacto em 2014: 3,302
212. SOUZA, P. M.; RABELO NETO, R. C.; BORGES, L. E. P.; JACOBS, G.; DAVIS, B. H.; GRAHAM, U. M.; RESASCO, D. E.; NORONHA, F. B. Effect of zirconia morphology on hydrodeoxygenation of phenol over Pd/ZrO<sub>2</sub>. **ACS Catalysis**, v. 5, n. 12, p. 7385-7398, 2015. (6752) - Fator de Impacto em 2014: 9,311
213. ABDALA, D. B.; SILVA, I. R.; VERGÜTZ, L.; SPARKS, D. L. Long-term manure application effects on phosphorus speciation, kinetics and distribution in highly weathered agricultural soils. **Chemosphere**, v. 119, p. 504-514, 2015. (6755) - Fator de Impacto em 2014: 3,34

214. FRANCO, M. W.; FERREIRA, F. A. G.; VASCONCELOS, I. F.; BATISTA, B. L.; PUJONI, D. G. F.; MAGALHÃES, S. M. S.; BARBOSA JR., F.; BARBOSA, F. A. R. Arsenic biotransformation by cyanobacteria from mining areas: evidences from culture experiments. **Environmental Science and Pollution Research**, v. 22, n. 23, p.18607-18615, 2015. (6756) - Fator de Impacto em 2014: 2,828
215. MARTINS, M. M.; SILVA, D. S.; KASSAB, L. R. P.; RIBEIRO, S. J. L.; ARAUJO, C. B. Enhancement of optical absorption, photoluminescence and raman transitions in Bi<sub>2</sub>O<sub>3</sub>-GeO<sub>2</sub> glasses with embedded silver nanoparticles. **Journal of the Brazilian Chemical Society**, v. 26, n. 12, p. 2520-2524, 2015. (6773) - Fator de Impacto em 2014: 1,129
216. ALVES, L. M. S.; BENAION, S. S.; ROMANELLI, C. M.; DOS SANTOS, C. A. M.; DA LUZ, M. S.; DE LIMA, B. S.; OLIVEIRA, F. S.; MACHADO, A. J. S.; GUEDES, E. B.; ABBATE, M.; MOSSANEK, R. J. O. Electrical resistivity in non-stoichiometric MoO<sub>2</sub>. **Brazilian Journal of Physics**, v. 45, n. 2, p. 234-237, 2015. (6808) - Fator de Impacto em 2014: 0,81
217. SANTOS, F. C. DOS; HARB, S. V.; MENU, M.-J.; TURQ, V.; PULCINELLI, S. H.; SANTILLI, C. V.; HAMMER, P. On the structure of high performance anticorrosive PMMA-siloxane-silica hybrid coatings. **RSC Advances**, v. 5, n. 129, p. 106754-106763, 2015. (6810) - Fator de Impacto em 2014: 3,84
218. GRANJA, L.; FUERTES, M. C.; MARTINEZ, E. D.; LEVY, P.; SOLER-ILLIA, G. J. A. A. Three-dimensional electrochemical lithography in mesoporous TiO<sub>2</sub> thin films. **Journal of Physical Chemistry C**, v. 119, n. 52, p. 28954-28960, 2015. (6812) - Fator de Impacto em 2014: 4,772
219. FERNANDES, J. D.; AOKI, P. H. B.; AROCA, R. F.; MACEDO JR., W. D.; SOUZA, A. E.; TEIXEIRA, S. R.; BRAUNGER, M. L.; OLIVATI, C. A.; CONSTANTINO, C. J. L. Supramolecular architecture and electrical properties of a perylene derivative in physical vapor deposited films. **Materials Research-Ibero-American Journal of Materials**, v. 18, suppl. 2, p. 127-137, 2015. (6814) - Fator de Impacto em 2014: 0,793
220. HASSAN, A.; PAGANIN, V. A.; TICIANELLI, E. A. Pt modified tungsten carbide as anode electrocatalyst for hydrogen oxidation in proton exchange membrane fuel cell: CO tolerance and stability. **Applied Catalysis B-Environmental**, v.165, p. 611-619, 2015. (6816) - Fator de Impacto em 2014: 7,435
221. GARCIA, F. A.; KANEKO, U. F.; GRANADO, E.; SICHELSCHEMIDT, J.; HÖLZEL, M.; DUQUE, J. G. S.; NUNES, C. A. J.; AMARAL, R. P.; FERREIRA, P. M.; LORA-SERRANO, R. Magnetic dimers and trimers in the disordered S=3/2 spin system BaTi<sub>1/2</sub>Mn<sub>1/2</sub>O<sub>3</sub>. **Physical Review B**, v. 91, n. 22, p. 224416, 2015. (6818) - Fator de Impacto em 2014: 3,736
222. DAMONTE, L. C. Study of Co and Fe-doped ZnO milled nanopowders. **Powder Technology**, v. 286, p. 371-377, 2015. (6828) - Fator de Impacto em 2014: 2,349
223. DORES-SILVA, P. R.; BARBOSA, L. R. S.; RAMOS, C. H. I.; BORGES, J. C. Human mitochondrial Hsp70 (Mortalin): shedding light on ATPase activity, interaction with adenosine nucleotides, solution structure and domain organization. **PLoS One**, v. 10, n. 1, p. e0117170, 2016. (6831) - Fator de Impacto em 2014: 3,234
224. LEITÃO, R. G.; SANTOS, C. A. N.; PALUMBO JR., A.; SOUZA, P. A. V. R.; CANELLAS, C. G. L.; ANJOS, M. J. DOS; NASCIUTTI, L. E.; LOPES, R. T. Study of the differential response to zinc of prostate cell spheroids using the synchrotron radiation X-ray microfluorescence technique. **X-Ray Spectrometry**, v.44, p. 204-208, 2015. (6865) - Fator de Impacto em 2014: 1,348

225. SEGATO, K.; NISTA, S. V. G.; CORDI, L.; BIZARRIA, M. T. M.; ÁVILA JR.; J. DE; KLEINNUBING, S. A.; CRUZ, D. C.; BROCCHI, M.; LONA, L. M. F.; CABALLERO, N. E. D.; MEI, L. H. I. Silver nanoparticles incorporated into nanostructured biopolymer membranes produced by electrospinning: a study of antimicrobial activity. **Brazilian Journal of Pharmaceutical Sciences**, v. 51, n. 4, p. 911-921, 2015. (7244) - Fator de Impacto em 2014: 0,264
226. FUERTES, V. C.; BLANCO, M. C.; FRANCO, D. G.; CEPPI, S.; SÁNCHEZ, R. D.; FERNÁNDEZ-DÍAS, M. T.; TIRAO, G. A.; CARBONIO, R. E. A new LaCo<sub>0.71</sub>(1)V<sub>0.29</sub>(1)O<sub>2.97</sub>(3) Perovskite containing vanadium in octahedral sites: synthesis and structural and magnetic characterization. **Dalton Transactions**, v. 44, n. 23, p. 10721-10727, 2015. (7494) - Fator de Impacto em 2014: 4,197
227. TOMAZINI JR., A.; DOLCE, L. G.; OLIVEIRA NETO, M.; POLIKARPOV, I. *Xanthomonas campestris* expansin-like X domain is a structurally disordered beta-sheet macromolecule capable of synergistically enhancing enzymatic efficiency of cellulose hydrolysis. **Biotechnology Letters**, v. 37, p. 2419-2426, 2015. (7515) - Fator de Impacto em 2014: 1,591
228. VOLANTI, D. P.; FELIX, A. A.; SUMAN, P. H.; LONGO, E.; VARELA, J. A.; ORLANDI, M. O. Monitoring a CuO gas sensor at work: an advanced in situ X-ray absorption spectroscopy study. **Physical Chemistry Chemical Physics (PCCP)**, v. 17, n. 28, p. 18761-18767, 2015. (7587) - Fator de Impacto em 2014: 4,493
229. THYSSEN, V. V.; MAIA, T. A.; ASSAF, E. M. Cu and Ni catalysts supported on gamma-Al<sub>2</sub>O<sub>3</sub> and SiO<sub>2</sub> assessed in glycerol steam reforming reaction. **Journal of the Brazilian Chemical Society**, v. 26, n. 1, p. 22-31, 2015. (8148) - Fator de Impacto em 2014: 1,129
230. LUSSANI, F. C.; VESCOVI, R. F. C.; SOUZA, T. D.; LEITE, C. A. P.; GILES, C. A versatile X-ray microtomography station for biomedical imaging and materials research. **Review of Scientific Instruments**, v. 86, n. 6, p. 063705, 2015. (8398) - Fator de Impacto em 2014: 1,614

#### 2016 - Artigo em Periódico Indexado - Externa

1. LEAL, B. C.; SCHOLTEN, J. D.; ALVES, M. C. M.; MORAIS, J. DE; DE PEDRO, I.; BARQUIN, L. F.; DUPONT, J. Interacting superparamagnetic iron(II) oxide nanoparticles: synthesis and characterization in ionic liquids. **Inorganic Chemistry**, v. 55, n. 2, p. 865-870, 2016. (4891) -Fator de Impacto em: 2015 4,82
2. REHMAN, F.; RAHIM, A.; AIROLDI, C.; VOLPE, P. L. O. Preparation and characterization of glycidyl methacrylate organo bridges grafted mesoporous silica SBA-15 as ibuprofen and mesalamine carrier for controlled release. **Materials Science & Engineering C-Materials for Biological A**, v. 59, p. 970-979, 2016. (6274) -Fator de Impacto em: 2015 3,42
3. BRINATTI, C.; HUANG, J.; BERRY, R. M.; TAM, K. C.; LOH, W. Structural and energetic studies on the interaction of cationic surfactants and cellulose nanocrystals. **Langmuir**, v. 32, n. 3, p. 689-698, 2016. (6479) -Fator de Impacto em: 2015 3,993
4. RAMOS, M. L. P.; GONZÁLES, J. A.; ALBORNOZ, S. G.; PÉREZ, C. J.; VILLANUEVA, M. E.; GIORGIERI, S. A.; COPELLO, G. J. Chitin hydrogel reinforced with TiO<sub>2</sub> nanoparticles as an arsenic sorbent. **Chemical Engineering Journal**, v. 285, p. 581-587, 2016. (6521) -Fator de Impacto em: 2015 5,31

5. ALMEIDA, V. M. DE; MESQUITA, A.; ZEVALLOS, A. O.; MAMANI, N. C.; NEVES, P. P.; GRATENS, X.; CHITTA, V. A.; FERRAZ, W. B.; DORIGUETTO, A. C.; SABIONI, A. C. S.; CARVALHO, H.B. Room temperature ferromagnetism promoted by defects at zinc sites in Mn-doped ZnO. **Journal of Alloys and Compounds**, v. 655, p. 406-414, 2016. (6737) -Fator de Impacto em: 2015 3,014
6. SANTOS, P.; REZENDE, C. A.; MARTINEZ, J. Activity of immobilized lipase from *Candida antarctica* (Lipozyme 435) and its performance on the esterification of oleic acid in supercritical carbon dioxide. **Journal of Supercritical Fluids**, v. 107, p. 170-178, 2016. (6743) -Fator de Impacto em: 2015 2,579
7. THIRUMALAIRAJAN, S.; MASTELARO, V. R. A novel organic pollutants gas sensing material p-type CuAlO<sub>2</sub> microsphere constituted of nanoparticles for environmental remediation. **Sensors and Actuators B**, v. 223, p. 138-148, 2016. (6748) -Fator de Impacto em: 2015 4,758
8. MARONEZE, C. M.; SANTOS, G. P.; MORAES, V. B.; COSTA, L. P. DA; KUBOTA, L.T. Multifunctional catalytic platform for peroxidase mimicking, enzyme immobilization and biosensing. **Biosensors & Bioelectronics**, v. 77, p. 746-751, 2016. (6750) -Fator de Impacto em: 2015 7,476
9. DANTAS, L. E. C.; SAAD, S. T. O.; RAMOS, C. H. I.; BÉNICHOU, S. Overexpression and characterization of the C-terminal domain of human SIVA1, A proapoptotic factor and cytoskeleton binding protein. **Protein and Peptide Letters**, v. 23, n. 1, p. 43-50, 2016. (6751) -Fator de Impacto em: 2015 1,069
10. CASTEGNARO, M. V.; GORGESKI, A.; BALKE, B.; ALVES, M. C. M.; MORAIS, J. Charge transfer effects on the chemical reactivity of PdxCu<sub>1-X</sub> nanoalloys. **Nanoscale**, v. 8, n. 1, p. 641-947, 2016. (6753) -Fator de Impacto em: 2015 7,76
11. LACHOS- PEREZ, D.; MARTINEZ JIMENEZ, F. D.; REZENDE, C. A.; TOMPSETT, G.; TIMKO, M.; FORSTER-CARNEIRO, T. Subcritical water hydrolysis of sugarcane bagasse: an approach on solid residues characterization. **Journal of Supercritical Fluids**, v. 108, p. 69-78, 2016. (6758) -Fator de Impacto em: 2015 2,579
12. BARBOSA, D. A. B.; LUFASO, M. W.; REICHLLOVA, H.; MARTI, X.; REZENDE, M. V. DOS S.; MACIEL, A. P.; PASCHOAL, C. W. A. Ba-doping effects on structural, magnetic and vibrational properties of disordered La<sub>2</sub>NiMnO<sub>6</sub>. **Journal of Alloys and Compounds**, v. 663, p. 899-905, 2016. (6760) -Fator de Impacto em: 2015 3,014
13. CARVALHO, J. M.; LASTUSAARI, M.; RODRIGUES, L. C. V.; HÖLSÄ, J.; FELINTO, M. C. F. C.; BRITO, H. F. Valence control of Pr in ZrO<sub>2</sub> nanocrystals by aliovalent Gd<sup>3+</sup> co-doping. **Journal of Luminescence**, v. 170, n. 2, p. 627-632, 2016. (6761) -Fator de Impacto em: 2015 ,693
14. GÓMEZ, A. M.; SACANELL, J. G.; LEYVA, A. G.; LAMAS, D. G. Performance of La<sub>0.6</sub>Sr<sub>0.4</sub>Co<sub>(1-y)</sub>Fe<sub>(y)</sub>O<sub>3</sub> (y=0.2, 0.5 and 0.8) nanostructured cathodes for intermediate-temperature solid-oxide fuel cells: Influence of microstructure and composition. **Ceramics International**, v. 42, n. 2, p. 3145-3153, 2016. (6764) -Fator de Impacto em: 2015 2,758
15. BARRETO, P.; OKURA, V.; PENA, I. A.; MAIA, R.; MAIA, I. G.; ARRUDA, P. Overexpression of mitochondrial uncoupling protein 1 (UCP1) induces a hypoxic response in *Nicotiana tabacum* leaves. **Journal of Experimental Botany**, v. 67, n. 1, 301-303, 2016. (6765) -Fator de Impacto em: 2015 5,677
16. GAUSS, C.; SOUZA FILHO, I. R.; SANDIM, M. J. R.; SUZUKI, P. A.; RAMIREZ, A. J.; SANDIM, H. R. Z. In situ synchrotron X-ray evaluation of strain-induced martensite in AISI 201 austenitic



- stainless steel during tensile testing. **Materials Science and Engineering A-Structural Materials Pro**, v. 651, p. 507-516, 2016. (6767) -Fator de Impacto em: 2015 2,647
17. LÓPEZ, C. A.; SALETA, M. E.; SÁNCHEZ, R. D.; PEDREGOSA, J. C.; LAMAS, D. G.; ALONSO, J. A.; FERNÁNDEZ-DÍAS, M. T. Electronic properties in intrinsically disordered double perovskites: Sr<sub>3</sub>MnMo<sub>2</sub>O<sub>9</sub> and Ba<sub>3</sub>MnMo<sub>2</sub>O<sub>9</sub> with Mo<sup>5+</sup> valence state. **Journal of Alloys and Compounds**, v. 661, p. 411-418, 2016. (6768) -Fator de Impacto em: 2015 3,014
  18. VERISSIMO, N. C.; BRITO, C.; SANTOS, W. L. R.; CHEUNG, N.; SPINELLI, J. E.; GARCIA, AM. Interconnection of Zn content, macrosegregation, dendritic growth, nature of intermetallics and hardness in directionally solidified Mg-Zn alloys. **Journal of Alloys and Compounds**, v. 662, p. 1-10, 2016. (6770) -Fator de Impacto em: 2015 3,014
  19. ONO, F. B.; TAPPERO, R.; SPARKS, D.; GUILHERME, L. R. G. Investigation of arsenic species in tailings and windblown dust from a gold mining area. **Environmental Science and Pollution Research**, v. 23, n. 1, p. 638-647, 2016. (6772) -Fator de Impacto em: 2015 2,76
  20. OLIVEIRA, A. F.; PELEGATI, V. B.; CARVALHO, H. F.; CESAR, C. L.; BASTOS, R. G.; DE LA TORRE, L. G. Cultivation of yeast in diffusion-based microfluidic device. **Biochemical Engineering Journal**, v. 105, p. 288-295, 2016. (6777) -Fator de Impacto em: 2015 2,463
  21. CARMINATI, S. A.; SOUZA, F. L.; NOGUEIRA, A. F. Enhancing hematite photoanode activity for water oxidation by incorporation of reduced graphene oxide. **ChemPhysChem**, v. 17, n. 1, p. 170-177, 2016. (6780) -Fator de Impacto em: 2015 3,138
  22. QUARTINO, P. J. Y.; PUSTERLA, J. M.; JOSA, V. M. G.; FIDELIO, G. D.; OLIVEIRA, R. G. CNS myelin structural modification induced in vitro by phospholipases A<sub>2</sub>. **Biochimica et Biophysica Acta-Biomembranes**, v. 1858, p. 123-129, 2016. (6782) -Fator de Impacto em: 2015 3,687
  23. GRAZIANI, N. S.; SALAZAR, M. J.; PIGNATA, M. L.; RODRIGUEZ, J. H. Assessment of the root system of Brassica juncea (L.) czern. and Bidens pilosa L. exposed to lead polluted soils using rhizobox systems. **International Journal of Phytoremediation**, v. 18, n. 3, p. 235-244, 2016. (6783) -Fator de Impacto em: 2015 2,085
  24. TRANQUILIN, J. B.; BRIDI, E. C.; AMARAL, F.L.B.; FRANÇA, F. M. G.; TURSSI, C. P.; BASTING, R.T. TiF<sub>4</sub> improves microtensile bond strength to dentin when using an adhesive system regardless of primer/bond application timing and method. **Colloids and Surfaces A-Physicochemical and Engineering ASPE**, v. 20, n. 1, p. 101-108, 2016. (6785) -Fator de Impacto em: 2015 2,76
  25. COELHO, P. M.; REIS, D. D. DOS; MATOS, M. J. S.; MENDES-DE- SÁ, T. G.; GONÇALVES, A. M. B.; LACERDA, R. G.; MALACHIAS, A.; MAGALHÃES-PANIAGO, R. Near-edge X-ray absorption spectroscopy signature of image potential states in multilayer epitaxial graphene. **Surface Science**, v. 644, p. 135-140, 2016. (6786) -Fator de Impacto em: 2015 1,931
  26. VOLPI, V.; MONTESSO, M.; VIALI, W. R.; RIBEIRO, S. J. L.; MAGON, C. J.; SILVA, I. D. A.; DONOSO, J. P.; NALIN, M. Optical and structural properties of Mn<sup>2+</sup> doped PbGeO<sub>3</sub>-SbPO<sub>4</sub> glasses and glass-ceramics. **Journal of Non-Crystalline Solids**, v. 431, p. 135-139, 2016. (6788) -Fator de Impacto em: 2015 1,825
  27. BARROSO- NETO, I. L.; DELATORRE, P.; TEIXEIRA, C. S.; CORREIA, J. L. A.; CAJAZEIRAS, J. B.; PEREIRA, R. I.; NASCIMENTO, K. S.; LARANJEIRA, E. P. P.; PIRES, A. F.; ASSREUY, A. M. S.; ROCHA, B. A. M.; CAVADA, B. S. Structural analysis of a Dioclea sclerocarpa lectin: study on the

- vasorelaxant properties of *Dioclea lectins*. **International Journal of Biological Macromolecules**, v. 82, p. 464- 470, 2016. (6789) -Fator de Impacto em: 2015 3,138
28. SANTOS, JA. C.; MATOS, C. R. S.; PEREIRA, G. B. S.; SANTANA, T. B. S.; SOUZA JR., H. O.; COSTA, L. P. DA; SUSSUCHI, E. M.; SOUZA, A. M. G. P.; GIMENEZ, I. F. Stable CdTe nanocrystals grown in situ in thiol-modified MCM-41 mesoporous silica: control synthesis and electrochemical detection of Cu<sup>2+</sup>. **Microporous and Mesoporous Materials**, v. 22, p. 48-57, 2016. (6790) -Fator de Impacto em: 2015 3,349
  29. DE CARO, L.; ALTAMURA, D.; ARCINIEGAS, M. P.; SILIQI, D.; KIM, M. R.; SIBILANO, T.; MANNA, L.; GIANNINI, C. Ptychographic imaging of branched colloidal nanocrystals embedded in free-standing thick polystyrene films. **Scientific Reports**, v. 6, n. 19397, 2016. (6793) -Fator de Impacto em: 2015 5,228
  30. KERU, G.; NDUNGU, P. G.; MOLA, G. T.; NOGUEIRA, A. F.; NYAMORI, N. O. Organic solar cells with boron-or nitrogen-doped carbon nanotubes in the P3HT: PCBM photoactive layer. **Journal of Nanomaterials**, v. 2016, p. 5923402, 2016. (6794) -Fator de Impacto em: 2015 1,758
  31. HERNÁNDEZ- MONTELONGO, J.; NASCIMENTO, V. F.; MURILLO, D. M.; TAKETA, T. B.; SAHOO, P. K.; SOUZA, A. A.; BEPPU, M. M.; COTTA, M. A. Nanofilms of hyaluronan/chitosan assembled layer-by-layer: an antibacterial surface for *Xylella fastidiosa*. **Carbohydrate Polymers**, v. 136, p. 1-11, 2016. (6795) -Fator de Impacto em: 2015 4,219
  32. GRIGOROV, K. G.; CHIAPPIM, W.; TESTONI, G. E.; LIMA, J. S. B.; MEDEIROS, H. S.; PESSOA, R. S.; VIEIRA, L.; MACIEL, H. S. Effect of process temperature and reaction cycle number on atomic layer deposition of TiO<sub>2</sub> thin films using TiCl<sub>4</sub> and H<sub>2</sub>O precursors: correlation between material properties and process environment. **Brazilian Journal of Physics**, v. 46, n. 1, p. 56-69, 2016. (6796) -Fator de Impacto em: 2015 1,042
  33. ETLER, V.; KVAPIL, J.; SEBEK, O.; JOHAN, Z.; MIHALJEVIC, M.; RATIÉ, G.; GARNEIER, J.; QUANTIN, C. Leaching behaviour of slag and fly ash from laterite nickel ore smelting (Niquelandia, Brazil). **Applied Geochemistry**, v. 64, p. 118-127, 2016. (6797) -Fator de Impacto em: 2015 2,468
  34. BERNARDI, M. I. B.; SILVA, L. F.; LOPES, O. F.; CATTO, A. C.; AVANSI JR., W.; LI, M. S.; RIBEIRO, C.; LONGO, E. Hierarchical growth of ZnO nanorods over SnO<sub>2</sub> seed layer: insights into electronic properties from photocatalytic activity. **RSC Advances**, v. 6, n. 3, p. 2112-2118, 2016. (6799) -Fator de Impacto em: 2015 3,289
  35. MORAES, T. S.; RABELO NETO, R. C.; RIBEIRO, M. C. C.; MATTOS, L. V.; KOURTELESIS, M.; LADAS, S.; VERYKIOS, X.; NORONHA, F. B. Ethanol conversion at low temperature over CeO<sub>2</sub>-Supported Ni-based catalysts. Effect of Pt addition to Ni catalyst. **Applied Catalysis B-Environmental**, v. 181, p. 754-768, 2016. (6800) -Fator de Impacto em: 2015 8,327
  36. VALLE, L. A. R.; RODRIGUES, S. L.; RAMOS, S. J.; PEREIRA, H. S.; AMARAL, D. C.; SIQUEIRA, J. O.; GUILHERME, L. R. G. Beneficial use of a by-product from the phosphate fertilizer industry in tropical soils: effects on soil properties and maize and soybean growth. **Journal of Cleaner Production**, v. 112, n. 1, p. 113-120, 2016. (6802) -Fator de Impacto em: 2015 4,959
  37. SOUZA, J. S.; CARVALHO JR., W.; SOUZA, F. L.; PONCE-DE-LEON, C.; BAVYKIN, D. V.; ALVES, W. A. Multihierarchical electrodes based on titanate nanotubes and zinc oxide nanorods for photoelectrochemical water splitting. **Journal of Materials Chemistry A**, v. 4, n. 3, p. 944-952, 2016. (6803) -Fator de Impacto em: 2015 8,262

38. MATSUYAMA, B. Y.; KRASTEVA, P. V.; BARAQUET, C.; HARWOOD, C. S.; SONDERMANN, H.; NAVARRO, M. V. A. S. Mechanistic insights into c-di-GMP-dependent control of the biofilm regulator FleQ from *Pseudomonas aeruginosa*. **Proceedings of the National Academy of Sciences USA**, v.113, n. 2, p. E209-E218, 2016. (6806) -Fator de Impacto em: 2015 9,423
39. SOUZA, S. M. DE; FROTA, H. O.; TRICHÊS, D. M.; GHOSH, A.; CHAUDHURI, P.; GUSMÃO, M. S. DOS S.; PEREIRA, A. F. F. F.; SIQUEIRA, M. C.; MACHADO, K. D.; LIMA, J. C. Pressure-induced polymorphism in nanostructured SnSe. **Journal of Applied Crystallography**, v. 49, n. 1, p. 213-221, 2016. (6815) -Fator de Impacto em: 2015 2,57
40. PERULLINI, M.; LEVINSON, N.; JOBBÁGY, M.; BILMES, S. A. Microstructure and transport properties of biocompatible silica hydrogels. **Journal of Sol-Gel Science and Technology**, v. 77, n. 2, p. 437-445, 2016. (6820) -Fator de Impacto em: 2015 1,473
41. CORAL, D. F.; ZÉLIS, P. M.; MARCIELLO, M.; MORALES, M. DEL P.; CRAIEVICH, A. F.; SÁNCHEZ, F. H.; VAN RAAP, M. B. F. Effect of Nanoclustering and dipolar interactions in heat generation for magnetic hyperthermia. **Langmuir**, v. 32, n. 5, p.1201-1213, 2016. (6827) -Fator de Impacto em: 2015 3,993
42. COLETTA, R. D.; MARCOS, F. C. F.; NOGUEIRA, F. G. E.; BERNARDI, M. I. B.; MICHALOWICZ, A.; GONÇALVES, R. V.; ASSAF, E. M.; MASTELARO, V. R. In situ study of copper reduction in SrTi1-xCuxO3 nanoparticles. **Physical Chemistry Chemical Physics (PCCP)**, v. 18, n. 3, p. 2070-2079, 2016. (6832) -Fator de Impacto em: 2015 4,449
43. DUARTE, R. N.; FARIA, J. D.; BRITO, C.; CHEUNG, N.; VERISSIMO, N. C.; GARCIA, AR. Length scale of the dendritic microstructure affecting tensile properties of Al-(Ag)-(Cu) alloys. **International Journal of Modern Physics B**, v. 30, n. 3, p. 1550261, 2016. (6833) -Fator de Impacto em: 2015 0,85
44. NOVAIS, S. M. V.; MACEDO, Z. S. Local atomic arrangement and scintillation properties of Eu- and Ce-doped NaYP2O7. **Journal of Solid State Chemistry**, v. 233, p. 103-107, 2016. (6834) -Fator de Impacto em: 2015 2,265
45. SOUZA, S. D.; PEREIRA, I. M.; RODRIGUES, A. P. H.; OLIVEIRA, L. C. A.; BOAVENTURA, T. P.; SOUZA, A. R.; ORÉFICE, R. L.; PATRICIO, P. S. O. Nanostructured oxyhydroxide niobium (NbO2OH) as UV radiation protector for polypropylene. **RSC Advances**, v. 6, n. 6, p. 5040-5048, 2016. (6838) -Fator de Impacto em: 2015 3,289
46. SOSA, M. DEL C.; SALAZAR, M. J.; ZYGADLO, J. A.; WANNAZ, E. D. Effects of Pb in *Tagetes minuta* L. (Asteraceae) leaves and its relationship with volatile compounds. **Industrial Crops and Products**, v. 82, p. 37-43, 2016. (6842) -Fator de Impacto em: 2015 3,449
47. FREITAS, I. C.; GALLO, J. M. R.; BUENO, J. M. C.; MARQUES, C. M. P. The Effect of Ag in the Cu/ZrO2 Performance for the ethanol conversion. **Topics in Catalysis**, v. 59, n. 2-4, p. 357-365, 2016. (6844) -Fator de Impacto em: 2015 2,355
48. DANTAS, S. C.; RESENDE, K. A.; ÁVILA- NETO, C. N.; NORONHA, F. B.; BUENO, J. M. C.; HORI, C. E. Nickel supported catalysts for hydrogen production by reforming of ethanol as addressed by in situ temperature and spatial resolved XANES analysis. **International Journal of Hydrogen Energy**, v. 41, n. 5, p. 3399-3413, 2016. (6846) -Fator de Impacto em: 2015 3,205
49. ARBOLEDA, D. M.; SANTILLÁN, J. M. J.; HERRERA, L. J. M.; MURACA, D.; SCHINCA, D. C.; SCAFFARDI, L. B. Size-dependent complex dielectric function of Ni, Mo, W, Pb, Zn and Na

- nanoparticles. Application to sizing. **Journal of Physics D-Applied Physics**, v. 49, n. 7, p. 075302, 2016. (6848) -Fator de Impacto em: 2015 2,772
50. MICHELON, M.; MANTOVANI, R. A.; SINIGAGLIA-COIMBRA, R.; DE LA TORRE, L. G.; CUNHA, R. L. Structural characterization of beta-carotene-incorporated nanovesicles produced with non-purified phospholipids. **Food Research International**, v. 79, p. 95-105, 2016. (6850) -Fator de Impacto em: 2015 3,182
51. FERREIRA, G. A.; LOH, W. structural parameters of lamellar phases formed by the self-assembly of dialkyldimethylammonium bromides in aqueous solution. **Journal of the Brazilian Chemical Society**, v. 27, n. 2, p. 3992-401, 2016. (6851) -Fator de Impacto em: 2015 1,096
52. DE LIMA, L. H.; BARRETO, L.; LANDERS, R.; SIERVO, A. DE Surface structure determination of black phosphorus using photoelectron diffraction. **Physical Review B**, v. 93, n. 3, p. 035448, 2016. (6853) -Fator de Impacto em: 2015 3,718
53. OLIVEIRA, L. K. DE; MOLINA, E. F.; MOURA, A. L. A.; FARIA, E. H.; CIUFFI, K. J. Synthesis, characterization, and environmental applications of hybrid materials based on humic acid obtained by the sol gel route. **ACS Applied Materials & Interfaces**, v. 8, n. 2, p.1478-1485, 2016. (6854) -Fator de Impacto em: 2015 7,145
54. SAMPAIO, D. V.; SOUZA, N. R. S.; SANTOS, J. C. A.; SILVA, D. C.; FONSECA, E. J. S.; KUCERA, C.; FAUGAS, B.; BALLATO, J.; SILVA, R. S. Translucent and persistent luminescent SrAl<sub>2</sub>O<sub>4</sub>:Eu<sup>2+</sup> Dy<sup>3+</sup> ceramics. **Ceramics International**, v. 42, n. 3, p. 4306-4312, 2016. (6855) -Fator de Impacto em: 2015 2,758
55. BAKAR, S. A.; RIBEIRO, C. An insight toward the photocatalytic activity of S doped 1-D TiO<sub>2</sub> nanorods prepared via novel route: As promising platform for environmental leap. **Journal of Molecular Catalysis A**, v. 412, p. 78-92, 2016. (6858) -Fator de Impacto em: 2015 3,958
56. CANELLAS, C. G. L.; CARVALHO, S. M. F.; LEITÃO, R. G.; ANJOS, M. J. DOS; LOPES, R. T. Multielement analysis in serum of healthy population of the metropolitan region of Rio de Janeiro in Brazil by SRTXRF. **X-Ray Spectrometry**, v. 45, p. 14-18, 2016. (6866) -Fator de Impacto em: 2015 1,173
57. CASSINELLI, W. H.; MARTINS, L.; MAGNANI, M.; PULCINELLI, S. H.; BRIOIS, V.; SANTILLI, C. V. Time-resolved XAS/MS/Raman monitoring of mutual copper self-reduction and ethanol dehydrogenation reactions. **RSC Advances**, v. 6, n. 25, p. 20453-20457, 2016. (6868) -Fator de Impacto em: 2015 3,289
58. PERCEBOM, A. M.; GINER-CASARES, J. J.; CLAES, N.; BALS, S.; LOH, W.; LIZ-MARZÁN, L. M. Janus gold nanoparticles obtained via spontaneous binary polymer shell segregation. **Chemical Communications**, v. 52, n. 23, p. 4278-4281, 2016. (6869) -Fator de Impacto em: 2015 6,567
59. STEWART, S. J.; CABRERA, A. F.; FELLEZ, N. A.; MERCADER, R. C.; BENGOA, J. F.; MARCHETTI, S. G. Bi-magnetic iron(III) oxide nanocrystals embedded in MCM-41 mesoporous silica. **Journal of Physical Chemistry C**, v. 120, n. 5, p. 2993-3000, 2016. (6870) -Fator de Impacto em: 2015 4,509
60. DESTRO, P.; COLOMBO, M.; PRATO, M.; BRESCIA, R.; MANNA, L.; ZANCHET, D. Au<sub>1-x</sub>Cu<sub>x</sub> colloidal nanoparticles synthesized via a one-pot approach: understanding the temperature effect on the Au:Cu ratio. **RSC Advances**, v. 6, p. 22213-22221, 2016. (6871) -Fator de Impacto em: 2015 3,289

61. BALDIN, E. K. K.; KUNST, S. R.; BELTRAMI, L. V. R.; LEMOS, T. M.; QUEVEDO, M. C.; BASTOS, A. C.; FERREIRA, M. G. S.; SANTOS, P. R. R.; SARMENTO, V. H. V.; MALFATTI, C. F. Ammonium molybdate added in hybrid films applied on tinplate: effect of the concentration in the corrosion inhibition action. **Thin Solid Films**, v. 600, p. 146-156, 2016. (6875) -Fator de Impacto em: 2015 1,761
62. YOSHIKAWA, D. S.; TERADA, M.; ASSIS, S. L. DE; COSTA, I.; PADILHA, A. F. Correlation between microstructure and corrosion behavior of two Al-Fe-Si alloys. **Materials and Corrosion**, v. 67, n. 3, p. 286-296, 2016. (6878) -Fator de Impacto em: 2015 1,45
63. CAMILO, F. F.; OLIVEIRA, R. DA S.; BIZETO, M. A. Evaluation of the influence of sulfur-based functional groups on the embedding of silver nanoparticles into the pores of MCM-41. **Journal of Solid State Chemistry**, v. 235, p. 125-131, 2016. (6879) -Fator de Impacto em: 2015 2,265
64. ALBUQUERQUE, L. J. C.; ANNES, K.; MILAZZOTTO, M. P.; MATTEI, B.; RISKE, K. A.; JÄGER, E.; PÁNEK, J.; KAPUSTA, P.; MURARO, P. I. R.; FREITAS, A. G. O. DE; SCHMIDT, V.; GIACOMELLI, C.; BONVENT, J.-J.; GIACOMELLI, F. C. Efficient condensation of DNA into environmentally responsive polyplexes produced from block cationomers carrying amine or diamine groups. **Langmuir**, v. 32, n. 2, p. 577-586, 2016. (6881) -Fator de Impacto em: 2015 3,993
65. AMURIN, L. G.; CARASTAN, D. J.; DEMARQUETTE, N. R. Morphological evolution of block copolymer nanocomposites submitted to extensional flows. **Journal of Rheology**, v. 60, n. 1, p. 175-189, 2016. (6882) -Fator de Impacto em: 2015 2,916
66. BAJALES, N.; ÁVLIA, M.; GALVÁN, V.; BERCOFF, P. G. Multi-characterization of electron-induced defects in highly oriented pyrolytic graphite. **Current Applied Physics**, v. 16, n. 3, p. 421-427, 2016. (6884) -Fator de Impacto em: 2015 2,144
67. SOUSA, C. P.; KOGIKOSKI JR., S.; LIBERATO, M. S.; ANDRADE-FILHO, T.; PRIETO, T.; FERREIRA, F. F.; ROCHA, A. R.; GUHA, S.; ALVES, W. A. Multifunctional biosensors based on peptide-polyelectrolyte conjugates. **Physical Chemistry Chemical Physics (PCCP)**, v. 18, n. 4, p. 3223-3233, 2016. (6885) -Fator de Impacto em: 2015 4,449
68. MORAIS, A.; LONGO, C.; ARAUJO, J. R.; BARROSO, M.; DURRANT, J. R.; NOGUEIRA, A. F. Nanocrystalline anatase TiO<sub>2</sub>/reduced graphene oxide composite films as photoanodes for photoelectrochemical water splitting studies: the role of reduced graphene oxide. **Physical Chemistry Chemical Physics (PCCP)**, v. 18, n. 4, p. 2608-2616, 2016. (6888) -Fator de Impacto em: 2015 4,449
69. OVIEDO, M. J.; CONTRERAS, O.; ROSENSTEIN, Y.; VAZQUEZ-DUHALT, R.; MACEDO, Z. S.; CARBAJAL-ARIZAGA, G. G.; HIRATA, G. A. New bismuth germanate oxide nanoparticle material for biolabel applications in medicine. **Journal of Nanomaterials**, v. 2016, p. 9782625, 2016. (6889) -Fator de Impacto em: 2015 1,758
70. AGUIAR, K. M. F.; FERREIRA NETO, E. P.; BLUNK, S.; SCHNEIDER, J. F.; PICON, C. A.; LEPIENSKI, C. M.; RISCHKA, K.; RODRIGUES-FILHO, U. P. Hybrid urethanesil coatings for inorganic surfaces produced by isocyanate-free and sol-gel routes: synthesis and characterization. **RSC Advances**, v. 6, n. 23, p. 19160-19172, 2016. (6891) -Fator de Impacto em: 2015 3,289
71. LIBERATO, M. S.; KOGIKOSKI JR., S.; SILVA, E. R.; ARAUJO, D. R.; GUHA, S.; ALVES, W. A. Polycaprolactone fibers with self-assembled peptide micro/nanotubes: a practical route towards enhanced mechanical strength and drug delivery applications. **Journal of Materials Chemistry B**, v. 4, n. 8, p. 1405-1413, 2016. (6893) -Fator de Impacto em: 2015 4,872

72. GALLO, G.; GILLES, A.; RANGEL, G.; ZELANIS, A.; MORI, M. A.; CAMPOS, C. B.; WURTELE, M. Structural basis for dimer formation of the CRISPR-associated protein Csm2 of *Thermotoga maritima*. **FEBS Journal**, v. 283, n. 4, p. 694-703, 2016. (6895) -Fator de Impacto em: 2015 4,237
73. BACANI, R.; MARTINS, T. S.; FANTINI, M. C. A.; LAMAS, D. G. Structural studies of mesoporous ZrO<sub>2</sub>-CeO<sub>2</sub> and ZrO<sub>2</sub>-CeO<sub>2</sub>/SiO<sub>2</sub> mixed oxides for catalytical applications. **Journal of Alloys and Compounds**, v. 671, p. 396-402, 2016. (6896) -Fator de Impacto em: 2015 3,014
74. BAKAR, S. A.; BYZYNSKI, G.; RIBEIRO, C. Synergistic effect on the photocatalytic activity of N-doped TiO<sub>2</sub> nanorods synthesised by novel route with exposed (110) facet. **Journal of Alloys and Compounds**, v. 666, p. 38-49, 2016. (6899) -Fator de Impacto em: 2015 3,014
75. HOTZA, D.; CAMARGO, M. T. T.; JACQUES, Q.; CALIMAN, L. B.; MIAGAVA, J.; CASTRO, R. H. R.; GOUVÊA, D. Synthesis of Ca-doped spinel by ultrasonic spray pyrolysis. **Materials Letters**, v. 171, p. 232-235, 2016. (6901) -Fator de Impacto em: 2015 2,437
76. FABIAN, F. A.; PEDRA, P. P.; MOURA, K. O.; DUQUE, J. G. S.; MENESES, C. T. Reversal magnetization dependence with the Cr and Fe oxidation states in YFe<sub>1-x</sub>Cr<sub>x</sub>O<sub>3</sub> (0 ≤ x ≤ 1) Perovskites. **Journal of Magnetism and Magnetic Materials**, v. 408, p. 94-98, 2016. (6902) -Fator de Impacto em: 2015 2,357
77. FERREIRA, F. A. G.; AMARAL, T.; YSNAGA, O. A. E.; PEREIRA-DA-SILVA, M. A.; LOPES, J. H.; LEWICKI, J. P.; WORSLEY, M. A.; SCHNEIDER, J. F.; TREMILIOSI-FILHO, G.; RODRIGUES-FILHO, U. P. Structure-property relationship of new polyimide-organically modified silicate-phosphotungstic acid hybrid material system. **Journal of Materials Science**, v. 51, n. 10, p. 4815-4824, 2016. (6903) -Fator de Impacto em: 2015 2,302
78. ALTOÉ, M. A. S.; MICHELS, L.; SANTOS, E. C. DOS; DROPPA JR., R.; GRASSI, G.; RIBEIRO, L.; KNUDSEN, K. D.; BORDALLO, H. N.; FOSSUM, J. O.; DA SILVA, G. J. Continuous water adsorption states promoted by Ni<sup>2+</sup> confined in a synthetic smectite. **Applied Clay Science**, v. 123, p. 83-91, 2016. (6905) -Fator de Impacto em: 2015 2,586
79. GONZALEZ, E. D.; NIEMEYER, T. C.; AFONSO, C. R. M.; NASCENTE, P. Ti-Nb thin films deposited by magnetron sputtering on stainless steel. **Journal of Vacuum Science & Technology A**, v. 34, n. 2, p. 021511, 2016. (6911) -Fator de Impacto em: 2015 1,724
80. FECHER, G. H.; RAUSCH, E.; BALKE, B.; WEIDENKAFF, A.; FELSER, C. Half-Heusler materials as model systems for phase-separated thermoelectrics. **Physica Status Solidi A**, v. 213, n. 3, p. 716-731, 2016. (6913) -Fator de Impacto em: 2015 1,648
81. DAL BÓ, A. G.; MICHELETTO, Y. M. S.; GIACOMELLI, F. C.; LOPEZ, G.; SARTORI, M. J. R.; RAFIQUE, J.; SABA, S.; SILVEIRA, L. M.; MENDES, J.; FRIZON, T. E. A. Synthesis of new monodendrons, gallic acid derivatives, self-assembled in a columnar phase. **Liquid Crystals**, v. 43, n. 3, p. 292-304, 2016. (6915) -Fator de Impacto em: 2015 2,244
82. GODOI, D. R. M.; VILLULLAS, H. M.; ZHU, F.-C.; JIANG, Y.-X.; SUN, S.-G.; GUO, J.; SUN, L.; CHEN, R. A comparative investigation of metal-support interactions on the catalytic activity of Pt nanoparticles for ethanol oxidation in alkaline medium. **Journal of Power Sources**, v. 311, p. 81-90, 2016. (6918) -Fator de Impacto em: 2015 6,333
83. LOPES, O. F.; CARVALHO, K. T. G.; NOGUEIRA, A. E.; AVANSI JR., W.; RIBEIRO, C. Controlled synthesis of BiVO<sub>4</sub> photocatalysts: Evidence of the role of heterojunctions in their catalytic

- performance driven by visible-light. **Applied Catalysis B-Environmental**, v. 188, p. 87-97, 2016. (6919) -Fator de Impacto em: 2015 8,327
84. PEREZ TABORDA, J. A.; ROMERO, J. J.; ABAD, B.; MUÑOZ-ROJO, M.; MELLO, A.; BRIONES, F. Low thermal conductivity and improved thermoelectric performance of nanocrystalline silicon germanium films by sputtering. **Nanotechnology**, v. 27, n. 17, p. 175401, 2016. (6920) -Fator de Impacto em: 2015 3,573
  85. MATOS, B. R.; DRESCH, M. A.; SANTIAGO, E. I.; MORAES, L. P. R.; CARASTAN, D. J.; SCHOENMAKER, J.; VELASCO-DAVALOS, I. A.; RUEDIGER, A.; TAVARES, A. C.; FONSECA, F. C. Nafion membranes annealed at high temperature and controlled humidity: structure, conductivity, and fuel cell performance. **Electrochimica Acta**, v. 196, p.110-117, 2016. (6921) -Fator de Impacto em: 2015 4,803
  86. SOUSA, A. A.; HASSAN, S. A.; KNITTEL, L. L.; BALBO, A.; ARONOVA, M. A.; BROWN, P. H.; SCHUCK, P.; LEAPMAN, R. D. Biointeractions of ultrasmall glutathione-coated gold nanoparticles: effect of small size variations. **Nanoscale**, v. 8, p. 6577-6588, 2016. (6923) -Fator de Impacto em: 2015 7,76
  87. LIBERATO, M. V.; SILVEIRA, R. L.; PRATES, E. T.; ARAÚJO, E. A.; PELLEGRINI, V. O. A.; CAMILO, C. M.; KADOWAKI, M. A. S.; OLIVEIRA NETO, M.; POPOV, A.; SKAF, M. S.; POLIKARPOV, I. Molecular characterization of a family 5 glycoside hydrolase suggests an induced-fit enzymatic mechanism. **Scientific Reports**, v. 6, p. 23473, 2016. (6928) -Fator de Impacto em: 2015 5,228
  88. MONTEIRO, A. A.; MONTEIRO, M. R.; PEREIRA, R. N.; DINIZ, R.; COSTA, A. R.; MALCATA, F. X.; TEIXEIRA, J. A.; TEIXEIRA, A. V.; OLIVEIRA, E. B. DE; COIMBRA, J. S. DOS R.; VICENTE, A. A.; RAMOS, O. L. Design of bio-based supramolecular structures through self-assembly of alpha-lactalbumin and lysozyme. **Food Hydrocolloids**, v. 58, p. 60-74, 2016. (6930) -Fator de Impacto em: 2015 3,858
  89. GIAMPAOLI, P.; WANNAZ, E. D.; TAVARES, A. R. Suitability of *Tillandsia usneoides* and *Aechmea fasciata* for biomonitoring toxic elements under tropical seasonal climate. **Chemosphere**, v. 149, p. 14-23, 2016. (6933) -Fator de Impacto em: 2015 3,698
  90. CAMARGO, M. N. L.; SANTHIAGO, M.; MARONEZE, C. M.; SILVA, C. C. C.; TIMM, R. A.; KUBOTA, L.T. Tuning the electrochemical reduction of graphene oxide: structural correlations towards the electrooxidation of nicotinamide adenine dinucleotide hydride. **Electrochimica Acta**, v. 197, p. 194-199, 2016. (6934) -Fator de Impacto em: 2015 4,803
  91. RUFINO, T.DO C.; FELISBERTI, M. I. Confined PEO crystallisation in immiscible PEO/PLLA blends. **RSC Advances**, v. 6, n. 37, p. 30937-309502 2016. (6938) -Fator de Impacto em: 2015 3,289
  92. BETANCOURT, A. M.; COUTINHO, L. H.; BERNINI, R. B.; MOURA, C. E. V.; ROCHA, A. B.; SOUZA, G. G. B. DE VUV and soft X-ray ionization of a plant volatile: vanillin (C<sub>8</sub>H<sub>8</sub>O<sub>3</sub>). **Journal of Chemical Physics**, v. 144, n. 11, p. 114305, 2016. (6939) -Fator de Impacto em: 2015 2,894
  93. HAMANAKA, M. H. M. O.; DALL'AGNOL, F. F.; PIMENTEL, V. L.; MAMMANA, V. P.; TATSCH, P. J.; DEN ENGELSEN, D. Work function measurements using a field emission retarding potential technique. **Review of Scientific Instruments**, v. 87, n. 3, p. 035116, 2016. (6940) -Fator de Impacto em: 2015 1,336

94. SERGIO, C. S. A.; SANTOS, P.; BARBERO, G. F.; REZENDE, C. A.; MARTINEZ, J. Effect of ultrasound on the supercritical CO<sub>2</sub> extraction of bioactive compounds from dedo de moça pepper (*Capsicum baccatum* L. var. *pendulum*). **Ultrasonics Sonochemistry**, v. 31, p. 284-294, 2016. (6949) -Fator de Impacto em: 2015 4,556
95. PERISSINOTO, A. P.; AWANO, C. M.; VICENTE, F. S.; DONATTI, D. A.; MESQUITA, A.; DA SILVA, L. F.; VOLLET, D. R. Structure and diffuse-boundary in hydrophobic and sodium dodecyl sulfate-modified silica aerogels. **Microporous and Mesoporous Materials**, v. 223, p. 196-202, 2016. (6951) -Fator de Impacto em: 2015 3,349
96. BASBUS, J. F.; ARCE, V. B.; PRADO, F.; SUESCUN, L.; CANEIRO, A.; MOGNI, L. V. A High temperature study on the structure, linear expansion, thermodynamic stability and electrical properties of the BaCe<sub>0.8</sub>Pr<sub>0.2</sub>O<sub>3-Δ</sub> Perovskite. **Journal of the Electrochemical Society**, v. 163, n. 6, p. F516-F522, 2016. (6953) -Fator de Impacto em: 2015 3,014
97. BRAGA, F. V.; ESCOBAR, D. P.; OLIVEIRA, N. J. L.; ANDRADE, M. S. Hot deformation behavior of a ferritic stainless steel stabilized with Nb during hot rolling simulation at different temperature ranges. **Journal of Materials Research**, v. 31, n. 5, p. 635-645, 2016. (6955) -Fator de Impacto em: 2015 1,579
98. PUIG, J.; ZUCCHI, I. A.; CEOLÍN, M. R.; SCHROEDER, W. F.; WILLIAMS, R. J. J. Evolution of morphologies of a PE-b-PEO block copolymer in an epoxy solvent induced by polymerization followed by crystallization-driven self-assembly of PE blocks during cooling. **RSC Advances**, v. 6, n. 41, p. 34903-34912, 2016. (6956) -Fator de Impacto em: 2015 3,289
99. SOUSA, M. E.; CARREA, A.; ZÉLIS, P. M.; MURACA, D.; MYKHAYLYK, O.; SOSA, Y. E.; GOYA, R. G.; SÁNCHEZ, F. H.; DEWEY, R. A.; VAN RAAP, M. B. F. Stress-induced gene expression sensing intracellular heating triggered by magnetic hyperthermia. **Journal of Physical Chemistry C**, v. 120, n. 13, p. 7339-7348, 2016. (6958) -Fator de Impacto em: 2015 4,509
100. MONFREDINI, T.; FANTUZZI, F.; NASCIMENTO, M. A. C.; WOLFF, W.; BOECHAT-ROBERTY, H. M. Single and double photoionization and photodissociation of toluene by soft X-rays in a circumstellar environment. **Astrophysical Journal**, v. 821, n. 1, p. 1-11, 2016. (6959) -Fator de Impacto em: 2015 5,909
101. SILVA, L. P. S.; AGUIAR, A. C.; REZENDE, C. A.; BARBERO, G. F.; MARTINEZ, J. Encapsulation of pepper oleoresin by supercritical fluid extraction of emulsions. **Journal of Supercritical Fluids**, v. 112, p. 37-43, 2016. (6961) -Fator de Impacto em: 2015 2,579
102. PANCOTTI, A.; SIERVO, A. DE; NASCENTE, P. A. P.; LANDERS, R. Surface structure characterization of ultra-thin films of Au deposited on Pd(111). **Surface Science**, v. 648, p. 250-255, 2016. (7003) -Fator de Impacto em: 2015 1,931
103. DE MORAIS, W. A.; SILVA, G. T. M.; NUNES, J. S.; WANDERLEY NETO, A. DE O.; PEREIRA, M. R. Interpolyelectrolyte complex formation: From lyophilic to lyophobic colloids. **Colloids and Surfaces A-Physicochemical and Engineering ASPE**, v. 498, p.112-120, 2016. (7059) -Fator de Impacto em: 2015 2,76
104. OCA-ÁVALOS, J. M. M.; HUCK-IRIART, C.; CANDAL, R. J.; HERRERA, M. L. Sodium caseinate/sunflower oil emulsion-based gels for structuring food. **Food and Bioprocess Technology**, v. 9, n. 6, p. 981-992, 2016. (7061) -Fator de Impacto em: 2015 2,574



105. HERNÁNDEZ-MONTELONGO, J.; LUCCHESI, E. G.; GONZALEZ, I.; MACEDO, W. A. A.; NASCIMENTO, V. F.; MORAES, A. M.; BEPPU, M. M.; COTTA, M. A. Hyaluronan/chitosan nanofilms assembled layer-by-layer and their antibacterial effect: A study using *Staphylococcus aureus* and *Pseudomonas aeruginosa*. **Colloids and Surfaces B-Biointerfaces**, v. 141, p. 499-506, 2016. (7082) -Fator de Impacto em: 2015 3,902
106. ARRUDA, M. S.; MEDINA, A.; SOUSA, J. N.; MENDES, L. A. V.; MARINHO, R. R. T.; PRUDENTE, F. V. Communication: Protonation process of formic acid from the ionization and fragmentation of dimers induced by synchrotron radiation in the valence region. **Journal of Chemical Physics**, v. 144, n. 14, p. 141101, 2016. (7088) -Fator de Impacto em: 2015 2,894
107. ESCOBAR, C. C.; LANSARIN, M. A.; SANTOS, J. H. Z. DOS Synthesis of molecularly imprinted photocatalysts containing low TiO<sub>2</sub> loading: evaluation for the degradation of pharmaceuticals. **Journal of Hazardous Materials**, v. 306, p. 359-366, 2016. (7089) -Fator de Impacto em: 2015 4,836
108. GENTIL, R.; VILLULLAS, H. M. Oxygen reduction activity and methanol tolerance of carbon-supported PtV nanoparticles and the effects of heat treatment at low temperatures. **Journal of Solid State Electrochemistry**, v. 20, n. 4, p.1119-1129, 2016. (7090) -Fator de Impacto em: 2015 2,327
109. GONZÁLEZ-HENRÍQUEZ, C. M.; PIZARRO- GUERRA, G.; CÓRDOVA-ALARCÓN, E. N.; SARABIA-VALLEJOS, M. A. Artificial biomembranes stabilized over spin coated hydrogel scaffolds. Crosslinking agent nature induces wrinkled or flat surfaces on the hydrogel. **Chemistry and Physics of Lipids**, v. 196, p. 13-23, 2016. (7092) -Fator de Impacto em: 2015 2,901
110. CARVALHO, B. DA C.; CORBI, F. C. A.; SIGOLI, F. A.; MAZALI, I. O. Precursor dissolution temperature as a size-controller in Fe<sub>3</sub>O<sub>4</sub> submicrospheres syntheses and their effect in the catalytic degradation of Rhodamine B. **RSC Advances**, v. 6, n. 45, p. 38617-38623, 2016. (7094) -Fator de Impacto em: 2015 3,289
111. MOTTIN, M.; AYRES, E.; ORÉFICE, R. L.; CÂMARA, J. J. D. What changes in poly(3-hydroxybutyrate) (PHB) when processed as electrospun nanofibers or thermo-compression molded film? **Materials Research-Ibero-American Journal of Materials**, v. 19, n. 1, p. 57-66, 2016. (7095) -Fator de Impacto em: 2015 0,788
112. PICCO, A. S.; YAMEEN, B.; KNOLL, W.; CEOLÍN, M. R.; AZZARONI, O. Temperature-driven self-assembly of self-limiting uniform supraparticles from non-uniform unimolecular micelles. **Journal of Colloid and Interface Science**, v. 471, p. 71-75, 2016. (7097) -Fator de Impacto em: 2015 3,782
113. ANDRINI, L. R.; GAUNA, M. R.; CONCONI, M. S.; SUAREZ, G.; REQUEJO, F. G.; AGLIETTI, E. F. Extended and local structural description of a kaolinitic clay, its fired ceramics and intermediates: an XRD and XANES analysis. **Applied Clay Science**, v. 124, p. 39-45, 2016. (7098) -Fator de Impacto em: 2015 2,586
114. ALMEIDA, A. C.; OSTERNE, V. J. S.; SANTIAGO, M. Q.; PINTO-JR., V. R.; SILVA FILHO, J. C.; LOSSIO, C. F.; NASCIMENTO, F. L. F.; ALMEIDA, R. P. H.; TEIXEIRA, C. S.; LEAL, R. B.; DELATORRE, P.; ROCHA, B. A. M.; ASSREUY, A. M. S.; NASCIMENTO, K. S.; CAVADA, B. S. Structural analysis of *Centrolobium tomentosum* seed lectin with inflammatory activity. **Archives of Biochemistry and Biophysics**, v. 596, p. 73-83, 2016. (7099) -Fator de Impacto em: 2015 2,807

115. SALAZAR, M. J.; RODRIGUEZ, J. H.; VERGARA CID, C.; PIGNATA, M. L. Auxin effects on Pb phytoextraction from polluted soils by *Tegetes minuta L.* and *Bidens pilosa L.*: extractive power of their root exudates. **Journal of Hazardous Materials**, v. 311, p. 63-69, 2016. (7102) -Fator de Impacto em: 2015 4,836
116. SILVA, L. F.; LOPES, O. F.; MENDONÇA, V. R.; CARVALHO, K. T. G.; LONGO, E.; RIBEIRO, C.; MASTELARO, V. R. an understanding of the photocatalytic properties and pollutant degradation mechanism of SrTiO<sub>3</sub> nanoparticles. **Photochemistry and Photobiology**, v. 92, n. 3, p. 371-378, 2016. (7159) -Fator de Impacto em: 2015 2,008
117. OSHIRO JR., J. A.; MORTARI, G. R.; FREITAS, R. M.; MARCANTONIO JR., E.; LOPES, L.; SPOLIDORIO, L. C.; MARCANTONIO, R. A.; CHIAVACCI, L. A. Assessment of biocompatibility of ureasil-polyether hybrid membranes for future use in implantodontology. **International Journal of Polymeric Materials and Polymeric B**, v. 65, n. 13, p. 647-652, 2016. (7160) -Fator de Impacto em: 2015 1,667
118. REZENDE, M. V. DOS S.; SANTOS, D. J.; JACKSON, R. A.; VALERIO, M. E. G.; MACEDO, Z. S. Atomistic simulation and XAS investigation of Mn induced defects in Bi<sub>12</sub>TiO<sub>20</sub>. **Journal of Solid State Chemistry**, v. 238, p. 210-216, 2016. (7162) -Fator de Impacto em: 2015 2,265
119. GHIVELDER, L.; ESLAVA, G. R. G.; FREITAS, R. S.; LEVYA, G.; PARISI, F. Avalanche-like metamagnetic transition in (LaNd)CaMnO manganites. **Journal of Alloys and Compounds**, v. 680, p. 494-499, 2016. (7163) -Fator de Impacto em: 2015 3,014
120. COUTRIM, L. T.; BITTAR, E. M.; STAVALE, F.; GARCIA, F.; BAGGIO-SAITOVICH, E.; ABBATE, M.; MOSSANEK, R. J. O.; MARTINS, H. P.; TOBIA, D.; PAGLIUSO, P. G.; BUFAIÇAL, L.F. S. Compensation temperatures and exchange bias in La<sub>1.5</sub>Ca<sub>0.5</sub>CoIrO<sub>6</sub>. **Physical Review B**, v. 97, n. 12, p. 174406, 2016. (7165) -Fator de Impacto em: 2015 3,718
121. CORREA, C. M.; BIZETO, M. A.; CAMILO, F. F. Direct synthesis of silver nanoparticles in ionic liquid. **Journal of Nanoparticle Research**, v. 18, n. 5, p. 132-142, 2016. (7166) -Fator de Impacto em: 2015 2,101
122. BETANCOURT, A. M.; BAVA, Y.B.; ERBEN, M. F.; CAVASSO-FILHO, R. L.; TONG, S.; GE, M.; VÉDOVA, C. O. D.; ROMANO, R. M. Electronic properties and photofragmentation mechanisms of pyrosulfuryl chloride, ClSO<sub>2</sub>OSO<sub>2</sub>Cl. **Journal of Photochemistry and Photobiology A-Chemistry**, v. 324, p. 184-191, 2016. (7168) -Fator de Impacto em: 2015 2,477
123. SILVA, W. L.; LANSARIN, M. A.; SANTOS, J. H. Z. DOS. Industrial and agroindustrial wastes: an echotechnological approach to the production of supported photocatalysts. **Water Science & Technology**, v. 73, n. 1, p. 26-38, 2016. (7169) -Fator de Impacto em: 2015 1,064
124. BLANCO, A.; SALAZAR, M. J.; CID, C. V.; PEREYRA, C.; CAVAGLIERI, L. R.; BECERRA, A. G.; PIGNATA, M. L.; RODRIGUEZ, J. H. Multidisciplinary study of chemical and biological factors related to Pb accumulation in sorghum crops grown in contaminated soils and their toxicological implications. **Journal of Geochemical Exploration**, v. 166, p. 18-26, 2016. (7170) -Fator de Impacto em: 2015 2,147
125. BAKAR, S. A.; RIBEIRO, C. Rapid and morphology controlled synthesis of anionic S-doped TiO<sub>2</sub> photocatalysts for the visible-light-driven photodegradation of organic pollutants. **RSC Advances**, v.6, n. 46, p. 36516-36527, 2016. (7171) -Fator de Impacto em: 2015 3,289

126. ABU BAKAR, S.; RIBEIRO, C. Low temperature synthesis of N-doped TiO<sub>2</sub> with rice-like morphology through peroxo assisted hydrothermal route: materials characterization and photocatalytic properties. **Applied Surface Science**, v. 377, p. 121-133, 2016. (7216) -Fator de Impacto em: 2015 3,15
127. BATISTA, F. A. H.; SERAPHIM, T. V.; SANTOS, C. A.; GONZAGA, M. R.; BARBOSA, L. R. S.; RAMOS, C. H. I.; BORGES, J. C. Low sequence identity but high structural and functional conservation: the case of Hsp70/Hsp90 organizing protein (Hop/Sti1) of *Leishmania braziliensis*. **Archives of Biochemistry and Biophysics**, v. 600, p. 12-22, 2016. (7217) -Fator de Impacto em: 2015 2,807
128. MARTINS, A. J.; CERQUEIRA, M. A.; FASOLIN, L. H.; CUNHA, R. L.; VICENTE, A. A. Beeswax organogels: influence of gelator concentration and oil type in the gelation process. **Food Research International**, v. 84, p. 170-179, 2016. (7221) -Fator de Impacto em: 2015 3,182
129. BELMONTE, G. K.; CHARLES, G.; STRUMIA, M. C.; WEIBEL, D. E. Permanent hydrophilic modification of polypropylene and poly(vinyl alcohol) films by vacuum ultraviolet radiation. **Applied Surface Science**, v. 382, p. 93-100, 2016. (7222) -Fator de Impacto em: 2015 3,15
130. SOUZA, J. S.; PINHEIRO, M. V. B.; KRAMBROCK, K.; ALVES, W. A. Dye degradation mechanisms using nitrogen doped and copper(ii) phthalocyanine tetracarboxylate sensitized titanate and TiO<sub>2</sub> nanotubes. **Journal of Physical Chemistry C**, v. 120, n. 21, p. 11561-11571, 2016. (7224) -Fator de Impacto em: 2015 4,509
131. LANZA, J. S.; FERNANDES, F. R.; CORREA JR., J. D.; VILELA, J. M. C.; PANIAGO, R.M.; FERREIRA, L. A. M.; ANDRADE, M. C.; DEMICHELI, C.; MELO, M. N.; FRÉZARD, F. Polarity-sensitive nanocarrier for oral delivery of Sb(V) and treatment of cutaneous leishmaniasis. **International Journal of Nanomedicine**, v. 11, p. 2305-2318, 2016. (7226) -Fator de Impacto em: 2015 4,32
132. ANJANEYULU, C.; COSTA, L. O. O.; RIBEIRO, M. C. C.; RABELO NETO, R. C.; MATTOS, L. V.; VENUGOPAL, A.; NORONHA, F. B. Effect of Zn addition on the performance of Ni/Al<sub>2</sub>O<sub>3</sub> catalyst for steam reforming of ethanol. **Applied Catalysis A**, v. 519, p. 85-98, 2016. (7228) -Fator de Impacto em: 2015 4,012
133. PRIETO, M. J.; CARBONIO, E. A.; LANDERS, R.; SIERVO, A. DE. Promotion effect of platinum on gold's reactivity: a high-resolution photoelectron spectroscopy study. **Journal of Physical Chemistry C**, v. 120, n. 19, p. 10227-10236, 2016. (7230) -Fator de Impacto em: 2015 4,509
134. COPPOLA, P.; SILVA, F. G.; GOMIDE, G.; PAULA, F. L. O.; CAMPOS, A. F. C.; PERZYNSKI, R.; KERN, C.; DEPEYROT, J.; AQUINO, R. Hydrothermal synthesis of mixed zinc-cobalt ferrite nanoparticles: structural and magnetic properties. **Journal of Nanoparticle Research**, v. 18, n. 5, p. 138-153, 2016. (7233) -Fator de Impacto em: 2015 2,101
135. CALIARI, F. R.; CANDIOTO, K. C. G.; COUTO, A. A.; NUNES, C. A.; REIS, D. A. P. Effect of double aging heat treatment on the short-term creep behavior of the inconel 718. **Journal of Materials Engineering and Performance**, v. 25, n. 6, p. 2307-2317, 2016. (7234) -Fator de Impacto em: 2015 1,094
136. VALES, S.; BRITO, P.; PINEDA, F. A. G.; OCHOA BECERRA, E. A.; DROPPA JR., R.; GARCIA, J.; MORALES, M.; ALVAREZ, F.; PINTO, H. Influence of substrate pre-treatments by Xe<sup>+</sup> ion bombardment and plasma nitriding on the behavior of TiN coatings deposited by plasma reactive sputtering on 100Cr6 steel. **Materials Chemistry and Physics**, v. 177, p. 156-163, 2016. (7235) -Fator de Impacto em: 2015 2,101

137. BÜRGI, J. M.; GARCÍA MOLLEJA, J.; BOLMARO, R. E.; PICCOLI, M.; BEMPORAD, E.; CRAIEVICH, A. F.; FEUGEAS, J. N. (10(1)over-bar1) preferential orientation of polycrystalline AlN grown on SiO<sub>2</sub>/Si wafers by reactive sputter magnetron technique. **European Physical Journal-Applied Physics**, v. 74, n. 1, p. 10301, 2016. (7239) -Fator de Impacto em: 2015 0,667
138. KOWALSKA, J. K.; HAHN, A. W.; ALBERTS, A.; SCHIEWER, C. E.; BJORNSSON, R.; LIMA, F. A.; MEYER, F.; DEBEER, S. X-ray absorption and emission spectroscopic studies of [L<sub>2</sub>Fe<sub>2</sub>S<sub>2</sub>](n) model complexes: implications for the experimental evaluation of redox states in iron-sulfur clusters. **Inorganic Chemistry**, v. 55, n. 9, p. 4485-4497, 2016. (7240) -Fator de Impacto em: 2015 4,82
139. RUBIO, W. M.; MACIAS, M. A.; SANDOVAL, M. V.; MARTINEZ, N. G.; VÁZQUEZ-CUADRIELLO, S.; SUESCUN, L.; ROUSSEL, P.; SWIERCZEK, K.; GAUTHIER, G. H. Synthesis and preliminary study of La<sub>4</sub>BaCu<sub>5</sub>O<sub>13</sub>+ (delta) and La<sub>6.4</sub>Sr<sub>1.6</sub>Cu<sub>8</sub>O<sub>20</sub> (+/-) (delta) ordered Perovskites as SOFC/PCFC electrode materials. **Solid State Ionics**, v. 288, p. 68-75, 2016. (7242) -Fator de Impacto em: 2015 2,38
140. KNITTEL, L. L.; SCHUCK, P.; ACKERSON, C. J.; SOUSA, A. A. Zwitterionic glutathione monoethyl ester as a new capping ligand for ultrasmall gold nanoparticles. **RSC Advances**, v. 6, n. 52, p. 46350-46355, 2016. (7246) -Fator de Impacto em: 2015 3,289
141. WURZLER, G.; RABELO NETO, R. C.; MATTOS, L. V.; FRAGA, M. A.; NORONHA, F. B. Steam reforming of ethanol for hydrogen production over MgO-supported Ni-based catalysts. **Applied Catalysis A**, v. 518, p. 115-128, 2016. (7248) -Fator de Impacto em: 2015 4,012
142. SENA, G.; NOGUEIRA, L. P.; BRAZ, D.; ALMEIDA, A. P.; GONZALEZ, M. S.; AZAMBUJA, P.; COLAÇO, M. V.; BARROSO, R. C. Ecdysis period of *Rhodnius prolixus* head investigated using phase contrast synchrotron microtomography. **Physica Medica-European Journal of Medical Physics**, v. 32, n. 6, p. 812-817, 2016. (7249) -Fator de Impacto em: 2015 1,763
143. KWON, S. G.; CHATTOPADHYAY, S.; KOO, B.; CLARO, P. C. DOS S.; SHIBATA, T.; REQUEJO, F. G.; GIOVANETTI, L. J.; LIU, Y.; JOHNSON, C.; PRAKAPENKA, V.; LEE, B.; SHEVCHENKO, E. V. Oxidation induced doping of nanoparticles revealed by in situ X-ray absorption studies. **Nano Letters**, v. 16, n. 6, p. 3738-3747, 2016. (7250) -Fator de Impacto em: 2015 13,779
144. PAULI, M.; ZSCHIESCHANG, U.; KLAUK, H.; BARCELOS, I. D.; MALACHIAS, A. Tailoring the dielectric layer structure for enhanced carrier mobility in organic transistors: the use of hybrid inorganic/organic multilayer dielectrics. **Advanced Electronic Materials**, v. 16, n. 5, p. 1500402, 2016. (7274) -Fator de Impacto em: 2015 0
145. MATOS, C. R. S.; CANDIDO, L. P. M.; SOUZA JR., H. O.; COSTA, L. P. DA; SUSSUCHI, E. M.; GIMENEZ, I. F. Study of the aqueous synthesis, optical and electrochemical characterization of alloyed Zn<sub>x</sub>Cd<sub>1-x</sub>Te nanocrystals. **Materials Chemistry and Physics**, v. 178, p. 104-111, 2016. (7275) -Fator de Impacto em: 2015 2,101
146. MONTEIRO, L. O. F.; LOPES, S. C. DE A.; BARROS, A. L. B.; MAGALHÃES-PANIAGO, R.; MALACHIAS, A.; OLIVEIRA, M. C.; LEITE, E. A. Phase behavior of dioleoylphosphatidylethanolamine molecules in the presence of components of pH-sensitive liposomes and paclitaxel. **Colloids and Surfaces B-Biointerfaces**, v. 144, p. 276-2836, 2016. (7277) -Fator de Impacto em: 2015 3,902
147. MIZRAHI, M.; GILARDONI, R. S.; PEINETTI, A. S.; REQUEJO, F. G.; GONZÁLEZ, G. A.; BATTAGLINI, F. Numerical simulation of the diffusion processes in nanoelectrode arrays using an axial

- neighbor symmetry approximation. **Analytical Chemistry**, v. 88, n. 11, p. 5752-5759, 2016. (7279) -Fator de Impacto em: 2015 5,886
148. MACHADO, C. P. G.; SARTORETTO, S. C.; ALVES, A. T. N. N.; LIMA, I. B. C.; ROSSI, A. M.; GRANJEIRO, J. M.; CALASANS-MAIA, M. D. Histomorphometric evaluation of strontium-containing nanostructured hydroxyapatite as bone substitute in sheep. **Brazilian Oral Research**, v. 30, n. 1, p. 1-11, 2016. (7281) -Fator de Impacto em: 2015 0,859
149. MACHADO, K. D.; SIQUEIRA, M. C.; SERBENA, J. P. M.; HUMMELGENT, I. A.; STOLF, S. F.; AZEVEDO, C. G. G. DE; SILVA, J. H. D. DA Electronic and optical properties of amorphous GaSe thin films. **Journal of Materials Science-Materials in Electronics**, v. 27, n. 27, p. 7379-7383, 2016. (7283) -Fator de Impacto em: 2015 1,798
150. SALAZAR, M. J.; CID, C. V.; RODRIGUEZ, J. H.; BLANCO, A.; PIGNATA, M. L. Effects of co-cropping *Bidens pilosa* (L.) and *Tagetes minuta* (L.) on bioaccumulation of Pb in *Lactuca sativa* (L.) growing in polluted agricultural soils. **International Journal of Phytoremediation**, v. 18, n. 9, p. 908-917, 2016. (7284) -Fator de Impacto em: 2015 2,085
151. BONTEMPO, L.; SANTOS FILHO, S. G.; KASSAB, L. R. P. Conduction and reversible memory phenomena in Au-nanoparticles-incorporated TeO<sub>2</sub>-ZnO films. **Thin Solid Films**, v. 611, p. 21-26, 2016. (7285) -Fator de Impacto em: 2015 1,761
152. BREGUEZ, G. S.; NEVES, L. X.; SILVA, K. T.S.; FREITAS, L. M. A. DE; FARIA, G. O.; ISOLDI, M. C.; CASTRO-BORGES, W.; ANDRADE, M. H. G. Exposure of cultured fibroblasts to the peptide PR-11 for the identification of induced proteome alterations and discovery of novel potential ligands. **Biochimica et Biophysica Acta. Proteins and Proteomics**, v. 1864, n. 12, p. 1775- 1786, 2016. (7297) -Fator de Impacto em: 2015 3,016
153. MOURA, K. O.; OLIVEIRA, L. A. S.; ROSA, P. F. S.; JESUS, C. B. R.; SALETA, M. E.; GRANADO, E.; BÉRON, F.; PAGLIUSO, P. G.; PIROTA, K. R. Dimensionality tuning of the electronic structure in Fe<sub>3</sub>Ga<sub>4</sub> magnetic materials. **Scientific Reports**, v.6, p. 28364, 2016. (7332) -Fator de Impacto em: 2015 5,228
154. CURCIO, A. L.; BERNARDI, M. I. B.; MESQUITA, A. Local structure and photoluminescence properties of nanostructured Zn<sub>1-x</sub>Mn<sub>x</sub>S material. **Physica Status Solidi C**, v. 12, n. 12, p. 1367-1371, 2015. (7334) -Fator de Impacto em: 2015 0
155. DA SILVA, L. F.; CATTO, A. C.; AVANSI JR., W.; CAVALCANTE, L. S.; MASTELARO, V. R.; ANDRÉS, J.; AGUIR, K.; LONGO, E. Acetone gas sensor based on alpha-Ag<sub>2</sub>WO<sub>4</sub> nanorods obtained via a microwave-assisted hydrothermal route. **Journal of Alloys and Compounds**, v. 683, p. 186-190, 2016. (7346) -Fator de Impacto em: 2015 3,014
156. MATHER, G. C.; HERAS-JUARISTI, G.; RITTER, C.; FUENTES, R. O.; CHINELATTO, A. L.; PÉREZ-COLL, D.; AMADOR, U. Phase transitions, chemical expansion, and deuteron sites in the BaZr<sub>0.7</sub>Ce<sub>0.2</sub>Y<sub>0.1</sub>O<sub>3-Δ</sub> proton conductor. **Chemistry of Materials**, v. 28, n. 12, p. 4292-4299, 2016. (7353) -Fator de Impacto em: 2015 9,407
157. LOPES, G.; FERREIRA, P. A. A.; PEREIRA, F. G.; CURI, N.; RANGEL, W. M.; GUILHERME, L. R. G. Beneficial use of industrial by-products for phytoremediation of an arsenic-rich soil from a gold mining area. **International Journal of Phytoremediation**, v. 18, n. 8, p. 777-784, 2016. (7356) -Fator de Impacto em: 2015 2,085

158. SONEGO, J. M.; SANTAGAPITA, P. R.; PERULLINI, M.; JOBBÁGY, M. Ca(II) and Ce(III) homogeneous alginate hydrogels from the parent alginic acid precursor: a structural study. **Dalton Transactions**, v. 45, n. 24, p. 10050-10057, 2016. (7357) -Fator de Impacto em: 2015 4,177
159. SIQUEIRA JR., J. R.; GABRIEL, R. C.; GASPAROTTO, L. H. S. Layer-by-layer assembly of poly(vinylpyrrolidone)-embedded gold nanoparticles with carbon nanotubes for glycerol electro-oxidation. **Journal of Materials Science**, v. 51, n.18, p. 8323-8330, 2016. (7359) -Fator de Impacto em: 2015 2,302
160. SUZANA, A. F.; FERREIRA, E. A.; BENEDETTI, A. V.; CARVALHO, H. W. P.; SANTILLI, C. V.; PULCINELLI, S. H. Corrosion protection of chromium-coated steel by hybrid sol-gel coatings. **Surface & Coatings Technology**, v. 299, p. 71-80, 2016. (7362) -Fator de Impacto em: 2015 2,139
161. OESTREICHER, V.; PERULLINI, M.; JOBBÁGY, M. Physicochemical aspects of epoxide driven nano-ZrO<sub>2</sub> hydrogel formation: milder kinetics for better properties. **Dalton Transactions**, v. 45, n. 24, p. 9920-9924, 2016. (7365) -Fator de Impacto em: 2015 4,177
162. MESQUITA, A.; MICHALOWICZ, A.; MOSCOVICI, J.; PIZANI, P. S.; MASTELARO, V. R. Relationship between ferroelectric properties and local structure of Pb<sub>1-x</sub>BaxZr<sub>0.40</sub>Ti<sub>0.60</sub>O<sub>3</sub> ceramic materials studied by X-ray absorption and Raman spectroscopies. **Journal of Solid State Chemistry**, v. 240, p. 16-22, 2016. (7367) -Fator de Impacto em: 2015 2,265
163. BRAGA, A. H.; SANTOS, J. B. O.; MARQUES, C. M. P.; BUENO, J. M. C. Steam reforming of acetone over Ni- and Co-based catalysts: effect of the composition of reactants and catalysts on reaction pathways. **Applied Catalysis B-Environmental**, v. 195, p. 16-28, 2016. (7368) -Fator de Impacto em: 2015 8,327
164. MARINHO, A. L. A.; RABELO NETO, R. C.; NORONHA, F. B.; MATTOS, L. V. Steam reforming of ethanol over Ni-based catalysts obtained from LaNiO<sub>3</sub> and LaNiO<sub>3</sub>/CeSiO<sub>2</sub> Perovskite-type oxides for the production of hydrogen. **Applied Catalysis A**, v. 520, p. 53-64, 2016. (7371) -Fator de Impacto em: 2015 4,012
165. BARROS, A. C.; TAKEDA, A. A. S.; DREYER, T. R.; VELAZQUEZ- CAMPOY, A.; KOBE, B.; FONTES, M. R. M. Structural and calorimetric studies demonstrate that *Xeroderma Pigmentosum* type G (XPG) can be imported to the nucleus by a classical nuclear import pathway via a monopartite NLS sequence. **Journal of Molecular Biology**, v. 428, n. 10, p. 2120-2131, 2016. (7372) -Fator de Impacto em: 2015 4,517
166. ANDRINI, L. R.; ANGELOMÉ, P. C.; SOLER-ILLIA, G. J. A. A.; REQUEJO, F. G. Understanding the Zr and Si interdispersion in Zr<sub>1-x</sub>Si<sub>x</sub>O<sub>2</sub> mesoporous thin films by using FTIR and XANES spectroscopy. **Dalton Transactions**, v. 45, n. 24, p. 9977-9987, 2016. (7374) -Fator de Impacto em: 2015 4,177
167. SALAZAR, M. J.; RODRIGUEZ, J. H.; CID, C. V.; BERNARDELLI, C. E.; DONATI, E. R.; PIGNATA, M. L. Soil variables that determine lead accumulation in *Bidens pilosa* L. and *Tagetes minuta* L. growing in polluted soils. **Geoderma**, v. 279, p. 97-108, 2016. (7377) -Fator de Impacto em: 2015 2,855
168. FUENTES, R. O.; ACUÑA, L. M.; ALBORNOZ, C. A.; LEYVA, A. G.; SOUSA, N.; FIGUEIREDO, F. M. Structural, physical and chemical properties of nanostructured nickel-substituted ceria

- oxides under reducing and oxidizing conditions. **RSC Advances**, v. 6, n. 69, p. 64861, 2016. (7378) -Fator de Impacto em: 2015 3,289
169. SILVA, C. C.; AFONSO, C. R. M.; RAMIREZ, A. J.; MOTTA, M. F.; MIRANDA, H. C.; FARIAS, J. P. Assessment of microstructure of alloy Inconel 686 dissimilar weld claddings. **Journal of Alloys and Compounds**, v. 684, p. 628-642, 2016. (7384) -Fator de Impacto em: 2015 3,01
170. SILVA, W. L.; LANSARIN, M. A.; SANTOS, J. H. Z. DOS; ROCHA, Z. N.; PEPE, I. M. Electrochemical and catalytic studies of a supported photocatalyst produced from petrochemical residue in the photocatalytic degradation of dexamethasone and guaifenesin drugs. **Water Air Soil Pollut**, v. 227, n. 7, p. 242, 2016. (7386) -Fator de Impacto em: 2015 1,551
171. SALVADORI, M. C.; ANDO, R. A.; MURACA, D.; KNOBEL, M.; NASCIMENTO, C. A. O.; CORRÊA, B. Magnetic nanoparticles of Ni/NiO nanostructured in film form synthesized by dead organic matrix of yeast. **RSC Advances**, v. 6, n. 65, p. 60683-60696, 2016. (7387) -Fator de Impacto em: 2015 3,289
172. ABU BAKAR, S.; RIBEIRO, C. A comparative run for visible-light-driven photocatalytic activity of anionic and cationic S-doped TiO<sub>2</sub> photocatalysts: a case study of possible sulfur doping through chemical protocol. **Journal of Molecular Catalysis A**, v. 421, p. 1-15, 2016. (7389) -Fator de Impacto em: 2015 3,958
173. PASSOS, A. R.; PULCINELLI, S. H.; BRIOIS, V.; SANTILLI, C. V. High surface area hierarchical porous Al<sub>2</sub>O<sub>3</sub> prepared by the integration of sol-gel transition and phase separation. **RSC Advances**, v. 6, n. 62, p. S7217-S7226, 2016. (7390) -Fator de Impacto em: 2015 3,289
174. FERREIRA, F. A. S.; BATTIROLA, L. C.; LEWICKI, J. P.; WORSLEY, M. A.; PEREIRA-DA-SILVA, M. A.; AMARAL, T.; LEPIENSKI, C. M.; RODRIGUES-FILHO, U. P Influence of thermal treatment time on structural and physical properties of polyimide films at beginning of carbonization. **Polymer Degradation and Stability**, v. 129, p. 399-407, 2016. (7391) -Fator de Impacto em: 2015 3,12
175. ARRUDA, M. S.; MEDINA, A.; SOUSA, J. N.; MENDES, L. A. V.; MARINHO, R. R. T.; PRUDENTE, F. V. Ionization and fragmentation of DCOOD induced by synchrotron radiation at the oxygen 1s edge: the role of dimer formation. **Journal of Physical Chemistry A**, v. 120, n. 27, p. 5325-5336, 2016. (7394) -Fator de Impacto em: 2015 2,883
176. GONÇALVES, K. M.; JUNIOR, I. I.; PAPADIMITRIOU, V.; ZOUMPANIOTI, M.; LEAL, I. C. R.; SOUZA, R. O. M. A.; CORDEIRO, Y.; XENAKIS, A. Nanoencapsulated lecithase ultra and thermomyces lanuginosus lipase, a comparative structural study. **Langmuir**, v. 32, n. 26, p. 6746-6756, 2016. (7397) -Fator de Impacto em: 2015 3,993
177. BRAGA, F. V.; ESCOBAR, D. P.; REIS, T. J. A.; OLIVEIRA, N. J. L.; ANDRADE, M. S. Recrystallization of niobium stabilized ferritic stainless steel during hot rolling simulation by torsion tests. **Journal of Materials Research and Technology-JMR&T**, v. 5, n. 1, p. 92-99, 2016. (7399) -Fator de Impacto em: 2015 0
178. STEWART, N. A.; MOLINA, G. F.; ISSA, J. P. M.; YATES, N. A.; SOSOVICKA, M.; VIEIRA, A. R.; LINE, S. R. P.; MONTGOMERY, J.; GERLACH, R. F. The identification of peptides by nanoLC-MS/MS from human surface tooth enamel following a simple acid etch extraction. **RSC Advances**, v. 6, n. 66, p. 61673-61679, 2016. (7401) -Fator de Impacto em: 2015 3,289
179. FITARONI, L. B.; LIMA, J. A. DE; CRUZ, S. A.; WALDMAN, W. R. Effect of compatibilizer and Irganox MD 1024 on the thermo-oxidative stability of PP/PP-g-MA/OMMT

- nanocomposites. **Polymer Testing**, v. 53, p. 165-173, 2016. (7415) -Fator de Impacto em: 2015 2,35
180. SAHOO, P. K.; JANISSEN, R.; MONTEIRO, M. P.; CAVALLI, A.; MURILLO, D. M.; MERFA, M. V.; CESAR, C. L.; CARVALHO, H. F.; SOUZA, A. A.; BAKKERS, E. P. A. M.; COTTA, M. A. Nanowire arrays as cell force sensors to investigate adhesion-enhanced holdfast of single cell bacteria and biofilm stability. **Nano Letters**, v. 16, n. 7, p. 4656-4664, 2016. (7416) -Fator de Impacto em: 2015 13,779
181. LI, H.; ARCINIEGAS, M. P.; DI STASIO, F.; ALTAMURA, D.; DE TRIZIO, L.; PRATO, M.; SCARPELLINI, A.; MOREELS, I.; KRAHNE, R.; MANNA, L. Self-assembled dense colloidal Cu<sub>2</sub>Te nanodisk networks in p3ht thin films with enhanced photocurrent. **Advanced Functional Materials**, v. 26, n. 25, p. 4535-4542, 2016. (7417) -Fator de Impacto em: 2015 11,382
182. RAUSCH, E.; CASTEGNARO, M. V.; BERNARDI, F.; ALVES, M. C. M.; MORAIS, J. DE; BALKE, B. Short and long range order of half-Heusler phases in (Ti,Zr,Hf)CoSb thermoelectric compounds. **Acta Materialia**, v. 115, p. 308-315, 2016. (7418) -Fator de Impacto em: 2015 5,058
183. YONEDA, J. S.; SCANAVACHI, G.; SEBINELLI, H. G.; BARBOSA, L. R. S.; CIANCAGLINI, P.; ITRI, R. Multimeric species in equilibrium in detergent-solubilized Na,K-ATPase. **International Journal of Biological Macromolecules**, v. 89, p. 238-245, 2016. (7442) -Fator de Impacto em: 2015 3,138
184. ROJAS AYALA, CH.; PASSAMANI, E. C.; SOUSA, M. A.; LITTERST, F. J.; BAGGIO-SAITOVICH, E. The role of Fe-doping on structural and magnetic properties of Fe nanoclusters in thick Yb films. **Journal of Magnetism and Magnetic Materials**, v. 417, p. 175-181, 2016. (7471) -Fator de Impacto em: 2015 2,357
185. ROSSETO, F. R.; MANZINE, L. R.; OLIVEIRA NETO, M.; POLIKARPOV, I. Biophysical and biochemical studies of a major endoglucanase secreted by *Xanthomonas campestris* pv. *campestris*. **Enzyme and Microbial Technology**, v. 91, p. 1-7, 2016. (7477) -Fator de Impacto em: 2015 2,624
186. COSTA E SILVA, D. L.; KASSAB, L. R. P.; MARTINELLI, J. R.; SANTOS, A. D.; RIBEIRO, S. J. L.; SANTOS, M. V. Characterization of thin carbon films produced by the magnetron sputtering technique. **Materials Research-Ibero-American Journal of Materials**, v. 19, n. 3, p. 669-672, 2016. (7479) -Fator de Impacto em: 2015 0,788
187. RIBEIRO, H. B.; VILLEGAS, C. E. P.; BAHAMON, D. A.; MURACA, D.; CASTRO NETO, A. H.; SOUZA, E. A. T.; ROCHA, A. R.; PIMENTA, M. A.; DE MATOS, C. J. S. Edge phonons in black phosphorus. **Nature Communications**, v. 7, p. 12191, 2016. (7483) -Fator de Impacto em: 2015 11,329
188. CARVALHO, A. L. M. DE; SILVA, J. A.; LIRA, A. A. M.; CONCEIÇÃO, T. M.F.; NUNES, R. S.; ALBUQUERQUE, R. L. C. DE; SARMENTO, V. H. V.; LEAL, L. B.; SANTANA, D. P. Evaluation of microemulsion and lamellar liquid crystalline systems for transdermal zidovudine delivery. **Journal of Pharmaceutical Sciences**, v. 105, n. 7, p. 2188-2193, 2016. (7485) -Fator de Impacto em: 2015 2,641
189. IWAMOTO, W. A.; ARRUDA, E. P. Leeches of the genus *Helobdella* (Clitellata: Hirudinida) from São Paulo, Brazil with descriptions of two new species using micro-computed tomography and a new record of *Barbronia weberi* (Blanchard 1897). **Zootaxa**, v. 4144, n. 3, p. 411-129, 2016. (7486) -Fator de Impacto em: 2015 0,994



190. RICHENA, M.; REZENDE, C. A. Morphological degradation of human hair cuticle due to simulated sunlight irradiation and washing. **Journal of Photochemistry and Photobiology B-Biology**, v. 161, p. 430-440, 2016. (7488) -Fator de Impacto em: 2015 3,035
191. MARSOLA, J. C. A.; BATEZELLI, A.; MONTEFELTRO, F. C.; GRELLET- TINNER, G.; LANGER, M. C. Palaeoenvironmental characterization of a crocodilian nesting site from the late cretaceous of Brazil and the evolution of crocodyliform nesting strategies. **Palaeogeography Palaeoclimatology Palaeoecology**, v. 457, p. 221-232, 2016. (7489) -Fator de Impacto em: 2015 2,525
192. RAMOS, S. J.; DINALI, G. S.; CARVALHO, T. S DE; CHAVES, L. C.; SIQUEIRA, J. O.; GUILHERME, L. R. G. Rare earth elements in raw materials and products of the phosphate fertilizer industry in South America: content, signature, and crystalline phases. **Journal of Geochemical Exploration**, v. 168, p. 177-186, 2016. (7492) -Fator de Impacto em: 2015 2,147
193. NUNES, K. M.; TEIXEIRA, C. C. C.; KAMINSKI, R. C. K.; SARMENTO, V. H. V.; COUTO, R. O.; PULCINELLI, S. H.; FREITAS, O. The monoglyceride content affects the self-assembly behavior, rheological properties, syringeability, and mucoadhesion of in situ-gelling liquid crystalline phase. **Journal of Pharmaceutical Sciences**, v. 105, n. 8, p. 2355-2364, 2016. (7493) -Fator de Impacto em: 2015 2,641
194. ANDRADE, A. B.; REZENDE, M. V. DOS S.; MONTES, P. J. R.; MACEDO, Z. S.; VALERIO, M. E. G. Mechanism of X-ray excited optical luminescence (XEOL) in europium doped BaAl<sub>2</sub>O<sub>4</sub> phosphor. **Physical Chemistry Chemical Physics (PCCP)**, v. 18, n. 26, p. 17646-17654, 2016. (7495) -Fator de Impacto em: 2015 4,449
195. BORGES, B. G. A. L.; MARCHIORI, C. F. N.; GLASSER, M.; GARCÍA- BASABE, Y.; MOURA, C. E. V.; ROCHA, A. B.; ROMAN, L. S.; CHASSÉ, T.; CASU, M. B.; ROCCO, M. L. M. Electronic and structural properties in thermally annealed PSiF-DBT:PC71BM blends for organic photovoltaics. **Thin Solid Films**, v. 615, p. 165-170, 2016. (7497) -Fator de Impacto em: 2015 1,761
196. SIQUEIRA, M. C.; MACHADO, K. D.; MAIA, R. N. A.; ARAUJO, R. M. T.; SERBENA, J. P. M.; HUMMELGENT, I. A.; STOLF, S. F. EXAFS investigations on amorphous GaSe<sub>9</sub> thin films. **Journal of Non-Crystalline Solids**, v. 447, p. 233-237, 2016. (7498) -Fator de Impacto em: 2015 1,825
197. FREITAS, V. F.; DIAS, G. S.; CATELLANI, I. B.; COTICA, L. F.; SANTOS, I. A.; YOKAICHIYA, F. Highly resistive fast-sintered BiFeO<sub>3</sub> ceramics. **Integrated Ferroelectrics**, v. 174, n. 1, p. 43,49, 2016. (7499) -Fator de Impacto em: 2015 0,375
198. LIMA, J. C.; FERREIRA, A. S.; BIASI, R. S. DE Modeling the amorphous structure of mechanically alloyed amorphous Ni<sub>30</sub>Nb<sub>70</sub> using anomalous wide-angle X-ray scattering and reverse Monte Carlo simulations. **Journal of Non-Crystalline Solids**, v. 447, p. 21-28, 2016. (7500) -Fator de Impacto em: 2015 1,825
199. MATOS, C. R. S.; SOUZA JR., H. O.; CANDIDO, L. P. M.; COSTA, L. P. DA; SANTOS, F. A.; ALENCAR, M. A. R. C.; ABEGAO, L. M. G.; RODRIGUES JR., J. J.; SUSSUCHI, E. M.; GIMENEZ, I. F. Spectroscopic and electrochemical study of CdTe nanocrystals capped with thiol mixtures. **Materials Research Express**, v. 3, n. 6, p. 065008, 2016. (7503) -Fator de Impacto em: 2015 0,968
200. TARUTANI, N.; TOKUDOME, Y.; JOBBÁGY, M.; VIVA, F. A.; SOLER-ILLIA, G. J. A. A.; TAKAHASHI, M. Single-nanometer-sized low-valence metal hydroxide crystals: synthesis via epoxide-

- mediated alkalization and assembly toward functional mesoporous materials. **Chemistry of Materials**, v. 28, n. 16, p. 5606-5610, 2016. (7504) -Fator de Impacto em: 2015 9,407
201. HUSEYINOVA, S.; BLANCO, J.; REQUEJO, F. G.; RAMALLO-LÓPEZ, J. M.; BLANCO, M. C.; BUCETA, D.; LÓPEZ-QUINTELA, M. A. Synthesis of highly stable surfactant-free Cu-5 clusters in water. **Journal of Physical Chemistry C**, v. 12, n. 29, p. 15902-15908, 2016. (7505) -Fator de Impacto em: 2015 4,509
202. FRIZZO, C. P.; BENDER, C. R.; GINDRI, I. M. DE; VILLETTI, M. A.; MACHADO, G.; BIANCHI, O.; MARTINS, M. A. P. Elucidating anion effect on nanostructural organization of dicationic imidazolium-based ionic liquids15/0/. **Journal of Physical Chemistry C**, v. 120, n. 26, p. 14402-14409, 2016. (7509) -Fator de Impacto em: 2015 4,509
203. GUIMARÃES, S. L.; COITINHO, J. B.; COSTA, D. M. A.; ARAUJO, S. S.; WHITTMAN, C. P.; NAGEM, R. A. P. Crystal structures of apo and liganded 4-oxalocrotonate decarboxylase uncover a structural basis for the metal-assisted decarboxylation of a vinyllogous beta-keto acid. **Biochemistry**, v. 55, n. 18, p. 2632-2645, 2016. (7511) -Fator de Impacto em: 2015 2,876
204. MENDOZA ZÉLIS, P.; PASQUEVICH, G. A.; SALCEDO RODRÍGUEZ, K. L.; SÁNCHEZ, F. H.; RODRÍGUEZ TORRES, C. E. Surface magnetic contribution in zinc ferrite thin films studied by element- and site-specific XMCD hysteresis-loops. **Journal of Magnetism and Magnetic Materials**, v. 419, p. 98-104, 2016. (7514) -Fator de Impacto em: 2015 2,357
205. ESLAVA, G. R. G.; PARISI, F.; BERNARDO, P. L.; QUINTERO ESCOBAR, M.; LEYVA, A. G.; COHEN, L. F.; GHIVELDER, L. Coupled magnetic and elastic properties in LaPr(CaSr)MnO manganites. **Physics Letters A**, v. 380, n. 38, p. 3107-3110, 2016. (7516) -Fator de Impacto em: 2015 1,677
206. CAMPOS, A. F. P.; FERREIRA, A. R. O.; CARDOSO, D. Synthesis and properties of hybrid silicas containing Cetyltrialkylammonium surfactants. **Química Nova**, v. 39, n. 3, p. 279-285, 2016. (7517) -Fator de Impacto em: 2015 0,617
207. BOTERO, E. R.; DE AZEVEDO, D. H. M.; EIRAS, J. A.; MILTON, F. P.; GARCIA, D. U. A structural evidence of polar clusters in PLZT relaxor ceramics. **Integrated Ferroelectrics**, v. 174, n. 1, p. 50-55, 2016. (7531) -Fator de Impacto em: 2015 0,375
208. MELO JR., M. A.; MORAIS, A.; NOGUEIRA, A. F. Boosting the solar-light-driven methanol production through CO<sub>2</sub> photoreduction by loading Cu<sub>2</sub>O on TiO<sub>2</sub>-pillared K<sub>2</sub>Ti<sub>4</sub>O<sub>9</sub>. **Microporous and Mesoporous Materials**, v. 234, p. 1-11, 2016. (7536) -Fator de Impacto em: 2015 3,349
209. DELMONICO, L.; BRAVO, M.; SILVESTRE, R. T.; ORNELLAS, M. H. F.; AZEVEDO, C. M.; ALVES, G. I. Proteomic profile of saliva and plasma from women with impalpable breast lesions. **Oncology Letters**, v. 12, n.3, p. 2145-2152, 2016. (7539) -Fator de Impacto em: 2015 1,482
210. BORGES, K. A.; SANTOS, L. M.; PANIAGO, R.M.; BARBOSA NETO, N. M.; SCHNEIDER, J.; BAHNEMANN, D. W.; PATROCINIO, A. O. T.; MACHADO, A. E. H. Characterization of a highly efficient N-doped TiO<sub>2</sub> photocatalyst prepared via factorial design. **New Journal of Chemistry**, v. 40. p. 7846-7855, 2016. (7545) -Fator de Impacto em: 2015 3,277
211. ANJOS, M. M. DOS; VAZ, W. F.; CUSTÓDIO, J. M. F.; SILVEIRA, R. G.; CASTRO, A. N.; CAMPOS, C. E. M.; OLIVEIRA, G. R. DE; VALVERDE, C.; BASEIA, B.; NAPOLITANO, H. B. Synthesis,

- characterization, and third-order nonlinear optical properties of a new neolignane analogue. **RSC Advances**, v. 6, n. 82, p. 79215-79227, 2016. (7546) -Fator de Impacto em: 2015 3,289
212. ALBUQUERQUE, B. L.; DENICOURT-NOWICKI, A.; MÉRIADÉC, C.; DOMINGOS, J. B.; ROUCOUX, A. Water soluble polymer-surfactant complexes-stabilized Pd(0) nanocatalysts: characterization and structure-activity relationships in biphasic hydrogenation of alkenes and alpha, beta-unsaturated ketones. **Journal of Catalysis**, v. 340, p. 144-153, 2016. (7556) -Fator de Impacto em: 2015 7,354
213. MEIRA, D. M.; RIBEIRO, R. U.; MATHON, O.; PASCARELLI, S.; BUENO, J. M. C.; ZANCHET, D. Complex interplay of structural and surface properties of ceria on platinum supported catalyst under water gas shift reaction. **Applied Catalysis B-Environmental**, v. 197, p. 73-85, 2016. (7557) -Fator de Impacto em: 2015 8,327
214. ZHU, Z.; REZENDE, C. A.; SIMISTER, R.; MCQUEEN-MASON, S. J.; MACQUARRIE, D. J.; POLIKARPOV, I.; GOMEZ, L. D. Efficient sugar production from sugarcane bagasse by microwave assisted acid and alkali pretreatment. **Biomass and Bioenergy**, v. 93, p. 269-278, 2016. (7560) -Fator de Impacto em: 2015 3,249
215. REES, J. A.; HUGENBRUCH, S.; POLLOCK, C. J.; WANDZILAK, A.; MAGANAS, D.; WURSTER, N. I. C.; LIMA, F. A.; KOWALSKA, J. K.; FINKELSTEIN, K. D.; DEBEER, S. Experimental and theoretical correlations between vanadium K-edge X-ray absorption and K emission spectra. **Journal of Biological Inorganic Chemistry**, v. 21, n. 5-6, p. 793-805, 2016. (7561) -Fator de Impacto em: 2015 2,495
216. MACHADO, A. T.P.; SILVA, M.; IULEK, J. Expression, purification, enzymatic characterization and crystallization of glyceraldehyde-3-phosphate dehydrogenase from *Naegleria gruberi*, the first one from phylum Percolozoa. **Protein Expression and Purification**, v. 125, p. 125-130, 2016. (7563) -Fator de Impacto em: 2015 1,407
217. KHAN, L. U.; MURACA, D.; BRITO, H. F.; MOSCOSO-LONDOÑO, O.; FELINTO, M. C. F. C.; PIROTA, K. R.; TEOTÔNIO, E. E. S.; MALTA, O. L. Optical and magnetic nanocomposites containing Fe<sub>3</sub>O<sub>4</sub>@SiO<sub>2</sub> grafted with Eu<sup>3+</sup> and Tb<sup>3+</sup> complexes. **Journal of Alloys and Compounds**, v. 686, p. 453-466, 2016. (7564) -Fator de Impacto em: 2015 3,014
218. ALCANTARA, K. F.; ROCHA, A. B.; GOMES, A. H. A.; WOLFF, W.; SIGAUD, L.; SANTOS, A. C. F. Kinetic energy release of the singly and doubly charged methylene chloride molecule: the role of fast dissociation. **Journal of Physical Chemistry A**, v. 120, p. 6728-6737, 2016. (7569) -Fator de Impacto em: 2015 2,883
219. PEDROSO, C. C. S.; CARVALHO, J. M.; RODRIGUES, L. C. V.; HÖLSÄ, J.; BRITO, H. F. Rapid and energy-saving microwave-assisted solid-state synthesis of Pr<sup>3+</sup>-, Eu<sup>3+</sup>-, or Tb<sup>3+</sup>-doped Lu<sub>2</sub>O<sub>3</sub> persistent luminescence materials. **ACS Applied Materials & Interfaces**, v. 8, n. 30, p. 19593-19604, 2016. (7570) -Fator de Impacto em: 2015 7,145
220. SANTANA, HA. S.; TORTOLA, D. S.; REIS, E. M.; SILVA JR., J. L.; TARANTO, O. P. Transesterification reaction of sunflower oil and ethanol for biodiesel synthesis in microchannel reactor: Experimental and simulation studies. **Chemical Engineering Journal**, v. 302, p. 752-762, 2016. (7571) -Fator de Impacto em: 2015 5,31
221. MAESTER, T.C.-V.; PEREIRA, M. R.; SIERRA, E. G. M.; BALAN, A.; LEMOS, E. G. M. Characterization of EST3: a metagenome-derived esterase with suitable properties for biotechnological

- applications. **Applied Microbiology and Biotechnology**, v. 100, n.13, p. 5815-5827, 2016. (7572) -Fator de Impacto em: 2015 3,376
222. AKHLAGHI, S. P.; RIBEIRO, I. R.; BOYD, B. J.; LOH, W. Impact of preparation method and variables on the internal structure, morphology, and presence of liposomes in phytantriol-pluronic (R) F127 cubosomes. **Colloids and Surfaces B-Biointerfaces**, v. 145, p. 845-853, 2016. (7573) -Fator de Impacto em: 2015 3,902
223. BUFAIÇAL, L.F. S.; COUTRIM, L. T.; SANTOS, T. O.; TERASHITA, H.; JESUS, C. B. R.; PAGLIUSO, P. G.; BITTAR, E. M. Physical properties of Sr<sub>2</sub>FelrO<sub>6</sub> and Sr<sub>1.2</sub>La<sub>0.8</sub>FelrO<sub>6</sub> double Perovskites obtained by a new synthesis route. **Materials Chemistry and Physics**, v. 182, p. 459-465, 2016. (7574) -Fator de Impacto em: 2015 2,101
224. CIRINO, L. M. D.; VERGNE, D. M. C.; SANTANA, P. F.; ALMEIDA, EN.; COSTA, L. P. DA; ALBUQUERQUE-JR., R. L. C.; LIMA-VERDE, I. B.; PADILHA, F. F.; CARDOSO, J. C. Decreased inflammatory response in rat bladder after intravesical administration of capsaicin-loaded liposomes. **Anais da Academia Brasileira de Ciências**, v. 88, n. 3, p.1539-1547, 2016. (7577) -Fator de Impacto em: 2015 0,717
225. ORLANDO, M. T. D.; CAVICHINI, A. S.; DEPIANTI, J. B.; PASSAMAI JR., J. L.; ROCHA, J. R.; SALVADOR, J. F.; ORLANDO, C. G. P. Effects of yttrium doping in ordered double Perovskite Sr<sub>2</sub>CrReO<sub>6</sub>. **Journal of Alloys and Compounds**, v. 687, p. 463-469, 2016. (7580) -Fator de Impacto em: 2015 3,014
226. LESSA, J. H. L.; ARAUJO, A. M.; SILVA, G. N. T.; GUILHERME, L. R. G.; LOPES, G. Adsorption-desorption reactions of selenium (VI) in tropical cultivated and uncultivated soils under cerrado biome. **Chemosphere**, v. 164, p. 271-277, 2016. (7599) -Fator de Impacto em: 2015 3,698
227. ACUÑA, L. M.; MUÑOZ, F. F.; FUENTES, R. O. Correlation between structural, chemical, and electrochemical properties of La<sub>0.6</sub>Sr<sub>0.4</sub>CoO<sub>3-d</sub> nanopowders for application in intermediate temperature solid oxide fuel cells. **Journal of Physical Chemistry C**, v. 120, n. 36, p. 20387-20399, 2016. (7601) -Fator de Impacto em: 2015 4,509
228. ARAÚJO, J. A.; CARDOSO, D. Hybrid silica with bimodal mesopore system: synthesis and catalytic evaluation. **Journal of Molecular Catalysis A**, v. 422, p. 51-58, 2016. (7604) -Fator de Impacto em: 2015 3,958
229. BARRERA, E. C. G.; LIVOTTO, P. R.; SANTOS, J. H. Z. DOS. Hybrid silica bearing different organosilanes produced by the modified stober method. **Powder Technology**, v. 301, p. 486-492, 2016. (7605) -Fator de Impacto em: 2015 2,759
230. ZANPHORLIN, L. M.; LIMA, T. B.; WONG, M. J.; BALBUENA, T. S.; MINETTI, C. A. S. A.; REMETA, D. P.; YOUNG, J. C.; BARBOSA, L. R. S.; GOZZO, F. C.; RAMOS, C. H. I. Heat shock protein 90 kDa (Hsp90) has a second functional interaction site with the mitochondrial import receptor tom70. **Journal of Biological Chemistry**, v. 291, n. 36, p. 18620-18631, 2016. (7608) -Fator de Impacto em: 2015 4,258
231. OLIVEIRA, G. V.; SILVA, W. L.; OLIVEIRA, E. R.; LANSARIN, M. A.; SANTOS, J. H. Z. DOS. Foundry sands as supports for heterogeneous photocatalysts. **Water Air Soil Pollut**, v. 227, p. 373-384, 2016. (7613) -Fator de Impacto em: 2015 1,551

232. ELÍAS, V. R.; FERRERO, G. O.; OLIVEIRA, R. G.; EIMER, G. A. Improved stability in SBA-15 mesoporous materials as catalysts for photo-degradation processes. **Microporous and Mesoporous Materials**, v. 236, p. 218-227, 2016. (7615) -Fator de Impacto em: 2015 3,349
233. CERVANTES, F. J.; RODRIGUEZ-LOPEZ, J. L.; PEÑA-MARTÍNEZ, M.; ASCACIO-VALDES, J. A.; AGUILAR, C. N.; BAHENA, D. Enhanced reduction of p-Nitrophenol by a methanogenic consortium promoted by metallic nanoparticles. **Water Air Soil Pollut**, v. 227, n. 10, p. 368, 2016. (7616) -Fator de Impacto em: 2015 1,551
234. CATTO, A. C.; SILVA, L. F.; BERNARDI, M. I. B.; BERNARDINI, S.; AGUIR, K.; LONGO, E.; MASTELARO, V. R. Local structure and surface properties of CoxZn1-xO thin films for ozone gas sensing. **ACS Applied Materials & Interfaces**, v. 8, n. 39, p. 26066-26072, 2016. (7618) -Fator de Impacto em: 2015 7,145
235. COITINHO, J. B.; PEREIRA, M. S.; COSTA, D. M. A.; GUIMARÃES, S. L.; ARAUJO, S. S.; HENGGE, A. C.; BRANDÃO, T. A. S.; NAGEM, R. A. P. Structural and kinetic properties of the aldehyde dehydrogenase NahF, a broad substrate specificity enzyme for aldehyde oxidation. **Biochemistry**, v. 55, n. 38, p. 5453-5463, 2016. (7619) -Fator de Impacto em: 2015 2,876
236. VALERIO, M. E. G. Structural and optical study of CaF<sub>2</sub> nanoparticles produced by a microwave-assisted hydrothermal method. **Physica B - Condensed Matter**, v. 501, p. 106-112, 2016. (7621) -Fator de Impacto em: 2015 1,352
237. OTT, T. R.; RAMALLO-LÓPEZ, J. M.; GIOVANETTI, L. J.; REQUEJO, F. G.; ZONES, S. I.; IGLESIA, E. Synthesis of stable monodisperse AuPd, AuPt, and PdPt bimetallic clusters encapsulated within LTA-zeolites. **Journal of Catalysis**, v. 342, p. 125-137, 2016. (7622) -Fator de Impacto em: 2015 7,354
238. SANTOS, MA. C.; MICHELETTO, Y. M. S.; SILVEIRA, N. P. DA; PINTO, L. S.; GIACOMELLI, F. C.; LIMA, V. R.; FRIZON, T. E. A.; DAL BÓ, A. G. Self-assembled carbohydrate-based vesicles for lectin targeting. **Colloids and Surfaces B-Biointerfaces**, v. 148, p. 12-18, 2016. (7623) -Fator de Impacto em: 2015 3,902
239. POLETTO, F. S.; LIMA, F. S.; LUNDBERG, D.; NYLANDER, T.; LOH, W. Tailoring the internal structure of liquid crystalline nanoparticles responsive to fungal lipases: a potential platform for sustained drug release. **Colloids and Surfaces B-Biointerfaces**, v. 147, p. 210-216, 2016. (7624) -Fator de Impacto em: 2015 3,902
240. INDA, M. E.; OLIVEIRA, R. G.; MENDONZA, D. DE; CYBULSKI, L. E. The single transmembrane segment of minimal sensor desk senses temperature via a membrane-thickness caliper. **Journal of Bacteriology**, v. 198, n. 21, p. 2945-2954, 2016. (7627) -Fator de Impacto em: 2015 3,198
241. CUNHA, G. C.; PEIXOTO, J. A.; DE SOUZA, D. R.; ROMÃO, L. P. C.; MACEDO, Z. S. Recycling of chromium wastes from the tanning industry to produce ceramic nanopigments. **Green Chemistry**, v. 18, n. 9, p. 5342-5356, 2016. (7631) -Fator de Impacto em: 2015 8,506
242. WOJCIESZAK, R.; CUCCOVIA, I. M.; SILVA, M. I. N. DA; ROSSI, L. M. Selective oxidation of glucose to glucuronic acid by cesium-promoted gold nanoparticle catalyst. **Journal of Molecular Catalysis A**, v. 422, p. 35-42, 2016. (7632) -Fator de Impacto em: 2015 3,958
243. CASTAÑEDA, J. A.; NAGAMINE, G.; YASSITEPE, E.; BONATO, L. G.; VOZNYI, O.; HOOGLAND, S.; NOGUEIRA, A. F.; SARGENT, E. H.; CRUZ, C. H. B.; PADILHA, L. A. Efficient biexciton interaction

- in Perovskite quantum dots under weak and strong confinement. **ACS Nano**, v. 10, n. 9, p. 8603-8609, 2016. (7635) -Fator de Impacto em: 2015 13,334
244. PIRES, M. D.; NOGUEIRA, F. G. E.; TORRES, J. A.; LACERD, L. C. T.; CORREA, S.; PEREIRA, M. C.; RAMALHO, T. C. Experimental and theoretical study on the reactivity of maghemite doped with Cu<sup>2+</sup> in oxidation reactions: structural and thermodynamic properties towards a Fenton catalyst. **RSC Advances**, v. 6, p; 80830-80839, 2016. (7637) -Fator de Impacto em: 2015 3,289
245. GADIOLI, R.; WALDMAN, W. R.; DE PAOLI, M. A. Lignin as a green primary antioxidant for polypropylene. **Journal of Applied Polymer Science**, v. 133, n. 45, p. 43558, 2016. (7639) -Fator de Impacto em: 2015 1,866
246. HIRATA, M. K.; FREITAS, J. N.; SANTOS, T. E. A.; MAMMANA, V. P.; NOGUEIRA, A. F. Assembly considerations for dye-sensitized solar modules with polymer gel electrolyte. **Industrial & Engineering Chemistry Research**, v. 55, n. 39, p. 10278-10285, 2016. (7642) -Fator de Impacto em: 2015 2,567
247. DOMINGOS, J. B.; LUZA, L.; RAMBOR, C. P.; GUAL, A.; BERNARDI, F.; GREHL, T.; BRUNER, P.; DUPONT, J. Catalytically active membranelike devices: ionic liquid hybrid organosilicas decorated with palladium nanoparticles. **ACS Catalysis**, v. 6, n. 10, p. 6478-6486, 2016. (7645) -Fator de Impacto em: 2015 9,307
248. SAKITA, A. M. P.; VALENTE, M. A. G.; DELLA NOCE, R.; FUGIVARA, C. S.; MAGNANI, M.; BENEDETTI, A. V. Low-voltage carbon films deposition by electro-exfoliation of graphite into graphene oxide. **RSC Advances**, v. 6, n. 87, p. 84194-94199, 2016. (7646) -Fator de Impacto em: 2015 3,289
249. VITICOSQUE, G. L.; RIBEIRO, L. F. C.; LUCAS, R. C.; SILVA, T. M.; RIBEIRO, L. F.; DAMÁSIO, A. R. DE L.; FARINAS, C. S.; GONÇALVES, A. Z. L.; SEGATO, F.; BUCKERIDGE, M. S.; JORGE, J. A.; POLIZELI, M. DE L. T. M. The functional properties of a xyloglucanase (GH12) of *Aspergillus terreus* expressed in *Aspergillus nidulans* may increase performance of biomass degradation. **Applied Microbiology and Biotechnology**, v. 100, n. 21, p. 9133-9144, 2016. (7647) -Fator de Impacto em: 2015 3,376
250. BRAZOLIN, G. F.; CANBAY, C. K.; OZGEN, O.; OLIVEIRA, A. B.; SILVA, R. A. G. Effects of Gd addition on the thermal and microstructural behaviors of the as-cast Cu-9 % Al and Cu-9 % Al-10 % Mn alloys. **Applied Physics A-Materials Science & Processing**, v. 112, n. 10, 928-937, 2016. (7648) -Fator de Impacto em: 2015 1,444
251. OLIVEIRA, R. M. DE; HELOU NETO, E. S.; COSTA, E. F. String-averaging incremental subgradients for constrained convex optimization with applications to reconstruction of tomographic images. **Inverse Problems**, v. 32, n. 11, p. 115014, 2016. (7678) -Fator de Impacto em: 2015 1,651
252. GRENÓN, M. S.; ROBLEDO, J. I.; IBÁÑEZ, J. C.; SÁNCHEZ, H. J. Titanium diffusion in shinbone of rats with osseointegrated implants. **Journal of Microscopy**, v. 264, n. 2, p. 182-188, 2016. (7679) -Fator de Impacto em: 2015 2,136
253. BAKAR, S. A.; RIBEIRO, C. Prospective aspects of preferential {001} facets of N,S-Co-doped TiO<sub>2</sub> photocatalysts for visible-light-responsive photocatalytic activity. **RSC Advances**, v. 6, n. 92, p. 89274-89287, 2016. (7680) -Fator de Impacto em: 2015 3,289

254. RANGANATHAN, K.; MORAIS, A.; NONGWE, I.; LONGO, C.; NOGUEIRA, A. F.; COVILLE, N. J. Study of photoelectrochemical water splitting using composite films based on TiO<sub>2</sub> nanoparticles and nitrogen or boron doped hollow carbon spheres as photoanodes. **Journal of Molecular Catalysis A**, v. 422, n. Special, p. 165-174, 2016. (7681) -Fator de Impacto em: 2015 3,958
255. MELLO, J. C. DE; WATASHI, C. M.; SILVA, DE. C. DA; CAVALCANTI, L. P.; FRANCO, M. K. K. D.; YOKAICHIYA, F.; ARAUJO, D. R.; RODRIGUES, T. Enhancement of chlorpromazine antitumor activity by Pluronic F127/L81 nanostructured system against human multidrug resistant leukemia. **Pharmacological Research**, v. 111, p. 102-112, 2016. (7682) -Fator de Impacto em: 2015 4,816
256. RIBEIRO, G. K.; VICENTE, F. S.; BERNARDI, M. I. B.; MESQUITA, A. Short-range structure and photoluminescent properties of the CaTiO<sub>3</sub>:Pr,La phosphor. **Journal of Alloys and Compounds**, v. 688, p. 497-503, 2016. (7684) -Fator de Impacto em: 2015 3,014
257. JOSHI, N.; SILVA, L. F.; JADHAV, H.; M'PEKO, J. C.; TORRES, B. B. M.; AGUIR, K.; MASTELARO, V. R.; OLIVEIRA JR., O. N. One-step approach for preparing ozone gas sensors based on hierarchical NiCo<sub>2</sub>O<sub>4</sub> structures. **RSC Advances**, v. 6, p. 92655-92662, 2016. (7690) -Fator de Impacto em: 2015 3,289
258. TRUFFAULT, L.; RODRIGUES, D. F.; SALGADO, H. R. N.; SANTILLI, C. V.; PULCINELLI, S. H. Loaded Ce-Ag organic-inorganic hybrids and their antibacterial activity. **Colloids and Surfaces B-Biointerfaces**, v. 147, p. 151-160, 2016. (7692) -Fator de Impacto em: 2015 3,902
259. PINTO, V. H. A.; REBOUÇAS, J. S.; UCOSKI, G. M.; FARIA, E. H.; FERREIRA, B. F.; SAN GIL, R. A. S.; NAKAGAKI, S. Mn porphyrins immobilized on non-modified and chloropropyl-functionalized mesoporous silica SBA-15 as catalysts for cyclohexane oxidation. **Applied Catalysis A**, v. 526, p. 9-20, 2016. (7693) -Fator de Impacto em: 2015 4,012
260. NUÑEZ, N. E.; BIDEBERRIPE, H. P.; MIZRAHI, M.; RAMALLO-LÓPEZ, J. M.; CASELLA, M. L.; SIRI, G. J. Co selective oxidation using CO-promoted Pt/gamma-Al<sub>2</sub>O<sub>3</sub> catalysts. **International Journal of Hydrogen Energy**, v. 41, n. 42, p. 19005-19013, 2016. (7713) -Fator de Impacto em: 2015 3,205
261. TOSCANI, L. M.; CRAIEVICH, A. F.; FANTINI, M. C. A.; LAMAS, D. G.; LARRONDO, S. A. Effects of the incorporation of Sc<sub>2</sub>O<sub>3</sub> into CeO<sub>2</sub>-ZrO<sub>2</sub> solid solution: structural characterization and in situ XANES/TPR study under H<sub>2</sub> atmosphere. **Journal of Physical Chemistry C**, v. 120, n. 42, p. 24165-24175, 2016. (7714) -Fator de Impacto em: 2015 4,509
262. MAGALHÃES-PANIAGO, R.; CHAGAS, T.; CUNHA, T. H. R.; MATOS, M. J. S.; REIS, D. D. DOS; ARAUJO, K. A. S.; MALACHIAS, A.; MAZZONI, M. S. C.; FERLAUTO, A. S. Room temperature observation of the correlation between atomic and electronic structure of graphene on Cu(110). **RSC Advances**, v. 6, n. 100, p. 98001-98009, 2016. (7716) -Fator de Impacto em: 2015 3,289
263. CARVALHO, F. A. O.; ALVES, F. R.; TABAK, M. Ionic surfactants-*Glossoscolex paulistus* hemoglobin interactions: characterization of species in the solution. **International Journal of Biological Macromolecules**, v. 92, p. 670-681, 2016. (7717) -Fator de Impacto em: 2015 3,138
264. VENDELOVA, E.; DE LIMA, J. C.; LORENZATTO, K. R.; MONTEIRO, K. M.; MUELLER, T.; VEPPASCHIT, J.; GRIMM, C.; BREHM, K.; HRCKOVÁ, G.; LUTZ, M. B.; FERREIRA, H. B.; NONO, J. K. Proteomic analysis of excretory-secretory products of mesocestoides corti metacestodes

- reveals potential suppressors of dendritic cell functions. **PLoS Neglected Tropical Diseases**, v. 10, n. 10. p. e0005061, 2016. (7718) -Fator de Impacto em: 2015 3,948
265. AVANSI, W.; OLIVEIRA, C. L. P.; RIBEIRO, C.; LEITE, E. R.; MASTELARO, V. R. Study of the morphological evolution of vanadium pentoxide nanostructures under hydrothermal conditions. **CrystEngComm**, v. 18, n. 39, p. 7636-7641, 2016. (7719) -Fator de Impacto em: 2015 3,849
266. NAJAFISHIRTARI, S.; KOKUMAI, T. M.; MARRAS, S.; DESTRO, P.; PRATO, M.; SCARPELLINI, A.; BRESCIA, R.; LAK, A.; PELLEGRINO, T.; ZANCHET, D.; MANNA, L.; COLOMBO, M. Dumbbell-like Au<sub>0.5</sub>Cu<sub>0.5</sub>@Fe<sub>3</sub>O<sub>4</sub> nanocrystals: synthesis, characterization, and catalytic activity in CO oxidation. **ACS Applied Materials & Interfaces**, v. 8, n. 42, p. 28624-28632, 2016. (7725) -Fator de Impacto em: 2015 7,145
267. FARIA, E. C.; RABELO NETO, R. C.; COLMAN, R. C.; FERREIRA, R. A. R.; HORI, C. E.; NORONHA, F. B. Steam reforming of LPG over Ni/Al<sub>2</sub>O<sub>3</sub> and Ni/CexZr<sub>1-a</sub>EuroexO<sub>2</sub>/Al<sub>2</sub>O<sub>3</sub> catalysts. **Catalysis Letters**, v. 146, n. 11, p. 2229-2241, 2016. (7730) -Fator de Impacto em: 2015 2,294
268. BORGES, B. G. A. L.; VEIGA, A. G.; TZOUNIS, L.; LASKARAKIS, A.; LOGOTHETIDIS, S.; ROCCO, M. L. M. Molecular orientation and ultrafast charge transfer dynamics studies on the P3HT:PCBM blend. **Journal of Physical Chemistry C**, v. 120, n. 43, p. 25078-25082, 2016. (7747) -Fator de Impacto em: 2015 4,509
269. FORNARI, C. I.; RAPPL, P. H. O.; MORELHÃO, S. L.; PEIXOTO, T. R. F.; BENTMANN, H.; REINERT, F.; ABRAMOF, E. Preservation of pristine Bi<sub>2</sub>Te<sub>3</sub> thin film topological insulator surface after ex situ mechanical removal of Te capping layer. **APL Materials**, v. 4, n. 10, p. 106107, 2016. (7751) -Fator de Impacto em: 2015 4,323
270. CUCATTI, S.; DROPPA JR., R.; FIGUEROA, C. A.; KLAUS, M.; GENZEL, C.; ALVAREZ, F. Residual stress in nano-structured stainless steel (AISI 316L) prompted by Xe<sup>+</sup> ion bombardment at different impinging angles. **Journal of Applied Physics**, v. 120, n. 14, p. 142306, 2016. (7758) -Fator de Impacto em: 2015 2,101
271. FERRERO, G. O.; ROJAS, H. J.; ARGARANA, C. E.; EIMER, G. A. Towards sustainable biofuel production: design of a new biocatalyst to biodiesel synthesis from waste oil and commercial ethanol. **Journal of Cleaner Production**, v. 139, p. 495-503, 2016. (7760) -Fator de Impacto em: 2015 4,959
272. PEDRA, P. P.; SILVA, J. L.; SHARMA, S. K.; MOURA, K. O.; DUQUE, J. G. S.; MENESES, C. T. The influence of chelating agent on the structural and magnetic properties of CoFe<sub>2</sub>O<sub>4</sub> nanoparticles. **Journal of Nanoscience and Nanotechnology**, v. 16, n. 5, p. 4943-4947, 2016. (7762) -Fator de Impacto em: 2015 1,338
273. HUCK-IRIART, C.; MONTES-DE-OCA-ÁVALOS, J.; HERRERA, M. L.; CANDAL, R. J.; OLIVEIRA, C. L. P.; TORRIANI, I. New insights about flocculation process in sodium caseinate-stabilized emulsions. **Food Research International**, v. 89, p. 338-346, 2016. (7774) -Fator de Impacto em: 2015 3,182
274. FERREIRA, L. M. B.; KUROKOWA, S. S. S.; ALONSO, J. D.; CASSIMIRO, D. L.; SOUZA, A. L. R.; FONSECA, M.; SARMENTO, V. H. V.; REGASINI, L. O.; RIBEIRO, C. A. Structural and thermal behavior of meglumine-based supra-amphiphiles in bulk and assembled in water. **Langmuir**, v. 32, n.45, p. 11878-11887, 2016. (7775) -Fator de Impacto em: 2015 3,993



275. SILVA, D. C.; FONTES, G. N.; ERTHAL, L. C. S.; LIMA, L. M. T. R. Amyloidogenesis of the amylin analogue pramlintide. **Biophysical Chemistry**, v. 219, p. 1-8, 2016. (7778) -Fator de Impacto em: 2015 2,363
276. HONNICKE, M. G.; BIANCO, L. M.; CEPPI, S.A.; CUSATIS, C.; HUANG, X.-R; CAI, Y. Q.; STUTZ, G. E. Construction of a quartz spherical analyzer: application to high-resolution analysis of the Ni K $\alpha$  emission spectrum. **Journal of Applied Crystallography**, v. 49, pt. 5, p. 1443-1453, 2016. (7779) -Fator de Impacto em: 2015 2,57
277. GÓMEZ-MARIN, A. M.; BOTT-NETO, J. L.; SOUZA JR., J. B.; SILVA, T. L. DA; BECK JR., W.; VARANDA, L. C.; TICIANELLI, E. A. Electrocatalytic activity of different phases of molybdenum carbide/carbon and platinum-molybdenum carbide/carbon composites toward the oxygen reduction reaction. **ChemElectroChem**, v. 3, n. 10, p.1570-1579, 2016. (7782) -Fator de Impacto em: 2015 3,506
278. OLIVEIRA, G. A. P.; MARQUES, M. A.; CRUZEIRO-SILVA, C.; CORDEIRO, Y.; SCHUABB, C.; MORAES, A. H.; WINTER, R.; FOGUEL, D.; FREITAS, M. S.; SILVA, J. L. Structural basis for the dissociation of alpha-synuclein fibrils triggered by pressure perturbation of the hydrophobic core. **Scientific Reports**, v. 6, p. 37990, 2016. (7786) -Fator de Impacto em: 2015 5,228
279. YASSITEPE, E.; YANG, Z.; VOZNYI, O.; KIM, Y.; WALTERS, G.; CASTAÑEDA, J. A.; KANJANABOOS, P.; YUAN, M.; GONG, X.; FAN, F.; PAN, J.; HOOGLAND, S.; COMIN, R.; BAKR, O. M.; PADILHA, L. A.; NOGUEIRA, A. F.; SARGENT, E. H. Amine-free synthesis of cesium lead halide Perovskite quantum dots for efficient light-emitting diodes. **Advanced Functional Materials**, v. 26, n. 47, p. 8757-8763, 2016. (7795) -Fator de Impacto em: 2015 11,382
280. TRINDADE, L. V.; DESAGIACOMO, C.; POLIZELI, M. DE L. T. M.; DAMÁSIO, A. R. DE L.; LIMA, A. M. F.; GOMES, E.; BONILLA-RODRIGUES, G. O. Biochemical characterization, thermal stability, and partial sequence of a novel exo-polygalacturonase from the thermophilic fungus *Rhizomucor pusillus* A13.36 obtained by submerged cultivation. **Biomed Research International**, v. 2016, p. 8653583, 2016. (7796) -Fator de Impacto em: 2015 2,134
281. SANTOS, C. M. DOS; MARTINS, A. F. N.; COSTA, B. C.; RIBEIRO, T. S.; BRAGA, T. P.; SOARES, J. M.; SASAKI, J. M. Synthesis of FeNi alloy nanomaterials by proteic sol-gel method: crystallographic, morphological, and magnetic properties. **Journal of Nanomaterials**, v. 2016, p. 1637091, 2016. (7799) -Fator de Impacto em: 2015 1,758
282. SANTIAGO, A. DA S.; MENDES, J. S.; SANTOS, C. A.; TOLEDO, M. A. S.; BELOTI, L. L.; CRUCELLO, A.; HORTA, M. A. C.; FAVARO, M. T. P.; MUNAR, D. M. M.; SOUZA, A. A.; COTTA, M. A.; SOUZA, A. P. The antitoxin protein of a toxin-antitoxin system from *Xylella fastidiosa* is secreted via outer membrane vesicles. **Frontiers in Microbiology**, v. 7, p. 2030, 2016. (7828) -Fator de Impacto em: 2015 4,165
283. OLIVEIRA, D. R. B.; MICHELON, M.; FURTADO, G. F.; SINIGAGLIA-COIMBRA, R.; CUNHA, R. L. Beta-carotene-loaded nanostructured lipid carriers produced by solvent displacement method. **Food Research International**, v. 90, p. 139-146, 2016. (7912) -Fator de Impacto em: 2015 3,182
284. DOS SANTOS, G. B.; MONTEIRO, K. M.; SILVA, E. D. DA; BATTISTELLA, M. E.; FERREIRA, H. B.; ZAHA, A. Excretory/secretory products in the *Echinococcus granulosus metacestode*: is the intermediate host complacent with infection caused by the larval form of the

- parasite? **International Journal for Parasitology**, v. 46, n. 13-14, p. 843-856, 2016. (7923) -Fator de Impacto em: 2015 4,242
285. SANTOS, W. O.; HESTERBERG, D.; MATTIELLO, E. M.; VERGUTZ, L.; BARRETO, M. S. C.; SILVA, I. R.; SOUZA FILHO, L. F. S. Increasing soluble phosphate species by treatment of phosphate rocks with acidic waste. **Journal of Environmental Quality**, v. 45, n. 6, p. 1988-1997, 2016. (7937) - Fator de Impacto em: 2015 2,238
286. DA SILVA, W. L.; LANSARIN, M. A.; DOS SANTOS, J. H. Z.; SILVEIRA, F. Photocatalytic degradation of rhodamine B, paracetamol and diclofenac sodium by supported titania-based catalysts from petrochemical residue: effect of doping with magnesium. **Water Science & Technology**, v. 74, n. 10, p. 2370-2383, 2016. (7966) -Fator de Impacto em: 2015 1,064
287. FERREIRA, G. A.; PICULLEL, L.; LOH, W. Addition of n-Alcohols induces a variety of liquid-crystalline structures in surfactant-rich cores of dispersed block copolymer/surfactant nanoparticles. **ACS Omega**, v. 1, n. 6, p. 1104-1113, 2016. (8047) -Fator de Impacto em: 2015 0
288. BARI, A.F.; SANTIAGO, M. Q.; OSTERNE, V. J. S.; PINTO-JR., V. R.; SILVA FILHO, J. C.; DEBRAY, H.; ROCHA, B. A. M.; DELATORRE, P.; TEIXEIRA, C. S.; CORREIA NETO, C.; ASSREUY, A. M. S.; NASCIMENTO, K. S.; CAVADA, B. S. Lectins from *Parkia biglobosa* and *Parkia platycephala*: a comparative study of structure and biological effects. **International Journal of Biological Macromolecules**, v. 92, p. 194-201, 2016. (8052) – Fator de Impacto em: 3,138
289. RENÓ, C. O.; MOTISUKE, M. Optimizing the water-oil emulsification process for developing CPC microspheres. **Materials Research-Ibero-American Journal of Materials**, v. 19, n. 6, p. 1388-1392, 2016. (8063) -Fator de Impacto em: 2015 0,788
290. PERUZZO, P. J.; ANBINDER, P. S.; PARDINI, F. M.; PARDINI, O. R.; PLIVELIC, T. S.; AMALVY, J. I. On the strategies for incorporating nanosilica aqueous dispersion in the synthesis of waterborne polyurethane/silica nanocomposites: effects on morphology and properties. **Materials Today Communications**, v. 6, p. 81-91, 2016. (8069) -Fator de Impacto em: 2015 0
291. ASENCIOS, Y. J. O.; MARCOS, F. C. F.; ASSAF, J. M.; ASSAF, E. M. Oxidative-reforming of methane and partial oxidation of methane reactions over NIO/PRO2/ZRO2 catalysts: effect of nickel content. **Brazilian Journal of Chemical Engineering**, v. 33, n. 3, p. 627-636, 2016. (8494) -Fator de Impacto em: 20151,061
292. FUKS-JANCZAREK, I.; MIEDZINSKI, R.; KASSAB, L. R. P.; ALVES, F. M. Nonlinear optical features on Yb<sup>3+</sup>/Tm<sup>3+</sup> codoped PbO-GeO<sub>2</sub> glasses with Si nanoparticles. **Materials Research Bulletin**, v. 77, p. 8-14, 2016. (8577) -Fator de Impacto em: 2015 2,435
293. BOREIKO, S.; SILVA, M. Crystallization and X-ray Diffraction data analyses of the enzyme urocanate hydratase from *Trypanosoma cruzi*. **Revista Virtual de Química**, v. 8, n. 3, p. 678-686, 2016. (8666) -Fator de Impacto em: 2015 0
294. SILVA, R. R.; DUARTE, A. P.; SABIO, R. M.; CAIUT, J.M.A.; GRESSIER, M.; MENU, M.-J.; FRANCO JR., A.; RIBEIRO, S. J. L. Bifunctional magnetic luminescent particles based on iron oxide nanoparticles grafted with a europium silylated bipyridine tris (beta-diketonate) complex. **ChemistrySelect**, v. 1, n. 18, p. 5923-5928, 2016. (8667) -Fator de Impacto em: 2015 0
295. FERRINI, P.; REZENDE, C. A.; RINALDI, R. Catalytic upstream biorefining through hydrogen transfer reactions: understanding the process from the pulp perspective. **ChemSusChem**, v. 9, n. 22, p. 3137-3180, 2016. (8668) -Fator de Impacto em: 2015 7,116

296. JARDIM, P.; SANTOS, I. C. S. DA; BARBOSA, J. A. R. G.; FREITAS, S. M. DE; VALADARES, N. F. Crystal structure of VapC21 from *Mycobacterium tuberculosis* at 1.31 angstrom resolution. **Biochemical and Biophysical Research Communications**, v. 478, n. 3, p. 1370-1375, 2016. (8669) -Fator de Impacto em: 2015 2,371
297. PENTEADO, R. F.; MARTINI, V. P.; IULEK, J. Crystallization and crystallographic analyses of triosephosphate isomerase from *Naegleria gruberi*. **Revista Virtual de Química**, v. 8, n. 6, p. 1835-1841, 2016. (8671) -Fator de Impacto em: 2015 0

#### 2017 - Artigo em Periódico Indexado - Externa

- 1 PINTO-JR., V. R.; SANTIAGO, M. Q.; NOBRE, C.B.; OSTERNE, V. J. S.; LEAL, R. B.; CAJAZEIRAS, J. B.; LOSSIO, C. F.; ROCHA, B. A. M.; MARTINS, M. G. Q.; NOBRE, C. A. S.; SILVA, M. T. L.; NASCIMENTO, K. S.; CAVADA, B. S. Crystal structure of Pisum arvense seed lectin (PAL) and characterization of its interaction with carbohydrates by molecular docking and dynamics. **Archives of Biochemistry and Biophysics**, v. 630, p. 27-37, 2017. (6436) - Fator de Impacto em 2016: 3,165
- 2 MARQUES, F. P.; SCANDIAN, C.; BOZZI, A. C.; FUKUMASU, N. K.; TSCHIPTSCHIN, A. P. Formation of a nanocrystalline recrystallized layer during microabrasive wear of a cobalt-chromium based alloy (Co-30Cr-19Fe). **Tribology International**, v. 116, p. 105-112, 2017. (6488) - Fator de Impacto em 2016: 2,903
- 3 MARCHIORI, C. F. N.; GARCÍA- BASABE, Y.; RIBEIRO, F. A. DE; KOEHLER, M.; ROMAN, L. S.; ROCCO, M. L. M. Thermally induced anchoring of fullerene in copolymers with Si-bridging atom: spectroscopic evidences. **Spectrochimica Acta Part A-Molecular and Biomolecular Spectroscopy**, v. 171, p. 376-382, 2017. (7625) - Fator de Impacto em 2016: 2,536
- 4 SILVA, L. F.; M'PEKO, J.C.; CATTO, A. C.; BERNARDINI, S.; MASTELARO, V. R.; AGUIR, K.; RIBEIRO, C.; LONGO, E. UV-enhanced ozone gas sensing response of ZnO-SnO<sub>2</sub> heterojunctions at room temperature. **Sensors and Actuators B**, v. 240, p. 573-579, 2017. (7626) - Fator de Impacto em 2016: 5,401
- 5 URIBE, B. E. B.; CHIROMITO, E. M. S.; CARVALHO, A. J. F.; TARPANI, J. R. Low-cost, environmentally friendly route for producing CFRP laminates with microfibrillated cellulose interphase. **Express Polymer Letters**, v. 11, n. 1, p. 47-59, 2017. (7689) - Fator de Impacto em 2016: 2,983
- 6 LAURENTI, J. B.; ZAZERI, G.; POVINELLI, A. P. R.; GODOY, M. F. DE; BRAILE, D. M.; ROCHA, T. R. F.; D'AMICO, D.; NERY, J. G. Enhanced pro-coagulant hemostatic agents based on nanometric zeolites. **Microporous and Mesoporous Materials**, v. 239, p. 263-271, 2017. (7700) - Fator de Impacto em 2016: 3,615
- 7 ANDRÉ, R. S.; SHIMIZU, F. M.; MIYAZAKI, C. M.; RIUL JR., A.; MANZANI, D.; RIBEIRO, S. J. L.; OLIVEIRA JR., O. N.; MATTOSO, L. H. C.; CORRÊA, D. S. Hybrid layer-by-layer (LbL) films of polyaniline, graphene oxide and zinc oxide to detect ammonia. **Sensors and Actuators B**, v. 238, p. 795-801, 2017. (7739) - Fator de Impacto em 2016: 5,401
- 8 VESSALLI, B. A.; ZITO, C. A.; PERFECTO, T. M.; VOLANTI, D. P.; MAZON, T. ZnO nanorods/graphene oxide sheets prepared by chemical bath deposition for volatile organic

- compounds detection. **Journal of Alloys and Compounds**, v. 696, p. 996-1003, 2017. (7756) - Fator de Impacto em 2016: 3,133
- 9 ASPROMONTE, S. G.; MIZRAHI, M. D.; ALONSO, E.; RAMALLO-LÓPEZ, J. M.; BOIX, A. V. Co/MCM41 catalyst in the COProx reaction prepared by supercritical CO<sub>2</sub> reactive deposition. **Microporous and Mesoporous Materials**, v. 239, p. 147-157, 2017. (7804) - Fator de Impacto em 2016: 3,615
  - 10 SOUZA, S. F.; LEO, A. L.; LOMBELLO, C. B.; SAIN, M.; FERREIRA, M. Cytotoxicity studies of membranes made with cellulose nanofibers from figue macrofibers. **Journal of Materials Science**, v. 52, n. 5, p. 2581-2590, 2017. (7805) - Fator de Impacto em 2016: 2,599
  - 11 CORSELLO, F. A.; BOLLA, P. A.; ANBINDER, P. S.; SERRADELL, M. A.; AMALVY, J. I.; PERUZZO, P. J. Morphology and properties of neutralized chitosan-cellulose nanocrystals biocomposite films. **Carbohydrate Polymers**, v. 156, p. 452-459, 2017. (7809) - Fator de Impacto em 2016: 4,811
  - 12 SALCEDO RODRÍGUEZ, K. L.; HOFFMANN, M.; GOLMAR, F.; PASQUEVICH, G. A.; WERNER, P.; HERGERT, W.; RODRÍGUEZ TORRES, C. E. Producing ZnFe<sub>2</sub>O<sub>4</sub> thin films from ZnO/FeO multilayers. **Applied Surface Science**, v. 393, p. 256-261, 2017. (7811) - Fator de Impacto em 2016: 3,387
  - 13 OLIVEIRA, L. R. DE; MANZATO, L.; MASCARENHAS, Y. P.; SANCHES, E. A. The influence of heat treatment on the semi-crystalline structure of polyaniline Emeraldine-salt form. **Journal of Molecular Structure**, v. 1128, p. 707-717, 2017. (7815) - Fator de Impacto em 2016: 1,753
  - 14 FURTADO, G. F.; MANTOVANI, R. A.; CONSOLI, L.; HUBINGER, M. D.; CUNHA, R. L. DA. Structural and emulsifying properties of sodium caseinate and lactoferrin influenced by ultrasound process. **Food Hydrocolloids**, v. 63, p. 178-188, 2017. (7819) - Fator de Impacto em 2016: 4,747
  - 15 STOEBERL, V.; ABBATE, M.; ALVES, L. M. S.; DOS SANTOS, C. A. M.; MOSSANEK, R. J. O. X-ray spectroscopy and electronic structure of MoO<sub>2</sub>. **Journal of Alloys and Compounds**, v. 691, p. 138-143, 2017. (7823) - Fator de Impacto em 2016: 3,133
  - 16 SILVA, F. P.; GONÇALVES, R. V.; ROSSI, L. M. Magnetically recoverable copper oxide catalysts for aerobic allylic oxidation of cyclohexene. **Journal of Molecular Catalysis A**, v. 426, part B, p. 534-541, 2017. (7910) - Fator de Impacto em 2016: 4,211
  - 17 TIBOLLA, H.; PELISSARI, F. M.; RODRIGUES, M. I.; MENEGALLI, F. C. Cellulose nanofibers produced from banana peel by enzymatic treatment: study of process conditions. **Industrial Crops and Products**, v. 95, p. 664-674, 2017. (7913) - Fator de Impacto em 2016: 3,181
  - 18 SALVADOR, C. A. F.; DAL BÓ, M.; COSTA, F. H.; TAIPINA, M. O.; LOPES, E. S. N.; CARAM JR., R. Solute lean Ti-Nb-Fe alloys: an exploratory study. **Journal of the Mechanical Behavior of Biomedical Materials**, v. 65, p. 761-769, 2017. (7916) - Fator de Impacto em 2016: 2,876
  - 19 MAYANGA-TORRERS, P. C.; LACHOS- PEREZ, D.; REZENDE, C. A.; PRADO, J. M.; MA, Z.; TOMPSETT, G. T.; TIMKO, M. T.; FORSTER-CARNEIRO, T. Valorization of coffee industry residues by subcritical water hydrolysis: recovery of sugars and phenolic compounds. **Journal of Supercritical Fluids**, v. 120, p. 75-85, 2017. (7920) - Fator de Impacto em 2016: 2,991
  - 20 CARNIELLI, C. M.; ARTIER, C.; OLIVEIRA, J. C. F. DE; MANSUR, M. T. M. N. *Xanthomonas citri* subsp *citri* surface proteome by 2D-DIGE: ferric enterobactin receptor and other outer

- membrane proteins potentially involved in citric host interaction. **Journal of Proteomics**, v. 151, p. 251-263, 2017. (7922) - Fator de Impacto em 2016: 3,914
- 21 BORGES, R. J.; CARDOSO, F. F.; FERNANDES, C. A. H.; DREYER, T. R.; MORAES, D. S. DE; FLORIANO, R.; RODRIGUES-SIMIONI, L.; FONTES, M. R. M. Functional and structural studies of a Phospholipase A(2)-like protein complexed to zinc ions: insights on its myotoxicity and inhibition mechanism. **Biochimica et Biophysica Acta. General Subjects**, v. 1861, n. 1, p. 3199-3209, 2017. (7924) - Fator de Impacto em 2016: 4,702
- 22 PARADINHA, M. M.; DIAS, F. T. G.; WANKE, C. H.; NOVELLO, JU. C. DE L.; TONDO, E. C.; MARTINS, J. DE N.; BIANCHI, O. Preparation and characterization of the ethylene-vinyl acetate copolymer partially hydrolyzed assisted by microwave radiation. **Journal of Applied Polymer Science**, v. 134, n. 10, p. 44558, 2017. (7929) - Fator de Impacto em 2016: 1,86
- 23 WEILHARD, A.; ABARCA, G.; VISCARDI, J.; PRECHTL, M. H. G.; SCHOLTEN, J. D.; BERNARDI, F.; BAPTISTA, D. L.; DUPONT, J. Challenging thermodynamics: hydrogenation of benzene to 1,3-cyclohexadiene by Ru@Pt nanoparticles. **ChemCatChem**, v. 9, p. 204-211, 2017. (7935) - Fator de Impacto em 2016: 4,803
- 24 MATHEWS, P.; MERTINS, O. Dispersion of chitosan in liquid crystalline lamellar phase: production of biofriendly hydrogel of nano cubic topology. **Carbohydrate Polymers**, v. 157, p. 850-857, 2017. (7936) - Fator de Impacto em 2016: 4,811
- 25 OSHIRO JR., J. A.; SCARDUELI, C. R.; OLIVEIRA, G. J. L. DE; MARCANTONIO, R. A.; CHIAVACCI, L. A. Development of ureasil-polyether membranes for guided bone regeneration. **Biomedical Physics & Engineering Express**, v. 3, n. 1, p. 015019, 2017. (7950) - Fator de Impacto em 2016: 0
- 26 SALVADOR, G. H. M.; DOS SANTOS, J. I.; LOMONTE, B.; FONTES, M. R. M. Crystal structure of a phospholipase A(2) from *Bothrops asper* venom: Insights into a new putative "myotoxic cluster". **Biochimie**, v. 133, p. 95-102, 2017. (8024) - Fator de Impacto em 2016: 3,112
- 27 MYERS, R. J.; GENG, G.; LI, J.; RODRÍGUEZ, E. D.; HA, J.; KIDKHUNTHOD, P.; SPOSITO, G.; LAMMERS, L. N.; KIRCHHEIM, A. P.; MONTEIRO, P. J. M. Role of adsorption phenomena in cubic tricalcium aluminate dissolution. **Langmuir**, v. 33, n. 1, p. 45-55, 2017. (8033) - Fator de Impacto em 2016: 3,833
- 28 GIULIAN, R.; MANZO, D. J.; SALAZAR, J. B.; JUST, W.; ANDRADE, A. M. H.; SCHOFFEN, J. R.; NIEKRASZEWICZ, L. A. B.; DIAS, J. F.; BERNARDI, F. Structural and electronic characterization of antimonide films made by magnetron sputtering. **Journal of Physics D-Applied Physics**, v. 50, p. 075106, 2017. (8034) - Fator de Impacto em 2016: 2,588
- 29 FUERTES, M. C.; SOLER-ILLIA, G. J. A. A.; ANGELOMÉ, P. C. 2D-SAXS In situ measurements as a tool to study elusive mesoporous phases: the case of p6mm TiO<sub>2</sub>. **Journal of Physical Chemistry C**, v. 121, n. 6, p. 3623-3631, 2017. (8040) - Fator de Impacto em 2016: 4,536
- 30 LIMA, T. A. R. M.; ILAVSKY, J.; HAMMONS, J.; SARMENTO, V. H. V.; REY, J. F. Q.; VALERIO, M. E. G. Synthesis and synchrotron characterisation of novel dual-template of hydroxyapatite scaffolds with controlled size porous distribution. **Materials Letters**, v. 190, p. 107-110, 2017. (8041) - Fator de Impacto em 2016: 2,572
- 31 SCALIONI, L. V.; GUTIÉRREZ, M. C.; FELISBERTI, M. I. Green composites of poly(3-hydroxybutyrate) and curaua fibers: morphology and physical, thermal, and mechanical

- properties. **Journal of Applied Polymer Science**, v. 58, n. 12, p. 821-831, 2017. (8043) - Fator de Impacto em 2016: 1,86
- 32 MOREIRA, J. V. S.; MAY, P. W.; CORAT, E. J.; PETERLEVITZ, A. C.; PINHEIRO, R. A.; ZANIN, H. G. Diamond and carbon nanotube composites for supercapacitor devices. **Journal of Electronic Materials**, v. 46, n. 2, p. 929-935, 2017. (8044) - Fator de Impacto em 2016: 1,579
- 33 DIAS, A. L. B.; SERGIO, C. S. A.; SANTOS, P.; BARBERO, G. F.; REZENDE, C. A.; MARTINEZ, J. Ultrasound-assisted extraction of bioactive compounds from dedo de moca pepper (*Capsicum baccatum* L.): effects on the vegetable matrix and mathematical modeling. **Journal of Food Engineering**, v. 198, p. 36-44, 2017. (8053) - Fator de Impacto em 2016: 3,099
- 34 RIBEIRO-ANDRADE, R.; MALACHIAS, A.; MIQUITA, D. R.; VASCONCELOS, T. L.; KAWABATA, R.; PIRES, M. P.; SOUZA, P. L.; RODRIGUES, W. N. Study of growth properties of InAs islands on patterned InP substrates defined by focused ion beam. **Physica E - Low Dimensional Systems & Nanostructures**, v. 87, p. 59-67, 2017. (8055) - Fator de Impacto em 2016: 2,221
- 35 DORES-SILVA, P. R.; NISHIMURA, L. S.; KIRALY, V. T. R.; BORGES, J. C. Structural and functional studies of the *Leishmania braziliensis* mitochondrial Hsp70: similarities and dissimilarities to human orthologues. **Archives of Biochemistry and Biophysics**, v. 613, p. 43-52, 2017. (8056) - Fator de Impacto em 2016: 3,165
- 36 CORTEZ, M.L.; CEOLÍN, M. R.; CAMACHO, L. C.; DONATH, E.; MOYA, S. E.; BATTAGLINI, F.; AZZARONI, O. Solvent effects on the structure-property relationship of redox-active self-assembled nanoparticle-polyelectrolyte-surfactant composite thin films: implications for the generation of bioelectrocatalytic signals in enzyme-containing assemblies. **ACS Applied Materials & Interfaces**, v. 9, n. 1, p. 1119-1128, 2017. (8059) - Fator de Impacto em 2016: 7,504
- 37 GONZÁLEZ-LIZÁRRAGA, F.; SOCÍAS, S. B.; ÁVILA, C. L.; TORRES-BUGEAU, C. M. T.; BARBOSA, L. R. S.; BINOLFI, A.; SEPÚLVEDA-DÍAS, J. E.; DEL BEL, E.; FERNÁNDEZ, C. O.; PAPY-GARCIA, D.; ITRI, R.; RAISMAN-VOZARI, R.; CHEHÍN, R. N. Repurposing doxycycline for synucleinopathies: remodelling of alpha-synuclein oligomers towards non-oxic parallel beta-sheet structured species. **Scientific Reports**, v. 7, p. 41755, 2017. (8060) - Fator de Impacto em 2016: 4,259
- 38 KOGIKOSKI JR., S.; LIBERATO, M. S.; FACTORI, I. M.; SILVA, E. R.; OLIVEIRA, C. L. P.; ANDO, R. A.; ALVES, W. A. Polycaprolactone-polyaniline blend: effects of the addition of cysteine on the structural and molecular properties. **Journal of Physical Chemistry C**, v. 121, n. 1, p. 863-877, 2017. (8061) - Fator de Impacto em 2016: 4,536
- 39 LEITE, A. L. M. P.; ZANON, C. D.; MENEGALLI, F. C. Isolation and characterization of cellulose nanofibers from cassava root bagasse and peelings. **Carbohydrate Polymers**, v. 157, p. 962-970, 2017. (8065) - Fator de Impacto em 2016: 4,811
- 40 ALVARENGA, G. M.; GALLO, I. B. C.; VILLULLAS, H. M. Enhancement of ethanol oxidation on Pd nanoparticles supported on carbon-antimony tin oxide hybrids unveils the relevance of electronic effects. **Journal of Catalysis**, v. 348, p. 1-8, 2017. (8067) - Fator de Impacto em 2016: 6,844
- 41 POSSATO, L. G.; CASSINELLI, W. H.; MEYER, C.; GARETTO, T. F.; PULCINELLI, S. H.; SANTILLI, C. V.; MARTINS, L. Thermal treatments of precursors of molybdenum and vanadium oxides and the formed MoxVyOz phases active in the oxydehydration of glycerol. **Applied Catalysis A**, v. 532, p. 1-11, 2017. (8071) - Fator de Impacto em 2016: 4,339

- 42 MOTTA, M. B. J. L.; ADORNO, A. T.; SANTOS, C. M. A.; SILVA, R. A. G. Kinetics of bainite precipitation in the Cu<sub>69</sub>.3Al<sub>18.8</sub>Mn<sub>10.3</sub>Ag<sub>1.6</sub> alloy. **Materials Chemistry and Physics**, v. 188, p. 125-130, 2017. (8074) - Fator de Impacto em 2016: 2,084
- 43 GOMES, M. A.; ANDRADE, A. B.; REZENDE, M. V. DOS S.; VALERIO, M. E. G. Production of Eu-doped BaAl<sub>2</sub>O<sub>4</sub> at low temperature via an alternative sol-gel method using PVA as complexing agent. **Journal of Physics and Chemistry of Solids**, v. 102, p. 74-78, 2017. (8076) - Fator de Impacto em 2016: 2,059
- 44 ANDRINI, L. R.; TOJA, R. M.; GAUNA, M. R.; CONCONI, M. S.; REQUEJO, F. G.; RENDTORFF, N. M. Extended and local structural characterization of a natural and 800 degrees C fired Na-montmorillonite-Patagonian bentonite by XRD and Al/Si XANES. **Applied Clay Science**, v. 137, p.233-240, 2017. (8077) - Fator de Impacto em 2016: 3,101
- 45 SOUZA, I. F.; ARCHANJO, B. S.; HURTARTE, I. C. C.; OLIVEROS, M. E.; GOUVEA, C. P.; LIDIZIO, L. R.; ACHETE, C. A.; SCHAEFER, C. E. R.; SILVA, I. R. Al-/Fe-(hydr)oxides - organic carbon associations in Oxisols - from ecosystems to submicron scales. **Catena**, v. 154, p. 63-72, 2017. (8083) - Fator de Impacto em 2016: 3,191
- 46 JUNCAL, L. C.; AVILA, J.; ASENSIO, M. C.; DELLA VÉDOVA, C. O.; ROMANO, R. M. Electronic structure determination using an assembly of conventional and synchrotron techniques: the case of a xanthate complex. **Spectrochimica Acta Part A-Molecular and Biomolecular Spectroscopy**, v. 180, p. 183-192, 2017. (8084) - Fator de Impacto em 2016: 2,536
- 47 MOMBRÚ, D.; ROMERO, M.; FACCIÓ, R.; CASTIGLIONI, J.; MOMBRÚ, A. W. In situ growth of ceramic quantum dots in polyaniline host via water vapor flow diffusion as potential electrode materials for energy applications. **Journal of Solid State Chemistry**, v. 250, p. 60-67, 2017. (8085) - Fator de Impacto em 2016: 2,299
- 48 GONÇALVES, R. V.; WENDER, H.; MIGOWSKI, P.; FEIL, A. F.; EBERHARDT, D.; BOITA, J.; KHAN, S.; MACHADO, G.; DUPONT, J.; TEIXEIRA, S. R. Photochemical hydrogen production of Ta<sub>2</sub>O<sub>5</sub> nanotubes decorated with nio nanoparticles by modified sputtering deposition. **Journal of Physical Chemistry C**, v. 121, p. 5855-5863, 2017. (8086) - Fator de Impacto em 2016: 4,536
- 49 MATOS, B. R.; DA SILVA, J. S.; SANTIAGO, E. I.; PARRA, D. F.; CARASTAN, D. J.; FLORIO, D. Z. DE; ANDRADA, H. E.; CARRERAS, A. C.; FONSECA, F. C. Proton and cesium conductivity in perfluorosulfonate ionomers at low and high relative humidity. **Solid State Ionics**, v. 301, p. 86-94, 2017. (8088) - Fator de Impacto em 2016: 2,354
- 50 CALDAS, P. C. P.; GALLO, J. M. R.; LÓPEZ- CASTILLO, A.; ZANCHET, D.; BUENO, J. M. C. The Structure of the Cu-CuO sites determines the catalytic activity of Cu nanoparticles. **ACS Catalysis**, v. 7, p. 2419-2424, 2017. (8089) - Fator de Impacto em 2016: 10,614
- 51 SOUZA, S. F.; KOGIKOSKI JR., S.; SILVA, E. R.; ALVES, W. A. Nanostructured antigen-responsive hydrogels based on peptides for leishmaniasis detection. **Journal of the Brazilian Chemical Society**, v. 28, n. 9, p. 2619-1629, 2017. (8090) - Fator de Impacto em 2016: 1,198
- 52 GODOY, A. S.; LIMA, G. M. A.; OLIVEIRA, K. I. Z.; TORRES, N. U.; MALUF, F. V.; GUIDO, R. V. C.; OLIVA, G. Crystal structure of Zika virus NS5 RNA-dependent RNA polymerase. **Nature Communications**, v. 8, p. 14764, 2017. (8092) - Fator de Impacto em 2016: 12,124
- 53 RODRIGUEZ-FERNÁNDEZ, D.; ANGELOMÉ, P. C.; SOLER-ILLIA, G. J. A. A.; LIZ-MARZÁN, L. M. Multilayered materials comprising mesoporous thin films and metal nanoparticles. **Particle**

- & Particle Systems Characterization**, v. 34, n. 5, p. 1600428, 2017. (8093) - Fator de Impacto em 2016: 4,474
- 54 ALMEIDA, G. B.; POPPI, R. J.; SILVA, J. A. F. Trapping of Au nanoparticles in a microfluidic device using dielectrophoresis for surface enhanced Raman spectroscopy. **Analyst**, v. 142, n. 2, p. 375-379, 2017. (8094) - Fator de Impacto em 2016: 3,885
- 55 FARIA, A. F.; MORAES, A. C. M.; ANDRADE, P. F.; SILVA, D. S.; GONÇALVES, M. C.; ALVES, O. L. Cellulose acetate membrane embedded with graphene oxide-silver nanocomposites and its ability to suppress microbial proliferation. **Cellulose**, v. 24, n. 2, p. 781-796, 2017. (8099) - Fator de Impacto em 2016: 3,417
- 56 XAVIER, M. C. A.; CORADINI, A. L. V.; DECKMANN, A. C.; FRANCO, T. T. Lipid production from hemicellulose hydrolysate and acetic acid by *lipomyces starkeyi* and the ability of yeast to metabolize inhibitors. **Biochemical Engineering Journal**, v. 118, p. 11-19, 2017. (8104) - Fator de Impacto em 2016: 2,892
- 57 ALENCAR, L. D. S.; MESQUITA, A.; FEITOSA, C. A. C.; BALZER, R.; PROBST, L. F. D.; BATALHA, D. C.; ROSMANINHO, M. G.; FAJARDO, H. V.; BERNARDI, M. I. B. Preparation, characterization and catalytic application of barium molybdate (BaMoO<sub>4</sub>) and barium tungstate (BaWO<sub>4</sub>) in the gas-phase oxidation of toluene. **Ceramics International**, v. 43, n. 5, p. 4462-4469, 2017. (8108) - Fator de Impacto em 2016: 2,986
- 58 SANTOS, C.; VARGAS, A.; FRONZA, N.; DOS SANTOS, J. H. Z. Structural, textural and morphological characteristics of tannins from *Acacia mearnsii* encapsulated using sol-gel methods: applications as antimicrobial agents. **Colloids and Surfaces B-Biointerfaces**, v. 151, p. 26-33, 2017. (8111) - Fator de Impacto em 2016: 3,887
- 59 CARVALHO, K. T. G.; NOGUEIRA, A. E.; LOPES, O. F.; BYZYNSKI, G.; RIBEIRO, C. Synthesis of g-C<sub>3</sub>N<sub>4</sub>/Nb<sub>2</sub>O<sub>5</sub> heterostructures and their application in the removal of organic pollutants under visible and ultraviolet irradiation. **Ceramics International**, v. 43, n. 4, p. 3521-3530, 2017. (8112) - Fator de Impacto em 2016: 2,986
- 60 SILVA, R. R.; MEJIA, H. A. G.; RIBEIRO, S. J. L.; SHRESTA, L. K.; ARIGA, K.; OLIVEIRA JR., O. N.; CAMARGO, V. R.; MAIA, L. J. Q.; ARAUJO, C. B. Facile synthesis of tellurium nanowires and study of their third-order nonlinear optical properties. **Journal of the Brazilian Chemical Society**, v. 28, n. 1, p. 58-67, 2017. (8113) - Fator de Impacto em 2016: 1,198
- 61 RODRIGUES, A.; CASTEGNARO, M. V.; ARGUELLO, J.; ALVES, M. C. M.; MORAIS, J. DE. Development and surface characterization of a glucose biosensor based on a nanocolumnar ZnO film. **Applied Surface Science**, v. 402, p. 136-141, 2017. (8120) - Fator de Impacto em 2016: 3,387
- 62 SILVA, A. A. A.; BION, N.; EPRON, F.; BARAKA, S.; FONSECA, F. C.; RABELO NETO, R. C.; MATTOS, L. V.; NORONHA, F. B. Effect of the type of ceria dopant on the performance of Ni/CeO<sub>2</sub> SOFC anode for ethanol internal reforming. **Applied Catalysis B-Environmental**, v. 206, p. 626-641, 2017. (8121) - Fator de Impacto em 2016: 9,446
- 63 COSTA, L. S.; ZANCHET, D. Pretreatment impact on the morphology and the catalytic performance of hybrid heterodimers nanoparticles applied to CO oxidation. **Catalysis Today**, v. 282, pt.2, p.151-158, 2017. (8122) - Fator de Impacto em 2016: 4,636



- 64 FABIAN, F. A.; MOURA, K. O.; GARCIA, F.; DUQUE, J. G. S.; MENESES, C. T. Structural and magnetic phase transition observed in the  $\text{YCrO}_3+\gamma$  compound. **Journal of Alloys and Compounds**, v. 702, p. 244-248, 2017. (8123) - Fator de Impacto em 2016: 3,133
- 65 CERQUEIRA, M. A.; FASOLIN, L. H.; PICONE, C. S. F.; PASTRANA, L. M.; CUNHA, R. L.; VICENTE, A. A. Structural and mechanical properties of organogels: role of oil and gelator molecular structure. **Food Research International**, v. 96, p. 161-170, 2017. (8124) - Fator de Impacto em 2016: 3,086
- 66 CASTEGNARO, M. V.; PASCHOALINO, W. J.; FERNANDES, M. R.; BALKE, B.; ALVES, M. C. M.; TICIANELLI, E. A.; MORAIS, J. DE. Pd-M/C (M = Pd, Cu, Pt) Electrocatalysts for oxygen reduction reaction in alkaline medium: correlating the electronic structure. **Langmuir**, v. 33, p. 2734-2743, 2017. (8125) - Fator de Impacto em 2016: 3,833
- 67 LEANI, J. J.; PÉREZ, R. D.; ROBLEDO, J. I.; SÁNCHEZ, H. J. 3D-reconstruction of chemical state distributions in stratified samples by spatially resolved micro-X-ray resonant Raman spectroscopy. **Journal of Analytical Atomic Spectrometry**, v. 32, p. 402-407, 2017. (8126) - Fator de Impacto em 2016: 3,379
- 68 PETROLINI, D. D.; URQUIETA-GONZÁLEZ, E. A.; PULCINELLI, S. H.; SANTILLI, C. V.; MARTINS, L. Emulsion-mediated synthesis of hierarchical mesoporous/macroporous Al-Mg hydrotalcites. **Microporous and Mesoporous Materials**, v. 240, p.149-158, 2017. (8127) - Fator de Impacto em 2016: 3,615
- 69 HECK, C. A.; DOS SANTOS, J. H. Z.; WOLF, C. R. Hybrid silicas/waterborne polyurethane composite properties: in situ formation vs. grafting methods. **Journal of Sol-Gel Science and Technology**, v. 81, p. 505-513, 2017. (8130) - Fator de Impacto em 2016: 1,575
- 70 CÁNNEVA, A.; CAVASSO-FILHO, R. L.; ROMANO, R. M.; VÉDOVA, C. O. D.; TONG, S.; GE, M.; ERBEN, M. F. Electronic properties and ionic photodissociation of thionitrite compounds  $\text{RSNO}$  [ $\text{R}=(\text{CH}_3)_3\text{C}-$  and  $(\text{CH}_3)_2\text{CH}-$ ]. **ChemistrySelect**, v. 2, n. 5, p. 2021-2027, 2017. (8132) - Fator de Impacto em 2016: 0
- 71 CASTRO, R. A. O.; MONTE, R. S.; MENDES, L. G.; FURTADO, R. F.; SILVA, A. R. A.; BISWAS, A.; CHENG, H. N.; ALVES, C. R. Electrosynthesis and characterization of polypyrrole/cashew gum composite grown on gold surface in aqueous medium. **International Journal of Electrochemical Science**, v. 12, n. 1, p. 50-61, 2017. (8134) - Fator de Impacto em 2016: 1,469
- 72 TAFUR, M.; NASCIMENTO, V. P.; ALAYO, W.; XING, Y. T.; BAGGIO-SAITOVICH, E. Analyzing the magnetic profile in NiFe/NiO bilayers. **Journal of Magnetism and Magnetic Materials**, v. 428, p. 198, 203, 2017. (8140) - Fator de Impacto em 2016: 2,63
- 73 SERAPHIM, T. V.; SILVA, K. P.; DORES-SILVA, P. R.; BARBOSA, L. R. S.; BORGES, J. C. Insights on the structural dynamics of *Leishmania braziliensis* Hsp90 molecular chaperone by small angle X-ray scattering. **International Journal of Biological Macromolecules**, v. 97, p. 503-512, 2017. (8141) - Fator de Impacto em 2016: 3,671
- 74 MARQUES, M. A.; PINTO, J. R.; MORAES, A. H.; IQBAL, A.; MAGALHÃES, M. T. Q.; MONTEIRO, J.; PEDROTE, M. M.; SORENSON, M. M.; SILVA, J. L.; OLIVEIRA, G. A. P. Allosteric Transmission along a loosely structured backbone allows a cardiac troponin c mutant to function with only one  $\text{Ca}^{2+}$  ion. **Journal of Biological Chemistry**, v. 292, n. 6, p. 2379-2394, 2017. (8142) - Fator de Impacto em 2016: 4,125

- 75 GONÇALVES, L. T.; PEREIRA, N. R.; ALMEIDA, S. B.; FREITAS, S. DE J.; WALDMAN, W. R. Microwave-hot air drying applied to selected cassava cultivars: drying kinetics and sensory acceptance. **International J. Food Science Technology**, v. 52, n. 2, p. 389-397, 2017. (8143) - Fator de Impacto em 2016: 1,64
- 76 VILLAFUERTE, M.; ZAMORA, D. J.; BRIDOUX, G.; FERREYRA, J. M.; MEYER, M. Role of defects and their complexes on the dependence of photoconductivity on dark resistivity of single ZnO microwires. **Journal of Applied Physics**, v. 121, n. 6, p. 064501, 2017. (8144) - Fator de Impacto em 2016: 2,068
- 77 ALMEIDA, P.; LOIOLA, L. M. D.; PETZOLD, C. L.; FELISBERTI, M. I. Sucrose methacrylate-based amphiphilic block copolymers. **Macromolecular Chemistry and Physics**, v. 218, p. 1600452, 2017. (8146) - Fator de Impacto em 2016: 2,5
- 78 BATALHA, J. A. F. L.; DAHMOUCHE, K.; SAMPAIO, R. B.; GOMES, A.S. Structure and properties of new sPEEK/zirconia/protic ionic liquid membranes for fuel cell application. **Macromolecular Materials and Engineering**, v. 302, n. 3, p. UNSP 1600301, 2017. (8152) - Fator de Impacto em 2016: 2,863
- 79 PETKOWICZ, D. I.; CANAL, S.; FINGER, P. H.; MIGNONI, M. L.; DOS SANTOS, J. H. Z. Synthesis of hybrid zeolites using a solvent-free method in the presence of different organosilanes. **Microporous and Mesoporous Materials**, v. 98, p. 98-106, 2017. (8157) - Fator de Impacto em 2016: 3,615
- 80 ACEBRÓN, M.; HERRERA, F. C.; MIZRAHI, M.; NAVIO, C.; BERNARDO-GAVITO, R.; GRANADOS, D.; REQUEJO, F. G.; JUAREZ, B. H. Inorganically coated colloidal quantum dots in polar solvents using a microemulsion-assisted method. **Physical Chemistry Chemical Physics (PCCP)**, v. 19, n. 3, p. 1999-2007, 2017. (8158) - Fator de Impacto em 2016: 4,123
- 81 TANAKA, H. K.; PRUDENTE, F. V.; MEDINA, A.; MARINHO, R. R. T.; HOMEM, M. G. P.; MACHADO, L. E.; FUJIMOTO, M. M. Photoabsorption and photoionization cross sections for formaldehyde in the vacuum-ultraviolet energy range. **Journal of Chemical Physics**, v. 146, n. 9, p. 094310, 2017. (8162) - Fator de Impacto em 2016: 2,965
- 82 ROMERO, M.; FACCIO, R.; TUMELERO, M. A.; PASA, A. A.; MOMBRÚ, A. W. The structural and organic magnetoresistance response of poly(9-vinyl carbazole) using low applied magnetic fields and magnetic nanoparticle addition. **Journal of Materials Chemistry C**, v. 5, n. 15, p. 3779-3787, 2017. (8166) - Fator de Impacto em 2016: 5,256
- 83 VIEIRA, ANG. A.; SANTOS, T. B.; PAULA, L. O.; SANTOS, E. D.; RADI, P. A.; KHOURI, S.; MACIEL, H. S.; PESSOA, R. S.; VIEIRA, L. Flexible camphor diamond-like carbon coating on polyurethane to prevent *Candida albicans* biofilm growth. **Journal of the Mechanical Behavior of Biomedical Materials**, v. 68, p. 239-246, 2017. (8171) - Fator de Impacto em 2016: 2,876
- 84 SCHAFER, D.; CASTEGNARO, M. V.; GORGESKI, A.; ROCHET, A.; BRIOIS, V.; ALVES, M. C. M.; MORAIS, J. DE. Controlling the atomic distribution in PtPd nanoparticles: thermal stability and reactivity during NO abatement. **Physical Chemistry Chemical Physics (PCCP)**, v.19, n. 15, p. 9974-9982, 2017. (8175) - Fator de Impacto em 2016: 4,123
- 85 VELTRI, T.; OLIVEIRA, G. A. P.; BIENKIEWICZ, E.; PALHANO, F. L.; MARQUES, M. A.; MORAES, A. H.; SILVA, J. L.; SORENSON, M. M.; PINTO, J. R. Amide hydrogens reveal a temperature-dependent structural transition that enhances site-II Ca<sup>2+</sup> -binding affinity in a C-domain

- mutant of cardiac troponin C. **Scientific Reports**, v. 7, p. 691, 2017. (8177) - Fator de Impacto em 2016: 4,259
- 86 MARCOS, F. C. F.; ASSAF, J. M.; ASSAF, E. M. Catalytic hydrogenation of CO<sub>2</sub> into methanol and dimethyl ether over Cu-X/V-Al PILC (X = Ce and Nb) catalysts. **Catalysis Today**, v. 289, p. 173-180, 2017. (8181) - Fator de Impacto em 2016: 4,636
- 87 FINARDI, C. A.; PONCHET, A.; ADAMO, C. B.; FLACKER, A.; TEIXEIRA, R. C.; PANEPUCCI, R. R. Alternative technological development for RF hybridization. **Materials Research Express**, v. 4, n. 3, p. 036305, 2017. (8183) - Fator de Impacto em 2016: 1,068
- 88 ZARAMELLO, L.; ALBUQUERQUE, B. L.; DOMINGOS, J. B.; PHILIPPOT, K. Kinetic investigation into the chemoselective hydrogenation of alpha, beta-unsaturated carbonyl compounds catalyzed by Ni(0) nanoparticles. **Dalton Transactions**, v. 46, n. 15, p. 5082-5090, 2017. (8184) - Fator de Impacto em 2016: 4,029
- 89 NOBREGA, M. M.; TEMPERINI, M. L. A.; BINI, R. Probing the chemical stability of aniline under high pressure. **Journal of Physical Chemistry C**, v. 121, n. 13, p. 7495-7501, 2017. (8186) - Fator de Impacto em 2016: 4,536
- 90 BALBINO, T. A.; SERAFIN, J. M.; RADAIC, A.; JESUS, M. B.; DE LA TORRE, L. G. Integrated microfluidic devices for the synthesis of nanoscale liposomes and lipoplexes. **Colloids and Surfaces B-Biointerfaces**, v. 152, p. 406-413, 2017. (8190) - Fator de Impacto em 2016: 3,887
- 91 BYZYNSKI, G.; MELO, C.; VOLANTI, D. P.; FERRER, M. M.; GOUVEIA, A. F.; RIBEIRO, C.; ANDRÉS, J.; LONGO, E. The interplay between morphology and photocatalytic activity in ZnO and N-doped ZnO crystals. **Materials & Design**, v. 120, p. 363-375, 2017. (8194) - Fator de Impacto em 2016: 4,364
- 92 LIMA, T. A.; PASCHOAL, V. H.; FARIA, L. F. O.; RIBEIRO, M. C. C. Unraveling the stepwise melting of an ionic liquid. **Journal of Physical Chemistry B**, v. 121, n. 17, p. 4650-4655, 2017. (8201) - Fator de Impacto em 2016: 3,177
- 93 HELOU NETO, E. S.; SIMÕES, L. E. A. Epsilon-subgradient algorithms for bilevel convex optimization. **Inverse Problems**, v. 33, p. 055020, 2017. (8202) - Fator de Impacto em 2016: 1,62
- 94 ZIBETTI, M. V. W.; HELOU NETO, E. S. Accelerating over-relaxed and monotone fast iterative shrinkage-thresholding algorithms with line search for sparse reconstructions. **IEEE Transactions on Image Processing**, v. 26, n. 7, p. 3569-3578, 2017. (8203) - Fator de Impacto em 2016: 4,828
- 95 DE LIMA, C. R. M.; DE MORAIS, W. A.; SILVA, G. T. M.; NUNES, J. S.; WANDERLEY NETO, A. DE O.; PEREIRA, M. R.; FONSECA, J. L. C. Preparation and characterization of dispersions based on chitosan and poly(styrene sulfonate). **Colloid Polymer Science**, v. 295, n. 6, p. 1071-1078, 2017. (8204) - Fator de Impacto em 2016: 1,723
- 96 DE LIMA, C. R. M.; DE SOUZA, P. R. S.; STOPILHA, R. T.; DE MORAIS, W. A.; SILVA, G. T. M.; NUNES, J. S.; WANDERLEY NETO, A. DE O.; PEREIRA, M. R.; FONSECA, J. L. C. Formation and structure of chitosan-poly(sodium methacrylate) complex nanoparticles. **Journal of Dispersion Science and Technology**, 2017. (8205) - Fator de Impacto em 2016: 1,591

- 97 CADIerno, M. P.; DREON, M. S.; HERAS, H. Apple snail perivitellin precursor properties help explain predators' feeding behavior. **Physiological and Biochemical Zoology**, v. 90, n. 4, p. 461-470, 2017. (8207) - Fator de Impacto em 2016: 2,104
- 98 CUNHA, G. C.; ABREU, C. M.; PEIXOTO, J. A.; ROMÃO, L. P. C.; MACEDO, Z. S. A Novel method for fabricating Cr-doped alpha-Al<sub>2</sub>O<sub>3</sub> nanoparticles: green approach to nanotechnology. **Journal of Inorganic and Organometallic Polymers and Materia**, v. 27, n. 3, p. 674-684, 2017. (8211) - Fator de Impacto em 2016: 1,577
- 99 OROZCO, C. A.; CHUN, B. W.; GENG, G.; EMWAS, A.-H.; MONTEIRO, P. J. M. Characterization of the bonds developed between calcium silicate hydrate and polycarboxylate-based superplasticizers with silyl functionalities. **Langmuir**, v. 33, n. 14, p. 3404- 3412, 2017. (8219) - Fator de Impacto em 2016: 3,833
- 100 ANDRADE, A. B.; FERREIRA, N. S.; VALERIO, M. E. G. Particle size effects on structural and optical properties of BaF<sub>2</sub> nanoparticles. **RSC Advances**, v. 7, n. 43, p. 26839-26848, 2017. (8230) - Fator de Impacto em 2016: 3,108
- 101 MICHELON, M.; OLIVEIRA, D. R. B.; FURTADO, G. F.; DE LA TORRE, L.; CUNHA, R. L. High-throughput continuous production of liposomes using hydrodynamic flow-focusing microfluidic devices. **Colloids and Surfaces B-Biointerfaces**, v. 156, p. 349-357, 2017. (8231) - Fator de Impacto em 2016: 3,887
- 102 SANTANA, HA. S.; TORTOLA, D. S.; SILVA JR., J. L.; TARANTO, O. P. Biodiesel synthesis in micromixer with static elements. **Energy Conversion and Management**, v. 141, p. 28-39, 2017. (8232) - Fator de Impacto em 2016: 5,589
- 103 KAREL, J.; FISCHER, J. E.; FABBRICI, S.; PIPPEL, E.; WERNER, P.; CASTEGNARO, M. V.; ADLER, P.; OUARDI, S.; BALKE, B.; FECHER, G. H.; MORAIS, J. DE; ALBERTINI, F.; PARKIN, S. S. P.; FELSER, C. Influence of nanoscale order-disorder transitions on the magnetic properties of Heusler compounds for spintronics. **Journal of Materials Chemistry C**, v. 5, p. 4388-4392, 2017. (8234) - Fator de Impacto em 2016: 5,256
- 104 COSTA, D. M. A.; COSTA, M. A. F.; GUIMARÃES, S. L.; COITINHO, J. B.; GÓMEZ, S. V.; BRANDÃO, T. A. S.; NAGEM, R. A. P. A combined approach for enhancing the stability of recombinant cis-dihydrodiol naphthalene dehydrogenase from *Pseudomonas putida* G7 allowed for the structural and kinetic characterization of the enzyme. **Protein Expression and Purification**, v. 132, p. 50-59, 2017. (8235) - Fator de Impacto em 2016: 1,351
- 105 BARRERA, E. C. G.; DOS SANTOS, J. H. Z. Designing polyethylene characteristics by modification of the support for FI catalyst. **Molecular Catalysis**, v. 434, p. 1-6, 2017. (8241) - Fator de Impacto em 2016: 0
- 106 MAYA- JOHNSON, S.; SANTA, J. F.; TORO, A. Dry and lubricated wear of rail steel under rolling contact fatigue - wear mechanisms and crack growth. **Wear**, v. 380-381, p. 240-250, 2017. (8244) - Fator de Impacto em 2016: 2,531
- 107 GÓMEZ-MARIN, A. M.; TICIANELLI, E. A. Effect of transition metals in the hydrogen evolution electrocatalytic activity of molybdenum carbide. **Applied Catalysis B-Environmental**, v. 209, p. 600-610, 2017. (8245) - Fator de Impacto em 2016: 9,446

- 108 COSTA, A. L. R.; GOMES, A.; CUNHA, R. L. Studies of droplets formation regime and actual flow rate of liquid-liquid flows in flow-focusing microfluidic devices. **Experimental Thermal and Fluid Science**, v. 85, p. 167-175, 2017. (8247) - Fator de Impacto em 2016: 2,83
- 109 CHAGAS, G. R.; WEIBEL, D. E. UV-induced switchable wettability between superhydrophobic and superhydrophilic polypropylene surfaces with an improvement of adhesion properties. **Polymer Bulletin**, v. 74, n. 6, p. 1965-1978, 2017. (8252) - Fator de Impacto em 2016: 1,43
- 110 COSTA, A. L. R.; GOMES, A.; USHIKUBO, F. Y.; CUNHA, R. L. Gellan microgels produced in planar microfluidic devices. **Journal of Food Engineering**, v. 209, p. 18-25, 2017. (8255) - Fator de Impacto em 2016: 3,099
- 111 CARVALHO, N. C.; PESSATO, T. B.; FERNANDES, L. G. R.; ZOLLNER, R. L.; NETTO, F. M. Physicochemical characteristics and antigenicity of whey protein hydrolysates obtained with and without pH control. **International Dairy Journal**, v. 71, p. 24-34, 2017. (8261) - Fator de Impacto em 2016: 2,067
- 112 VIOLI, I. L.; LUCA, V.; SOLDATI, A. L.; TROIANI, H. E.; SOLER-ILLIA, G. J. A. A.; ZELCER, A. Rapid preparation of block copolymer templated mesoporous Zr<sub>1-x</sub>Ce<sub>x</sub>O<sub>2</sub> thin films. **RSC Advances**, v. 7, n. 43, p. 26746-26755, 2017. (8264) - Fator de Impacto em 2016: 3,108
- 113 SILVEIRA, E. B.; RABELO NETO, R. C.; NORONHA, F. B. Steam reforming of toluene, methane and mixtures over Ni/ZrO<sub>2</sub> catalysts. **Catalysis Today**, v. 289, p. 289-301, 2017. (8267) - Fator de Impacto em 2016: 4,636
- 114 CORRÊA, C. L. O.; LICEA, Y. E.; PALACIO, L. A.; ZOTIN, F. M. Z. Effect of composition and thermal treatment in catalysts derived from Cu-Al hydrotalcites-like compounds in the NO reduction by CO. **Catalysis Today**, v. 289, p. 133-142, 2017. (8269) - Fator de Impacto em 2016: 4,636
- 115 SILVA, P. P.; FERREIRA, R. A. R.; NORONHA, F. B.; HORI, C. E. Hydrogen production from steam and oxidative steam reforming of liquefied petroleum gas over cerium and strontium doped LaNiO<sub>3</sub> catalysts. **Catalysis Today**, v. 289, p. 211-221, 2017. (8270) - Fator de Impacto em 2016: 4,636
- 116 LINO, A. V. P.; ASSAF, E. M.; ASSAF, J. M. Hydrotalcites derived catalysts for syngas production from biogas reforming: effect of nickel and cerium load. **Catalysis Today**, v. 289, p. 78-88, 2017. (8272) - Fator de Impacto em 2016: 4,636
- 117 BOHN, F.; BESSA, R. A.; COSTA, L. S.; OLIVEIRA, C. P.; NASCIMENTO, R. F.; SASAKI, J. M.; LOILA, A. R. Kaolin-based magnetic zeolites A and P as water softeners. **Microporous and Mesoporous Materials**, v. 245, p. 64-72, 2017. (8273) - Fator de Impacto em 2016: 3,615
- 118 DOMINGUES, R. R.; TRUGUILHO, R. F.; SILVA, CARLOS A.; MELO, I. C. N. A. DE; MELO, L. C. A.; MAGRIOTIS, Z. M.; SÁNCHEZ- MONEDERO, M. A. Properties of biochar derived from wood and high-nutrient biomasses with the aim of agronomic and environmental benefits. **PLoS One**, v. 12, n. 5, p. e0176884, 2017. (8276) - Fator de Impacto em 2016: 2,806
- 119 OURIQUE, P. A.; KRINDGES, I.; AGUZZOLI, C.; FIGUEROA, C. A.; AMALVY, J. I.; WANKE, C. H.; BIANCHI, O. Synthesis, properties, and applications of hybrid polyurethane urea obtained from air-oxidized soybean oil. **Progress in Organic Coatings**, v. 108, p. 15-24, 2017. (8279) - Fator de Impacto em 2016: 2,858

- 120 SILVA, L. L.; ALKIMIM, I. P.; VASQUEZ, P. A. S.; CARDOSO, D. Synthesis and properties of MCM-41 with polymerizable CADMA cationic surfactant. **Catalysis Today**, v. 289, p. 2-13, 2017. (8280) - Fator de Impacto em 2016: 4,636
- 121 ODA, C. M. R.; FERNANDES, R. S.; LOPES, S. C. DE A.; OLIVEIRA, M. C.; CARDOSO, V. B.; SANTOS, D. M. DOS; PIMENTA, A. M. C.; MALACHIAS, A.; PANIAGO, R.M.; TOWNSEND, D. M.; COLLETTI, P. M.; RUBELLO, D.; ALVES, R. J.; BARROS, A. L. B.; LEITE, E. A. Synthesis, characterization and radiolabeling of polymeric nano-micelles as a platform for tumor delivering. **Biomedicine & Pharmacotherapy**, v. 89, p. 268-275, 2017. (8281) - Fator de Impacto em 2016: 2,759
- 122 POSSATO, L. G.; CHAVES, T. F.; CASSINELLI, W. H.; PULCINELLI, S. H.; SANTILLI, C. V.; MARTINS, L. The multiple benefits of glycerol conversion to acrolein and acrylic acid catalyzed by vanadium oxides supported on micro-mesoporous MFI zeolites. **Catalysis Today**, v. 289, p. 20-28, 2017. (8282) - Fator de Impacto em 2016: 4,636
- 123 SANTOS, R. M. M.; TRONTO, J.; BRIOIS, V.; SANTILLI, C. V. Thermal decomposition and recovery properties of ZnAl-CO<sub>3</sub> layered double hydroxide fo/r anionic dye adsorption: insight into the aggregative nucleation and growth mechanism of the LDH memory effect. **Journal of Materials Chemistry A**, v. 5, n. 20, p. 9998-10009, 2017. (8284) - Fator de Impacto em 2016: 8,867
- 124 KOKUMAI, T. M.; CANTANE, D. A.; MELO, G. T.; PAULUCCI, L. B.; ZANCHET, D. VO<sub>x</sub>-Pt/Al<sub>2</sub>O<sub>3</sub> catalysts for hydrogen production. **Catalysis Today**, v. 289, p. 249-257, 2017. (8285) - Fator de Impacto em 2016: 4,636
- 125 MORELHÃO, S. L.; REMÉDIOS, C. M. R.; CALLIGARIS, G. A.; NISBET, G. X-ray dynamical diffraction in amino acid crystals: a step towards improving structural resolution of biological molecules via physical phase measurements. **Journal of Applied Crystallography**, v. 50, pt. 3, p. 689-700, 2017. (8286) - Fator de Impacto em 2016: 2,495
- 126 SANTANA, HA. S.; SANCHEZ, G. B.; TARANTO, O. P. Evaporation of excess alcohol in biodiesel in a microchannel heat exchanger with Peltier module. **Chemical Engineering Research and Design**, v. 124, p. 20-28, 2017. (8287) - Fator de Impacto em 2016: 2,538
- 127 ZIMICZ, M. G.; PRADO, F. D.; LAMAS, D. G.; LARRONDO, S. A. In-situ XANES and XPD studies of NiO/Ce<sub>0.9</sub>Zr<sub>0.1</sub>O<sub>2</sub> IT-SOFCs anode nanomaterial as catalyst in the CPOM reaction. **Applied Catalysis A**, v. 542, p. 296-305, 2017. (8288) - Fator de Impacto em 2016: 4,339
- 128 SILVA, G. T. S. T.; CARVALHO, K. T. G.; LOPES, O. F.; RIBEIRO, C. g-C<sub>3</sub>N<sub>4</sub>/Nb<sub>2</sub>O<sub>5</sub> heterostructures tailored by sonochemical synthesis: Enhanced photocatalytic performance in oxidation of emerging pollutants driven by visible radiation. **Applied Catalysis B-Environmental**, v. 216, p. 70-79, 2017. (8290) - Fator de Impacto em 2016: 9,446
- 129 MORAIS, E. C.; BRAMBILLA, R.; CORREA, G. G.; DALMORO, V.; SANTOS, J. H. Z. DOS. Imprinted silicas for paracetamol preconcentration prepared by the sol-gel process. **Journal of Sol-Gel Science and Technology**, v. 83, n. 1, p. 90-99, 2017. (8291) - Fator de Impacto em 2016: 1,575
- 130 DUFT, R. G.; CASTRO, A.; BONFANTE, I. L. P.; BRUNELLI, D. T.; CHACON-MIKAHIL, M. P. T.; CAVAGLIERI, C. R. Metabolomics approach in the investigation of metabolic changes in obese men after 24 weeks of combined training. **Journal of Proteome Research**, v. 16, n. 6, p. 2151-2159, 2017. (8293) - Fator de Impacto em 2016: 4,268
- 131 SANTILLÁN, J. M. J.; ARBOLEDA, D. M.; CORAL, D. F.; VAN RAAP, M. B. F.; MURACA, D.; SCHINCA, D. C.; SCAFFARDI, L. B. Optical and magnetic properties of Fe nanoparticles fabricated by

- femtosecond laser ablation in organic and inorganic solvents. **ChemPhysChem**, v. 18, n. 9, p. 1192-1209, 2017. (8294) - Fator de Impacto em 2016: 3,075
- 132 PEREIRA, S. C.; DE FIGUEIREDO, A. T.; BARRADO, C. M.; STOPPA, M. H.; SANTOS, T. O. DE; PONTES, F. M.; LONGO, E. Fast and efficient microwave-assisted synthesis of CaTiO<sub>3</sub>. **Materials Research Express**, v. 4, n. 6, p. 065014, 2017. (8301) - Fator de Impacto em 2016: 1,068
- 133 GADIOLI, R.; GUILHEM, A.; FERNANDES, F. C.; WALDMAN, W. R.; DE PAOLI, M. A. High-density green polyethylene biocomposite reinforced with cellulose fibers and using lignin as antioxidant. **Journal of Applied Polymer Science**, v. 134, n. 35, p. 45219, 2017. (8302) - Fator de Impacto em 2016: 1,86
- 134 VEGA- CASTILHO, J.; BUVAT, G.; CORBEL, G.; KASSIBA, A.; LACORRE, P.; CANEIRO, A. On the local order of amorphous La<sub>2</sub>Mo<sub>2</sub>O<sub>6</sub>. **Dalton Transactions**, v. 46, n. 22, p. 7273-7283, 2017. (8304) - Fator de Impacto em 2016: 4,029
- 135 MARTINS, H. P.; MOSSANEK, R. J. O.; MARTI, X.; SANCHEZ, F.; FONTCUBERTA, J.; ABBATE, M. Mn 3d bands and Y-O hybridization of hexagonal and orthorhombic YMnO<sub>3</sub> thin films. **Journal of Physics - Condensed Matter**, v. 29, n. 29, p. 295501, 2017. (8308) - Fator de Impacto em 2016: 2,649
- 136 SILVA, I. DE C.; SIGOLI, F. A.; MAZALI, I. O. Reversible oxygen vacancy generation on pure CeO<sub>2</sub> nanorods evaluated by in situ Raman spectroscopy. **Journal of Physical Chemistry C**, v. 121, n. 23, p. 12928-12935, 2017. (8309) - Fator de Impacto em 2016: 4,536
- 137 CORREDOR-BEDOYA, A. C.; ZOPPI, R. A.; SERPA, A. L. Composites of scrap tire rubber particles and adhesive mortar-noise insulation potential. **Cement and Concrete Composites**, v. 82, p. 45-66, 2017. (8317) - Fator de Impacto em 2016: 4,265
- 138 SOUZA, N. R. S.; SILVA, D. C.; SAMPAIO, D. V.; REZENDE, M. V. DOS S.; KUCERA, C.; TROFIMOV, A. A.; JACOBSON, L. G.; BALLATO, J.; SILVA, R. S. Laser sintering of persistent luminescent CaAl<sub>2</sub>O<sub>4</sub>:Eu<sup>2+</sup>+Dy<sup>3+</sup> ceramics. **Optical Materials**, v. 68, p. 2-6, 2017. (8319) - Fator de Impacto em 2016: 2,238
- 139 BRANDT, I. S.; LIMA JR., E.; TUMELERO, M. A.; DA SILVA, D. L.; ZYSLER, R. D.; FACCIO, R.; PASA, A. A. Enhanced defect-mediated ferromagnetism in Cu<sub>2</sub>O by Co doping. **Journal of Magnetism and Magnetic Materials**, v. 441, p. 374-386, 2017. (8320) - Fator de Impacto em 2016: 2,63
- 140 DELLA MEA, G. B.; MATTE, L. P.; THILL, A. S.; LOBATO, F. O.; BENVENUTTI, E. V.; ARENAS, L. T.; JÜRGENSEN, A.; HERGENRÖDER, R.; POLETTO, F. S.; BERNARDI, F. Tuning the oxygen vacancy population of cerium oxide (CeO<sub>2-x</sub>, 0 < x < 0.5) nanoparticles. **Applied Surface Science**, v. 422, p. 1102-1112, 2017. (8323) - Fator de Impacto em 2016: 3,387
- 141 STUTZ, G. E.; OTERO, M.; CEPPI, S.A.; ROBLEDO, C. B.; LUQUE, G.; LEIVA, E.; BARRACO DIAZ, D. E. Intercalation stage dependence of core electronic excitations in Li-intercalated graphite from inelastic X-ray scattering. **Applied Physics Letters**, v. 110, p. 253901, 2017. (8324) - Fator de Impacto em 2016: 3,411
- 142 MOMBRÚ, D.; ROMERO, M.; FACCIO, R.; MOMBRÚ, A. W. From positive to negative magnetoresistance behavior at low applied magnetic fields for polyaniline: titania quantum dot nanocomposites. **Journal of Applied Physics**, v. 121, n. 24, p. 245106, 2017. (8333) - Fator de Impacto em 2016: 2,068

- 143 PESSOA, A. C. S. N.; SIPOLI, C. C.; DE LA TORRE, L. G. Effects of diffusion and mixing pattern on microfluidic-assisted synthesis of chitosan/ATP nanoparticles. **Lab on a Chip**, v. 17, n. 13, p. 2281-2293, 2017. (8336) - Fator de Impacto em 2016: 6,045
- 144 LOPES, O. F.; CARVALHO, K. T. G.; AVANSI JR., W.; RIBEIRO, C. Growth of BiVO<sub>4</sub> nanoparticles on a Bi<sub>2</sub>O<sub>3</sub> surface: effect of heterojunction formation on visible irradiation-driven catalytic performance. **Journal of Physical Chemistry C**, v. 121, n. 25, p.13747-13756, 2017. (8337) - Fator de Impacto em 2016: 4,536
- 145 PUSZKIEL, J. A.; CASTRO RIGLOS, M. V.; RAMALLO-LÓPEZ, J. M.; MIZRAHI, M.; KARIMI, F.; SANTORU, A.; HOELL, A.; VON COLBE, J. B.; GENNARI, F. C.; LAROCLETTE, P. A.; PISTIDDA, C.; KLASSEN, T. A novel catalytic route for hydrogenation-dehydrogenation of 2LiH+MgB<sub>2</sub> via in situ formed core-shell Li<sub>x</sub>TiO<sub>2</sub> nanoparticles. **Journal of Materials Chemistry A**, v. 5, n. 25, p. 12922-12933, 2017. (8338) - Fator de Impacto em 2016: 8,867
- 146 SCUDELLER, L. A.; MAVROPOULOS, E.; TANAKA, M. N.; COSTA, A. M.; BRAGA, C. A. C.; LÓPEZ, E. O.; MELLO, A.; ROSSI, A. M. Effects on insulin adsorption due to zinc and strontium substitution in hydroxyapatite. **Materials Science & Engineering C-Materials for Biological A**, v. 79, p. 802-811, 2017. (8340) - Fator de Impacto em 2016: 4,164
- 147 OLIVEIRA, D. S.; MÖLLER, M.; SAHOO, P. K.; COTTA, M. A.; IIKAWA, F.; MOTISUKE, P.; MOLINA-SÁNCHEZ, A.; LIMA JR., M.M.; GARCÍA-CRISTÓBAL, A.; CANTARERO, A. Fermi energy dependence of the optical emission in core/shell InAs nanowire homostructures. **Nanotechnology**, v. 28, n. 29, p. 295702, 2017. (8341) - Fator de Impacto em 2016: 3,44
- 148 GARG, A.; MILINA, M.; BALL, M.; ZANCHET, D.; HUNT, S. T.; DUMESIC, J. A.; ROMÁN-LESHKOV, Y. Transition-metal nitride core@noble-metal shell nanoparticles as highly CO tolerant catalysts. **Angewandte Chemie. International Edition**, v. 56, n. 30, p. 8828-8833, 2017. (8345) - Fator de Impacto em 2016: 11,994
- 149 MORAIS, A. F.; SILVA, I. G. N.; SREE, S. P.; MELO, F. M. DE; BRITO, H. F.; MARTENS, J. A.; TOMA, H. E.; KIRSCHHOCK, C. E. A.; BREYNAERT, E.; MUSTAFA, D. Hierarchical self-supported ZnAlEu LDH nanotubes hosting luminescent CdTe quantum dots. **Chemical Communications**, v. 53, n. 53, p. 7341-7344, 2017. (8348) - Fator de Impacto em 2016: 6,319
- 150 LICEA, Y. E.; GRAU- CRESPO, R.; PALACIO, L. A.; FARO JR., A. C. Unsupported trimetallic Ni(Co)-Mo-W sulphide catalysts prepared from mixed oxides: characterisation and catalytic tests for simultaneous tetralin HDA and dibenzothiophene HDS reactions. **Catalysis Today**, v. 292, p. 84-96, 2017. (8349) - Fator de Impacto em 2016: 4,636
- 151 SANTOS, E. B.; FERLIN, S.; FOSTIER, A. H.; MAZALI, I. O. Using gold nanoparticles as passive sampler for indoor monitoring of gaseous elemental mercury. **Journal of the Brazilian Chemical Society**, v. 28, n. 7, p. 12741280, 2017. (8350) - Fator de Impacto em 2016: 1,198
- 152 AKHLAGHI, S. P.; LOH, W. Interactions and release of two palmitoyl peptides from phytantriol cubosomes. **European Journal of Pharmaceutics and Biopharmaceutics**, v. 117, p. 60-67, 2017. (8351) - Fator de Impacto em 2016: 4,159
- 153 ROSA, B. L. T.; MARÇAL, L. A. B.; ANDRADE, R. R. DE; PINTO, L. D.; RODRIGUES, W. N.; SOUZA, P. L.; PIRES, M. P.; NUNES, R. W.; MALACHIAS, A. Observation of partial relaxation mechanisms via anisotropic strain relief on epitaxial islands using semiconductor



- nanomembranes. **Nanotechnology**, v. 28, n. 30, p. 305702, 2017. (8355) - Fator de Impacto em 2016: 3,44
- 154 HUERGO, M. A.; GIOVANETTI, L.; MORENO, M. S.; MAIER, C. M.; REQUEJO, F. G.; SALVAREZZA, R. C.; VERICAT, C. New insight into the chemical nature of the plasmonic nanostructures synthesized by the reduction of Au(III) with sulfide species. **Langmuir**, v. 33, n. 27, p. 6785-6793, 2017. (8359) - Fator de Impacto em 2016: 3,833
- 155 MOURÃO, H. A. J. L.; LOPES, O. F.; AVANSI JR., W.; PIRES, M. J. M.; SOUZA, S.; RIBEIRO, C.; MASTELARO, V. R. SrTi<sub>1-y</sub>FeyO<sub>3</sub> samples obtained by hydrothermal method: the effect of the amount of Fe on structural and photocatalytic properties. **Materials Science in Semiconductor Processing**, v. 68, p. 140-146, 2017. (8360) - Fator de Impacto em 2016: 2,359
- 156 GARCIA, A.; VIDA, T. A.; FREITAS, E. S.; CHEUNG, N.; OSÓRIO, W. R. Electrochemical corrosion behavior of As-cast Zn-rich Zn-Mg alloys in a 0.06M NaCl solution. **International Journal of Electrochemical Science**, v. 12, n. 6, p. 5264-5283, 2017. (8361) - Fator de Impacto em 2016: 1,469
- 157 SZOSTAK, R.; CASTRO, J. A. P.; MARQUES, A. S.; NOGUEIRA, A. F. Understanding Perovskite formation through the intramolecular exchange method in ambient conditions. **Journal of Photonics for Energy**, v. 7, n. 2, p. 02202, 2017. (8363) - Fator de Impacto em 2016: 2,287
- 158 FERREIRA, E. S.; SILVA, D. S.; BURGO, T. A. L.; BATISTA, B. C.; GALEMBECK, F. Graphite exfoliation in cellulose solutions. **Nanoscale**, v. 9, n. 29, p. 10219-10226, 2017. (8366) - Fator de Impacto em 2016: 7,367
- 159 BIA, G.; GARCIA, M. G.; BORGNINO, L. Changes in the As solid speciation during weathering of volcanic ashes: a XAS study on patagonian ashes and chacopampean loess. **Geochimica et Cosmochimica Acta**, v. 212, p. 119-132, 2017. (8367) - Fator de Impacto em 2016: 4,609
- 160 MOMBRÚ, D.; ROMERO, M.; FACCIO, R.; MOMBRÚ, A. W. Microstructure evolution, thermal stability and fractal behavior of water vapor flow assisted in situ growth poly(vinylcarbazole)-titania quantum dots nanocomposites. **Journal of Physics and Chemistry of Solids**, v. 111, p. 199-206, 2017. (8372) - Fator de Impacto em 2016: 2,059
- 161 URIBE, B. E. B.; CARVALHO, A. J. F.; ARENAL, R.; TARPANI, J. R.; CHIROMITO, E. M. S. TEMPO-oxidized cellulose nanofibers as interfacial strengthener in continuous-fiber reinforced polymer composites. **Materials & Design**, v. 133, p. 340-348, 2017. (8375) - Fator de Impacto em 2016: 4,364
- 162 VARAS, L. R.; COUTINHO, L. H.; BERNINI, R. B.; BETANCOURT, A. M.; MOURA, C. E. V.; ROCHA, A. B.; SOUZA, G. G. B. DE. Breaking the disulfide chemical bond using high energy photons: the dimethyl disulfide and methyl propyl disulfide molecules. **RSC Advances**, v. 7, n. 58, p. 36525-36532, 2017. (8415) - Fator de Impacto em 2016: 3,108
- 163 BARONI, R. M.; LUO, Z.; DARWICHE, R.; HUDSPETH, E. M.; SCHNEITER, R.; PEREIRA, G. A. G.; MONDEGO, J. M. C.; ASOJO, O. A. Crystal structure of MpPR-1i, a SCP/TAPS protein from *Moniliophthora perniciosa*, the fungus that causes witches' broom disease of cacao. **Scientific Reports**, v. 7, p. 7818, 2017. (8417) - Fator de Impacto em 2016: 4,259
- 164 THYSSEN, V. V.; GEORGETTI, F.; ASSAF, E. M. Influence of MgO content as an additive on the performance of Ni/MgO-SiO<sub>2</sub> catalysts for the steam reforming of glycerol. **International**

- Journal of Hydrogen Energy**, v. 42, n. 27, p. 16979-16990, 2017. (8424) - Fator de Impacto em 2016: 3,582
- 165 GASPAROTTO, G.; COSTA, J. P. C.; COSTA, P. I.; ZAGHETE, M. A.; MAZON, T. Electrochemical immunosensor based on ZnO nanorods-Au nanoparticles nanohybrids for ovarian cancer antigen CA-125 detection. **Materials Science & Engineering C-Materials for Biological A**, v. 76, p. 1240-1247, 2017. (8432) - Fator de Impacto em 2016: 4,164
- 166 BEZERRA, P. C. S.; CAVALCANTE, R. P.; GARCIA, A.; WENDER, H.; MARTINES, M. A. U.; CASAGRANDE, G. A.; GIMÉNEZ, J.; MARCO, P.; OLIVEIRA, S. C.; MACHULEK JR., A. Synthesis, Characterization, and photocatalytic activity of pure and N-, B-, or Ag-doped TiO<sub>2</sub>. **Journal of the Brazilian Chemical Society**, v. 28, n. 9, p. 1788-1802, 2017. (8441) - Fator de Impacto em 2016: 1,198
- 167 PEREZ, A. M.; AQUINO, B.; VIVIANI, V.R.; KOBARG, J. Use of a special brazilian red-light emitting railroad worm luciferase in bioassays of NEK7 protein kinase and creatine kinase. **BMC Biochemistry**, v. 18, p. 12, 2017. (8443) - Fator de Impacto em 2016: 1,481
- 168 COLAUTO, F.; CARMO, D.; DE ANDRADE, A. M. H.; OLIVEIRA, A. A. M.; ORTIZ, W. A.; JOHANSEN, T. H. Anisotropic thermomagnetic avalanche activity in field-cooled superconducting films. **Physical Review B**, v. 96, n. 6, p. 060506, 2017. (8445) - Fator de Impacto em 2016: 3,836
- 169 THAPA, A.; SOARES, A. C.; SOARES, J. C.; AWAN, I. T.; VOLPATI, D.; MELENDEZ, M. E.; FREGNANI, J. H. T. G.; CARVALHO, A. L.; OLIVEIRA JR., O. N. Carbon nanotube matrix for highly sensitive biosensors to detect pancreatic cancer biomarker CA19-9. **ACS Applied Materials & Interfaces**, v. 9, n. 31, p. 25878-25886, 2017. (8446) - Fator de Impacto em 2016: 7,504
- 170 GUEDES, E. B.; MARTINS, H. P.; ABBATE, M.; MASUNAGA, S. H.; RAMIREZ, F. E. N.; JARDIM, R. F.; MOSSANEK, R. J. O. Magnetic properties, X-ray absorption spectroscopy and electronic structure of GdCrTiO<sub>5</sub>. **Journal of Alloys and Compounds**, v. 724, p. 67-73, 2017. (8450) - Fator de Impacto em 2016: 3,133
- 171 MARINHO, R. R. T.; WALZ, M.-M.; EKHOLM, V.; ÖHRWALL, G.; BJÖRNEHOLM, O.; NAVES DE BRITO, A. Ethanol solvation in water studied on a molecular scale by photoelectron spectroscopy. **Journal of Physical Chemistry C**, v. 121, n. 33, p. 7916-7923, 2017. (8468) - Fator de Impacto em 2016: 4,536
- 172 ALMEIDA, D. S.; SANTOS, R. S.; ANJOS, M. J. DOS; FERREIRA, S. T.; SOUZA, A. S. DE; LOPES, R. T. Multielement concentration analysis of swiss mice brains on experimental model of Alzheimer's disease induced by beta-amyloid oligomers. **X-Ray Spectrometry**, v. 46, n. 5, p. 397-402, 2017. (8471) - Fator de Impacto em 2016: 1,298
- 173 RAYMUNDO-PEREIRA, P. A.; CAMPOS, A. M.; MENDONÇA, C. D.; CALEGARO, M. L.; MACHADO, S. A. S.; OLIVEIRA JR., O. N. Printex 6L carbon nanoballs used in electrochemical sensors for simultaneous detection of emerging pollutants hydroquinone and paracetamol. **Sensors and Actuators B**, v. 252, p. 165-174, 2017. (8476) - Fator de Impacto em 2016: 5,401
- 174 KOGIKOSKI JR., S.; KHANRA, S.; ALVES, W. A.; GUHA, S. SERS active self-assembled diphenylalanine micro/nanostructures: a combined experimental and theoretical investigation. **Journal of Chemical Physics**, v. 147, n. 8, p. 084703, 2017. (8478) - Fator de Impacto em 2016: 2,965

- 175 MOURA, A. N.; FAVARATO, L. N. O.; ITMAN FILHO, A.; ALCANTARA, C. M.; CUNHA, M. A.; OLIVEIRA, T. R.; MACHADO, M. L. P. Study of the recrystallization and crystallographic texture evolution during final annealing of UNS 532304 lean duplex stainless steel. **Materials Characterization**, v. 130, p. 39-49, 2017. (8480) - Fator de Impacto em 2016: 2,714
- 176 RAMANITRA, H. H.; BREGADIOLLI, B. A.; FERREIRA, R. M.; CORCOLES, L.; GOMES, M. S.; KANG, L.; COMBE, C. M. S.; SILVA, H. S.; LAVARDA, F. C.; BÉGUÉ, D.; DAGRON-LARTIGAU, C.; ROCCO, M. L. M.; LUSCOMBE, C. K.; OLIVATI, C. A.; GRAEFF, C. F. O.; HIORNS, R. C. Towards the synthesis of poly(azafulleroid)s: main chain fullerene oligomers for organic photovoltaic devices. **Polymer International**, v. 66, n. 10, p. 1364-1371, 2017. (8482) - Fator de Impacto em 2016: 2,07
- 177 ROCHA, K. M. J.; LEITÃO, R. G.; OLIVEIRA-BARROS, E. G.; OLIVEIRA, M. A.; CANELLAS, C. G. L.; ANJOS, M. J. DOS; NASCIUTTI, L. E.; LOPES, R. T. Zinc distribution in human prostate carcinoma cell line using synchrotron X-ray microfluorescence. **X-Ray Spectrometry**, v.46, n. 5, p. 403-411, 2017. (8483) - Fator de Impacto em 2016: 1,298
- 178 BARRIOS, A. M.; TELES, C. A.; SOUZA, P. M.; RABELO NETO, R. C.; JACOBS, G.; DAVIS, B. H.; BORGES, L. E. P.; NORONHA, F. B. Hydrodeoxygenation of phenol over pd catalysts. effect of support on reaction mechanism and catalyst. **Catalysis Today**, v. 7, n. 3, p. 2058-2073, 2017. (8484) - Fator de Impacto em 2016: 4,636
- 179 BROGNARO, H.; ALMEIDA, VI. ME.; ARAÚJO, E. A.; PIYADOV, V.; SANTOS, M. A. M.; MARANA, S, R.; POLIKARPOV, I. Biochemical characterization and low-resolution SAXS molecular envelope of GH1 beta-Glycosidase from *Saccharophagus degradans*. **Molecular Biotechnology**, v. 58, n. 12, p. 777-788, 2017. (8485) - Fator de Impacto em 2016: 1,634
- 180 BILOVOL, V.; GIL REBAZA, A. V.; NAVARRO, A. M. M.; ERRICO, L. A.; FONTANA, M.; ARCONDO, B. Indium local geometry in In-Sb-Te thin films using XANES and DFT calculations. **Applied Surface Science**, v. 425, p.1066-1073, 2017. (8496) - Fator de Impacto em 2016: 3,387
- 181 RASTEIRO, L. F.; VIEIRA, L. H.; POSSATO, L. G.; PULCINELLI, S. H.; SANTILLI, C. V.; MARTINS, M. Hydrothermal synthesis of Mo-V mixed oxides possessing several crystalline phases and their performance in the catalytic oxydehydration of glycerol to acrylic acid. **Catalysis Today**, v. 296, p. 10-18, 2017. (8497) - Fator de Impacto em 2016: 4,636
- 182 PUSTERLA, J. M.; SCHNECK, E.; FUNARI, S. S.; DÉMÉ, B.; TANAKA, M.; OLIVEIRA, R. G. Cooling induces phase separation in membranes derived from isolated CNS myelin. **PloS One**, v. 12, n. 9, p. 0184881. (8500) - Fator de Impacto em 2016: 2,806
- 183 ASSIS, B. M.; SILVA, L. A. F.; LIMA, C. R. O.; SANT'ANA, F. J. F. DE; SANTOS, G. P.; VULCANI, V. A. S.; RABELO, R. E. Microtomographic parameters and nanoindentation of the hoof of girolando cattle. **Anatomia Histologia Embryologia**, v. 46, n. 5, p. 456-463, 2017. (8503) - Fator de Impacto em 2016: 0,683
- 184 ARIAS, S.; LICEA, Y. E.; SOARES, D.; EON, J. G.; PALACIO, L. A.; FARO JR., A. C. Mixed NiMo, NiW and NiMoW sulfides obtained from layered double hydroxides as catalysts in simultaneous HDA and HDS reactions. **Catalysis Today**, v. 296, p. 187-196, 2017. (8504) - Fator de Impacto em 2016: 4,636
- 185 BUENO, J. M. C.; MIZUNO, S. C. M.; BRAGA, A. H.; HORI, C. E.; SANTOS, J. B. O. Steam reforming of acetic acid over MgAl<sub>2</sub>O<sub>4</sub>-supported Co and Ni catalysts: effect of the composition of Ni/Co and reactants on reaction pathways. **Catalysis Today**, v. 296, p. 144-153, 2017. (8508) - Fator de Impacto em 2016: 4,636

- 186 FONSECA-SANTOS, B.; SATAKE, C. Y.; CALIXTO, G. M. F.; SANTOS, A. M.; CHORILLI, M. Trans-veratrol-loaded nonionic lamellar liquid-crystalline systems: structural, rheological, mechanical, textural, and bioadhesive characterization and evaluation of in vivo anti-inflammatory activity. **International Journal of Nanomedicine**, v. 12, p. 6883-6893, 2017. (8509) - Fator de Impacto em 2016: 4,3
- 187 BATTAGLIN, F. A. D.; PRADO, E. S.; CASELI, L.; SILVA, T. F.; TABACNIKS, M. H.; CRUZ, N. C.; RANGEL, E. C. Films Deposited from reactive sputtering of aluminum acetylacetonate under low energy ion bombardment. **Materials Research-Ibero-American Journal of Materials**, v. 20, n. 4, p. 926-936, 2017. (8514) - Fator de Impacto em 2016: 0,634
- 188 BOTT-NETO, J. L.; BECK JR., W.; VARANDA, L. C.; TICIANELLI, E. A. Electrocatalytic activity of platinum nanoparticles supported on different phases of tungsten carbides for the oxygen reduction reaction. **International Journal of Hydrogen Energy**, v. 2, n. 32, p. 20677-20688, 2017. (8522) - Fator de Impacto em 2016: 3,582
- 189 MASTEGHIN, M. G.; BERTINOTTI, R. C.; ORLANDI, M. O. High-performance and low-voltage SnO<sub>2</sub>-based varistors. **Ceramics International**, v. 43, n. 16, p. 13759-13764, 2017. (8523) - Fator de Impacto em 2016: 2,986
- 190 GONZALEZ, E. D.; AFONSO, C. R. M.; NASCENTE, P. A. P. Influence of Nb content on the structure, morphology, nanostructure, and properties of titanium-niobium magnetron sputter deposited coatings for biomedical applications. **Surface & Coatings Technology**, v. 326, p. 424-428, 2017. (8525) - Fator de Impacto em 2016: 2,589
- 191 MELLO, M. G.; TAIPINA, M. O.; RABELO, G.; CREMASCO, A.; CARAM JR., R. Production and characterization of TiO<sub>2</sub> nanotubes on Ti-Nb-Mo-Sn system for biomedical applications. **Surface & Coatings Technology**, v. 326, p. 126-133, 2017. (8527) - Fator de Impacto em 2016: 2,589
- 192 ANGIOLINI, J. F.; STORTZ, M.; STEINBERG, P. Y.; MOCSKOZ, E.; BRUNO, L.; SOLER-ILLIA, G. J. A. A.; ANGELOMÉ, P. C.; WOLOSUIK, A.; LEVI, V. Diffusion of single dye molecules in hydrated TiO<sub>2</sub> mesoporous films. **Physical Chemistry Chemical Physics (PCCP)**, v. 19, n. 39, p. 26540-26544, 2017. (8546) - Fator de Impacto em 2016: 4,123
- 193 DOS SANTOS, F. R.; DE ALMEIDA, E.; KEMERICH, P. D. DA C.; MELQUIADES, F. L. Evaluation of metal release from battery and electronic components in soil using SR-TXRF and EDXRF. **X-Ray Spectrometry**, v. 46, n. 6, p. 512-521, 2017. (8548) - Fator de Impacto em 2016: 1,298
- 194 DELL'ERBA, I. E.; MARTINEZ, F. D.; HOPPE, C. E.; ELICABE, G. E.; CEOLÍN, M. R.; ZUCCHI, I. A.; SCHROEDER, W. F. Mechanism of particle formation in silver/epoxy nanocomposites obtained through a visible-light-assisted in situ synthesis. **Langmuir**, v. 33, n. 39, p. 10248-10258, 2017. (8552) - Fator de Impacto em 2016: 3,833
- 195 RIBEIRO, M. C. C.; FARIA, L. F. O.; LIMA, T. A. Phase Transitions of the Ionic Liquid [C(2)C(1)im][NTf<sub>2</sub>] under high pressure: a synchrotron X-ray diffraction and Raman microscopy study. **Crystal Growth & Design**, v. 17, n. 10, p. 5384-5392, 2017. (8561) - Fator de Impacto em 2016: 4,055
- 196 LEANI, J. J.; ROBLEDO, J. I.; SÁNCHEZ, H. J. Quantitative speciation of manganese oxide mixtures by RIXS/RRS spectroscopy. **X-Ray Spectrometry**, v.46, n. 6, p. 507-511, 2017. (8563) - Fator de Impacto em 2016: 1,298

- 197 MIEDZINSKI, R.; FUKS-JANCZAREK, I.; KASSAB, L. R. P.; BOMFIM, F. A. Second and third-order nonlinear optical properties of Er<sup>3+</sup>/Yb<sup>3+</sup> doped PbO-GeO<sub>2</sub>-Ga<sub>2</sub>O<sub>3</sub> glasses with Au nanoparticles. **Materials Research Bulletin**, v. 95, p. 339-348, 2017. (8576) - Fator de Impacto em 2016: 2,446
- 198 ASSUMPCÃO, T. A. A. DE; CAMILO, M. E.; ALAYO, M. I.; SILVA, D. M.; KASSAB, L. R. P. Influence of gold nanoparticles on the 805 nm gain in Tm<sup>3+</sup>/Yb<sup>3+</sup> codoped PbO-GeO<sub>2</sub> pedestal waveguides. **Optical Materials**, v. 72, p. 518-523, 2017. (8578) - Fator de Impacto em 2016: 2,238
- 199 SOUZA, M. I.; PRIETO, T.; RODRIGUES, T.; FERREIRA, F. F.; NASCIMENTO, F. B.; RIBEIRO, A. O.; SILVA, E. R.; GIUNTINI, F.; ALVES, W. A. Conjugation with L, L-diphenylalanine self-assemblies enhances in vitro antitumor activity of phthalocyanine photosensitizer. **Scientific Reports**, v. 7, p. 13166, 2017. (8580) - Fator de Impacto em 2016: 4,259
- 200 SILVA, C. G. A.; BOTTOLI, C. B. G.; COLLINS, C. H. 3-Dimensional X-ray microtomography methodology for characterization of monolithic stationary phases and columns for capillary liquid chromatography - A tutorial. **Analytical Chemistry**, v. 991, p. 30-45, 2017. (8585) - Fator de Impacto em 2016: 6,32
- 201 GARCIA-FLORES, A. F.; MATIAS, J. S.; GARCIA, D. J.; MARTINEZ, E. D.; CORNAGLIA, P. S.; LESSEUX, G. G.; RIBEIRO, R. A.; URBANO, R. R.; RETTORI, C. Crystal-field effects in Er<sup>3+</sup>- and Yb<sup>3+</sup>-doped hexagonal NaYF<sub>4</sub> nanoparticles. **Physical Review B**, v. 96, n. 16, p. 165430, 2017. (8593) - Fator de Impacto em 2016: 3,836
- 202 JAEGGER, C.; NEGRÃO, F.; ASSIS, D. M.; BELAZ, K. R. A.; ANGOLINI, C. F. F.; FERNANDES, A. M. A. P.; SANTOS, V. G.; PIMENTEL, A.; ABÁNADES, D. R.; GIORGIO, S.; EBERLIN, M. N.; ROCHA, D. F. O. MALDI MS imaging investigation of the host response to visceral leishmaniasis. **Molecular BioSystems**, v. 13, n. 10, p. 1946-1953, 2017. (8596) - Fator de Impacto em 2016: 2,781
- 203 SARAIVA, C. S.; COIMBRA, J. S. DOS R.; TEIXEIRA, A. V. N. C.; OLIVEIRA, E. B. DE; TEÓFILO, R. F.; COSTA, A. R.; BARBOSA, E. A. A. Formation and characterization of supramolecular structures of beta-lactoglobulin and lactoferrin proteins. **Food Research International**, v. 100, n. 1, p. 674-681, 2017. (8599) - Fator de Impacto em 2016: 3,086
- 204 PIAZZA, R. D.; NUNES, E. DA S.; VIALI, W. R.; DA SILVA, S. W.; ARAGÓN, F. H.; COAQUIRA, J. A. H.; MORAIS, P. C.; MARQUES, R. F. C.; JAFELICCI JR., M. Magnetic nanohydrogel obtained by miniemulsion polymerization of poly (acrylic acid) grafted onto derivatized dextran. **Carbohydrate Polymers**, v. 178, p. 378-385, 2017. (8600) - Fator de Impacto em 2016: 4,811
- 205 REÁTEGUI, J. L. P.; BARRALES, F. M.; REZENDE, C. A.; QUEIROGA, C. L.; MARTINEZ, J. Production of Copaiba oleoresin particles from emulsions stabilized with modified starches. **Industrial Crops and Products**, v.108, p. 128-139, 2017. (8603) - Fator de Impacto em 2016: 3,181
- 206 CAMPO, K. N.; LOPES, E. S. N.; PARRISH, C. J.; CARAM JR., R. Rapid quenching of semisolid Ti-Cu alloys: insights into globular microstructure formation and coarsening. **Acta Materialia**, v. 139, p. 86-95, 2017. (8604) - Fator de Impacto em 2016: 5,301
- 207 ALKIMIM, I. P.; SILVA, L. L.; CARDOSO, D. Synthesis of hybrid spherical silicas and application in catalytic transesterification reaction. **Microporous and Mesoporous Materials**, v. 254, p. 37-44, 2017. (8607) - Fator de Impacto em 2016: 3,615

- 208 LIONELLO, D. F.; STEINBERG, P. Y.; ZALDUENDO, M. M.; SOLER-ILLIA, G. J. A. A.; ANGELOMÉ, P. C.; FUERTES, M. C. Structural and mechanical evolution of mesoporous films with thermal treatment: the case of Brij 58 templated titania. **Journal of Physical Chemistry C**, v. 121, n. 40, p. 22576-22586, 2017. (8609) - Fator de Impacto em 2016: 4,536
- 209 VIEIRA, E. A.; CENTENO, D. C.; FRESCHI, L.; SILVA, E. A.; BRAGA, M. R. The dual strategy of the bromeliad *Pitcairnia burchellii* Mez to cope with desiccation. **Environmental and Experimental Botany**, v. 143, p. 135-148, 2017. (8611) - Fator de Impacto em 2016: 4,369
- 210 ZALDIVAR, M. P.; SANTILLI, C. V.; COVAS, C. A. P.; PULCINELLI, S. H. Thermal properties, nanoscopic structure and swelling behavior of chitosan/(ureasil-polyethylene oxide hybrid) blends. **Journal of Thermal Analysis and Calorimetry**, v. 130, n. 2, p. 791-798, 2017. (8612) - Fator de Impacto em 2016: 1,953
- 211 CAETANO-SILVA, M. E.; ALVES, R.; LUCENA, G. N.; FREM, R.C.G.; BERTOLDO-PACHECO, M. T.; LIMA-PALLONE, J. A.; MARIA NETTO, F. Synthesis of whey peptide-iron complexes: influence of using different iron precursor compounds. **Food Research International**, v.101, p. 73-81, 2017. (8615) - Fator de Impacto em 2016: 3,086
- 212 CRUZ, F. T.; CARDOSO, D. Catalytic transesterification using a silica hybrid containing encapsulated polyacrylates. **Applied Catalysis A**, v. 548, p. 83-88, 2017. (8617) - Fator de Impacto em 2016: 4,339
- 213 LIMA, B. C.; GÓMEZ-MALAGÓN, L. A.; GOMES, A. S. L.; GARCIA, J. A. M.; KASSAB, L. R. P. Plasmon-assisted efficiency enhancement of Eu<sup>3+</sup>-doped tellurite glass-covered solar cells. **Journal of Electronic Materials**, v. 46, n. 12, p. 6750-6755, 2017. (8622) - Fator de Impacto em 2016: 1,579
- 214 PAZ, D. S.; DAMYANOVA, S.; BORGES, L. R.; SANTOS, J. B. O.; BUENO, J. M. C. Identifying the adsorbed active intermediates on Pt surface and promotion of activity through the redox CeO<sub>2</sub> in preferential oxidation of CO in H<sub>2</sub>. **Applied Catalysis A**, v. 548, p. 164-178, 2017. (8626) - Fator de Impacto em 2016: 4,339
- 215 GIULIAN, R.; SALAZAR, J. B.; MANZO, D. J.; ANDRADE, A. M. H.; SCHOFFEN, J. R.; BERNARDI, F.; BAPTISTA, D. L.; FICHTNER, P. F. P. Ion irradiation-induced polycrystalline InSb foam. **Journal of Physics D-Applied Physics**, v. 50, n. 48, p. 485104, 2017. (8627) - Fator de Impacto em 2016: 2,588
- 216 FARIA, L. F. O.; PASCHOAL, V. H.; LIMA, T. A.; FERREIRA, F. F.; FREITAS, R. S.; RIBEIRO, M. C. C. Local Order disorder transition driving by structural heterogeneity in a benzyl functionalized ionic liquid. **Journal of Physical Chemistry B**, v. 121, n. 42 p. 9902-9909, 2017. (8630) - Fator de Impacto em 2016: 3,177
- 217 GOMES, C. G.; BORGHI, F. F.; OSPINA, R. O.; LÓPEZ, E. O.; BORGES, F. O.; MELLO, A. Nd:YAG (532 nm) pulsed laser deposition produces crystalline hydroxyapatite thin coatings at room temperature. **Surface & Coatings Technology**, v. 329, p. 174-183, 2017. (8635) - Fator de Impacto em 2016: 2,589
- 218 TSCHIPTSCHIN, A. P.; NISHIKAWA, A. S.; VARELA, L. B.; PINEDO, C. E. Thermal stability of expanded austenite formed on a DC plasma nitrided 316L austenitic stainless steel. **Thin Solid Films**, v. 644, p. 156-165, 2017. (8646) - Fator de Impacto em 2016: 1,879

- 219 MARTINS, A. J.; CERQUEIRA, M. A.; CUNHA, R. L.; VICENTE, A. A. Fortified beeswax oleogels: effect of beta-carotene on the gel structure and oxidative stability. **Food & Function**, v. 8, n. 11, p. 4241-4250, 2017. (8654) - Fator de Impacto em 2016: 3,247
- 220 SEPTIMIO, R. S.; COSTA, T. A.; VIDA, T. A.; GARCIA, AM.; CHEUNG, N. Interrelationship of thermal parameters, microstructure and microhardness of directionally solidified Bi-Zn solder alloys. **Microelectronics Reliability**, v. 78, p. 100-110, 2017. (8656) - Fator de Impacto em 2016: 4
- 221 MOURA, K. O.; PIROTA, K. R.; BÉRON, F.; JESUS, C. B. R.; ROSA, P. F. S.; TOBIA, D.; PAGLIUSO, P. G.; DE LIMA, O. F. Superconducting properties in arrays of nanostructured beta-Gallium. **Scientific Reports**, v. 7, p. 15306, 2017. (8660) - Fator de Impacto em 2016: 4,259
- 222 MOREA, E. G. O.; VIVIESCAS, M. A.; FERNANDES, C. A. H.; MATIOLI, F. F.; LIRA, C. B. B.; FERNANDEZ, M. F.; MORAES, B. S.; SILVA, M. S. DA; STORTI, C. B.; FONTES, M. R. DE M.; CANO, M. I. N. A calmodulin-like protein (LCALA) is a new *Leishmania amazonensis* candidate for telomere end-binding protein. **Biochimica et Biophysica Acta. General Subjects**, v. 1861, n. 11, p. 2583-2597, 2017. (8674) - Fator de Impacto em 2016: 4,702
- 223 PASQUEVICH, M. Y.; DREON, M. S.; QIU, J.-W.; MU, H.; HERAS, H. Convergent evolution of plant and animal embryo defences by hyperstable non-digestible storage proteins. **Scientific Reports**, v. 7, p. 15848, 2017. (8677) - Fator de Impacto em 2016: 4,259
- 224 PAIVA, M. M.; KIMURA, E. T.; COLTRI, P. P. miR18a and miR19a recruit specific proteins for splicing in thyroid cancer cells. **Cancer Genomics & Proteomics**, v. 14, n. 5, p. 373-381, 2017. (8678) - Fator de Impacto em 2016: 1,892
- 225 SANTOS, E. B.; MOHER, P.; FERLIN, S.; FOSTIER, A. H.; MAZALI, I. O.; BROLO, A. G. Proof of concept for a passive sampler for monitoring of gaseous elemental mercury in artisanal gold mining. **Scientific Reports**, v. 7, p. 16513, 2017. (8679) - Fator de Impacto em 2016: 4,259
- 226 LÓPEZ, E. O.; BORGES, F. O.; ROSSI, A. M.; GALVÃO, R. M. O.; MELLO, A. The role of lower hybrid resonance and helicon waves excitations in a magnetized plasma for coating production of complex crystalline structures as hydroxyapatite. **Vacuum**, v. 146, p. 233-245, 2017. (8682) - Fator de Impacto em 2016: 1,53
- 227 COLZATO, M.; KAMOGAWA, M. Y.; CARVALHO, H. W. P.; ALLEONI, L. R.; HESTERBERG, D. Temporal changes in cadmium speciation in brazilian soils evaluated using Cd L-III-Edge XANES and chemical fractionation. **Journal of Environmental Quality**, v. 46, n. 6, p. 1206-1214, 2017. (8684) - Fator de Impacto em 2016: 2,344
- 228 THILL, A. S.; KILIAN, A. S.; BERNARDI, F. Key role played by metallic nanoparticles on the ceria reduction. **Journal of Physical Chemistry C**, v. 121, n. 45, p. 25323-25332, 2017. (8685) - Fator de Impacto em 2016: 4,536
- 229 ARAGÓN, F. H.; AQUINO, J. C. R.; RAMOS, J. E.; COAQUIRA, J. A. H.; GONZALEZ, I.; MACEDO, W. A. A.; SILVA, S. W.; MORAIS, P. C. Fe-doping effects on the structural, vibrational, magnetic, and electronic properties of ceria nanoparticles. **Journal of Applied Physics**, v. 122, n. 20, p. 204302, 2017. (8687) - Fator de Impacto em 2016: 2,068
- 230 BOITA, J.; NICOLAO, L.; ALVES, M. C. M.; MORAIS, J. DE. Controlled growth of metallic copper nanoparticles. **New Journal of Chemistry**, v. 41, n. 23, p. 14478-14485, 2017. (8688) - Fator de Impacto em 2016: 3,269

- 231 MACHADO, A. T.P.; FONSECA, E. M. B.; REIS, M. A.; SARAIVA, A. M.; SANTOS, C. A.; TOLEDO, M. A. S.; POLIKARPOV, I.; SOUZA, A. P.; APARICIO, R.; IULEK, J. Conformational variability of the stationary phase survival protein E from *Xylella fastidiosa* revealed by X-ray crystallography, small-angle X-ray scattering studies, and normal mode analysis. **Proteins-Structure Function and Bioinformatics**, v. 85, n. 10, p. 1931-1943, 2017. (8698) - Fator de Impacto em 2016: 2,289
- 232 PIRANI, L. S. R.; DELLA VÉDOVA, C. O.; GERONÉS, M.; ROMANO, R. M.; CAVASSO-FILHO, R. L.; GE, M.; MA, C.; ERBEN, M. F. Electronic properties and dissociative photoionization of thiocyanates, part III. The effect of the group's electronegativity in the valence and shallow-core (sulfur and chlorine 2p) regions of CCl<sub>3</sub>SCN and CCl<sub>2</sub>FSCN. **Journal of Physical Chemistry A**, v. 121, n. 48, p. 9201-9210, 2017. (8699) - Fator de Impacto em 2016: 2,847
- 233 DEGENHARDT, H. F.; KELLERMANN, G.; CRAIEVICH, A. F. Melting and freezing temperatures of confined Bi nanoparticles over a wide size range. **Journal of Applied Crystallography**, v. 50, n. 6, p. 1590-1600, 2017. (8701) - Fator de Impacto em 2016: 2,495
- 234 MARÇAL, L. A. B.; MAZZONI, M. S. C.; COELHO, L. N.; MAREGA JR., E.; SALAMO, G. J.; MAGALHÃES-PANIAGO, R.; MALACHIAS, A. Quantitative measurement of manganese incorporation into (In, Mn) As islands by resonant X-ray scattering. **Physical Review B**, v. 96, n. 24, p. 245301, 2017. (8704) - Fator de Impacto em 2016: 3,836
- 235 CRUZ, T. N. M. DA; SAVASSA, S. M.; GOMES, H. F.; RODRIGUES, E. S.; DURAN, N. M.; ALMEIDA, E.; MARTINELLI, A. P.; CARVALHO, H. W. P. Shedding light on the mechanisms of absorption and transport of ZnO nanoparticles by plants via in vivo X-ray spectroscopy. **Environmental Science-Nano**, v. 4, n. 12, p. 2367-2376, 2017. (8707) - Fator de Impacto em 2016: 6,047
- 236 GALDINO, N. M.; BREHM, G. S.; BUSSAMARA, R.; GONÇALVES, W. D. G.; ABARCA, G.; SCHOLTEN, J. D. Sputtering deposition of gold nanoparticles onto graphene oxide functionalized with ionic liquids: biosensor materials for cholesterol detection. **Journal of Materials Chemistry B**, v. 5, n. 8, p. 9482-9486, 2017. (8709) - Fator de Impacto em 2016: 4,543
- 237 SILVA JR., S. M. DA; STIENS, J.; MOSHKALEV, S. A.; SWART, J. W.; MATVEJEV, V.; ZHANG Y.; DE TANDT, C. Subterahertz sensor in microfluidic devices for on-line determination and control of ethanol concentration. **Journal of Vacuum Science & Technology B**, v. 35, n. 6, p. 06GA02, 2017. (8710) - Fator de Impacto em 2016: 1,573
- 238 TANCREDI, P.; ROJAS, P. C. R.; MOSCOSO- LONDOÑO, O.; WOLFF, U.; NEU, V.; DAMM, C.; RELLINGHAUS, B.; KNOBEL, M.; SOCOLOVSKY, L. M. Synthesis process, size and composition effects of spherical Fe<sub>3</sub>O<sub>4</sub> and FeO@Fe<sub>3</sub>O<sub>4</sub> core/shell nanoparticles. **New Journal of Chemistry**, v. 41, n. 24, p. 15033-15041, 2017. (8712) - Fator de Impacto em 2016: 3,269
- 239 PONTES, L. G.; CAVASSAN, N. R. V.; BARROS, L. C. DE; FERREIRA JR., R. S. ; BARRAVIERA, B.; SANTOS, L. D. Plasma proteome of buffaloes. **Proteomics Clinical Applications**, v.11, n. 9-10, p. 1600138, 2017. (8713) - Fator de Impacto em 2016: 3,814



## 2017 - Artigo em Periódico Indexado - Interna

1. GAAL, G.; MENDES, M.; ALMEIDA, T. P.; PIAZZETTA, M. H. O.; GOBBI, A. L.; RODRIGUES, V.; RIUL JR., A. Simplified fabrication of integrated microfluidic devices using fused deposition modeling 3D printing. **Sensors and Actuators B**, v. 242, p. 35-40, 2017. (7736) - Fator de Impacto em 2016: 5,401
2. BISPO, G. F. C.; ANDRADE, A. B.; BEZERRA, C. S.; TEIXEIRA, V. C.; GALANTE, D.; VALERIO, M. E. G. Luminescence in undoped CaYAl<sub>3</sub>O<sub>7</sub> produced via the Pechini method. **Physica B - Condensed Matter**, v. 507, p. 119-130, 2017. (7764) - Fator de Impacto em 2016: 1,386
3. MARTINS, L. E.; PAES LEME, A. F.; KANTOVITZ, K. R.; SALLUM, E. A.; CASATI, M. Z.; NOCITI JR., F. H. Leucine-rich amelogenin peptide (LRAP) Uptake by cementoblast requires flotillin-1 mediated endocytosis. **Journal of Cellular Physiology**, v. 232, n. 3, p. 556-565, 2017. (7794) - Fator de Impacto em 2016: 4,08
4. SANTOS, M. G.; TAVARES, I. M. C.; BARBOSA, A. F.; BETTINI, J.; FIGUEIREDO, E. C. Analysis of tricyclic antidepressants in human plasma using online restricted access molecularly imprinted solid phase extraction followed by direct mass spectrometry identification/quantification. **Talanta**, v. 163, p. 8-16, 2017. (7803) - Fator de Impacto em 2016: 4,162
5. BAQUÉ, L.; SOLDATI, A. L.; TEIXEIRA-NETO, E.; TROIANI, H. E.; SCHREIBER, A.; SERQUIS, A. Degradation of oxygen reduction reaction kinetics in porous La<sub>0.6</sub>Sr<sub>0.4</sub>Co<sub>0.2</sub>Fe<sub>0.8</sub>O<sub>3-δ</sub> cathodes due to aging-induced changes in surface chemistry. **Journal of Power Sources**, v. 337, p. 166-172, 2017. (7806) - Fator de Impacto em 2016: 6,395
6. CANEPPELE, G. L.; ALMEIDA, T. S.; ZANATA, C. R.; TEIXEIRA-NETO, E.; FERNÁNDEZ, P. S.; CAMARA, G. A.; MARTINS, C. A. Exponential improving in the activity of Pt/C nanoparticles towards glycerol electrooxidation by Sb ad-atoms deposition. **Applied Catalysis B-Environmental**, v. 200, p. 114-120, 2017. (7807) - Fator de Impacto em 2016: 9,446
7. SILVA, M. J. DA; FRANCO, H. C. J.; MAGALHÃES, P. S. G. Liquid fertilizer application to ratoon cane using a soil punching method. **Soil & Tillage Research**, v. 165, p. 279-285, 2017. (7808) - Fator de Impacto em 2016: 3,401
8. ZAMIRI, M.; ANWAR, F.; KLEIN, B. A.; RASOULOF, A.; DAWSON, N. M.; SCHULER-SANDY, T.; DENEKE, C.; FERREIRA, S. O.; CAVALLO, F. Antimonide-based membranes synthesis integration and strain engineering. **Proceedings of the National Academy of Sciences USA**, v. 114, n. 1, p. E1-E8, 2017. (7909) - Fator de Impacto em 2016: 9,661
9. KAWAHARA, R.; GRANATO, D. C.; YOKOO, S.; DOMINGUES, R. R.; TRINDADE, D. M.; PAES LEME, A. F. Mass spectrometry-based proteomics revealed Glypican-1 as a novel ADAM17 substrate. **Journal of Proteomics**, v. 151, p. 53-65, 2016. (7911) - Fator de Impacto em 2016: 3,914
10. TAVARES, R.; WAJNBERG, G.; SCHERER, N. M.; PAULETTI, B. A.; CASSOLI, J. S.; FERREIRA, C. G.; PAES LEME, A. F.; ARAUJO-SOUZA, P. S.; MARTINS-DE-SOUZA, D.; PASSETTI, F. Unveiling alternative splice diversity from human oligodendrocyte proteome data. **Journal of Proteomics**, v. 151, p. 293-301, 2017. (7918) - Fator de Impacto em 2016: 3,914

11. VELLO, T. P.; SILVA, L. M. B. DA; SILVA, G. O.; CAMARGO, D. H. S.; CORRÊA, C. C.; BOF BUFON, C. C. Hybrid organic/inorganic interfaces as reversible label-free platform for direct monitoring of biochemical interactions. **Biosensors & Bioelectronics**, v. 87, p.209-215, 2017. (7925) - Fator de Impacto em 2016: 7,78
12. MUCÉDOLA, V.; VIEIRA, L. C. S.; PIERONE, D.; GOBBI, A. L.; POPPI, R. J.; HANTAO, L. W. Thermal desorption modulation for comprehensive two-dimensional gas chromatography using a simple and inexpensive segmented-loop fluidic interface. **Talanta**, v. 164, p. 470-476, 2017. (7927) - Fator de Impacto em 2016: 4,162
13. SHIROMA, L. S.; OLIVEIRA, A. F.; LOBO JR, E. O.; COLTRO, W. K. T.; GOBBI, A. L.; DE LA TORRE, L. G.; LIMA, R. S. High adhesion strength and hybrid irreversible/reversible full-PDMS microfluidic chips. **Analytica Chimica Acta**, v. 951, p. 116-123, 2017. (7928) - Fator de Impacto em 2016: 4,95
14. LOBO JR., E. O.; GABRIEL, E. F. M.; SANTOS, R. A.; SOUZA, F. R. DE; LOPES, W. D.; LIMA, R. S.; GOBBI, A. L.; COLTRO, W. K. T. Simple, rapid and, cost-effective fabrication of PDMS electrophoresis microchips using poly (vinyl acetate) as photoresist master. **Electrophoresis**, v. 38, n. 2, p. 250-257, 2017. (7930) - Fator de Impacto em 2016: 2,744
15. GLYNN, C.; JONES, K.-M.; MOGILI, N. V. V.; MCSWEENEY, W.; O'DWYER, C. The nature of silicon nanowire roughness and thermal conductivity suppression by phonon scattering mechanisms. **ECS Journal of Solid State Science and Technology**, v. 6, n. 3, p. N3029-N3035, 2017. (7931) - Fator de Impacto em 2016: 1,787
16. ELIAS, W. C.; SIGNORI, A. M.; ALBUQUERQUE, B. L.; ZARAMELLO, L.; OLIVEIRA, D. C.; DOMINGOS, J. B. Mechanism of a Suzuki-type homocoupling reaction catalyzed by palladium nanocubes. **ACS Catalysis**, v. 7, p. 1462-1469, 2017. (7933) - Fator de Impacto em 2016: 10,614
17. LIMA, A. E. P. DE; OLIVEIRA, D. C. In situ XANES study of Cobalt in Co-Ce-Al catalyst applied to steam reforming of ethanol reaction. **Catalysis Today**, v. 283, p. 104-109, 2017. (7934) - Fator de Impacto em 2016: 4,636
18. PEREZ-MUÑOZ, A. M.; SCHIO, P.; POLONI, R.; FERNANDEZ-MARTINEZ, A.; RIVERA-CALZADA, A.; CEZAR, J. C.; SALAS-COLERA, E.; CASTRO, G. R.; KINNEY, J.; LEON, C.; SANTAMARIA, J.; GARCIA-BARRIOCANAL, J. In operando evidence of deoxygenation in ionic liquid gating of YBa<sub>2</sub>Cu<sub>3</sub>O<sub>7-x</sub>. **Proceedings of the National Academy of Sciences USA**, v. 114, n. 2, p. 215-220, 2017. (7962) - Fator de Impacto em 2016: 9,661
19. CABRAL, A. J. F.; REMÉDIOS, C. M. R.; OSPINA RAMIREZ, C. A.; CARVALHO, A. M. G.; MORELHÃO, S. L. Structure of antiferromagnetic NiO/ferrimagnetic NiMn<sub>2</sub>O<sub>4</sub> composite prepared by sorbitol-assisted sol-gel method. **Journal of Alloys and Compounds**, v. 696, p. 304-309, 2017. (7969) - Fator de Impacto em 2016: 3,133
20. KORVALA, J.; JEE, K.; PORKOLA, E.; ALMANGUSH, A.; MOSAKHANI, N.; BITU, C.; CERVIGNE, N. K.; ZANDONADI, F. S.; MEIRELLES, G. V.; PAES LEME, A. F.; COLETTA, R. D.; LEIVO, I.; SALO, T. MicroRNA and protein profiles in invasive versus non-invasive oral tongue squamous cell carcinoma cells in vitro. **Experimental Cell Research**, v. 350, n. 1, p. 9-18, 2017. (8035) - Fator de Impacto em 2016: 3,546
21. CAETANO, B.L.; BRIOIS, V.; PULCINELLI, S. H.; MENEAU, F.; SANTILLI, C. V. Revisiting the ZnO Q-dot formation toward an integrated growth model: from coupled time resolved UV-

- Vis/SAXS/XAS data to multivariate analysis. **Journal of Physical Chemistry C**, v. 121, n. 1, p. 886-895, 2017. (8036) - Fator de Impacto em 2016: 4,536
22. SORIA, E. A.; PÉREZ, R. D.; QUERALT, I.; PÉREZ, C. A.; BONGIOVANNI, G. A. Immunotoxicological effects of arsenic bioaccumulation on spatial metallomics and cellular enzyme response in the spleen of male wistar rats after oral intake. **Toxicology Letters**, v. 266, p. 65-73, 2017. (8037) - Fator de Impacto em 2016: 3,858
  23. LAGES, R. B.; BRIDI, E. C.; PÉREZ, C. A.; BASTING, R.T. Salivary levels of nickel, chromium, iron, and copper in patients treated with metal or esthetic fixed orthodontic appliances: a retrospective cohort study. **Journal of Trace Elements in Medicine and Biology**, v. 40, p. 67-71, 2017. (8038) - Fator de Impacto em 2016: 3,225
  24. SARTORE, R. C.; CARDOSO, S. C.; LAGES, Y. V. M.; PARAGUASSU, J. M.; STELLING, M.P.; DA COSTA, R. F. M.; GUIMARÃES, M. Z.; PÉREZ, C. A.; REHEN, S.K. Trace elements during primordial plexiform network formation in human cerebral organoids. **PeerJ**, v. 5, p. e2927, 2017. (8039) - Fator de Impacto em 2016: 2,177
  25. SANTOS, W. O.; MATTIELLO, E. M.; PACHECO, A. A.; VERGUTZ, L.; SOUZA FILHO, L. F. S.; ABDALA, D. B. Thermal treatment of a potassium-rich metamorphic rock in formation of soluble K forms. **International Journal of Mineral Processing**, v. 159, p. 16-21, 2017. (8042) - Fator de Impacto em 2016: 1,561
  26. CASTRO, S. G. Q.; DECARO JR., S. T.; FRANCO, H. C. J.; MAGALHÃES, P. S. G.; GARSIDE, A. L.; MUTTON, M. A. Best practices of nitrogen fertilization management for sugarcane under green cane trash blanket in Brazil. **Sugar Tech**, v. 19, n. 1, p. 51-56, 2017. (8049) - Fator de Impacto em 2016: 0,829
  27. DARDER, M.; MATOS, C. R. S.; ARANDA, P.; GOUVEIA, R. F.; RUIZ-HITZKY, E. Bionanocomposite foams based on the assembly of starch and alginate with sepiolite fibrous clay. **Carbohydrate Polymers**, v. 157, p. 1933-1939, 2017. (8050) - Fator de Impacto em 2016: 4,811
  28. COURTENAY, J. C.; JOHNS, M. A.; GALEMBECK, F.; DENEKE, C.; LANZONI, E. M.; COSTA, C. A.; SCOTT, J. L.; SHARMA, R. I. Surface modified cellulose scaffolds for tissue engineering. **Cellulose**, v. 24, n. 1, p. 253-267, 2017. (8054) - Fator de Impacto em 2016: 3,417
  29. ANDRADE, G. R. S.; NASCIMENTO, C. C.; LIMA, Z. M.; TEIXEIRA-NETO, E.; COSTA, L. P.; GIMENEZ, I. F. Star-shaped ZnO/Ag hybrid nanostructures for enhanced photocatalysis and antibacterial activity. **Applied Surface Science**, v. 399, p. 573-582, 2017. (8057) - Fator de Impacto em 2016: 3,387
  30. MONTES, P. J. R.; TEIXEIRA, V. C.; BARBOSA, D. A. B.; PASCHOAL, C. W. A.; REZENDE, M. V. DOS S. In situ investigation of Ba-substitution effect on the  $\text{Eu}^{3+} \rightarrow \text{Eu}^{2+}$  conversion in  $\text{SrAl}_2\text{O}_4:\text{Eu}$  phosphor. **Journal of Alloys and Compounds**, v. 708, p. 79-83, 2017. (8068) - Fator de Impacto em 2016: 3,133
  31. SALVADOR, C. A. F.; LOPES, E. S. N.; BETTINI, J.; CARAM JR., R. Formation of alpha phase via pseudospinodal decomposition in Ti-Nb-Fe based alloys. **Materials Letters**, v. 189, p. 201-205, 2017. (8072) - Fator de Impacto em 2016: 2,572
  32. SILVA, J. C. M.; NTAIS, S.; TEIXEIRA-NETO, E.; SPINACÉ, E.V.; CUI, X.; NETO, A. O.; BARANOVA, E. A. Evaluation of carbon supported platinum-ruthenium nanoparticles for ammonia electro-

- oxidation: combined fuel cell and electrochemical approach. **International Journal of Hydrogen Energy**, v. 42, n. 1, p. 193-201, 2017. (8073) - Fator de Impacto em 2016: 3,582
33. SEGATO, F.; DIAS, B. H. S.; BERTO, G. L.; OLIVEIRA, D. M. DE; SOUZA, F. H. M.; CITADINI, A. P.; MURAKAMI, M. T.; DAMÁSIO, A. R. DE L.; SQUINA, F. M.; POLIKARPOV, I. Cloning, heterologous expression and biochemical characterization of a non-specific endoglucanase family 12 from *Aspergillus terreus* NIH2624. **Biochimica et Biophysica Acta. Proteins and Proteomics**, v. 1865, n. 4, p. 395-403, 2017. (8075) - Fator de Impacto em 2016: 2,773
  34. CAMPOS, B.; TRAMONTINA, R.; CAIRO, J. P. L. F.; LIBERATO, M. V.; MANDELLI, F.; SOUSA, A.; SANTOS, S.; RABELO, S. C.; IENCZAK, J. L.; RULLER, R.; DAMÁSIO, A. R. DE L.; SQUINA, F. M. The Coptotermes gestroi aldo-keto reductase: a multipurpose enzyme for biorefinery applications. **Biotechnology for Biofuels**, v. 10, p. 4, 2017. (8078) - Fator de Impacto em 2016: 5,203
  35. ALVES, C. M.; VALK, M.; DE JONG, S.; BONOMI, A.M.F.L.J.; VAN DER WIELEN, L. A. M.; MUSSATTO, S. I. Techno-economic assessment of biorefinery technologies for aviation biofuels supply chains in Brazil. **Biofuels Bioproducts & Biorefining-Biofpr**, v. 11, n. 1, p. 67-91, 2017. (8079) - Fator de Impacto em 2016: 3,694
  36. PUSTERLA, J. M.; GASPERINI, A. A. M.; PUENTES- MARTINEZ, X. E.; CAVALCANTI, L. P.; OLIVEIRA, R. G. Refractive index and thickness determination in Langmuir monolayers of myelin lipids. **Biochimica et Biophysica Acta-Biomembranes**, v. 189, n. 5, p. 924-930, 2017. (8082) - Fator de Impacto em 2016: 3,498
  37. GONÇALVES, R. V.; VONO, L. L. R.; WOJCIESZAK, R.; DIAS, C. S. B.; WENDER, H.; TEIXEIRA-NETO, E.; ROSSI, L. M. Selective hydrogenation of CO<sub>2</sub> into CO on a highly dispersed nickel catalyst obtained by magnetron sputtering deposition: a step towards liquid fuels. **Applied Catalysis B-Environmental**, v. 209, p. 240-246, 2017. (8087) - Fator de Impacto em 2016: 9,446
  38. VELLO, T. P.; OLIVEIRA, R. F.; SILVA, G. O.; CAMARGO, D. H. S.; BOF BUFON, C. C. A simple capacitive method to evaluate ethanol fuel samples. **Scientific Reports**, v. 7, p. 43432, 2017. (8097) - Fator de Impacto em 2016: 4,259
  39. SHRIVASTAVA, N.; KHAN, L. U.; VARGAS, J. M.; MOSCOSO- LONDOÑO, O.; OSPINA RAMIREZ, C. A.; BRITO, H. F.; JAVED, Y.; FELINTO, M. C. F. C.; MENEZES, A. S.; KNOBEL, M.; SHARMA, S. K. Building block magneto-luminescent nanomaterials of iron-oxide/ZnS@LaF<sub>3</sub>:Ce<sup>3+</sup>,Gd<sup>3+</sup>,Tb<sup>3+</sup> with green emission. **Journal of Materials Chemistry C**, v. 5, n. 9, p. 2282-2290, 2017. (8098) - Fator de Impacto em 2016: 5,256
  40. MORAES, C. B.; CORDEIRO, M. T.; XAVIER NETO, J.; CARVALHO, M.; PASCOALINO, B. S.; CARDOSO, A. C.; COSTA, A. M. S.; PEREIRA, A. H. M.; SANTOS, L. N.; SAITO, A.; MARQUES, R. E.; SMETANA, J. H. C.; CONSONNI, S. R.; BANDEIRA, C.; COSTA, V. V.; BAJGELMAN, M. C.; OLIVEIRA, P. S. L.; GIL, L. H. V. G.; PAULETTI, B. A.; GRANATO, D. C.; PAES LEME, A. F.; FREITAS-JUNIOR, L. H.; TEIXEIRA, M. M.; BEVILACQUA, E.; FRANCHINI, K. G. Hydrocephalus and arthrogryposis in an immunocompetent mouse model of ZIKA teratogeny: a developmental study. **PLoS Neglected Tropical Diseases**, v. 11, n. 2, p. e0005363, 2017. (8102) - Fator de Impacto em 2016: 3,834
  41. BERTON, R.; CONCONI, M. S.; LIBARDI, C. A.; CANEVAROLO, R. R.; GASPARI, A. F.; CHACON-MIKAHIL, M. P. T.; ZERI, A. C. DE M.; CAVAGLIERI, C. R. Metabolic time-course response after resistance exercise: a metabolomics approach. **Journal of Sports Sciences**, v. 35, n. 12, p. 1211-1218, 2017. (8106) - Fator de Impacto em 2016: 2,539

42. RIVERA, E. C.; YAMAKAWA, C. K.; SAAD, M. B. W.; ATALA, D. I. P.; AMBROSIO, W. B.; BONOMI, A.M.F.L.J.; NOLASCO JR., J.; ROSSEL, C. E. V. Effect of temperature on sugarcane ethanol fermentation: kinetic modeling and validation under very-high-gravity fermentation conditions. **Biochemical Engineering Journal**, v. 119, p. 42-51, 2017. (8110) - Fator de Impacto em 2016: 2,892
43. COSTA, J. C. S.; GONÇALVES, R. V.; TEIXEIRA-NETO, E.; ROSSI, L. M. Temperature-driven restructuring of silver on AuAg porous nanotubes: impact on CO oxidation. **ChemistrySelect**, v. 2, n. 2, p. 660-664, 2017. (8114) - Fator de Impacto em 2016: 0
44. KEE, T. P.; BARGE, L. M.; BRANSCOMB, E.; BRUCATO, J. R.; CARDOSO, S. S. S.; CARTWRIGHT, J. H. E.; DANIELACHE, S. O.; GALANTE, D.; MIGUEL, Y.; MOJZSIS, S.; ROBINSON, C. V.; RUSSELL, M. J.; SIMONCINI, E.; SOBRON, P. Thermodynamics, disequilibrium, evolution: far-from-equilibrium geological and chemical considerations for origin-of-life research. **Origins of Life and Evolution of the Biosphere**, v. 47, n. 1, p. 39-56, 2017. (8115) - Fator de Impacto em 2016: 1
45. VRIES, R. P.; RILEY, R.; WIEBENGA, A.; AGUILAR-OSORIO, G.; AMILLIS, S.; UCHIMA, C. A.; ANDERLUH, G.; ASADOLLAHI, M.; ASKIN, M.; BARRY, K.; BATTAGLIA, E.; BAYRAM, O.; BENOCCI, T.; BRAUS-STROMEYER, S. A.; CALDANA, C.; CANOVAS, D.; CERQUEIRA, G. C.; CHEN, F.; CHOI, G.; CLUM, A.; SANTOS, R. A. C. DOS; DAMÁSIO, A. R. DE L.; DIALLINAS, G.; EMRI, T.; FEKETE, E.; FLIPPHI, M.; FREYBERG, S.; GALLO, A.; GOURNAS, C.; HABGOOD, R.; HAINAUT, M.; HARISPE, M. L.; HENRISSAT, B.; HILDÉN, K. S.; HOPE, R.; HOSSAIN, A.; KARABIKA, E.; KARAFFA, L.; KARANYI, Z.; KRASEVEC, N.; KUO, A.; KUSCH, H.; LABUTTI, K.; LAGENDIJK, E. L.; LAPIDUS, A.; LEVASSEUR, A.; LINDQUIST, E.; TODD, R. B.; LIPZEN, A.; LOGRIECO, A. F.; MACCABE, A.; MÄKELÄ, M. R.; MALAVAZI, I.; MELIN, P.; MEYER, V.; MIELNICHUK, N.; MISKEI, M.; MOLNÁR, P.; MULÉ, G.; NGAN, C. Y.; OREJAS, M.; OROSZ, E.; OUEDRAOGO, J. P.; OVERKAMP, K. M.; PARK, HEE-SOO; PERRONE, G.; PIUMI, F.; PUNT, P. J.; RAM, A. F. J.; RAMOS, A.; RAUSCHER, S.; RECORD, E.; RIAÑO-PACHÓN, D. M.; ROBERT, V.; RÖHRIG, J.; RULLER, R.; SALAMOV, A.; SALIH, N. S.; SAMSON, R. A.; SÁNDOR, E.; SANGUINETTI, M.; SCHÜTZE, T.; SEPCIC, K.; SHELEST, E.; SHERLOCK, G.; SOPHIANOPOULOU, V.; SQUINA, F. M.; SUN, H.; SUSCA, A.; TSANG, A.; UNKLES, S. E.; VAN DE WIELE, N.; VAN ROSSEN-UFFINK, D.; OLIVEIRA, J. V. DE C.; VESTH, T. C.; VISSER, J.; YU, J. H.; ZHOU, M.; ANDERSEN, M. R.; ARCHER, D. B.; BAKER, S. E.; BENOIT, I.; BRAKHAGE, A. A.; BRAUS, G. H.; FISCHER, R.; FRISVAD, J. C.; GOLDMAN, G. H.; HOUBRAKEN, J.; OAKLEY, B.; PÓCSI, I.; SCAZZOCCHIO, C.; SEIBOTH, B.; VANKUYK, P. A.; WORTMAN, J.; DYER, P. S.; GRIGORIEV, I. V. Comparative genomics reveals high biological diversity and specific adaptations in the industrially and medically important fungal genus *Aspergillus*. **Genome Biology**, v. 18, n. 28, 2017. (8117) - Fator de Impacto em 2016: 11,907
46. GONÇALVES, L. C.; SEABRA, A. B.; PELEGRINO, M. T.; ARAUJO, D. R.; BERNARDES, J. S.; HADDAD, P. S. Superparamagnetic iron oxide nanoparticles dispersed in Pluronic F127 hydrogel: potential uses in topical applications. **RSC Advances**, v. 7, n. 24, p. 14496-14503, 2017. (8118) - Fator de Impacto em 2016: 3,108
47. SILVA, S. F. C.; MARDEGAN, T.; ARAÚJO, S. R.; OSPINA RAMIREZ, C. A.; KIRAVITTAYA, S.; COUTO JR., O. D. D.; IIKAWA, F.; DENEKE, C. Fabrication and optical properties of strain-free self-assembled mesoscopic GaAs structures. **Nanoscale Research Letters**, v. 12, p. 61, 2017. (8128) - Fator de Impacto em 2016: 2,833
48. VAN RAAP, M. B. F.; MOSCOSO- LONDOÑO, O.; TANCREDI, P.; MURACA, D.; ZÉLIS, P. M.; CORAL, D. F.; WOLFF, U.; NEU, V.; DAMM, C.; OLIVEIRA, C. L. P.; PIROTA, K. R.; KNOBEL, M.; SOCOLOVSKY, L.M. Different approaches to analyze the dipolar interaction effects on diluted

- and concentrated granular superparamagnetic systems. **Journal of Magnetism and Magnetic Materials**, v. 428, p. 105-118, 2017. (8135) - Fator de Impacto em 2016: 2,63
49. LEONEL, C.; BORIN, T. F.; FERREIRA, L. DE C.; MOSCHETTA, M. G.; BAJGELMAN, M. C.; VILORIA-PETIT, A. M.; ZUCCARI, A. P. C. Inhibition of epithelial-mesenchymal transition and metastasis by combined TGFbeta knockdown and metformin treatment in a canine mammary cancer xenograft model. **Journal of Mammary Gland Biology and Neoplasia**, v. 22, n. 1, p. 27-41, 2017. (8136) - Fator de Impacto em 2016: 3,243
  50. ROSSI NETO, J.; SOUZA, Z. M.; OLIVEIRA, S. R. M.; KÖLLN, O. T.; FERREIRA, D. A.; CARVALHO, J. L. N.; BRAUNBECK, O. A.; FRANCO, H. C. J. Use of the decision tree technique to estimate sugarcane productivity under edaphoclimatic conditions. **Sugar Tech**, v. 19, n. 6, p. 662-668, 2017. (8138) - Fator de Impacto em 2016: 0,829
  51. ERMAKOV, V. A.; JIMENEZ-VILLAR, E.; SILVA FILHO, J. M. C. DA; YASSITEPE, E.; MOGILI, N. V. V.; IIKAWA, F.; SÁ, G. F.; CESAR, C. L.; MARQUES, F. C. Size control of silver-core/silica-shell nanoparticles fabricated by laser-ablation-assisted chemical reduction. **Langmuir**, v. 33, n. 9, p. 2257-2262, 2017. (8145) - Fator de Impacto em 2016: 3,833
  52. ASSIS, L.H.P.; SILVA-JR., R. M. P.; DOLCE, L. G.; ALBORGHETTI, M. R.; HONORATO, R. V.; NASCIMENTO, A. F. Z.; HANCHUK, T. D. M.; TRINDADE, D. M.; TONOLI, C. C. C.; SANTOS, C. T.; OLIVEIRA, P. S. L.; LARSON, R. E.; KOBARG, J.; ESPREAFICO, E. M.; GIUSEPPE, P. O.; MURAKAMI, M. T. The molecular motor myosin Va interacts with the cilia-centrosomal protein RPGRIP1L. **Scientific Reports**, v. 7, p. 43692, 2017. (8147) - Fator de Impacto em 2016: 4,259
  53. KATAOKA, E.; MURER, R. C.; SANTOS, JA. M.; CARVALHO, R. M.; EBERLIN, M. N.; AUGUSTO, F.; POPPI, R. J.; GOBBI, A. L.; HANTAO, L. W. Simple, expendable, 3D-printed microfluidic systems for sample preparation of petroleum. **Analytical Chemistry**, v. 89, n. 6, p. 3460-3467, 2017. (8150) - Fator de Impacto em 2016: 6,32
  54. CRIMES, J.; ISAFIADE, A.; FRASER, D. M.; SHORT, M.; BONOMI, A.M.F.L.J. Assessment of pre-treatment technologies for bioethanol production from sugarcane bagasse considering economics and environmental impact. **Asia-Pacific Journal of Chemical Engineering**, v. 12, n. 2, p. 212-229, 2017. (8151) - Fator de Impacto em 2016: 0,836
  55. BORDONAL, R. O.; LAL, R.; RONQUIM, C. C.; FIGUEIREDO, E. B. DE; CARVALHO, J. L. N.; MALDONADO JR., W.; MILORI, D. M. B. P.; LA SCALA JR., N. Changes in quantity and quality of soil carbon due to the land-use conversion to sugarcane (*Saccharum officinarum*) plantation in southern Brazil. **Agriculture Ecosystems & Environment**, v. 240, p. 54-65, 2017. (8153) - Fator de Impacto em 2016: 4,099
  56. HELOU NETO, E. S.; ZIBETTI, M. V. W.; MIQUELES, E. X. Superiorization of incremental optimization algorithms for statistical tomographic image reconstruction. **Inverse Problems**, v. 33, n. 4, p. 044010, 2017. (8154) - Fator de Impacto em 2016: 1,62
  57. BALFOUR, M.; FRANCO, C. H.; MORAES, C. B.; FREITAS-JUNIOR, L. H.; STEFANI, H. A. Synthesis and trypanocidal activity of a library of 4-substituted 2-(1H-pyrrolo[3,2-c]pyridin-2-yl)propan-2-ols. **European Journal of Medicinal Chemistry**, v. 128, p. 202-212, 2017. (8155) - Fator de Impacto em 2016: 4,519
  58. JUNQUEIRA, T.L.; CHAGAS, M. F.; GOUVEIA, V. L. R. DE; REZENDE, M. C. A. F.; WATANABE, M. D. B.; JESUS, C.D.F.; CAVALETT, O.; MILANEZ, A. Y.; BONOMI, A.M.F.L.J. Techno-economic analysis and climate change impacts of sugarcane biorefineries considering different time

- horizons. **Biotechnology for Biofuels**, v. 10, p. 50, 2017. (8159) - Fator de Impacto em 2016: 5,203
59. IMAMURA, W.; COELHO, A. A.; KUPFER, V. L.; CARVALHO, A. M. G.; ZAGO, J. G.; RINALDI, A. W.; FAVARO, S. L.; ALVES, C. S. A new type of magnetocaloric composite based on conductive polymer and magnetocaloric compound. **Journal of Magnetism and Magnetic Materials**, v. 425, p. 65-71, 2017. (8163) - Fator de Impacto em 2016: 2,63
  60. DELABONA, P. S.; RODRIGUES, G. N.; ZUBIETA, M. P.; RAMONI, J.; CODIMA, C. A.; LIMA, D. J. S.; FARINAS, C. S.; PRADELLA, J. G. C.; SEIBOTH, B. The relation between xylr1 overexpression in *Trichoderma harzianum* and sugarcane bagasse saccharification performance. **Journal of Biotechnology**, v. 246, p. 24-32, 2017. (8164) - Fator de Impacto em 2016: 2,599
  61. MASCHIETTO, M.; BASTOS, L. C.; TAHIRA, A. C.; BASTOS, E. P.; EUCLYDES, V. L. V.; BRENTANI, A.; FINK, G.; BAUMONT, A.; FELIPE-SILVA, A.; FRANCISCO, R. P. V.; GOUVEIA, G.; GRISI, S. J. F. E.; ESCOBAR, A. M. U.; MOREIRA-FILHO, C. A.; POLANCZYK, G. V.; MIGUEL, E. C.; BRENTANI, H. P. Sex differences in DNA methylation of the cord blood are related to sex-bias psychiatric diseases. **Scientific Reports**, v. 7, p. 44547, 2017. (8165) - Fator de Impacto em 2016: 4,259
  62. MORAIS, M. A. B.; GIUSEPPE, P. O.; SOUZA, T.A.C.B.; CASTRO, H.; HONORATO, R. V.; OLIVEIRA, P. S. L.; NETTO, L. E. S.; TOMAS, A. M.; MURAKAMI, M. T. Calcium and magnesium ions modulate the oligomeric state and function of mitochondrial 2-Cys peroxiredoxins in leishmania parasites. **Journal of Biological Chemistry**, v. 292, n. 17, p. 7023-7039, 2017. (8167) - Fator de Impacto em 2016: 4,125
  63. MENANDRO, L. M. S.; CANTARELLA, H.; KÖLLN, O. T.; PIMENTA, M. T. B.; FRANCO, H. C. J.; SANCHES, G. M.; RABELO, S. C.; CARVALHO, J. L. N. Comprehensive assessment of sugarcane straw: implications for biomass and bioenergy production. **Biofuels Bioproducts & Biorefining-Biofpr**, v. 11, n. 3, p. 488-504, 2017. (8168) - Fator de Impacto em 2016: 3,694
  64. CLEMENTE, Z.; CASTRO, V. L. S. S.; FRANQUI, L. S.; SILVA, C. A.; MARTINEZ, D. S. T. Nanotoxicity of graphene oxide: assessing the influence of oxidation debris in the presence of humic acid. **Environmental Pollution**, v. 225, p. 118-128, 2017. (8169) - Fator de Impacto em 2016: 5,099
  65. CARVALHO, J. L. N.; HUDIBURG, T. W.; FRANCO, H. C. J.; DELUCIA, E. H. Contribution of above- and belowground bioenergy crop residues to soil carbon. **Global Change Biology Bioenergy**, v. 9, n. 8, p. 1333-1343, 2017. (8170) - Fator de Impacto em 2016: 4,655
  66. OSÉS, G. L.; PETRI, S.; VOLTANI, C. G.; PRADO, G. M. E. M.; GALANTE, D.; RIZZUTO, M. A.; RUDNITZKI, I. D.; SILVA, E. P. DA; RODRIGUES, FA.; RANGEL, E. C.; SUCERQUIA, P. A.; PACHECO, M. L. A. F. Deciphering pyritization-kerogenization gradient for fish soft-tissue preservation. **Scientific Reports**, v. 7, p. 1468, 2017. (8176) - Fator de Impacto em 2016: 4,259
  67. DI PISA, F.; LANDI, G.; DELLO IACONO, L.; POZZI, C.; BORSARI, C.; FERRARI, S.; SANTUCCI, M.; SANTAREM, N.; CORDEIRO- DA- SILVA, A.; MORAES, C. B.; ALCÂNTARA, L. M.; FONTANA, V.; FREITAS-JUNIOR, L. H.; GUL, S.; KUZIKOV, M.; BEHRENS, B.; PÖHNER, I.; WADE, R.C.; COSTI, M. P.; MANGANI, S. Chroman-4-one derivatives targeting pteridine reductase 1 and showing anti-parasitic activity. **Molecules**, v. 22, n. 3, p. 426, 2017. (8179) - Fator de Impacto em 2016: 2,861
  68. STRAUSS, M.; DAMASCENO, J. P. V.; SIGOLI, F. A.; MAZALI, I. O. Functionalization of mesoporous silicas as strategy for obtaining nanocomposites with controlled graphitic domains quantity and

- carbon content. **Journal of Nanoscience and Nanotechnology**, v. 17, n. 4, p. 2804-2810, 2017. (8187) - Fator de Impacto em 2016: 1,483
69. CAMARGO, C. L.; VICENTINI, M. B. R.; GOBBI, A. L.; MARTINEZ, D. S. T.; LIMA, R. S. Smartphone for point-of-care quantification of protein by bradford assay. **Journal of the Brazilian Chemical Society**, v. 28, n. 4, p. 689-693, 2017. (8193) - Fator de Impacto em 2016: 1,198
70. FLEWETT, S.; MISHRA, D.; MORI, T. J. A.; GÜNTHER, C. M.; DENARDIN, J. C.; OYARZÚN, S.; MICHEA, S.; ENGEL, D.; FOHLER, M.; ROCHA, T. C. R.; OVALLE F., A.; NUÑEZ A., L. T.; PFAU, B.; ESCRIG, J.; EISEBITT, S. Three-dimensional characterization of Co/Pd multilayer thin films using resonant soft X-ray scattering. **Physical Review B**, v. 95, n. 9, p. 094430, 2017. (8195) - Fator de Impacto em 2016: 3,836
71. CAIMI, A. T.; PARRA, F.; FARIAS, M. A.; PORTUGAL, R. V.; PEREZ, A. P.; ROMERO, E. L.; MORILLA, M.J. Topical vaccination with super-stable ready to use nanovesicles. **COLLOIDS AND SURFACES B-BIOINTERFACES**, v. 152, p.114-123, 2017. (8196) - Fator de Impacto em 2016: 3,887
72. CARVALHO, A. M. G.; NUNES, R. S.; COELHO, A. A. X-ray powder diffraction of high-absorption materials at the XRD1 beamline off the best conditions: application to (Gd, Nd)(5)Si-4 compounds. **Powder Diffraction**, v. 32, n. 1, p. 10-14, 2017. (8197) - Fator de Impacto em 2016: 0,674
73. ANDRADE, C. J. DE; ANDRADE, L. M.; ROCCO, S. A.; SFORÇA, M. L.; PASTORE, G. M.; JAUREGI, P. A novel approach for the production and purification of mannosylerythritol lipids (MEL) by *Pseudozyma tsukubaensis* using cassava wastewater as substrate. **Separation and Purification Technology**, v. 180, p. 157-167, 2017. (8210) - Fator de Impacto em 2016: 3,359
74. ARZUZA, L. C. C.; LÓPEZ-RUIZ, R.; SALAZAR- ARAVENA, A.; KNOBEL, M.; BÉRON, F.; PIROTA, K. R. Domain wall propagation tuning in magnetic nanowires through geometric modulation. **Journal of Magnetism and Magnetic Materials**, v. 432, p. 309-317, 2017. (8214) - Fator de Impacto em 2016: 2,63
75. SANTHIAGO, M.; STRAUSS, M.; PEREIRA, M. P.; CHAGAS, A. S.; BOF BUFON, C. C. Direct drawing method of graphite onto paper for high-performance flexible electrochemical sensors. **ACS Applied Materials & Interfaces**, v. 9, n. 13, p. 11959-11966, 2017. (8215) - Fator de Impacto em 2016: 7,504
76. SANTOS, C. C.F. DOS; PARADELA, L. S.; NOVAES, L. F. T.; DIAS, S. M. G.; PASTRE, J. C. Design and synthesis of cenocladamide analogues and their evaluation against breast cancer cell lines. **MedChemComm**, v. 8, n. 4, p. 755-766, 2017. (8216) - Fator de Impacto em 2016: 2,608
77. KOCH, F. J.; O'DOWD, F.; CARDOSO, M. B.; SILVA, R. R. DA; CAVICCHIOLI, M.; RIBEIRO, S. J. L.; SCHRÖTER, T. J.; FAISAL, A.; MEYER, P.; KUNKA, D.; MOHR, J. Low energy X-ray grating interferometry at the brazilian synchrotron. **Optics Communications**, v. 393, p. 195-198, 2017. (8217) - Fator de Impacto em 2016: 1,588
78. PELEGRINO, M. T.; WELLER, R. B.; CHEN, X.; BERNARDES, J. S.; SEABRA, A. B. Chitosan nanoparticles for nitric oxide delivery in human skin. **MedChemComm**, v. 8, n. 4, p. 713-719, 2017. (8218) - Fator de Impacto em 2016: 2,608
79. VESCOVI, R. F. C.; CARDOSO, M. B.; MIQUELES, E. X. Radiography registration for mosaic tomography. **Journal of Synchrotron Radiation**, v. 24, pt. 3, p. 686-694, 2017. (8221) - Fator de Impacto em 2016: 3,011



80. TEIXEIRA-NETO, A. A.; GONÇALVES, R. V.; RODELLA, C. B.; ROSSI, L. M.; TEIXEIRA-NETO, E. Surface composition and structural changes on titanium oxide-supported AuPd nanoparticles during CO oxidation. **Catalysis Science & Technology**, v. 7, n. 8, p. 1679-1689, 2017. (8222) - Fator de Impacto em 2016: 5,773
81. WESTFAHL JR., H.; LUIZ, S. A. L.; MEYER, B. C.; MENEAU, F. The coherent radiation fraction of low-emittance synchrotrons. **Journal of Synchrotron Radiation**, v. 24, pt. 3, p. 566-575, 2017. (8223) - Fator de Impacto em 2016: 3,011
82. BALESTRIN, L. B. S.; CARDOSO, M. B.; LOH, W. Using Atomic Force Microscopy to Detect asphaltene colloidal particles in crude oils. **Energy & Fuels**, v. 31, n. 4, p. 3738-3746, 2017. (8224) - Fator de Impacto em 2016: 3,091
83. BECKER-KERBER, B.; OSÉS, G. L.; CURADO, J. F.; RIZZUTO, M. A.; RUDNITZKI, I. D.; ROMERO, G. R.; ONARY-ALVES, S.; BENINI, V. G.; GALANTE, D.; RODRIGUES, FA.; BUCK, P. V.; RANGEL, E. C.; GHILARDI, R. P.; PACHECO, M. L. A. F. Geobiological and diagenetic insights from Malvinokaffric Devonian Biota (Chapada Group, Parana Basin, Brazil): paleobiological and paleoenvironmental implications. **Palaios**, v. 32, n. 4, p. 238-249, 2017. (8227) - Fator de Impacto em 2016: 1,983
84. OLIVEIRA, J. F. A.; SAITO, A.; BIDO, A. T.; KOBARG, J.; STASSEN, H. K.; CARDOSO, M. B. Defeating bacterial resistance and preventing mammalian cells toxicity through rational design of antibiotic-functionalized nanoparticles. **Scientific Reports**, v. 7, p. 1326, 2017. (8240) - Fator de Impacto em 2016: 4,259
85. SCAPIN, S. M. N.; SOUZA, F. H. M.; ZANPHORLIN, L. M.; ALMEIDA, T. S.; SADE, Y. B.; CARDOSO, A. M.; PINHEIRO, G. L.; MURAKAMI, M. T. Structure and function of a novel GH8 endoglucanase from the bacterial cellulose synthase complex of *Raoultella ornithinolytica*. **PloS One**, v. 12, n. 4, p. e0176550, 2017. (8243) - Fator de Impacto em 2016: 2,806
86. RANZANI, A. T.; CORDEIRO, A. T. Mutations in the tetramer interface of human glucose-6-phosphate dehydrogenase reveals kinetic differences between oligomeric states. **FEBS Letters**, v. 591, n. 9, p. 1278-1284, 2017. (8246) - Fator de Impacto em 2016: 3,623
87. PINTO, A. V. D.; BRIDI, E. C.; AMARAL, F.L.B.; FRANÇA, F. M. G.; TURSSI, C. P.; PÉREZ, C. A.; MARTINEZ, E. F.; FLÓRIO, F.M.; BASTING, R.T. Enamel mineral content changes after bleaching with high and low hydrogen peroxide concentrations: colorimetric spectrophotometry and total reflection X-ray fluorescence analyses. **Operative Dentistry**, v. 42, n. 3, p. 308-318, 2017. (8249) - Fator de Impacto em 2016: 2,893
88. HIGA, L. H.; JEREZ, H. E.; FARIAS, M. A.; PORTUGAL, R. V.; ROMERO, E. L.; MORILLA, M. J. Ultra-small solid archaeolipid nanoparticles for active targeting to macrophages of the inflamed mucosa. **Nanomedicine**, v. 12, n. 10, p. 1165-1175, 2017. (8250) - Fator de Impacto em 2016: 4,727
89. PAIM, A. P. S.; RODRIGUES, S. S. M.; RIBEIRO, D. S. M.; SOUZA, G. C. S.; SANTOS, J. L. M.; ARAÚJO, A. N.; AMORIM, C. G.; TEIXEIRA-NETO, E.; SILVA, V. L. DA; MONTENEGRO, M. C. B. S. M. Fluorescence probe for mercury(II) based on the aqueous synthesis of CdTe quantum dots stabilized with 2-mercaptoethanesulfonate. **New Journal of Chemistry**, v. 41, n. 9, p. 3265-3272, 2017. (8254) - Fator de Impacto em 2016: 3,269
90. MILANI, R.; DA LUZ, L. L.; ARAÚJO, A. C. V. DE; RODRIGUES, N. M.; FALCÃO, E. H. L.; AZEVEDO, W. M.; DA COSTA JR., N. B.; CARDOSO, M. B.; FREIRE, R. O.; JUNIOR, S. A. Improving the quantum efficiency of the lanthanide-organic framework [Eu-2(MELL)(H<sub>2</sub>O)(6)] by heating: a simple

- strategy to produce efficient luminescent devices. **Journal of Luminescence**, v. 187, p. 555-563, 2017. (8256) - Fator de Impacto em 2016: 2,686
91. SILVA-CALPA, L. DEL; ZONETTI, P. DA C.; OLIVEIRA, D. C.; AVILLETZ, R. R. DE; APPEL, L. G. Acetone from ethanol employing  $Zn_xZr_{1-x}O_2$ . **Catalysis Today**, v. 289, p. 264-272, 2017. (8257) - Fator de Impacto em 2016: 4,636
  92. OLIVEIRA, B. G.; CARVALHO, J. L. N.; CHAGAS, M. F.; CERRI, C. E. P.; CERRI, C. C.; FEIGL, B. J. Methane emissions from sugarcane vinasse storage and transportation systems: comparison between open channels and tanks. **Atmospheric Environment**, v. 159, p.135-146, 2017. (8259) - Fator de Impacto em 2016: 3,629
  93. BOM, N. M.; USUDA, E. O.; GUIMARÃES, G. M.; COELHO, A. A.; CARVALHO, A. M. G. Note: experimental setup for measuring the barocaloric effect in polymers: application to natural rubber. **Review of Scientific Instruments**, v. 88, p. 046103, 2017. (8260) - Fator de Impacto em 2016: 1,515
  94. GOMES, M. N.; ALCÂNTARA, L. M.; NEVES, B. J.; MELO-FILHO, C. C.; FREITAS-JUNIOR, L. H.; MORAES, C. B.; MA, R.; FRANZBLAU, S. G.; MURATOV, E.; ANDRADE, C. H. Computer-aided discovery of two novel chalcone-like compounds active and selective against *Leishmania infantum*. **Bioorganic & Medicinal Chemistry Letters**, v. 27, n. 11, p. 2459-2464, 2017. (8265) - Fator de Impacto em 2016: 2,454
  95. CATALDI, T. R.; SCHAKER, P. D. C.; PETERS, L. P.; LABATE, C. A.; CALDANA, C.; MONTEIRO-VITORELLO, C. B. Metabolome dynamics of smutted sugarcane reveals mechanisms involved in disease progression and whip emission. **Frontiers in Plant Science**, v. 8, p. 882, 2017. (8274) - Fator de Impacto em 2016: 4,298
  96. ISLAN, G. A.; DURÁN, M.; CACICEDO, M. L.; NAKAZATO, G.; KOBAYASHI, R. K. T.; MARTINEZ, D. S. T.; CASTRO, GUI. R.; DURÁN, N. Nanopharmaceuticals as a solution to neglected diseases: is it possible? **Acta Tropica**, v. 170, p. 16-42, 2017. (8275) - Fator de Impacto em 2016: 2,218
  97. LONDOÑO-CALDERÓN, C. L.; MOSCOSO- LONDOÑO, O.; MURACA, D.; ARZUZA, L. C. C.; CARVALHO, P.; PIROTA, K. R.; KNOBEL, M.; PAMPILLO, L. G.; MARTÍNEZ- GARCIA, R. Synthesis and magnetic properties of cobalt-iron/cobalt-ferrite soft/hard magnetic core/shell nanowires. **Nanotechnology**, v. 28, n. 24, p. 245605, 2017. (8296) - Fator de Impacto em 2016: 3,44
  98. COELHO, A. A.; IPUS, J. J.; RIBEIRO, P. O.; VON RANKE, P. J.; CARABALLO VIVAS, R. J.; CARVALHO, A. M. G.; FRANCO, V.; ROCCO, D. L. Tunable magnetocaloric effect around room temperature by Fe doping in  $Mn_{0.98}Cr_{(0.02-x)}Fe_xAs$  compound. **Journal of Magnetism and Magnetic Materials**, v. 436, p. 85-90, 2017. (8297) - Fator de Impacto em 2016: 2,63
  99. VIEIRA, P. S.; SOUZA, T.A.C.B.; HONORATO, R. V.; ZANPHORLIN, L. M.; SEVERIANO, K. U.; ROCCO, S. A.; OLIVEIRA, A. H. C.; CORDEIRO, A. T.; OLIVEIRA, P. S. L.; GIUSEPPE, P. O.; MURAKAMI, M. T. Pyrrole-indolinone SU11652 targets the nucleoside diphosphate kinase from *Leishmania* parasites. **Biochemical and Biophysical Research Communications**, v. 488, n. 3, p. 461-465, 2017. (8298) - Fator de Impacto em 2016: 2,466
  100. MARIUTTI, R. B.; CHAVES-MOREIRA, D.; VUITIKA, L.; CARUSO, I. P.; CORONADO, M. A.; AZEVEDO, V. A.; MURAKAMI, M. T.; VEIGA, S. S.; ARNI, R. K. Bacterial and arachnid sphingomyelinases D: comparison of biophysical and pathological activities. **Journal of Cellular Biochemistry**, v. 118, n. 8, p. 2053-2063, 2017. (8300) - Fator de Impacto em 2016: 3,085

101. HIGA, K. M.; CAMARGO, C. L.; GIORDANO, G. F.; SILVA, I. P. O.; GOBBI, A. L.; KUBOTA, L.T.; LIMA, R. S. Intervening factors in the performance of a naked-eye microemulsification-based method and improvements in analytical frequency. **Analytical Methods**, v. 9, n. 22, p. 3347-3355, 2017. (8303) - Fator de Impacto em 2016: 1,9
102. CARVALHO, J. L. N.; NOGUEIROL, R. C.; MENANDRO, L. M. S.; BORDONAL, R. O.; BORGES, C. D.; CANTARELLA, H.; FRANCO, H. C. J. Agronomic and environmental implications of sugarcane straw removal: a major review. **Global Change Biology Bioenergy**, v. 9, n. 7, p. 1181-1195, 2017. (8306) - Fator de Impacto em 2016: 4,655
103. MARDIROSIAN, M.; BIECZYNSKI, F.; LUQUET, C.; PÉREZ, C. A.; BONGIOVANNI, G. A.; LASCANO, C.; VENTURINO, A. Arsenic absorption and excretion in chronically exposed developing toad *Rhinella arenarum*. **Environmental Toxicology and Pharmacology**, v. 52, p. 255-261, 2017. (8307) - Fator de Impacto em 2016: 2,313
104. ZEPON, G.; LEIVA, D. R.; STROZI, R. B.; TERRA, B. C. M.; FIGUEROA, S. J. A.; FLORIANO, R.; JORGE JR.; A. M.; BOTTA FILHO, W. J. Structural characterization and hydrogen storage properties of MgH<sub>2</sub>-Mg<sub>2</sub>CoH<sub>5</sub> nanocomposites. **International Journal of Hydrogen Energy**, v. 42, n. 21, p. 14593-14601, 2017. (8311) - Fator de Impacto em 2016: 3,582
105. DAIKUZONO, C. M.; SHIMIZU, F. M.; MANZOLI, A.; RIUL JR., A.; PIAZZETTA, M. H. O.; GOBBI, A. L.; CORRÊA, D. S.; PAULOVICH, F. V.; OLIVEIRA JR., O. N. Information visualization and feature selection methods applied to detect gliadin in gluten-containing foodstuff with a microfluidic electronic tongue. **ACS Applied Materials & Interfaces**, v. 9, n. 23, p. 19646-19652, 2017. (8312) - Fator de Impacto em 2016: 7,504
106. MANDELLI, F.; COUGER, M. B.; PAIXÃO, D. A. A.; MACHADO, C. B.; CARNIELLI, C. M.; ARICETTI, J. A.; POLIKARPOV, I.; PRADE, R.; CALDANA, C.; PAES LEME, A. F.; MERCADANRTE, A. Z.; RIAÑO-PACHÓN, D. M.; SQUINA, F. M. Thermal adaptation strategies of the extremophile bacterium *Thermus filiformis* based on multi-omics analysis. **Extremophiles**, v. 21, n. 4, p.775-788, 2017. (8313) - Fator de Impacto em 2016: 2,236
107. DALY, P.; VAN MUNSTER, J. M.; KOKOLSKI, M.; SANG, F.; BLYTHE, M. J.; MALLA, S.; OLIVEIRA, J. V. DE C.; GOLDMAN, G. H.; ARCHER, D. B. Transcriptomic responses of mixed cultures of ascomycete fungi to lignocellulose using dual RNA-seq reveal inter-species antagonism and limited beneficial effects on CAZyme expression. **Fungal Genetics and Biology**, v. 102, p. 4-21, 2017. (8314) - Fator de Impacto em 2016: 3,072
108. CANENCIA, F.; DARDER, M.; ARANDA, P.; FERNANDES, F. M.; GOUVEIA, R. F.; RUIZ- HITZKY, E. Conducting macroporous carbon foams derived from microwave-generated caramel/silica gel intermediates. **Journal of Materials Science**, v. 52, n. 19, p.11269-11281, 2017. (8318) - Fator de Impacto em 2016: 2,599
109. ROCHA, E. G. A.; PIN, T. C.; RABELO, S. C.; COSTA, A. C. Evaluation of the use of protic ionic liquids on biomass fractionation. **Fuel**, v. 206, p. 145-154, 2017. (8325) - Fator de Impacto em 2016: 4,601
110. NASCIMENTO, C. C.; ANDRADE, G. R. S.; SANTOS, O. S.; TEIXEIRA-NETO, E.; COSTA, S. S. L.; GIMENEZ, I. F. Biosilica from diatomaceous earth as support to CdS-mediated photocatalysis in dry and aqueous phase. **Materials & Design**, v. 127, p. 8-14, 2017. (8334) - Fator de Impacto em 2016: 4,364

111. GALLAGHER-JONES, M.; DIAS, C. S. B.; PRYOR JR., A.; BOUCHMELLA, K.; ZHAO, L.; LO, Y. H.; CARDOSO, M. B.; SHAPIRO, D.; RODRIGUEZ, J.; MIAO, J. Correlative cellular ptychography with functionalized nanoparticles at the Fe L-edge. **Scientific Reports**, v. 7, p. 4757, 2017. (8339) - Fator de Impacto em 2016: 4,259
112. CARVALHO, M. S.; MAYRINK, J.; RAPHAEL, E.; BETTINI, J.; FERRARI, J. L.; SCHIAVON, M. A. The Role that Electrolytes Play in the Synthesis of water-soluble CdTe quantum dots prepared at ambient temperature. **Journal of the Brazilian Chemical Society**, v. 28, n. 7, p. 1167-1176, 2017. (8343) - Fator de Impacto em 2016: 1,198
113. SMYTH, M.; FOURNIER, C.; DRIEMEIER, C. E.; PICART, C.; FOSTER, E. J.; BRAS, J. Tunable structural and mechanical properties of cellulose nanofiber substrates in aqueous conditions for stem cell culture. **Biomacromolecules**, v. 18, n. 7, p. 2034-2044, 2017. (8346) - Fator de Impacto em 2016: 5,246
114. MARTINEZ, D. S. T.; DAMASCENO, J. P. V.; FRANQUI, L. S.; BETTINI, J.; MAZALI, I. O.; STRAUSS, M. Structural aspects of graphitic carbon modified SBA-15 mesoporous silica and biological interactions with red blood cells and plasma proteins. **Materials Science & Engineering C-Materials for Biological A**, v. 78, p. 141-150, 2017. (8347) - Fator de Impacto em 2016: 4,164
115. USUDA, E. O.; BOM, N. M.; CARVALHO, A. M. G. Large barocaloric effects at low pressures in natural rubber. **European Polymer Journal**, v. 92, p. 287-293, 2017. (8352) - Fator de Impacto em 2016: 3,531
116. BRAUNGER, M. L.; SHIMIZU, F. M.; PIAZZETTA, M. H. O.; GOBBI, A. L.; MAGALHÃES, P. S. G.; RODRIGUES, V.; OLIVEIRA JR., O. N.; RIUL JR., A. Microfluidic electronic tongue applied to soil analysis. **Chemosensors**, v. 5, n. 2, p. 14, 2017. (8353) - Fator de Impacto em 2016: 0
117. SALMON, C. R.; GIORGETTI, A. P. O.; PAES LEME, A. F.; DOMINGUES, R. R.; KOLLI, T. N.; FOSTER, B. L.; NOCITI JR., F. H. Microproteome of dentoalveolar tissues. **Bone**, v. 101, p. 219-229, 2017. (8356) - Fator de Impacto em 2016: 4,14
118. PASQUALI, C. C.; ISLAM, Z.; ADAMOSKI, D.; FERREIRA, I. M.; RIGHETTO, R. D.; BETTINI, J.; PORTUGAL, R. V.; WAI-YIN-YUE, W.; GONZALEZ, A.; DIAS, S. M. G.; AMBROSIO, A. L. B. The origin and evolution of human glutaminases and their atypical C-terminal ankyrin repeats. **Journal of Biological Chemistry**, v. 78, n. 16, p. 3386-3395, 2017. (8362) - Fator de Impacto em 2016: 4,125
119. OLIVEIRA, S.; RIDOLFI, D. M.; PAES LEME, A. F.; JUSTO, G. Z.; PALLADINO, M. V.; DURÁN, N. Electrospun poly(ethylene oxide)/chitosan nanofibers with cellulose nanocrystals as support for cell culture of 3T3 fibroblasts. **Cellulose**, v. 24, n. 8, p. 3353-3365, 2017. (8365) - Fator de Impacto em 2016: 3,417
120. PULSCHEN, A. A.; BENDIA, A. G.; FRICKER, A. D.; PELLIZARI, V. H.; GALANTE, D.; RODRIGUES, F. A. Isolation of uncultured bacteria from antarctica using long incubation periods and low nutritional media. **Frontiers in Microbiology**, v. 8, n. 1346, 2017. (8368) - Fator de Impacto em 2016: 4,076
121. SHIRAKAWA, N.; KHAN, L. U.; VARGAS, J. M.; OSPINA RAMIREZ, C. A.; COAQUIRA, J. A. H.; ZOPPELLARO, G. G.; BRITO, H. F.; JAVED, Y.; SHUKLA, D. K.; FELINTO, M. C. F. C.; SHARMA, S. K. Efficient multicolor tunability of ultrasmall ternary-doped LaF<sub>3</sub> nanoparticles: energy conversion and magnetic behavior. **Photochemical & Photobiological Sciences**, v. 19, n. 28, p. 18660-18670, 2017. (8369) - Fator de Impacto em 2016: 2,344

122. BORIN, G. P.; SANCHEZ, C. C.; SANTANA, E. S.; ZANINI, G. K.; SANTOS, R. A. C. DOS; PONTES, A. O.; SOUZA, A. T.; DAL'MAS, R. M. T. S.; RIAÑO-PACHÓN, D. M.; GOLDMAN, G. H.; OLIVEIRA, J. V. DE C. Comparative transcriptome analysis reveals different strategies for degradation of steam-exploded sugarcane bagasse by *Aspergillus niger* and *Trichoderma reesei*. **BMC Genomics**, v. 18, p. 501, 2017. (8370) - Fator de Impacto em 2016: 3,729
123. MERCES, L.; OLIVEIRA, R. F.; CAMARGO, D. H. S.; BOF BUFON, C. C. Long-range coherent tunneling in physisorbed molecular ensembles. **Journal of Physical Chemistry C**, v. 121, n. 31, p.16673-16681, 2017. (8373) - Fator de Impacto em 2016: 4,536
124. MARTINS, H. P.; PRADO, F.; CANEIRO, A.; VICENTIN, F. C.; MOSSANEK, R. J. O.; ABBATE, M. Bulk-sensitive Mo 4d electronic structure of Sr<sub>2</sub>FeMoO<sub>6</sub> probed by high-energy Mo L-3 resonant photoemission. **EPL**, v. 118, n. 3, p. 37002, 2017. (8416) - Fator de Impacto em 2016: 1,957
125. BATISTA, C. C. S.; ALBUQUERQUE, L. J. C.; RIBEIRO, C. A. S.; CASTRO, C. E. DE; MIRANDA, E. G. A.; NANTES, I. L.; ALBUQUERQUE, B. L.; CARDOSO, M. B.; GIACOMELLI, F. C. Nano-sized silver colloids produced and stabilized by amino-functionalized polymers: polymer structure-nanoparticle features and polymer structure-growth kinetics relationships. **Journal of the Brazilian Chemical Society**, v. 28, n. 9, p.1608-1618, 2017. (8422) - Fator de Impacto em 2016: 1,198
126. SHIMIZU, F. M.; TODÃO, F. E.; GOBBI, A. L.; OLIVEIRA JR., O. N.; GARCIA, C. D.; LIMA, R. S. Functionalization-free microfluidic electronic tongue based on a single response. **ACS Sensors**, v. 2, n. 7, p. 1027-1034, 2017. (8427) - Fator de Impacto em 2016: 0
127. SANTHIAGO, M.; CORRÊA, C. C.; BERNARDES, J. S.; PEREIRA, M. P.; OLIVEIRA, L. J. M.; STRAUSS, M.; BOF BUFON, C. C. Flexible and foldable fully-printed carbon black conductive nanostructures on paper for high-performance electronic, electrochemical, and wearable devices. **ACS Applied Materials & Interfaces**, v. 9, n. 28, p. 24365-24372, 2017. (8428) - Fator de Impacto em 2016: 7,504
128. CIAMPI DE ANDRADE, D.; MASCHIETTO, M.; GALHARDONI, R.; GOUVEIA, G.; CHILE, T.; KREPISCHI, A. C. V.; DALE, C. S.; BRUNONI, A. R.; PARRAVANO, D. C.; CUEVA MOSCOSO, A. S.; RAICHER, I.; KAZIYAMA, H. S.; TEIXEIRA, M. J.; BRENTANI, H. P. Epigenetics insights into chronic pain: DNA hypomethylation in fibromyalgia-a controlled pilot-study. **Pain**, v. 158, n. 8, p. 1473-1480, 2017. (8431) - Fator de Impacto em 2016: 5,445
129. RUDNITZKI, I. D.; BECKER-KERBER, B.; PACHECO, M. L. A. F.; GALANTE, D.; RODRIGUES, FA; LEME, J. M. Ecological interactions in Cloudina from the Ediacaran of Brazil: implications for the rise of animal biomineralization. **Scientific Reports**, v. 7, p. 5482, 2017. (8433) - Fator de Impacto em 2016: 4,259
130. MELO-HANCHUK, T. D.; SLEPICKA, P. F.; MEIRELLES, G. V.; BASEI, F. L.; LOVATO, D. V.; GRANATO, D. C.; PAULETTI, B. A.; DOMINGUES, R. R.; PAES LEME, A. F.; PELEGRINI, A. L.; LENZ, G.; KNAPP, S.; ELKINS, J. M.; KOBARG, J. NEK1 kinase domain structure and its dynamic protein interactome after exposure to Cisplatin. **Scientific Reports**, v. 7, p. 5445, 2017. (8434) - Fator de Impacto em 2016: 4,259
131. MELO, R. R. DE; ALNOCH, R. C.; VILELA, A. F. L.; SOUZA, E. M. DE; KRIEGER, N.; RULLER, R.; SATO, H. H.; MATEO, C. New Heterofunctional supports based on glutaraldehyde-activation: a tool for enzyme immobilization at neutral pH. **Molecules**, v. 22, n. 7, p. 1088, 2017. (8435) - Fator de Impacto em 2016: 2,861

132. GRASSESCHI, D.; BAHAMON, D. A.; MAIA, F. C. B.; CASTRO NETO, A. H.; FREITAS, R. O.; DE MATOS, C. J. S. Oxygen impact on the electronic and vibrational properties of black phosphorus probed by synchrotron infrared nanospectroscopy. **2D Materials**, v. 4, n. 3, p. 035028, 2017. (8436) - Fator de Impacto em 2016: 6,937
133. RIVERA, C.; OLIVEIRA, A. K.; COSTA, R. A. P.; DE ROSSI, T.; PAES LEME, A. F. Prognostic biomarkers in oral squamous cell carcinoma: a systematic review. **Oral Oncology**, v.72, p. 38-47, 2017. (8438) - Fator de Impacto em 2016: 4,794
134. TARTUCI, L. G.; DOMINGOS, L. F. T.; BETTINI, J.; VIEIRA, K. O.; RAPHAEL, E.; VALE, B. R. C.; FERRARI, J. L.; SCHIAVON, M. A. Silica-encapsulated CdTe/MPA quantum dots: microstructural, thermal, and chemical stability characterization. **Journal of Nanoparticle Research**, v. 19, n. 7, p. 250, 2017. (8439) - Fator de Impacto em 2016: 2,02
135. OLIVEIRA, L. F. DE; BOUCHMELLA, K.; PICCO, A. S.; CAPELETTI, L. B.; GONÇALVES, K. DE A.; SANTOS, J. H. Z. DOS; KOBARG, J.; CARDOSO, M. B. Tailored silica nanoparticles surface to increase drug load and enhance bactericidal response. **Journal of the Brazilian Chemical Society**, v. 28, n. 9, p. 1715-1724, 2017. (8442) - Fator de Impacto em 2016: 1,198
136. SEKI, M.; OHARA, T.; HEARN, T. J.; FRANK, A.; DA SILVA, V. C. H.; CALDANA, C.; WEBB, A. A. R.; SATAKE, A. Adjustment of the *Arabidopsis circadian* oscillator by sugar signalling dictates the regulation of starch metabolism. **Scientific Reports**, v. 7, p. 8305, 2017. (8444) - Fator de Impacto em 2016: 4,259
137. CAVALETT, O.; CHAGAS, M. F.; JUNQUEIRA, T.L.; WATANABE, M. D. B.; BONOMI, A.M.F.L.J. Environmental impacts of technology learning curve for cellulosic ethanol in Brazil. **Industrial Crops and Products**, v. 106, p. 31-39, 2017. (8447) - Fator de Impacto em 2016: 3,181
138. VAZ, R.; BETTINI, J.; JUNIOR, J. G.; LIMA, E. D. S.; BOTERO, W. G.; SANTOS, J. C. C.; SCHIAVON, M. A. High luminescent carbon dots as an eco-friendly fluorescence sensor for Cr(VI) determination in water and soil samples. **Journal of Photochemistry and Photobiology A-Chemistry**, v. 346, p. 502-511, 2017. (8449) - Fator de Impacto em 2016: 2,625
139. LUBOV, J.; MASCHIETTO, M.; IBRAHIM, I.; MLYNAREK, A.; HIER, M.; KOWALSKI, L. P.; ALAOUI-JAMALI, M. A.; DA SILVA, S. D. Meta-analysis of micrnas expression in head and neck cancer: uncovering association with outcome and mechanisms. **Oncotarget**, v. 8, n. 33, p. 55511-55524, 2017. (8451) - Fator de Impacto em 2016: 5,168
140. COA, F.; STRAUSS, M.; CLEMENTE, Z.; RODRIGUES NETO, L. L.; ALEXANDRE, R. S.; SOUZA FILHO, A. G.; ALVES, O. L.; CASTRO, V. L. S. S.; BARBIERI, E.; MARTINEZ, D. S. T. Coating carbon nanotubes with humic acid using an eco-friendly mechanochemical method: application for Cu(II) ions removal from water and aquatic ecotoxicity. **Science of the Total Environment**, v. 607, p. 1479-1486, 2017. (8466) - Fator de Impacto em 2016: 4,9
141. MARESCA, P.; FERRARI, G.; LEITE, B. R. DE; ZANPHORLIN, L. M.; RIBEIRO, L. R.; MURAKAMI, M. T.; CRISTIANINI, M. Effect of dynamic high pressure on functional and structural properties of bovine serum albumin. **Food Research International**, v. 99, pt. 1, p. 784-754, 2017. (8467) - Fator de Impacto em 2016: 3,086
142. NAKANISHI, S. C.; SOARES, L. B.; BIAZI, L. E.; NASCIMENTO, V. M.; COSTA, A. C.; ROCHA, G. J. M.; IENCZAK, J. L. Fermentation strategy for second generation ethanol production from sugarcane

- bagasse hydrolyzate by *spathaspora passalidarum* and *scheffersomyces stipitis*. **Biotechnology and Bioengineering**, v. 114, n. 10, p. 2211-2221, 2017. (8469) - Fator de Impacto em 2016: 4,481
143. ROCHET, A.; BAUBET, B.; MOIZAN, V.; DEVERS, E.; HUGON, A.; PICHON, C.; PAYEN, E.; BRIOIS, V. Intermediate species revealed during sulfidation of bimetallic hydrotreating catalyst: a multivariate analysis of combined time-resolved spectroscopies. **Journal of Physical Chemistry C**, v. 121, n. 34, p. 18544-18556, 2017. (8470) - Fator de Impacto em 2016: 4,536
144. GONÇALVES, J. M.; GUIMARÃES, R. R.; BRANDÃO, B.N.S.; SARAIVA, L. P. H.; ROSSINI, P. O.; NUNES JR., C. V.; BERNARDES, J. S.; BERTOTTI, M.; ANGNES, L.; ARAKI, K. Nanostructured Alpha-NiCe mixed hydroxide for highly sensitive amperometric prednisone sensors. **Electrochimica Acta**, v. 247, p. 30-40, 2017. (8472) - Fator de Impacto em 2016: 4,798
145. ASSIS, L. M.; NEDELIKOVIC, M.; DESSEN, A. New strategies for targeting and treatment of multi-drug resistant *Staphylococcus aureus*. **Drug Resistance Updates**, v. 31, p. 1-14, 2017. (8474) - Fator de Impacto em 2016: 10,906
146. AFANASYEV, P.; SEER-LINNEMAYR, C.; RAVELLI, R. B. G.; MATADEEN, R.; DE CARLO, S.; ALEWIJNSE, B.; PORTUGAL, R. V.; PANNU, N. S.; SCHATZ, M.; VAN HEEL, M. Single-particle cryo-EM using alignment by classification (ABC): the structure of *Lumbricus terrestris* haemoglobin. **IUCrJ**, v. 4, pt.5, p. 678-694, 2017. (8479) - Fator de Impacto em 2016: 5,793
147. MERCES, L.; DE OLIVEIRA, R. F.; GOMES, H. L.; BOF BUFON, C. C. The role of the electrode configuration on the electrical properties of small-molecule semiconductor thin-films. **Organic Electronics**, v. 49, p. 107-113, 2017. (8481) - Fator de Impacto em 2016: 3,399
148. CARROLL, E.; BUCKLEY, D.; MOGILI, N. V. V.; MCNULTY, D.; MORENO, M. S.; GLYNN, C.; COLLINS, G.; HOLMES, J. D.; RAZEEB, K. M.; O'DWYER, C. 2D Nanosheet paint from solvent-exfoliated Bi<sub>2</sub>Te<sub>3</sub> ink. **Chemistry of Materials**, v. 29, n.17, p. 7390-7400, 2017. (8495) - Fator de Impacto em 2016: 9,465
149. ASSIS, B. M.; SILVA, L. A. F.; LIMA, C. R. O.; GOUVEIA, R. F.; VULCANI, V. A. S.; SANT'ANA, F. J. F. DE; RABELO, R. E. Microstructure and hardness of Buffalo's hoofs. **Anatomia Histologia Embryologia**, v. 46, n. 5, p. 439-445, 2017. (8501) - Fator de Impacto em 2016: 0,683
150. MANRIQUE-RINCÓN, A. J.; BERALDO, C. M.; TOSCARO, J. M.; BAJGELMAN, M. C. Exploring synergy in combinations of tumor-derived vaccines that Harbor 4-1BBL, OX40L, and GM-CSF. **Frontiers in Immunology**, v. 8, p. 1150, 2017. (8505) - Fator de Impacto em 2016: 6,429
151. SIQUEIRA, L.; PAULA, C. G. DE; MOTISUKE, M.; GOUVEIA, R. F.; CAMARGO, S. E. A.; MILHAN, N. V. M.; TRICHÊS, E. S. Preparation, characterization and biological studies of B-TCP and B-TCP/Al<sub>2</sub>O<sub>3</sub> scaffolds obtained by gel-casting of foams. **Materials Research-Ibero-American Journal of Materials**, v. 20, n. 4, p. 973-983, 2017. (8507) - Fator de Impacto em 2016: 0,634
152. RIBEIRO, P. O.; ALHO, B. P.; ALVARENGA, T. S. T.; NÓBREGA, E. P.; SOUSA, V. S. R.; CARVALHO, A. M. G.; CALDAS, A.; LOPES, P. H. O.; VON RANKE, P. J. The influence of crystalline electrical field on magnetic and magnetocaloric properties in Er<sub>1-y</sub>Tb<sub>y</sub>Al<sub>2</sub> compounds. **Journal of Magnetism and Magnetic Materials**, v. 442, p. 265-269, 2017. (8511) - Fator de Impacto em 2016: 2,63
153. SOPRANO, A. S.; GIUSEPPE, P. O.; LIMA, T. B.; SHIMO, H. M.; BATISTA, F. A. H.; RIGHETTO, G. L.; PEREIRA, J. G. C.; GRANATO, D. C.; NASCIMENTO, A. F. Z.; GOZZO, F. C.; OLIVEIRA, P. S. L.; FIGUEIRA, A. C. M.; SMETANA, J. H. C.; PAES LEME, A. F.; MURAKAMI, M. T.; BENEDETTI, C.

- E. Crystal structure and regulation of the citrus pol III repressor MAF1 by auxin and phosphorylation. **Structure**, v. 25, n.9, p. 1360-1370, 2017. (8512) - Fator de Impacto em 2016: 4,945
154. RANGEL, M. C. DO; QUERINO, P. S.; BORGES, S. M. S.; MARCHETTI, S. G.; ASSAF, J. M.; VÁSQUEZ, D. P. R.; RODELLA, C. B.; SILVA, T. F.; SILVA, A. H. M. DA; RAMON, A. P. Hydrogen purification over lanthanum-doped iron oxides by WGSR. **Catalysis Today**, v. 296, p. 262-271, 2017. (8513) - Fator de Impacto em 2016: 4,636
  155. LAMIRAND, A. D.; GRENIER, S.; RAMOS, A. Y.; DE SANTIS, M.; BAILLY, A.; MOSSANG, E.; TONNERRE, J. M.; TESTEMALE, D.; TOLENTINO, H. C. N.; JAOUEN, N.; SOARES, M. M.; JAMET, M.; PROUX, O. Growth and properties of CoO/Fe perpendicular exchange coupled ultra-thin films. **Journal of Magnetism and Magnetic Materials**, v. 443, p. 195-201, 2017. (8515) - Fator de Impacto em 2016: 2,63
  156. MORI, T. J. A.; MOULS, C.; MORGADO, F. F.; SCHIO, P.; CEZAR, J. C. Parasitic phases at the origin of magnetic moment in BiFeO<sub>3</sub> thin films grown by low deposition rate RF sputtering. **Journal of Applied Physics**, v. 122, p. 124102, 2017. (8519) - Fator de Impacto em 2016: 2,068
  157. RODRIGUES, P. C.; SAWAZAKI-CALONE, I.; OLIVEIRA, C. E.; MACEDO, C. C. S.; DOURADO, M. R.; CERVIGNE, N. K.; MIGUEL, M. C. C.; DO CARMO, A. F.; LAMBERT, D. W.; GRANER, E.; DA SILVA, S. D.; ALAOUJ-JAMALI, M. A.; PAES LEME, A. F.; SALO, T.; COLETTA, R. D. Fascin promotes migration and invasion and is a prognostic marker for oral squamous cell carcinoma. **Oncotarget**, v. 8, n. 43, p. 74736-74754, 2017. (8521) - Fator de Impacto em 2016: 5,168
  158. PAULINO, B. N.; PESSOA, M. G.; MOLINA, G.; KAUPERT NETO, A. A.; OLIVEIRA, J. V. DE C.; MANO, M. C. R.; PASTORE, G. M. Biotechnological production of value-added compounds by ustilaginomycetous yeasts. **Applied Microbiology and Biotechnology**, v. 101, p. 7789-7809, 2017. (8533) - Fator de Impacto em 2016: 3,42
  159. CONTRERAS-MARTEL, C.; MARTINS, A.; ECOBICHON, C.; TRINDADE, D. M.; MATTEĪ, P.-J.; HICHAM, S.; HARDOUIN, P.; EL GHACHI, M.; BONECA, I. G.; DESSEN, A. Molecular architecture of the PBP2-MreC core bacterial cell wall synthesis complex. **Nature Communications**, v. 8, p. 776, 2017. (8544) - Fator de Impacto em 2016: 12,124
  160. OLIVEIRA, C. S.; BETTINI, J.; SIGOLI, F. A.; MAZALI, I. O. Importance of the Hierarchical Core@Multishell Nanostructure in obtaining white light emission in Ln(III)-doped ZrO<sub>2</sub> nanoparticles. **Crystal Growth & Design**, v. 17, n. 10, p. 5398-5405, 2017. (8550) - Fator de Impacto em 2016: 4,055
  161. JÜPPNER, J.; MUBEEN, U.; LEISSE, A.; CALDANA, C.; BRUST, H.; STEUP, M.; HERRMANN, M.; STEINHAUSER, D.; GIAVALISCO, P. Dynamics of lipids and metabolites during the cell cycle of *Chlamydomonas reinhardtii*. **Plant Journal**, v. 92, n. 2, p. 331-343, 2017. (8555) - Fator de Impacto em 2016: 5,901
  162. BARTOLOMÉ, J.; BARTOLOMÉ, F.; GARCIA, LUI. M.; GREDIG, T.; SCHULLER, I. K.; CEZAR, J. C. Magnetic anisotropy in Fe phthalocyanine film deposited on Si(110) substrate: standing configuration. **Low Temperature Physics**, v. 43, n. 8, p. 955-959, 2017. (8559) - Fator de Impacto em 2016: 0
  163. MENDES, F. M.; DIAS, M.O.S.; FERRAZ, A.; MILAGRES, A. M. F.; SANTOS, J. C.; BONOMI, A.M.F.L.J. Techno-economic impacts of varied compositional profiles of sugarcane experimental



- hybrids on a biorefinery producing sugar, ethanol and electricity. **Chemical Engineering Research and Design**, v. 125, p. 72-78, 2017. (8566) - Fator de Impacto em 2016: 2,538
164. DE-MARCO, V.; CARVALHO, L. R.; GUZZO, M. F.; DE OLIVEIRA, P. S. L.; GOMES, L. G.; MENDONÇA, B. B. An activating mutation in the CRHR1 gene is rarely associated with pituitary-dependent hyperadrenocorticism in poodles. **Clinics**, v. 72, n. 9, p. 575-581, 2017. (8586) - Fator de Impacto em 2016: 1,171
165. EMER, M.; CARDOSO, M. B. Biomolecular corona formation: nature and bactericidal impact on surface-modified silica nanoparticles. **Journal of Materials Chemistry B**, v. 5, n. 40, p. 8052-8059, 2017. (8588) - Fator de Impacto em 2016: 4,543
166. COSTA, N. J. S.; VONO, L. L. R.; WOJCIESZAK, R.; TEIXEIRA-NETO, E.; PHILIPPOT, K.; ROSSI, L. M. One-pot organometallic synthesis of alumina-embedded Pd nanoparticles. **Dalton Transactions**, v. 47, n. 41, p. 14318-14324, 2017. (8595) - Fator de Impacto em 2016: 4,029
167. FERREIRA, D. L.; SOUSA, J. C. L. DE; MARONESI, R. N.; BETTINI, J.; SCHIAVON, M. A.; TEIXEIRA, A. V. N. C.; SILVA, A. G. Size-dependent bandgap and particle size distribution of colloidal semiconductor nanocrystals. **Journal of Chemical Physics**, v. 147, n. 5, p.154102, 2017. (8606) - Fator de Impacto em 2016: 2,965
168. REIS, R. D.; VEIGA, L. S. I.; ESCANHOELA JR., C. A.; LANG, J. C.; JOLY, Y.; GANDRA, F. C. G.; HASKEL, D.; SOUZA NETO, N. M. Unraveling 5f-6d hybridization in uranium compounds via spin-resolved L-edge spectroscopy. **Nature Communications**, v. 8, p. 1203, 2017. (8614) - Fator de Impacto em 2016: 12,124
169. SILVA, D. G.; RIBEIRO, J. F. R.; DE VITA, D.; CIANNI, L.; FRANCO, C. H.; FREITAS-JUNIOR, L. H.; MORAES, C. B.; ROCHA, J. R.; BURTOLOSO, A. C. B.; KENNY, P. W.; LEITÃO, A.; MONTANARI, C. A. A comparative study of warheads for design of cysteine protease inhibitors. **Bioorganic & Medicinal Chemistry Letters**, v. 27, n. 22, p. 5031-5035, 2017. (8618) - Fator de Impacto em 2016: 2,454
170. JIMÉNEZ-SANDOVAL, S.; VIQUE-SANCHEZ, J. L.; HIDALGO, M. L.; VELAZQUEZ-JUAREZ, G.; DIAZ-QUEZADA, C.; ARROYO-NAVARRO, L. F.; MORAN, G. M.; FATTORI, J.; DIAZ-SALAZAR, A. J.; RUDIÑO-PINERA, E.; SOTELO-MUNDO, R.; FIGUEIRA, A. C. M.; LARA-GONZALEZ, S.; BENÍTEZ-CARDOZA, C. G.; BRIEBA, L. G. A competent catalytic active site is necessary for substrate induced dimer assembly in triosephosphate isomerase. **Biochimica et Biophysica Acta. Proteins and Proteomics**, v. 1865, n. 11, p. 1423-1432, 2017. (8620) - Fator de Impacto em 2016: 2,773
171. MELO, R. R. DE; PERSINOTI, G. F.; PAIXÃO, D. A. A.; SQUINA, F. M.; RULLER, R.; SATO, H. H. Draft genome sequence of *Streptomyces* sp strain F1, a potential source for glycoside hydrolases isolated from Brazilian soil. **Brazilian Journal of Microbiology**, v. 48, n. 4, p. 612-614, 2017. (8621) - Fator de Impacto em 2016: 1,091
172. SCHÄFER, M.; GRANATO, D. C.; KROSSA, S.; BARTELS, A., K.; YOKOO, S.; DÜSTERHOFT, S.; KOUDELKA, T.; SCHEIDIG, A. J.; THOLEY, A.; PAES LEME, A. F.; GRÖTZINGER, J.; LORENZEN, I. GRP78 protects a disintegrin and metalloprotease 17 against protein-disulfide isomerase A6 catalyzed inactivation. **FEBS Letters**, v. 591, n. 21, p. 3567-3587, 2017. (8624) - Fator de Impacto em 2016: 3,623
173. QUINTERO ESCOBAR, M.; ADAMOSKI, D.; REIS, L. M.; ASCENÇÃO, C. F. R.; OLIVEIRA, K. R. S.; GONÇALVES, K. DE A.; DIAS, M. M.; CARAZZOLLE, M. F.; DIAS, S. M. G. Guanylate-binding

- protein-1 is a potential new therapeutic target for triple-negative breast cancer. **BMC Cancer**, v.17, p. 727, 2017. (8625) - Fator de Impacto em 2016: 3,288
174. NAKASU, P. Y. S.; CHAGAS, M. F.; COSTA, A. C.; RABELO, S. C. Kinetic study of the acid post-hydrolysis of xylooligosaccharides from hydrothermal pretreatment. **BioEnergy Research**, v. 10, n. 4, p. 1045-1056, 2017. (8628) - Fator de Impacto em 2016: 2,487
175. KLEIN, B. C.; SILVA, J. F. L.; JUNQUEIRA, T.L.; RABELO, S. C.; ARRUDA, P. V.; IENCZAK, J. L.; MANTELATTO, P. E.; PRADELLA, J. G. C.; VAZ JR., S.; BONOMI, A.M.F.L.J. Process development and techno-economic analysis of bio-based succinic acid derived from pentoses integrated to a sugarcane biorefinery. **Biofuels Bioproducts & Biorefining-Biofpr**, v. 11, n. 6, p. 1051-1064, 2017. (8629) - Fator de Impacto em 2016: 3,694
176. DIAS, C. S. B.; HANCHUK, T. D. M.; WENDER, H.; SHIGEYOSI, W. T.; KOBARG, J.; ROSSI, AN.L.; TANAKA, M. N.; CARDOSO, M. B.; GARCIA, F. Shape Tailored magnetic nanorings for intracellular hyperthermia cancer therapy. **Scientific Reports**, v. 7, p. 14843, 2017. (8634) - Fator de Impacto em 2016: 4,259
177. YANCY- CABALLERO; LING, L. Y.; ARCHILHA, N.L.; FERREIRA, J. E.; DRIEMEIER, C. E. Mineral particles in sugar cane bagasse: localization and morphometry using microtomography analysis. **Energy & Fuels**, v. 31, n. 11, p. 12288-12296, 2017. (8672) - Fator de Impacto em 2016: 3,091
178. JIMENEZ, M. M. J.; OLIVEIRA, R. F.; ALMEIDA, T. P. DE; FERREIRA, R. C. H.; BOF BUFON, C. C.; RODRIGUES, V.; PEREIRA-DA-SILVA, M. A.; GOBBI, A. L.; PIAZZETTA, M. H. O.; RIUL JR., A. Charge carrier transport in defective reduced graphene oxide as quantum dots and nanoplatelets in multilayer films. **Nanotechnology**, v. 28, n. 49, p. 495711, 2017. (8676) - Fator de Impacto em 2016: 3,44
179. GARCÍA- BASABE, Y.; ROCHA, A. R.; VICENTIN, F. C.; VILLEGAS, C. E. P.; NASCIMENTO, R.; ROMANI, E. C.; OLIVEIRA, E. C.; FECHINE, G. J. M.; LI, S.; EDA, G.; LARRUDE, D. G. Ultrafast charge transfer dynamics pathways in two-dimensional MoS<sub>2</sub>-graphene heterostructures: a core-hole clock approach. **Physical Chemistry Chemical Physics (PCCP)**, v. 19, n. 44, p. 29954-29962, 2017. (8683) - Fator de Impacto em 2016: 4,123
180. OLIVEIRA, D. S.; ZAVARIZE, M.; TIZEI, L. H. G.; WALLS, M.; OSPINA RAMIREZ, C. A.; IIKAWA, F.; UGARTE, D. M.; COTTA, M. A. Different growth regimes in InP nanowire growth mediated by Ag nanoparticles. **Nanotechnology**, v. 28, n. 50, p. 505604, 2017. (8689) - Fator de Impacto em 2016: 3,44
181. ROCHA, R. P.; MACHADO, M.; VAZ, M. G. M. V.; VINSON, C. C.; LEITE, MA.; RICHARD, R.; MENDES, L. B. B.; ARAÚJO, W. L.; CALDANA, C.; MARTINS, M. A.; WILLIAMS, T. C. R.; NUNES-NESI, A. Exploring the metabolic and physiological diversity of native microalgal strains (Chlorophyta) isolated from tropical freshwater reservoirs. **Algal Research-Biomass Biofuels and Bioproducts**, v. 28, p. 139-150, 2017. (8690) - Fator de Impacto em 2016: 3,994
182. OLIVEIRA, J. F. A.; CAPELETTI, L. B.; CARDOSO, M. B. Are antibiotic-functionalized nanoparticles a promising tool in antimicrobial therapies? **Nanomedicine**, v. 12, n. 23, p. 2587-2590, 2017. (8694) - Fator de Impacto em 2016: 4,727
183. LIMA, S. C. S.; PEREIRA, B. M. S. DE; MONTALVAO-DE-AZEVEDO, R.; FARIA, P. A.; SILVA, N. P. DA; NICOLAU-NETO, P.; MASCHIETTO, M.; CAMARGO, B. Association between long interspersed

nuclear element-1 methylation levels and relapse in Wilms tumors. **Clinical Epigenetics**, v. 9, p. 128, 2017. (8695) - Fator de Impacto em 2016: 4,987

184. SCOTT, S. A.; DENEKE, C.; PASKIEWICZ, D. M.; RYU, H. J.; MALACHIAS, A.; BAUNACK, S.; SCHMIDT, O. G.; SAVAGE, D. E.; ERIKSSON, M. A.; LAGALLY, M. G. Silicon nanomembranes with hybrid crystal orientations and strain states. **ACS Applied Materials & Interfaces**, v. 9, n. 48, p. 42372-42382, 2017. (8708) - Fator de Impacto em 2016: 7,504

## 2017 - Teses e Dissertações - Externa

1. PÉREZ, C. A. DE C. **Catalisadores Modelo de Cobalto em Materiais Nanoporosos Ordenados**. Doutorado. 2017. 98 f. Tese (Doutorado em Ciências em Engenharia Química) - Programa de Engenharia Química, Universidade Federal do Rio de Janeiro, Rio de Janeiro. (8091)
2. RAMOS, F. C. **Avaliação da termoestabilidade e aplicação biotecnológica de endoxilanases GH11 obtidas por otimização in silico**. 2017. 98f. Dissertação (Mestrado em Microbiologia) - Instituto de Biociências, Letras e Ciências Exatas, Universidade Estadual Paulista, São Jose do Rio Preto. (8326)
3. ELIAS, W. C. **Síntese e Caracterização de Nanocubos de Pd e Pd@In: Investigação da Sensibilidade à Estrutura e Composição em Reações de Homoacoplamento C-C do tipo Suzuki e Redução de Nitrato**. 2017. 131 f. Tese (Doutorado Química) - Departamento de Química, Universidade Federal de Santa Catarina. Florianópolis. (8383)
4. NETO, L. L. R. **Aproveitamento do resíduo de queima de cana-de-açúcar: caracterização físico-química e efeitos na germinação e crescimento de plantas**. 2017. 66 f. Dissertação (Mestrado em Tecnologia) - Faculdade de Tecnologia, Universidade Estadual de Campinas, Limeira. (8388)
5. PIN, T. C. **Avaliação de líquidos iônicos próticos para o pré-tratamento de bagaço de cana-de-açúcar**. 2017. 125 f. Dissertação (Mestrado em Engenharia Química) - Departamento de Engenharia Química, Universidade Estadual de Campinas, Campinas. (8389)
6. RASHEED, N. **Structural and functional characterization of the subunits of regulator complex, a regulator of amino acid sensing in mTORC1 pathway**. 2017. 129 f. Tese (Doutorado em Genética e Biologia Molecular) - Instituto de Biologia, Universidade Estadual de Campinas, Campinas. (8390)
7. SERRÃO, V. H. B. **Caracterização das interações macromoleculares das proteínas envolvidas na síntese de selenocisteínas em *Escherichia coli***. 2017, 256 f. Tese (Doutorado em Física), Instituto de Física de São Carlos, Universidade de São Paulo, São Carlos. (8391)
8. VELLO, T. P. **Desenvolvimento e caracterização de sensores capacitivos a partir de dielétricos híbridos para biodeteção**. 2017. 55 f. Dissertação (Mestrado em Físico-Química) - Instituto de Química, Universidade Estadual de Campinas, Campinas. (8392)
9. FREITA, L. A. **Produção de etanol de segunda geração utilizando bagaço de sorgo sacarino, forrageiro e biomassa**. 2017, 179 f. Tese (Doutorado em Ciências Agrárias) - Faculdade de Ciências Agrárias e Veterinárias, Universidade Estadual Paulista, Jaboticabal. (8393)
10. LOPES, J. R. **Síntese de nanopartículas de prata (NPsAg) em soluções aquosas de fibroína de seda e gelatina**. 2015. 117 f. Dissertação (Mestrado em Engenharia Mecânica) - Faculdade de Engenharia Mecânica, Universidade Estadual de Campinas, Campinas. (8394)
11. LEÃO, R. J. **Uncertainty evaluation for the alignment of particle accelerators: application to the Brazilian Synchrotron Light Source Sirius**. 2017. 205 f. Tese (Doutorado em Ciências e Tecnologias Espaciais) - Instituto Tecnológico de Aeronáutica, São José dos Campos. (8395)
12. VESCOVI, R. F. C. **Extended tomography: from basics to mapping mouse brains**. 2017. 154 f. Tese (Doutorado em Ciências) - Departamento de Física, Universidade Estadual de Campinas, Campinas. (8420)

13. RESENDE, R. C. **Estudo das propriedades do elastômero termoplástico de copoliéster tratado a plasma**. 2017. 130f. Dissertação (Mestrado em Ciência e Tecnologia de Materiais) - Centro de Tecnologia de Materiais, Universidade Estadual Paulista, Sorocaba. (8457)
14. OLIVEIRA, L. M. DE **A influência do líquido iônico [C14MIM][Cl] nas características estruturais e termodinâmicas de membranas modelos zwitterônicas e aniônicas**. 2017. 90 f. Dissertação (Mestrado em Ciências) - Departamento de Física Geral, Universidade de São Paulo, São Paulo. (8487)
15. SATO, P. S. **Caracterização do efeito da rugosidade em filmes finos deTiNb sobre o aço 316L para aplicação na biomedicina**. 2017, 63 f. Dissertação (Mestrado em Engenharia de Materiais) - Centro de Ciências e Tecnologias para Sustentabilidade, Universidade Federal de São Carlos, São Carlos. (8531)
16. CANABARRO LEITE, D. **Microgéis termo-responsivos preparados a partir dos polímeros do amido**. 2017. 160 f. Tese (Doutorado em Química) - Instituto de Química, Universidade Federal do Rio Grande do Sul, Porto Alegre. (8532)
17. COLETTA, V. C. **Síntese e caracterização dos compostos SrTi1-xCuxO3, CuO/SrTiO3 aplicados à catálise da reação de deslocamento gás-água**. 2017. 100 f. Tese (Doutorado em Ciências) - Instituto de Física de São Carlos, Universidade de São Paulo, São Carlos. (8534)
18. COELHO, B. C. **Síntese e estudo das propriedades estruturais e elétricas de nanofios de ZnO para aplicações em sensoriamento**. 2017. 92 f. Dissertação (Mestrado em Ciências) – Instituto de Física, Universidade Federal de São João Del-Rei, São João Del-Rei. (8535)
19. MORAIS, F. P. R. **Digestibilidade e atividade antioxidante de complexos de isolado proteico de soro de leite com compostos fenólicos antes e após a digestão in vitro**. 2017, 85 f. Dissertação (Mestrado em Nutrição Experimental) - Faculdade de Engenharia de Alimentos, Universidade Estadual de Campinas, Campinas. (8568)
20. TURANO, H. G. **Avaliação da atividade bactericida da Pilocina S8 contra Cepas De *Pseudomonas aeruginosa* multirresistentes**. 2017. 146 f. Tese (Doutorado em Microbiologia) - Instituto de Ciências Biomédicas, Universidade de São Paulo, São Paulo. (8571)
21. GENTILI, P. T. **Nanopartículas de óxidos de ferro: preparación, caracterización e integración en nanoestructuras multicomponentes**. 2017. 198 f. Tese (Doutorado em Física) Facultad de Ingeniería - Laboratorio de Sólidos Amorfos, Universidad de Buenos Aires, Buenos Aires. (8572)
22. CORRADINI, P. G. **Investigação de nanocatalisadores de platina-terras raras suportados em carbono para células a combustível de etanol direto**. 2017. 150 f. Tese (Doutorado em Físico-Química) - Instituto de Química, Universidade de São Paulo, São Carlos. (8573)
23. BONTEMPO, L. **Produção e caracterização elétrica de filmes finos de telureto com nanopartículas de ouro depositados pela técnica sputtering para aplicação em memórias**. 2017. 128 f. Tese (Doutorado em Microeletrônica) - Escola Politécnica - Departamento de Engenharia Elétrica, Universidade de São Paulo, São Paulo. (8574)
24. CARMO, D. **Manipulação da penetração regular de fluxo magnético e avalanches termomagnéticas em filmes supercondutores**. 2017. 161 f. Tese (Doutorado em Física) Departamento de Física. Universidade Federal de São Carlos, São Carlos. (8582)

25. ROJAS, J. E. U. **Preparation and characterization of fibroin hydrogels for potential application in photodynamic therapy.** 2017. 190 f. Dissertação (Mestrado em Nanociência e Materiais Avançados) – Centro de Nanociências e Materiais Avançados, Fundação Universidade Federal do ABC, Santo André. (8639)
26. FACTORI, I. M. **Obtenção e caracterização de nanocompósitos de poli (álcool vinílico) com nanotubos de titanato por eletrofição.** 2017. 110 f. Tese (Doutorado em Nanociências e Materiais Avançados) - Centro de Ciências Naturais e Humanas, Fundação Universidade Federal do ABC, Santo André. (8640)
27. COSTA, L. M. **Ferroelectric/ ferromagnetic complex oxides thin films grown by pulsed laser deposition.** 2017. 145 f. Tese (Doutorado em Física) - Technical University of Munich, Department fur Chemie, Technical University of Munich, Department fur Chemie, Munich. (8641)
28. NUNES, G. A. M. A. **Caracterização de palmilhas de látex: avaliação de compósitos de látex como proposta para desenvolvimento de palmilhas para utilização no tratamento de pacientes com pé diabético.** 2017. 114 f. Dissertação (Mestrado em Engenharia Biomédica) – Faculdade de Engenharia Biomédica, Universidade de Brasília, Brasília. (8649)
29. CZAIKOSKI, A. **Estudo do comportamento reológico de nanofibras de celulose obtidas por diferentes métodos.** 2017. 143 f. Dissertação (Mestrado Engenharia de Alimentos) - Faculdade de Engenharia de Alimentos, Universidade Estadual de Campinas Alimentos, Campinas. (8650)
30. MICHELON, M. **Production of liposomal systems by microfluidic devices aiming food applications.** 2017. 156 f. Tese (Doutorado em Engenharia de Alimentos) - Faculdade de Engenharia de Alimentos, Universidade Estadual de Campinas, Campinas. (8692)

## ANEXO 5 – Recomendações da Comissão de Avaliação do Contrato de Gestão

**Recomendação:** A CA recomenda que se *retomem* as ações voltadas à inovação do Centro – a política de inovação do CNPEM, para a valorização dos resultados obtidos nas atividades de pesquisa e investigação realizadas na instituição. A partir das visitas realizadas nos Laboratórios, podem-se verificar produtos resultantes de pesquisa sem um acompanhamento das possibilidades de sua exploração comercial.

**Comentário da CA na Reunião Semestral de 2016:** Recomendação mantida.

**Comentário da CA na Reunião Anual de 2016:** Recomendação mantida. A CA reconhece as iniciativas realizadas, mas solicita que ações sejam continuadas.

**Providências:** a Direção do CNPEM, de acordo com as diretrizes do seu Conselho de Administração e com os compromissos assumidos no Contrato de Gestão, vem, continuamente, implementando ações para fortalecer sua atuação no apoio à inovação pelas empresas brasileiras. A divulgação mais ampla dos resultados das atividades de pesquisa e das competências dos Laboratórios Nacionais por meio de canais de interlocução com empresas produtivas tem sido um dos focos da área de comunicação do CNPEM. Em especial, a Unidade Embrapii tem representado um importante fator de estímulo nessa direção. Em 2017, as estratégias de prospecção de projetos no âmbito da Unidade Embrapii e a participação nos eventos setoriais promovidos pela Embrapii viabilizaram a ampliação dessa carteira de projetos e reforçaram as expectativas mais otimistas quanto à capacidade de o CNPEM fortalecer nos próximos anos as parcerias com empresas de diferentes setores econômicos, com vistas à aplicação dos resultados de suas atividades de P&D. Vale ressaltar que a colaboração com empresas desde o início dos projetos tem-se mostrado como uma rota muito mais promissora para a perspectiva de exploração comercial. Outro destaque são as parcerias firmadas no âmbito do Projeto Sirius, com o apoio financeiro de Finep e Fapesp, voltadas à participação de empresas brasileiras na solução dos grandes desafios tecnológicos do projeto de construção da nova Fonte de Luz Síncrotron. A Direção do CNPEM tem clareza quanto à necessidade de sustentar, em horizonte de longo prazo, uma postura proativa para aumentar a capacidade de resposta dos Laboratórios Nacionais em projetos de inovação das empresas.

**Recomendação:** Dimensão Nacional do Centro - desenvolver mecanismos e instrumentos de descentralização e ação nacional dos laboratórios junto aos institutos de pesquisa e inovação nas diversas regiões brasileiras.

**Comentário da CA na Reunião Semestral de 2016:** Recomendação mantida.

**Comentário da CA na Reunião Anual de 2016:** Recomendação mantida. A CA reconhece as iniciativas que vêm sendo realizadas, mas acredita que há ainda outras ações possíveis. A CA recomenda que no próximo relatório de acompanhamento semestral, o CNPEM explicita as iniciativas que estão sendo realizadas.

**Comentário da CA na Reunião Semestral de 2017:** Recomendação mantida. A CA reconhece, mais uma vez, que iniciativas vêm sendo realizadas, mas enfatiza a necessidade de ampliar a divulgação das atividades do Centro, por exemplo, junto às sociedades de pesquisa, às instituições de ensino e pesquisa, entre outras, no país.

**Providências:** a Direção do CNPEM tem absoluta convicção quanto à relevância da recomendação da Comissão de Avaliação, tendo em vista o caráter nacional de sua missão. Nos eventos de capacitação de 2017, procurou-se criar oportunidades para atrair pesquisadores e estudantes das regiões Sul, Nordeste, Norte e Centro-Oeste para os cursos de capacitação e treinamento. Contudo, as dificuldades orçamentárias e financeiras nesse ano inviabilizaram a execução de estratégias mais agressivas nessa direção. Isso se refletiu no resultado abaixo do esperado para o novo indicador pactuado. No próximo ano, serão estimuladas alternativas de eventos baseadas na cooperação com instituições dessas regiões brasileiras visando à ampliação da participação de seus pesquisadores nos cursos de capacitação e treinamento do Centro.

**Recomendação:** A CA observa, com preocupação, a frequente mudança de Diretores tanto na Diretoria Geral como nos Laboratórios que constituem o CNPEM. Certamente a troca frequente não contribui para políticas e estratégias de longo prazo visando atender, por exemplo, um conjunto de ações que contemple áreas estratégicas convergentes com as necessidades nacionais.

Dessa forma, a CA acredita que o CNPEM deva envidar esforços para identificar aspectos que aprimorem o processo de busca e permanência dos Diretores do Centro.

**Comentário da CA na Reunião Semestral de 2017:** Recomendação mantida. A CA mantém a recomendação mesmo diante do momento crítico da ciência e tecnologia no país.

**Providências:** O CNPEM reconhece e partilha das preocupações da Comissão de Avaliação quanto à necessidade de buscar horizonte de longo prazo para a execução de suas ações estratégicas. São exemplos bem-sucedidos dessa visão a concepção, o desenvolvimento e a construção da nova fonte brasileira de Luz Síncrotron, pelo LNLS, que teve início em 2009, a estruturação da plataforma para o desenvolvimento de fármacos, no LNBIO, a partir de 2011, assim como o projeto de expansão e modernização das instalações físicas e laboratoriais do LNNano, desde o ano de 2013, para torná-lo referência em nanociências e nanotecnologia, com o apoio do Programa Nacional de Nanotecnologia (SisNano). No entanto, o caráter singular do Centro no ambiente científico e tecnológico do País e os requisitos particulares de perfil para a posição de liderança dos Laboratórios Nacionais tornam extremamente complexa a busca de nomes dos Diretores, sobretudo nos casos dos Laboratórios mais novos, que ainda buscam caminhos para consolidar suas linhas de atuação no cumprimento dos objetivos traçados pelas políticas de ciência e tecnologia. Isso pode ocasionar mudanças mais frequentes de dirigentes do que o desejado. Cabe ressaltar que o Centro mantém como preocupação central buscar as melhores formas de cumprir as diretrizes e os objetivos estratégicos assumidos na assinatura do Contrato de Gestão com o Ministério de Ciência, Tecnologia, Inovações e Comunicações.



## ANEXO 6 – Recomendações de Órgãos de Controle

### Prestação de contas 2015 - CGU

Em junho de 2016, o CNPEM recebeu os auditores da Controladoria Geral da União (CGU), que examinaram os atos de gestão praticados entre 01/01/2015 e 31/12/2015 pelos seus responsáveis, com base na prestação de contas anual apresentada pelo Centro. A avaliação do Plano de Previdência Permanente foi realizada em agosto de 2017 sobre as seguintes recomendações ao CNPEM:

<b>Relatório de Auditoria/Nota de Auditoria/Nota Técnica nº 2016.01347</b>
<b>Recomendação 167255:</b> normatizar procedimentos a fim de se verificar, nas contratações realizadas pelo CNPEM, se há vínculo de parentesco entre o fornecedor a ser contratado e os dirigentes (inclusive seus parentes colaterais).
<b>Providência implementada:</b> Os documentos de “Declaração de Parentes” dos diretores foram elaborados e finalizadas a revisão e implementação do procedimento interno P.SIN.04 - Procedimento de Seleção de fornecedores. A implementação do procedimento ocorreu em 30/06/2017 e foi divulgado internamente em 05/07/2017.
<b>Status:</b> Implementada

<b>Relatório de Auditoria/Nota de Auditoria/Nota Técnica nº 2016.01347</b>
<b>Recomendação 167256:</b> estabelecer rotina, normatizada, para que a documentação apresentada pelas empresas na etapa de seleção de fornecedores seja analisada sob os aspectos análise dos endereços das empresas, quadro societário, data de constituição das empresas, formato das propostas e contratação de empresas ligadas a dirigentes da entidade, mitigando assim o risco de fraudes e ou conluio por parte dos fornecedores participantes das seleções promovidas pelo CNPEM.
<b>Providência implementada:</b> Nos termos do Art. 35 do “Regulamento de Contratação de Obras, Serviços, Compras e Alienações do CNPEM” (aprovado em 05 de junho de 2014), somente podem prestar serviços e realizar obras para o CNPEM as empresas legalmente constituídas e regulares com suas obrigações. A verificação de tais regularidades ocorre antes da celebração do contrato pela Assessoria Jurídica, conforme atribuições descritas em sua Portaria de constituição. Em relação ao risco de contratação de empresas ligadas a dirigentes do CNPEM, a verificação ocorre no momento da seleção do fornecedor, conforme mencionado na Recomendação 167255.
<b>Status:</b> Implementada

<b>Relatório de Auditoria/Nota de Auditoria/Nota Técnica nº 2016.01347</b>
<b>Recomendação 167260:</b> a Auditoria Interna do CNPEM deve incluir no planejamento de seus trabalhos uma auditoria que verifique, nos contratos atuais, a ocorrência de vínculos de parentesco entre os contratados e dirigentes do CNPEM.
<b>Providência implementada:</b> O Art. 38 do “Regulamento de Contratação de Obras, Serviços, Compras e Alienações do CNPEM” (aprovado em 05 de junho de 2014) prevê nos processos de contratação, de que trata este regulamento, a submissão aos procedimentos anuais de auditoria de controles internos para garantia das boas práticas e observância dos procedimentos internos

do CNPEM. O Plano Anual de Auditoria Interna aprovado prevê a verificação, conforme norma de Auditoria Interna e Procedimento de Auditoria Interna do CNPEM.

**Status:** Implementada

**Relatório de Auditoria/Nota de Auditoria/Nota Técnica nº 2016.01347**

**Recomendação 167259:** adotar procedimentos de verificação da ocorrência de registro de penalidades, em nome das contratadas com recursos oriundos do contrato.

**Providência implementada:** Procedimento interno P.SIN.03 - Procedimento de Cadastro de Fornecedor foi revisado, implementado em 30/06/2017 e divulgado ao Centro em 05/07/2017.

**Status:** Implementada

**Relatório de Auditoria/Nota de Auditoria/Nota Técnica nº 2016.01347**

**Recomendação 167257:** providenciar a justificativa escrita, por parte do Diretor-Geral do CNPEM, autorizando os pagamentos antecipados estabelecidos no Contrato nº 01/2014, firmado com a empresa Racional Engenharia Ltda., juntamente com as respectivas medidas acauteladoras adotadas e as garantias exigidas.

**Providência implementada:** elaborada a justificativa formal, aprovada pelo Diretor-Geral do CNPEM, para os pagamentos antecipados, com respectivas medidas acauteladoras adotadas e garantias, estabelecidos no Contrato nº 01/2014 com a empresa Racional Engenharia Ltda em 28/10/2016.

**Status:** Implementada

**Relatório de Auditoria/Nota de Auditoria/Nota Técnica nº 2016.01347**

**Recomendação 167261:** a Auditoria Interna do CNPEM deve realizar auditoria no Contrato nº 01/2014 com foco nos pagamentos antecipados realizados, com intuito de verificar a efetiva entrega das etapas da obra em que houve antecipação de recursos à contratada. Ademais, deve verificar e avaliar se foram adotadas medidas acauteladoras e constituídas garantias, e se essas se prestam a resguardar os recursos financeiros públicos aplicados na obra, no caso de eventual descumprimento contratual por parte da contratada.

**Providência implementada:** Conforme disposto Art. 38. do Regulamento de Compras, os processos de contratação de que trata este regulamento são submetidos a procedimentos anuais de auditoria de controles internos para garantia das boas práticas e observância dos procedimentos internos do CNPEM.

Cumpra a auditoria interna realizar tais procedimentos para o escopo definido em Plano Anual de Auditoria Interna aprovado - o qual é analisado por amostragem, conforme consta em Procedimento de Auditoria Interna do CNPEM.

Em casos como para o Contrato nº 01/2014, há necessidade de suporte de especialistas (engenheiros) com intuito de verificar a efetiva entrega das etapas da obra e dar conforto a alta administração e auditoria interna. Neste caso os controles de acompanhamento da obra são analisados de forma independente pela Gerenciadora Engecorps - empresa contratada em conjunto pela construtora Racional e CNPEM. Posteriormente, as medições são encaminhadas para os engenheiros do CNPEM para aceite.

Com relação às medidas acauteladoras e garantias, o CNPEM não corre qualquer risco de perder os valores entregues em adiantamento à construtora. Isto porque, conforme previsão contratual,

foi exigido da empresa vencedora do certame a contratação de “seguro garantia contra riscos financeiros” em favor de CNPEM, no importe de 5% do valor da obra, ou seja, valor superior aos adiantamentos devidos durante toda a execução da obra. Conforme documentos de Planos de Auditoria Interna 2016 e 2017.

**Status:** Implementada

**Relatório de Auditoria/Nota de Auditoria/Nota Técnica nº 2016.01347**

**Recomendação 167258:** publicar na página do CNPEM, na internet, as aquisições e/ou contratações realizadas no âmbito do Projeto Sirius, inclusive as já realizadas, a fim de dar a devida publicidade às aquisições efetuadas.

**Providência implementada:** Publicações disponíveis nas páginas:

<http://pages.cnpem.br/avalcompetitivas/> e <http://lnls.cnpem.br/sirius/demandas-e-suprimentos/>

**Status:** Implementada

**Sirius - TCU**

Em junho de 2017, o CNPEM recebeu os auditores do Tribunal de Contas da União (TCU) – Secretária de Fiscalização de Infraestrutura Urbana, com o objetivo de avaliarem a aplicação dos recursos públicos federais destinados à construção da Fonte de Luz Síncrotron de 4ª Geração – Sirius, em especial a parcela relacionada a obra civil. O Relatório, acompanhado do Acórdão 2306/2017, recebido em outubro de 2017, apresentou as seguintes recomendações/ deliberações ao CNPEM:

**Relatório de Auditoria/Nota de Auditoria/Nota Técnica nº TC 013.169/2017-3 – Acórdão 2306/2017**

**Deliberação 9.1.:** 9.1.1. apresente a este Tribunal, no prazo de 120 dias, contado da ciência desta deliberação, plano de ação com detalhamento do descomissionamento do UVX, do comissionamento do Sirius, da operação do Sirius e da previsão do fluxo de caixa da operação do CNPEM, contendo, no mínimo, as medidas a serem adotadas, os responsáveis pelas ações e o prazo previsto para a sua implementação;

9.1.2. adote providências, no prazo de até 45 dias após a elaboração do plano de ação supramencionado, junto ao Ministério da Ciência, Tecnologia, Inovação e Comunicações (MCTIC), para que eventuais ações determinadas no plano de ação sejam incorporadas ao contrato de gestão;

9.1.3. encaminhe ao TCU, no prazo de dez dias após as eventuais alterações, a nova versão do contrato de gestão firmado entre o CNPEM e o MCTIC.

**Providências implementadas:**

Desde o segundo semestre de 2017, estão em andamento estudos técnicos e discussões com os usuários externos para subsidiar um plano de descomissionamento do UVX. O plano de Comissionamento do Sirius está em elaboração, envolvendo três componentes: prédio, aceleradores e linhas de luz. No caso do plano de operação, foram iniciadas no segundo semestre do ano, a partir de demandas do Ministério do Planejamento e da Casa Civil, reuniões com outros ministérios setoriais, instituições governamentais e agências reguladoras, coordenadas pelo

MCTIC, com vistas à elaboração de programas estruturantes de pesquisa e desenvolvimento nessas áreas, que viabilizariam uma estratégia mais ampla de utilização do potencial de aplicação do Sirius e o seu financiamento. Entretanto, é provável que os prazos determinados pelo Tribunal de Contas não sejam suficientes para esse complexo planejamento, ensejando um pedido formal do CNPEM para a sua prorrogação.

**Status:** Em andamento

**Relatório de Auditoria/Nota de Auditoria/Nota Técnica nº** TC 013.169/2017-3 – Acórdão 2306/2017

**Deliberação 9.3.:** realizar a oitiva do CNPEM, com fulcro no art. 250, inciso V, do RI/TCU, para que, no prazo de quinze dias, contado da ciência desta deliberação, manifeste-se acerca do descumprimento pelo MCTIC do cronograma de desembolso firmado no contrato de gestão junto a esta entidade, tratando especificamente sobre os atrasos verificados e eventuais planos de contingência visando a manutenção do ritmo da obra, sem atrasos ou paralisações

**Providência implementada:** Oitiva realizada em 14 de novembro de 2017.

**Status:** Implementada

## ANEXO 7 – Informações Complementares

**Tabela 1 – Pontuação da Avaliação Geral da Comissão de Avaliação do Contrato de Gestão (CACG) entre 2010 – 2016**

INDICADOR	PONTUAÇÃO						
	2010	2011	2012	2013	2014	2015	2016
Avaliação Geral da CACG	9,23	9,15	9,2	9,5	9,5	9,7	9,6

**Tabela 2.1 – CNPEM: Histórico dos valores repassados pelo Contrato de Gestão, exceto projetos (em R\$)**

Fonte	2010	2011	2012	2013	2014	2015	2016	2017
MCTIC	28.340.000	70.340.000	59.333.275	53.031.350	51.667.399	27.100.000	74.360.975	54.877.340
Outras fontes	17.751.000	-	3.193.330	21.287.667	12.266.660	-	-	-
Restos a pagar	-	21.000.000	20.000.000	12.985.916	16.698.993	22.816.850	65.500.000	-
<b>Total</b>	<b>46.091.000</b>	<b>91.340.000</b>	<b>82.526.605</b>	<b>87.304.933</b>	<b>80.633.052</b>	<b>49.916.850</b>	<b>139.860.975</b>	<b>54.877.340</b>

**Tabela 2.2 – Projeto Sirius: Histórico dos valores repassados pelo Contrato de Gestão (em R\$)**

Fonte	2012	2013	2014	2015	2016	2017
MCTIC	15.203.870	32.469.000	93.933.334	72.176.666	378.582.378	325.933.705

**Tabela 2.3 – Projeto SisNano: Histórico dos valores repassados pelo Contrato de Gestão (em R\$)**

Fonte	2014	2015	2016	2017
MCTIC	11.180.000	11.346.100	14.927.638	6.664.393

**Tabela 3 – Valores repassados pelo Contrato de Gestão em 2017 (em R\$)**

Termo Aditivo	Ação	Desc.	Valor	Data Recebimento
18ªTA	212H	CNPEM Operação	5.000.000	17/07/2017
18ªTA	212H	CNPEM Operação	2.222.222	24/07/2017
18ªTA	212H	CNPEM Operação	2.777.778	24/07/2017
18ªTA	212H	CNPEM Operação	5.000.000	04/08/2017
18ªTA	212H	CNPEM Operação	4.000.000	13/09/2017
18ªTA	212H	CNPEM Operação	6.000.000	17/11/2017
18ªTA	212H	CNPEM Operação	29.877.340	15/12/2017
		<b>Subtotal Operação</b>	<b>54.877.340</b>	
17ªTA	13CL	Sirius	24.800.000	17/05/2017
17ªTA	13CL	Sirius	105.200.000	12/06/2017
17ªTA	13CL	Sirius	59.381.894	12/07/2017
19ªTA	13CL	Sirius	60.000.000	11/10/2017
19ªTA	13CL	Sirius	25.318.106	13/11/2017
20ªTA	13CL	Sirius	51.233.705	14/12/2017
		<b>Subtotal Sirius</b>	<b>325.933.705</b>	
18ªTA	14XT	<b>SisNano</b>	<b>6.664.393</b>	15/12/2017
		<b>Total</b>	<b>387.475.438</b>	

**Tabela 4 – Contas bancárias (em R\$)**

Banco	Agencia	Conta	Saldo em 31.12.2017
Banco do Brasil (Operação)	3360-x	1268-8	51.208.661
Banco do Brasil (Operação)	3360-x	5664-2	9.347.751
Bradesco (Operação)	339-8	10815-4	14.177.956
Banco Rendimento (Cartão Viagem)			13.708
Suprimentos de Fundos (em Espécie)			14.713
Caixa Moeda Estrangeira (em Espécie)			17
			<b>74.762.807</b>
Banco do Brasil (Sirius)	3360-x	5387-2	9.930.469
Bradesco (Sirius)	339-8	10716-6	82.430.589
Banco do Brasil (Sirius)	3360-x	5671-5	147.254.054
			<b>239.615.112</b>
Banco do Brasil (SisNano)	3360-x	200.305-8	<b>18.225.017</b>
Banco do Brasil (Biotec)	3360-x	200.306-6	996.918
Banco do Brasil (Biotec)	3360-x	5665-0	1.700.947
			<b>2.697.865</b>
<b>Total Geral</b>			<b>335.300.802</b>

**Tabela 5 – CNPEM: Demonstração de receitas auferidas em 2017, exceto projetos (em R\$)**

Receitas	2017
Contrato de Gestão - MCTIC	54.877.340
Restos a pagar	-
Receita de convênios	14.839.937
Receita financeira	6.209.232
Receita com prestação de serviços	1.861.580
Outras Receitas	1.528.792
<b>Total</b>	<b>79.316.881</b>

**Tabela 5.1 – Projeto Sirius: Demonstração de receitas auferidas em 2017 (em R\$)**

Receitas	2017
Contrato de Gestão - MCTIC	325.933.705
Rendimentos e outras entradas	16.694.288
<b>Total</b>	<b>342.627.993</b>

**Tabela 5.2 – Projeto SisNano: Demonstração de receitas auferidas em 2017 (em R\$)**

Receitas	2017
Contrato de Gestão - MCTIC	6.664.393
Rendimentos e outras entradas	900.414
<b>Total</b>	<b>7.564.807</b>

**Tabela 5.3 – Projeto Biotec: Demonstração de receitas auferidas em 2017 (em R\$)**

<b>Receitas</b>	<b>2017</b>
Contrato de Gestão - MCTIC	-
Rendimentos financeiros	275.241
<b>Total</b>	<b>275.241</b>

**Tabela 6 – CNPEM: Saldo financeiro do Contrato de Gestão em 2017, exceto projetos (em R\$)**

	<b>2017</b>
Reserva Técnica do Conselho de Administração	23.525.707
Recursos destinados a metas iniciadas em exercícios anteriores	51.237.100
<b>Saldo Financeiros em 31/12</b>	<b>74.762.807</b>

**Tabela 6.1 – Projeto Sirius: Saldo financeiro do Contrato de Gestão em 2017 (em R\$)**

	<b>2017</b>
Saldo Financeiro em 31/12	239.615.112

**Tabela 6.2 – Projeto SisNano: Saldo financeiro do Contrato de Gestão em 2017 (em R\$)**

	<b>2017</b>
Saldo Financeiro em 31/12	18.225.017

**Tabela 6.3 – Projeto Biotec: Saldo financeiro do Contrato de Gestão em 2017 (em R\$)**

	<b>2017</b>
Saldo Financeiro em 31/12	2.697.865

## ANEXO 8 – Relatório dos Auditores Independentes



# **Demonstrações Financeiras**

## **Centro Nacional de Pesquisa em Energia e Materiais - CNPEM**

31 de dezembro de 2017  
com Relatório do Auditor Independente

# Centro Nacional de Pesquisa em Energia e Materiais - CNPEM

## Demonstrações financeiras

31 de dezembro de 2017

### Índice

Relatório do auditor independente sobre as demonstrações financeiras.....	1
Demonstrações financeiras auditadas	
Balanço patrimonial .....	5
Demonstração do superávit (déficit).....	7
Demonstração do superávit (déficit) abrangente.....	8
Demonstração das mutações do patrimônio social .....	9
Demonstração dos fluxos de caixa.....	10
Notas explicativas às demonstrações financeiras .....	11

## **Relatório do auditor independente sobre as demonstrações financeiras**

Aos administradores do  
**Centro Nacional de Pesquisa em Energia e Materiais - CNPEM**  
Campinas - SP

### **Opinião**

Examinamos as demonstrações financeiras do Centro Nacional de Pesquisa em Energia e Materiais - CNPEM (Instituição), que compreendem o balanço patrimonial em 31 de dezembro de 2017 e as respectivas demonstrações do superávit (déficit), do superávit (déficit) abrangente, das mutações do patrimônio social e dos fluxos de caixa para o exercício findo nessa data, bem como as correspondentes notas explicativas, incluindo o resumo das principais políticas financeiras.

Em nossa opinião, as demonstrações financeiras acima referidas apresentam adequadamente, em todos os aspectos relevantes, a posição patrimonial e financeira do Centro Nacional de Pesquisa em Energia e Materiais - CNPEM em 31 de dezembro de 2017, o desempenho de suas operações e os seus fluxos de caixa para o exercício findo nessa data, de acordo com as práticas contábeis adotadas no Brasil.

### **Base para opinião**

Nossa auditoria foi conduzida de acordo com as normas brasileiras e internacionais de auditoria. Nossas responsabilidades, em conformidade com tais normas, estão descritas na seção a seguir intitulada "Responsabilidades do auditor pela auditoria das demonstrações financeiras". Somos independentes em relação à Instituição, de acordo com os princípios éticos relevantes previstos no Código de Ética Profissional do Contador e nas normas profissionais emitidas pelo Conselho Federal de Contabilidade, e cumprimos com as demais responsabilidades éticas de acordo com essas normas. Acreditamos que a evidência de auditoria obtida é suficiente e apropriada para fundamentar nossa opinião.

### **Incerteza relevante relacionada a continuidade operacional**

Chamamos atenção para a nota explicativa 1 às demonstrações financeiras, a qual descreve que a Instituição possui como principal fonte de receita de suas operações o contrato com o Ministério de Ciência, Tecnologia Inovação e Comunicação (MCTIC), com vigência até setembro de 2018. De acordo com as informações da administração da Instituição, a renovação do contrato se encontra em andamento, entretanto, até o encerramento dos nossos trabalhos de auditoria, não havia formalização de sua renovação. Essa situação indica a existência de incerteza relevante que pode levantar dúvida significativa sobre a continuidade operacional da Instituição. Nossa opinião não está ressalvada em relação a esse assunto.

## **Outros assuntos**

### *Auditoria dos valores correspondentes*

As demonstrações financeiras referentes ao exercício findo em 31 de dezembro de 2016, apresentadas para fins de comparação, foram examinadas por outro auditor independente que emitiu relatório datado em 14 de fevereiro de 2017, sem ressalva contendo a mesma incerteza relevante relacionada a continuidade operacional.

## **Responsabilidades da administração e da governança pelas demonstrações financeiras**

A administração é responsável pela elaboração e adequada apresentação das demonstrações financeiras de acordo com as práticas financeiras adotadas no Brasil e pelos controles internos que ela determinou como necessários para permitir a elaboração de demonstrações financeiras livres de distorção relevante, independentemente se causada por fraude ou erro.

Na elaboração das demonstrações financeiras, a administração é responsável pela avaliação da capacidade de a Instituição continuar operando, divulgando, quando aplicável, os assuntos relacionados com a sua continuidade operacional e o uso dessa base contábil na elaboração das demonstrações financeiras, a não ser que a administração pretenda liquidar a Instituição ou cessar suas operações, ou não tenha nenhuma alternativa realista para evitar o encerramento das operações.

Os responsáveis pela governança da Instituição são aqueles com responsabilidade pela supervisão do processo de elaboração das demonstrações financeiras.

## **Responsabilidades do auditor pela auditoria das demonstrações financeiras**

Nossos objetivos são obter segurança razoável de que as demonstrações financeiras, tomadas em conjunto, estão livres de distorção relevante, independentemente se causada por fraude ou erro, e emitir relatório de auditoria contendo nossa opinião. Segurança razoável é um alto nível de segurança, mas não uma garantia de que a auditoria realizada de acordo com as normas brasileiras e internacionais de auditoria sempre detectam as eventuais distorções relevantes existentes. As distorções podem ser decorrentes de fraude ou erro e são consideradas relevantes quando, individualmente ou em conjunto, possam influenciar, dentro de uma perspectiva razoável, as decisões econômicas dos usuários tomadas com base nas referidas demonstrações financeiras.

Como parte da auditoria realizada de acordo com as normas brasileiras e internacionais de auditoria, exercemos julgamento profissional e mantemos ceticismo profissional ao longo da auditoria. Além disso:

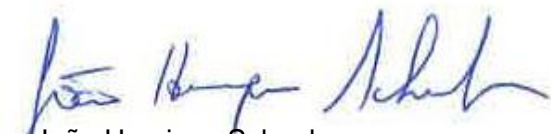
- Identificamos e avaliamos os riscos de distorção relevante nas demonstrações financeiras, independentemente se causada por fraude ou erro, planejamos e executamos procedimentos de auditoria em resposta a tais riscos, bem como obtemos evidência de auditoria apropriada e suficiente para fundamentar nossa opinião. O risco de não detecção de distorção relevante resultante de fraude é maior do que o proveniente de erro, já que a fraude pode envolver o ato de burlar os controles internos, conluio, falsificação, omissão ou representações falsas intencionais.
- Obtemos entendimento dos controles internos relevantes para a auditoria para planejarmos procedimentos de auditoria apropriados às circunstâncias, mas, não, com o objetivo de expressarmos opinião sobre a eficácia dos controles internos da Instituição.
- Avaliamos a adequação das políticas contábeis utilizadas e a razoabilidade das estimativas contábeis e respectivas divulgações feitas pela administração.
- Concluimos sobre a adequação do uso, pela administração, da base contábil de continuidade operacional e, com base nas evidências de auditoria obtidas, se existe incerteza relevante em relação a eventos ou condições que possam levantar dúvida significativa em relação à capacidade de continuidade operacional da Instituição. Se concluirmos que existe incerteza relevante, devemos chamar atenção em nosso relatório de auditoria para as respectivas divulgações nas demonstrações financeiras ou incluir modificação em nossa opinião, se as divulgações forem inadequadas. Nossas conclusões estão fundamentadas nas evidências de auditoria obtidas até a data de nosso relatório. Todavia, eventos ou condições futuras podem levar a Instituição a não mais se manter em continuidade operacional.
- Avaliamos a apresentação geral, a estrutura e o conteúdo das demonstrações financeiras, inclusive as divulgações e se as demonstrações financeiras representam as correspondentes transações e os eventos de maneira compatível com o objetivo de apresentação adequada.



Comunicamo-nos com os responsáveis pela governança a respeito, entre outros aspectos, do alcance planejado, da época da auditoria e das constatações significativas de auditoria, inclusive as eventuais deficiências significativas nos controles internos que identificamos durante nossos trabalhos.

Campinas, 9 de fevereiro de 2018.

ERNST & YOUNG  
Auditores Independentes S.S.  
CRC 2SP034519/O-6



João Henrique Schenk  
Contador CRC 1SP202127/O-8

## Centro Nacional de Pesquisa em Energia e Materiais - CNPEM

Balanco patrimonial

31 de dezembro de 2017 e 2016

(Valores expressos em milhares de reais)

	<b>Nota</b>	<b>2017</b>	<b>2016</b>
Ativo			
Circulante			
Caixa e equivalentes de caixa - sem restrição	4	<b>21.477</b>	67.796
Caixa e equivalentes de caixa - com restrição	4	<b>480</b>	3
Aplicações financeiras - sem restrição	4	<b>57.263</b>	27.074
Aplicações financeiras - com restrição	4	<b>279.384</b>	328.216
Contas a receber		<b>289</b>	155
Estoques		<b>468</b>	424
Adiantamento a fornecedores		<b>70</b>	54
Outros ativos		<b>1.021</b>	1.438
		<b>360.452</b>	425.160
Não circulante			
Depósitos judiciais		<b>203</b>	1.316
Imobilizado			
Imobilizado - sem restrição	5	<b>131.822</b>	137.185
Imobilizado - com restrição	5	<b>669.166</b>	302.905
Intangível			
Intangível - sem restrição	5	<b>2.122</b>	2.410
Intangível - com restrição	5	<b>299</b>	436
		<b>803.612</b>	444.252
Total do ativo		<b>1.164.064</b>	869.412

	<b>Nota</b>	<b>2017</b>	<b>2016</b>
Passivo e patrimônio social			
Circulante			
Fornecedores		<b>11.218</b>	3.019
Salários, férias e encargos a pagar		<b>12.088</b>	10.286
Recursos de subvenções	6.1	<b>312.213</b>	329.926
Recursos de convênios/projetos	6.2	<b>17.514</b>	22.454
Outras obrigações		<b>1.610</b>	1.951
		<b>354.643</b>	367.636
Não circulante			
Outras obrigações		-	1.677
Provisão para contingências		<b>103</b>	173
Receita diferida de convênios/projetos e subvenções	6.4	<b>645.247</b>	312.328
		<b>645.350</b>	314.178
Total do passivo		<b>999.993</b>	681.814
Patrimônio social		<b>164.071</b>	187.598
Total do passivo e do patrimônio social		<b>1.164.064</b>	869.412

As notas explicativas são parte integrante das demonstrações financeiras.



## Centro Nacional de Pesquisa em Energia e Materiais - CNPEM

Demonstração do superávit (déficit)

Exercícios findos em 31 de dezembro de 2017 e 2016

(Valores expressos em milhares de reais)

	Nota	2017	2016
Receitas operacionais com desenvolvimento tecnológico			
Com restrição			
Reconhecimento subvenções Federais - Projeto Sirius	6.1	32.265	25.823
Reconhecimento subvenções Federais - Projeto Biotec	6.1	1.232	1.992
Reconhecimento subvenções Federais - Projeto Sisnano	6.1	277	537
Reconhecimento receitas sobre depreciação de projetos	7	8.386	5.897
		<b>42.160</b>	34.249
Sem restrição			
Subvenções federais	6.1	54.877	83.961
Serviços prestados		1.965	1.470
Atividades administrativas		501	442
Rendimentos financeiros		7.103	5.746
		<b>64.446</b>	91.619
Resultados de convênios			
Gastos incorridos	6.2	(15.543)	(14.632)
Realização de receita de convênios		15.543	14.632
		-	-
Custos das atividades de desenvolvimento tecnológico			
Salários, encargos e despesas relacionadas	7	(66.738)	(58.871)
Depreciação e amortização	7	(13.610)	(15.319)
Serviços de terceiros	7	(9.604)	(12.558)
Material de consumo e outros	7	(7.813)	(6.518)
		<b>(97.765)</b>	(93.266)
Superávit bruto		<b>8.841</b>	32.602
Despesas operacionais			
Administrativas			
Salários, encargos e despesas relacionadas	7	(16.932)	(14.015)
Depreciação e amortização	7	(1.470)	(1.579)
Serviços de terceiros	7	(9.291)	(9.420)
Material de consumo	7	(2.757)	(1.147)
Viagens	7	(176)	(293)
		<b>(30.626)</b>	(26.454)
Despesas financeiras e tributárias			
Impostos e taxas	7	(3.178)	(2.896)
Resultado de variação cambial, líquida	7	(624)	(1.129)
Outros resultados operacionais, líquidos		2.060	399
Superávit (déficit) do exercício		<b>(23.527)</b>	2.522

As notas explicativas são parte integrante das demonstrações financeiras.

## Centro Nacional de Pesquisa em Energia e Materiais - CNPEM

Demonstração do superávit (déficit) abrangente  
Exercícios findos em 31 de dezembro de 2017 e 2016  
(Valores expressos em milhares de reais)

	<u>2017</u>	<u>2016</u>
Superávit (déficit) do exercício	<u>(23.527)</u>	<u>2.522</u>
Superávit (déficit) abrangente do exercício	<u>(23.527)</u>	<u>2.522</u>

As notas explicativas são parte integrante das demonstrações financeiras.

## Centro Nacional de Pesquisa em Energia e Materiais - CNPEM

Demonstração das mutações do patrimônio social  
Exercícios findos em 31 de dezembro de 2017 e 2016  
(Valores expressos em milhares de reais)

	<b>Patrimônio social</b>	<b>Total</b>
Saldos em 31 de dezembro de 2015	185.076	185.076
Superávit do exercício	2.522	2.522
Saldos em 31 de dezembro de 2016	187.598	187.598
Déficit do exercício	<b>(23.527)</b>	<b>(23.527)</b>
Saldos em 31 de dezembro de 2017	<b>164.071</b>	<b>164.071</b>

As notas explicativas são parte integrante das demonstrações financeiras.

## Centro Nacional de Pesquisa em Energia e Materiais - CNPEM

### Demonstração dos fluxos de caixa

Exercícios findos em 31 de dezembro de 2017 e 2016

(Valores expressos em milhares de reais)

	<b>2017</b>	<b>2016</b>
Fluxos de caixa das atividades operacionais		
Superávit (déficit) do exercício	(23.527)	2.522
Ajustes para conciliar o superávit (déficit) ao caixa gerado pelas atividades operacionais		
Rendimento sobre aplicações financeiras	(7.103)	(3.307)
Variações monetárias, líquidas	53	(2)
Variações monetárias do projeto, líquidas	572	1.131
Resultado na alienação de bens do ativo imobilizado	607	577
Provisões para contingências	(70)	(1.753)
Depreciações e amortizações	15.079	16.895
Outros ajustes que não afetam o caixa pelas atividades operacionais	516	(1.355)
	<u>(13.873)</u>	<u>14.708</u>
Variações nos ativos e passivos operacionais		
Aplicações financeiras	24.666	-
Convênios/projetos e subvenções a receber	-	259.797
Contas a receber	(134)	999
Estoques	(43)	(41)
Impostos a recuperar	-	177
Adiantamentos a fornecedores	(14)	814
Outros ativos	417	2.553
Depósitos judiciais	1.113	5.970
Fornecedores	7.574	(3.795)
Salários, férias e encargos a pagar	1.799	861
Recursos de convênios/projetos e subvenções	309.945	193.093
Contingências trabalhistas	-	(12.182)
Outras obrigações	(2.017)	260
	<u>343.306</u>	<u>448.506</u>
Fluxos de caixa líquidos, gerado pelas atividades operacionais	<u>329.433</u>	<u>463.214</u>
Fluxos de caixa das atividades de investimentos		
Adições ao imobilizado e intangível	(375.275)	(157.897)
Aplicações financeiras	-	(263.378)
Fluxos de caixa líquidos, consumidos pelas atividades de investimento	<u>(375.275)</u>	<u>(421.275)</u>
Aumento (redução) de caixa e equivalentes de caixa	<u>(45.842)</u>	<u>41.939</u>
Demonstração da variação de caixa e equivalência de caixa		
No início do exercício	67.799	25.860
No fim do exercício	21.957	67.799
Aumento (redução) de caixa e equivalentes de caixa	<u>(45.842)</u>	<u>41.939</u>

As notas explicativas são parte integrante das demonstrações financeiras.

## **Centro Nacional de Pesquisa em Energia e Materiais - CNPEM**

Notas explicativas às demonstrações financeiras

31 de dezembro de 2017 e 2016

(Valores expressos em milhares de reais)

### **1. Contexto operacional**

O Centro Nacional de Pesquisa em Energia e Materiais - CNPEM (“CNPEM” ou “Instituição”) é uma Organização Social. A denominação passou a ser utilizada em 2012, em substituição à Associação Brasileira de Tecnologia de Luz Síncrotron (“ABTLus”), pessoa jurídica de Direito Privado sem fins lucrativos, qualificada como Organização Social pelo Decreto nº 2.405, de 26 de novembro de 1997. O CNPEM tem por missão promover e contribuir para o desenvolvimento científico e tecnológico do País, por meio de seus Laboratórios Nacionais, que articulará, provendo-os das condições necessárias para a consecução de suas respectivas missões e o alcance de seus objetivos estratégicos, afins com os da Instituição.

O CNPEM atua em cumprimento ao Contrato de Gestão estabelecido com o Ministério da Ciência, Tecnologia, Inovações e Comunicações (“MCTIC”), visando o desenvolvimento de ciência, tecnologia e inovação em quatro Laboratórios Nacionais, a saber: o Laboratório Nacional de Luz Síncrotron (“LNLS”); o Laboratório Nacional de Biociências (“LNBio”); o Laboratório Nacional de Ciência e Tecnologia do Bioetanol (“CTBE”) e o Laboratório Nacional de Nanotecnologia (“LNNano”).

O mencionado Contrato de Gestão MCTIC/CNPEM suporta o custeio das atividades desenvolvidas nos quatro Laboratórios Nacionais. Os resultados esperados constituem metas pactuadas anualmente, denominados Indicadores de Desempenho Técnico, aplicáveis a todos os Laboratórios Nacionais. Esses resultados são avaliados semestralmente por uma Comissão de Acompanhamento e Avaliação, integrada por representantes qualificados na Lei nº 9.637 de 15 de maio de 1998.

Cabe registrar que o CNPEM é presentemente responsável por um inovador projeto de engenharia científica, a cargo da equipe técnico-científica do LNLS: a construção de uma nova Fonte de Luz Síncrotron (“SIRIUS”), de quarta geração, para o qual o MCTIC tem aportado recursos financeiros com destinação específica.

O Contrato de Gestão atual do CNPEM junto ao MCTIC foi firmado em setembro de 2010 contemplando o período de 2010 a 2016 e pactuado um orçamento total de R\$478.446 com desembolsos financeiros anuais, tendo o seu prazo de vigência prorrogado até setembro de 2018 por meio do 18º Termo Aditivo.

Durante o exercício de 2017, foram firmados o 17º, 18º, 19º e 20º Termos Aditivos, pactuando R\$189.382, R\$61.542, R\$85.318 e R\$51.234, respectivamente.

A emissão do parecer acerca dos resultados obtidos em 2017 pelo CNPEM, a ser emitido pela Comissão de Acompanhamento e Avaliação do Contrato de Gestão - CAACG, está prevista para março de 2018.

## **Centro Nacional de Pesquisa em Energia e Materiais - CNPEM**

Notas explicativas às demonstrações financeiras--Continuação

31 de dezembro de 2017 e 2016

(Valores expressos em milhares de reais)

### **1. Contexto operacional--Continuação**

Em 2016, o CNPEM iniciou a discussão sobre a renovação do Contrato de Gestão com o MCTIC, para mais 5 anos, para o prosseguimento dos projetos em andamento, bem como manter suas atividades. O CNPEM possui a expectativa de que o novo contrato seja formalizado no decorrer do exercício de 2018.

A emissão dessas demonstrações financeiras foi autorizada pelo Diretor Geral, em 9 de fevereiro de 2018.

### **2. Elaboração e apresentação das demonstrações financeiras**

As demonstrações financeiras foram elaboradas e estão sendo apresentadas de acordo com as práticas contábeis adotadas no Brasil, incluindo as disposições da Resolução do Conselho Federal de Contabilidade nº 1.409/12, que aprovou a Interpretação Técnica ITG 2002 - Institutos sem Finalidade de Lucros.

As práticas contábeis adotadas no Brasil compreendem aquelas incluídas na legislação societária brasileira e os pronunciamentos, as orientações e as interpretações técnicas emitidas pelo Comitê de Pronunciamentos Contábeis (CPC) e aprovados pelo Conselho Federal de Contabilidade (CFC), e evidenciam todas as informações relevantes próprias das demonstrações financeiras, e somente elas, as quais estão consistentes com as utilizadas pela administração na sua gestão.

A preparação de demonstrações financeiras em conformidade com as referidas normas requer o uso de certas estimativas contábeis críticas e também o exercício de julgamento por parte da administração da Instituição no processo de aplicação das práticas contábeis. As áreas que requerem maior nível de julgamento e possuem maior complexidade, bem como aquelas cujas premissas e estimativas são significativas para as demonstrações financeiras, estão divulgadas na nota explicativa 3.4.

## **Centro Nacional de Pesquisa em Energia e Materiais - CNPEM**

Notas explicativas às demonstrações financeiras--Continuação

31 de dezembro de 2017 e 2016

(Valores expressos em milhares de reais)

### **3. Principais práticas contábeis**

#### **3.1. Moeda funcional e de apresentação das demonstrações financeiras**

As demonstrações financeiras foram preparadas e estão apresentadas em Reais (R\$), que é a moeda funcional da Instituição. A moeda funcional foi determinada em função do ambiente econômico primário de suas operações.

#### **3.2. Moeda estrangeira**

As transações em moeda estrangeira, isto é, todas aquelas que não foram realizadas na moeda funcional da Instituição, foram convertidas pela taxa de câmbio na data em que as transações foram realizadas. Ativos e passivos monetários em moeda estrangeira são convertidos para a moeda funcional da Instituição pela taxa de câmbio na data-base das demonstrações financeiras.

#### **3.3. Instrumentos financeiros**

##### Ativos financeiros

##### *Classificação e mensuração*

Os ativos financeiros da Instituição estão classificados como empréstimos e recebíveis.

Ativos financeiros são reconhecidos inicialmente ao preço de transação, acrescidos, no caso de ativos não designados a valor justo por meio do resultado, dos custos de transação que sejam diretamente atribuíveis à aquisição do ativo financeiro. Os empréstimos e recebíveis são contabilizados pelo custo amortizado, usando o método da taxa efetiva de juros.

Os principais ativos financeiros da Instituição incluem caixa e equivalentes de caixa, aplicações financeiras, contas a receber e outros ativos.

## Centro Nacional de Pesquisa em Energia e Materiais - CNPEM

Notas explicativas às demonstrações financeiras--Continuação  
31 de dezembro de 2017 e 2016  
(Valores expressos em milhares de reais)

### 3. Principais práticas contábeis--Continuação

#### 3.3. Instrumentos financeiros--Continuação

##### Ativos financeiros--Continuação

##### *Impairment de ativos financeiros*

##### Ativos mensurados ao custo amortizado

A Instituição avalia no final de cada período do relatório se há evidência objetiva de que o ativo financeiro ou o grupo de ativos financeiros está deteriorado. Um ativo ou grupo de ativos financeiros está deteriorado e os prejuízos de *impairment* são incorridos somente se há evidência objetiva de *impairment* como resultado de um ou mais eventos ocorridos após o reconhecimento inicial dos ativos (um "evento de perda") e aquele evento (ou eventos) de perda tem um impacto nos fluxos de caixa futuros estimados do ativo financeiro ou grupo de ativos financeiros que pode ser estimado de maneira confiável.

O montante da perda por *impairment* é mensurada como a diferença entre o valor contábil dos ativos e o valor presente dos fluxos de caixa futuros estimados (excluindo os prejuízos de crédito futuro que não foram incorridos) descontados à taxa de juros em vigor original dos ativos financeiros. O valor contábil do ativo é reduzido e o valor do prejuízo é reconhecido na demonstração do superávit (déficit).

##### *Caixa e equivalente de caixa*

São representadas por dinheiro em caixa, saldos em conta corrente (bancos) e investimentos temporários de curto prazo de liquidez imediata, registradas pelos valores de custo acrescidos dos rendimentos até as datas dos balanços, que não excedem os seus valores de mercado ou de realização. Normalmente, as aplicações financeiras que, na data de sua aquisição, têm prazo de vencimento igual ou menor que três meses são registrados como equivalentes de caixa.

As disponibilidades, denominadas "sem restrição", são originadas principalmente de recursos providos pelo Ministério da Ciência, Tecnologia, Inovações e Comunicações - MCTIC, destinados ao custeio das atividades da Instituição.

As disponibilidades, denominadas "com restrição", são destinadas para desenvolvimento dos Projetos de Pesquisa e Inovação, SIRIUS, SisNano e BIOTEC.



## Centro Nacional de Pesquisa em Energia e Materiais - CNPEM

Notas explicativas às demonstrações financeiras--Continuação  
31 de dezembro de 2017 e 2016  
(Valores expressos em milhares de reais)

### 3. Principais práticas contábeis--Continuação

#### 3.3. Instrumentos financeiros--Continuação

##### Ativos financeiros--Continuação

###### *Aplicações financeiras*

São valores aplicados em CDB, Debêntures e Fundos de Renda Fixa, cujos vencimentos ocorrerão entre janeiro de 2018 a dezembro de 2019, classificadas como recebíveis e são mensuradas pelo custo amortizado por meio do resultado, possuindo liquidez imediata.

###### *Subvenções a receber*

As subvenções governamentais são reconhecidas em conformidade com o CPC 07 - Subvenção e assistência governamentais aprovada pela Resolução CFC nº 1.305/10, sendo registradas como Subvenções a receber pelo acordado em contrato até o efetivo recebimento.

A subvenção governamental relacionada a projetos é reconhecida como receita ao longo do período e confrontada com as despesas que pretende compensar, obedecendo o regime de competência de exercícios.

A subvenção governamental relacionada ao contrato de gestão é reconhecida de acordo com o regime contábil de competência de exercício, feito com base nos aditivos contratuais emitidos anualmente pelo MCTIC.

##### Passivos financeiros

###### *Classificação e mensuração de passivos financeiros*

A Instituição determina a classificação dos seus passivos financeiros no momento do seu reconhecimento inicial. Passivos financeiros são inicialmente reconhecidos a valor justo. Após reconhecimento inicial, os passivos financeiros são mensurados subsequentemente pelo custo amortizado, utilizando o método da taxa efetiva de juros. Ganhos e perdas são reconhecidos na demonstração do superávit (déficit) no momento da baixa dos passivos, bem como durante o processo de amortização pelo método da taxa efetiva de juros.

## Centro Nacional de Pesquisa em Energia e Materiais - CNPEM

Notas explicativas às demonstrações financeiras--Continuação  
31 de dezembro de 2017 e 2016  
(Valores expressos em milhares de reais)

### 3. Principais práticas contábeis--Continuação

#### 3.3. Instrumentos financeiros--Continuação

##### Passivos financeiros--Continuação

##### *Classificação e mensuração de passivos financeiros--Continuação*

Um passivo financeiro é baixado quando a obrigação for revogada, cancelada ou expirar. Quando um passivo financeiro existente for substituído por outro do mesmo montante com termos substancialmente diferentes, ou os termos de um passivo existente forem significativamente alterados, essa substituição ou alteração é tratada como baixa do passivo original e reconhecimento de um novo passivo, sendo a diferença nos correspondentes valores contábeis reconhecida na demonstração do superávit (déficit).

Os passivos financeiros da Instituição incluem contas a pagar a fornecedores e outras obrigações.

##### *Compensação de instrumentos financeiros*

Ativos e passivos financeiros são compensados e o valor líquido é apresentado no balanço patrimonial quando há um direito legal de compensar os valores reconhecidos e há a intenção de liquidá-los em uma base líquida, ou realizar o ativo e liquidar o passivo simultaneamente. O direito legal não deve ser contingente em eventos futuros e deve ser aplicável no curso normal dos negócios e no caso de inadimplência, insolvência ou falência da empresa ou da contraparte.

#### 3.4. Estimativas contábeis

São utilizadas para a mensuração e reconhecimento de certos ativos e passivos das demonstrações financeiras da Instituição. A determinação dessas estimativas levou em consideração experiências de eventos passados e correntes, pressupostos relativos a eventos futuros e outros fatores objetivos e subjetivos. Itens significativos sujeitos a estimativas incluem:

- i) A seleção de vidas úteis do imobilizado e intangível; e
- ii) A provisão para contingências.

A liquidação das transações envolvendo essas estimativas poderá resultar em valores divergentes dos registrados nas demonstrações financeiras devido às imprecisões inerentes ao processo de sua determinação. A Instituição revisa suas estimativas e premissas pelo menos anualmente.

## Centro Nacional de Pesquisa em Energia e Materiais - CNPEM

Notas explicativas às demonstrações financeiras--Continuação  
31 de dezembro de 2017 e 2016  
(Valores expressos em milhares de reais)

### 3. Principais práticas contábeis--Continuação

#### 3.5. Demais ativos e passivos, circulantes e não circulantes

##### a) Imobilizado e intangível

É registrado ao custo de aquisição, formação, construção ou aos valores atribuídos às doações patrimoniais e deduzidos da depreciação acumulada.

O valor residual e a vida útil estimada dos bens são revisados e ajustados, se necessário, na data de encerramento do exercício.

Os ativos denominados “sem restrição”, são originados principalmente de recursos providos pelo Ministério da Ciência, Tecnologia, Inovações e Comunicações - MCTIC, destinados ao custeio das atividades da Instituição.

Os ativos denominados “com restrição”, são destinados nos investimentos em desenvolvimento dos Projetos SIRIUS, SisNano e BIOTEC e Convênios.

A depreciação e a amortização são calculadas de forma linear ao longo da vida útil do ativo, às taxas que levam em consideração a vida útil estimada dos bens, estando assim em conformidade com o CPC 27.

O parágrafo 3º do artigo 183 da Lei nº 6.404/76, modificado pela Lei nº 11.638/07 e Lei nº 11.941/09, determina que a Instituição deverá efetuar, periodicamente, análise sobre a recuperação dos valores registrados no imobilizado e no intangível, a fim de que sejam registradas as perdas de valor do capital aplicado quando houver decisão de interromper os empreendimentos ou atividades a que se destinavam ou quando comprovado que não poderão produzir resultados suficientes para recuperação desse valor (*impairment*) e revisados e ajustados os critérios utilizados para determinação da vida útil econômica estimada para cálculo da depreciação e amortização.

A Administração revisa anualmente o valor contábil líquido dos ativos com o objetivo de avaliar eventos ou mudanças nas circunstâncias econômicas, operacionais ou tecnológicas, que possam indicar deterioração ou perda de seu valor recuperável. Quando tais evidências são identificadas, ou seja, o valor contábil líquido excede o valor recuperável, é constituída provisão para deterioração ajustando o valor contábil líquido ao valor recuperável.

Os ativos são agrupados e avaliados de acordo com os fluxos de caixa gerados pelo ativo ou grupo de ativos que representem uma unidade geradora de caixa independente. Uma perda é reconhecida com base no montante pelo qual o valor contábil excede o valor provável de recuperação de um ativo ou grupo de ativos de longa duração.

## Centro Nacional de Pesquisa em Energia e Materiais - CNPEM

Notas explicativas às demonstrações financeiras--Continuação  
31 de dezembro de 2017 e 2016  
(Valores expressos em milhares de reais)

### 3. Principais práticas contábeis--Continuação

#### 3.5. Demais ativos e passivos, circulantes e não circulantes--Continuação

##### b) Recursos de convênios e projetos

São recursos captados junto as agências de fomento, com destinação específica nos projetos aprovados e registrados como passivo pelo valor de contrato até a efetiva destinação dos recursos. Em seguida passam a ser mensurados com base na movimentação dos valores substancialmente relacionados a rendimentos financeiros decorrentes das aplicações dos recursos não utilizados e dos correspondentes gastos incorridos ou destinação do recurso para ativos imobilizados e intangíveis, conforme CPC 07, conforme nota explicativa 10.

##### b1.) Saldos dos recursos destinados à implantação do Projeto SIRIUS, Projeto SisNano e BIOTEC

Pela natureza dos recursos (Subvenção e assistência do Governo Federal), esses valores são tratados conforme determina o CPC 07, cuja aplicação está mencionada na nota explicativa 3.3.

O registro inicial tem contrapartida no mesmo montante no ativo de convênios/projetos e subvenções a receber. A apropriação ao superávit (déficit) do exercício ocorre nos períodos ao longo dos quais a Instituição reconhece os custos relacionados ao objeto de compensação, portanto, se destinados recursos para aquisição de imobilizado ou intangíveis, a realização da receita acompanha a vida útil dos bens adquiridos.

##### c) Outros benefícios a empregados

Os benefícios concedidos a empregados e administradores da Instituição incluem em adição à remuneração fixa (salários e contribuições para a seguridade social (INSS, férias e 13º salário), benefícios que são registrados no resultado do exercício com base em competência, à medida que são incorridos conforme determina o CPC 33 – Benefícios a Empregados, aprovado pela Resolução CFC nº 1.425/13.

##### d) Demais ativos e passivos circulantes e não circulantes

Os demais ativos e passivos circulantes e não circulantes são demonstrados pelos valores conhecidos ou calculáveis acrescidos, quando aplicável, dos correspondentes encargos, variações monetárias e/ou cambiais incorridas até a data do balanço patrimonial.

## **Centro Nacional de Pesquisa em Energia e Materiais - CNPEM**

Notas explicativas às demonstrações financeiras--Continuação  
31 de dezembro de 2017 e 2016  
(Valores expressos em milhares de reais)

### **3. Principais práticas contábeis--Continuação**

#### **3.6. Provisão para contingências**

A Instituição registra somente os processos classificados pelos assessores jurídicos como perda provável a valores atualizados (nota explicativa 12), conforme determinação do Pronunciamento Técnico CPC 25 ou NBC T 19.7 - Provisões, Passivos Contingentes e Ativos Contingentes, aprovado pela Resolução CFC nº 1.180/09, no qual as provisões são reconhecidas, pois são baseadas em estimativas confiáveis, são obrigações presentes e indicam que haverá uma saída de recursos para liquidar as obrigações.

#### **3.7. Patrimônio social**

O patrimônio social é representado pelos superávits e/ou diminuído pelos déficits apurados anualmente desde a sua fundação, sem correção monetária, conforme legislação em vigor.

Conforme estatuto social, a Instituição deve aplicar integralmente seus recursos na manutenção de seus objetivos, não podendo, como consequência, distribuir qualquer parcela de seu patrimônio ou de suas rendas a título de lucros ou de participação no seu superávit. Dessa forma, o superávit do exercício é integralmente incorporado ao patrimônio social.

#### **3.8. Demonstração do superávit (déficit)**

O resultado é apurado pelo regime de competência. As subvenções para custeio dos Projetos SIRIUS, SisNano e do BIOTEC vêm sendo contabilizadas no passivo, sendo que a transferência para o resultado do exercício ocorre com base nas despesas incorridas, seguindo as práticas contábeis adotadas no Brasil. Os gastos com pesquisas são reconhecidos quando incorridos.

As subvenções recebidas do Contrato de Gestão com o MCTIC para custeio dos Laboratórios Nacionais são reconhecidas de acordo com regime contábil de competência de exercícios feito com base o contrato entre as partes.

A metodologia para rateio dos gastos comuns aos Laboratórios Nacionais é definida e aprovada pela direção da Instituição e periodicamente é revisada e atualizada.

## Centro Nacional de Pesquisa em Energia e Materiais - CNPEM

Notas explicativas às demonstrações financeiras--Continuação

31 de dezembro de 2017 e 2016

(Valores expressos em milhares de reais)

### 3. Principais práticas contábeis--Continuação

#### 3.9. Trabalho voluntário e remuneração dos dirigentes

Para efeito de cumprimento ao ITG 2002 - Institutos sem Fins Lucrativos, a Instituição identificou e valorizou as atividades recebidas de voluntários durante o exercício de 2017 no montante de R\$124 (R\$124 em 2016). O valor justo foi estimado tendo como referência a quantidade de horas dedicadas à Instituição, multiplicado pelo custo/hora de profissionais do mercado considerando as atividades executadas semelhantes à dos voluntariados bem como seu nível de formação técnica.

A remuneração mensal dos dirigentes e empregados, com recursos do Contrato de Gestão, aprovada pelo Conselho de Administração, observa como limite máximo o que dispõe o inciso XI, do art. 37 da Constituição Federal, ou seja, salário mensal não superior a R\$33.700. O valor gasto em 2017 com a remuneração dos dirigentes em folha de pagamento foi de R\$2.725.

#### 3.10. Tributação

A Instituição goza de isenção do imposto de renda e contribuição social sobre o superávit, conforme determinado pela Lei 9.532/97. A Instituição tributa suas receitas financeiras para os seguintes impostos; PIS e COFINS, sendo 1,65% e 7,6% respectivamente.

A Instituição não tributa PIS e COFINS sobre a receita de subvenção governamental recebida, pois os recursos que são repassados para atender as obrigações do Contrato de Gestão têm natureza de repasse de recursos públicos destinados à realização de atividades e projetos, restando afastada a incidência de impostos ou contribuições, por não caracterizarem contraprestação de serviços.

### 4. Caixa e equivalentes de caixa e aplicações financeiras

	2017	2016
Caixa e equivalentes de caixa - sem restrição	21.477	67.796
Caixa e equivalentes de caixa - com restrição	480	3
<b>Caixa e equivalentes de caixa</b>	<b>21.957</b>	<b>67.799</b>
Debêntures contrato gestão	36.033	6.051
Debêntures reserva do conselho	21.230	21.023
<b>Aplicações financeiras - sem restrição</b>	<b>57.263</b>	<b>27.074</b>
Debêntures projetos	279.384	328.216
<b>Aplicações financeiras - com restrição</b>	<b>279.384</b>	<b>328.216</b>
	<b>358.604</b>	<b>423.089</b>

## Centro Nacional de Pesquisa em Energia e Materiais - CNPEM

Notas explicativas às demonstrações financeiras--Continuação

31 de dezembro de 2017 e 2016

(Valores expressos em milhares de reais)

### 4. Caixa e equivalentes de caixa e aplicações financeiras--Continuação

	<u>2017</u>	<u>2016</u>
<b>Saldos das contas do Contrato de Gestão</b>	<b>335.301</b>	<b>395.603</b>
<b>Sem restrição</b>	<b>74.763</b>	<b>91.642</b>
Disponível moeda nacional/estrangeira	28	48
Bancos conta corrente – CNPEM	5	4
Banco do Brasil - CDB - Fundos – CG	15.171	64.514
Banco do Brasil - CDB Res. Conselho	2.295	1
Banco do Brasil - Debentures – CG	36.033	6.051
Banco do Brasil - Debentures – Res. Conselho	7.053	7.702
Banco Bradesco - Debentures - Res. Conselho	14.178	13.322
<b>Com restrição</b>	<b>260.538</b>	<b>303.961</b>
Banco do Brasil - CDB – Sirius	9.930	306
Banco do Brasil - Conta corrente– Sisnano	4	506
Banco do Brasil - CDB – Biotec Lima	1.701	1.676
Banco do Brasil - Conta Corrente - Projeto Sirius Filial	-	0
Banco do Brasil - CDB – Biotec	8	2
Banco do Brasil - CDB – Sisnano	7.527	7.972
Banco do Brasil - CDB – Sirius Filial	11.652	1.548
Banco Bradesco - Debentures – CG	0	0
Banco Bradesco - Debentures – Sirius	82.431	15.040
Banco do Brasil - Debentures – Sirius	-	7.434
Banco do Brasil - Debentures – Sisnano	10.694	3.693
Banco do Brasil - Debentures – Sirius Filial	135.601	165.498
Banco do Brasil - Debentures – Biotec	990	2.191
Banco do Brasil – Fundo Renda Fixa - Sirius	-	98.095
<b>Saldos das contas de outras fontes de recurso</b>	<b>23.303</b>	<b>27.486</b>
<b>Sem restrição</b>	<b>3.978</b>	<b>3.229</b>
Banco do Brasil – EG	3.978	3.229
<b>Com restrição</b>	<b>19.325</b>	<b>24.257</b>
Bancos conta corrente - Convênios	474	575
Aplicações financeiras - Convênios	17.007	21.982
Banco Bradesco - Reserva de convênios	1.844	1.700
	<b>358.604</b>	<b>423.089</b>

## **Centro Nacional de Pesquisa em Energia e Materiais - CNPEM**

Notas explicativas às demonstrações financeiras--Continuação

31 de dezembro de 2017 e 2016

(Valores expressos em milhares de reais)

### **4. Caixa e equivalentes de caixa e aplicações financeiras--Continuação**

O caixa e equivalente de caixa estão compostos basicamente por certificados de depósitos bancários que têm prazos de vencimentos entre janeiro de 2018 e setembro de 2019 e as taxas de juros variam de 96% a 98% do CDI, possuindo liquidez imediata.

As aplicações financeiras se referem a valores aplicados em debêntures e fundos de renda fixa e tratam-se de títulos emitidos por terceiros, cujos vencimentos ocorrerão entre Outubro de 2018 a dezembro de 2019 e a remuneração é de 99% a 100,10% do CDI. As Instituições financeiras são instituições de primeira linha.

Todas as aplicações financeiras da Instituição possuem liquidez imediata, podendo ser resgatadas, dependendo simplesmente da necessidade de caixa da Instituição, motivo pelo qual estão classificadas no ativo circulante.

Em 2017, o saldo financeiro do caixa e equivalentes de caixa e aplicações financeiras foi de R\$358.604, sendo que recursos do Contrato de Gestão totalizam R\$74.763, sendo: i) R\$51.237 à recursos destinados às metas iniciadas em 2017; e ii) R\$23.526 à Reserva Técnica.

O montante disponível como Conta corrente, Debêntures, destinados ao Projeto Sirius (R\$239.615) e Sisnano (R\$18.225), demonstrado no quadro acima, destinam-se à execução da Obra da Nova Fonte de Luz Síncrotron e à aquisição de microscópios para o Laboratório de Nanotecnologia. A previsão de realização destes montantes está prevista para o primeiro semestre de 2018.



## Centro Nacional de Pesquisa em Energia e Materiais - CNPEM

Notas explicativas às demonstrações financeiras--Continuação

31 de dezembro de 2017 e 2016

(Valores expressos em milhares de reais)

### 5. Imobilizado e intangível

	Depreciação/ amortização % a.a.	Custo	Depreciação/ amortização acumulada	2017	2016
Equipamentos de pesquisa	10 a 29	134.271	(69.939)	64.332	66.979
Móveis e utensílios	10 e 15	49.332	(21.794)	27.538	29.460
Equipamentos de computação	10 a 40	8.978	(5.613)	3.365	3.452
Edifícios	4	43.385	(6.171)	37.214	37.575
Veículos	20	1.035	(391)	644	679
Obras em andamento		28	-	28	-
Imobilizado em andamento	5	1.127	-	1.127	859
Instalações e benfeitorias		330	-	330	330
Outros	10	4.650	(3.411)	1.239	1.341
<i>Impairment</i>		(3.995)	-	(3.995)	(3.490)
<b>Imobilizado sem restrição</b>		<b>239.141</b>	<b>(107.319)</b>	<b>131.822</b>	<b>137.185</b>
Equipamentos de pesquisa		66.467	(17.185)	49.282	47.794
Móveis e utensílios	10 e 15	4.368	(4.331)	37	100
Equipamentos de computação	10 a 40	3.235	(1.457)	1.778	952
Edifícios	4	17.593	(809)	16.784	7.960
Veículos	20	425	(35)	390	-
Adiantamento em andamento		63.920	-	63.920	30.912
Obras em andamento		440.093	-	440.093	200.211
Imobilizado em andamento		95.296	-	95.296	13.522
Instalações e benfeitorias		6.307	(229)	6.078	6.046
Outros	6 a 24	1.689	(499)	1.190	1.090
<i>Impairment</i>		(5.682)	-	(5.682)	(5.682)
<b>Imobilizado com restrição</b>		<b>693.711</b>	<b>(24.545)</b>	<b>669.166</b>	<b>302.905</b>
<b>Total imobilizado</b>				<b>800.988</b>	<b>440.090</b>
<i>Software sem restrição</i>	14	4.495	(2.373)	2.122	2.410
<i>Software com restrição</i>	14	1.409	(1.110)	299	436
<b>Total intangível</b>		<b>5.904</b>	<b>(3.483)</b>	<b>2.421</b>	<b>2.846</b>

## Centro Nacional de Pesquisa em Energia e Materiais - CNPEM

Notas explicativas às demonstrações financeiras--Continuação

31 de dezembro de 2017 e 2016

(Valores expressos em milhares de reais)

### 5. Imobilizado e intangível--Continuação

#### Movimentação 2017

	2016	Movimentação			2017	
		Adições	Baixas	Transferência		Doações
Equipamentos de pesquisa	192.200	4.051	(490)	3.769	1.207	200.737
Móveis e utensílios	53.059	568	(68)	125	17	53.701
Equipamentos de computação	10.702	676	(82)	755	161	12.212
Edifícios	51.758	271	-	8.949	-	60.978
Veículos	1.053	406	-	-	-	1.459
Obras em andamento	200.213	202.495	(232)	37.647	-	440.123
Imobilizado em andamento	14.383	331	(5)	81.717	-	96.426
Instalações e benfeitorias	6.471	165	-	-	-	6.636
Outros	6.054	188	(5)	98	1	6.336
Total do custo	535.893	209.151	(882)	133.060	1.386	878.608
Redução ao valor recuperável	(9.172)	-	-	-	(501)	(9.673)
Depreciação acumulada	(117.543)	(14.592)	275	(5)	-	(131.865)
	409.178	194.559	(607)	133.060	880	737.070
Adiantamento para importação	30.912	166.066	-	(133.060)	-	63.918
Total imobilizado	440.090	360.625	(607)	-	880	800.988
<i>Software</i>	5.656	49	-	-	-	5.705
Marcas e patentes	190	8	-	-	-	198
Amortização acumulada	(3.000)	(482)	-	-	-	(3.483)
Total intangível	2.846	(425)	-	-	-	2.421

A variação do saldo de imobilizado no exercício de 2017 está relacionada à construção do prédio do SIRIUS e importações de equipamentos que constituirão a Nova Fonte de Luz Síncrotron.

#### Movimentação 2016

	2015	Movimentação			2016	
		Adições	Baixas	Transferência		Doações
Equipamentos de pesquisa	160.856	13.390	(984)	-	18.938	192.200
Móveis e utensílios	52.246	329	(38)	(17)	539	53.059
Equipamentos de computação	9.316	1.270	(190)	(1)	307	10.702
Edifícios	50.736	412	-	(111)	721	51.758
Veículos	1.039	11	-	-	3	1.053
Obras em andamento	99.212	101.001	-	-	-	200.213
Imobilizado em andamento	3.217	12.422	(185)	(1.071)	-	14.383
Instalações e benfeitorias	330	343	-	128	5.670	6.471
Outros	4.745	358	(192)	1.072	71	6.054
Total do custo	381.697	129.536	(1.589)	-	26.249	535.893
Redução ao valor recuperável	-	-	-	-	(9.172)	(9.172)
Depreciação acumulada	(101.305)	(17.250)	1.012	-	-	(117.543)
	280.392	112.286	(577)	-	17.077	409.178
Adiantamento para importação	17.562	28.224	-	(14.874)	-	30.912
Total imobilizado	297.954	140.510	(577)	(14.874)	17.077	440.090
<i>Software</i>	5.455	138	-	-	64	5.657
Marcas e patentes	190	-	-	-	-	190
Amortização acumulada	(2.344)	(671)	14	-	-	(3.001)
Total intangível	3.301	(533)	14	-	64	2.846

## Centro Nacional de Pesquisa em Energia e Materiais - CNPEM

Notas explicativas às demonstrações financeiras--Continuação

31 de dezembro de 2017 e 2016

(Valores expressos em milhares de reais)

### 5. Imobilizado e intangível--Continuação

#### Bens recebidos em comodato

Os bens que formam o Laboratório Nacional de Luz Síncrotron (edifícios, equipamentos, etc.) foram basicamente cedidos para uso do CNPEM pelo MCTIC/CNPq, por meio do Contrato de Gestão mencionado na nota explicativa 1 e, portanto, não estão contemplados nestas demonstrações financeiras.

As cessões dos comodatos abaixo representam o volume de recursos aplicados em bens aguardando encerramento do processo de doação por parte de agências de fomento:

	<u>2017</u>	<u>2016</u>
Bens cedidos pelo MCT/CNPq por meio do contrato de gestão	<b>2.360</b>	2.360
Bens cedidos pela Fundação CPqD - Centro de Pesquisas e Desenvolvimento em Telecomunicações	<b>155</b>	155
Bens em comodato/convênios/contrato gestão	<b>3.508</b>	1.757
Bens sob responsabilidade auxílio Individual	<b>3.606</b>	1.931
	<b><u>9.629</u></b>	<b><u>6.203</u></b>

Os terrenos nos quais estão instaladas a matriz do CNPEM e sua filial SIRIUS é de propriedade do Governo do Estado de São Paulo. O terreno da matriz foi declarado de utilidade pública pelo Processo nº 30.135, de 12 de julho de 1989, publicado no Diário Oficial do Estado de São Paulo em 13 de julho de 1989. Durante o exercício de 2010, o Governo do Estado de São Paulo emitiu o "Termo de Permissão de Uso de Próprio da Fazenda do Estado de São Paulo, na conformidade do Decreto nº 55.359, de janeiro de 2010" por tempo indeterminado. A permissão de uso do terreno da Filial foi registrada no Decreto nº 61.002 de 18 de dezembro de 2014, publicado no Diário Oficial do Estado de São Paulo, a título precário e gratuito e por prazo indeterminado.

### 6. Recursos de convênios/projetos e subvenções

#### 6.1. Movimentação das subvenções

	<u>Movimentação das subvenções</u>						
	<u>2016</u>	Recursos recebidos	Rendimento de aplicação financeira	Aquisições de imobilizado	Baixa de receita diferida por outras realizações	Realização da Receita	<u>2017</u>
Projeto em execução do Sirius	315.514	<b>325.934</b>	<b>17.680</b>	<b>(333.970)</b>	-	<b>(32.264)</b>	<b>292.894</b>
Projeto em execução do Biotec	2.193	-	<b>149</b>	<b>(3)</b>	-	<b>(1.232)</b>	<b>1.107</b>
Projeto em execução do Sisnano	12.219	<b>6.664</b>	<b>953</b>	<b>(1.347)</b>	<b>118</b>	<b>(395)</b>	<b>18.212</b>
	<b>329.926</b>	<b>332.598</b>	<b>18.782</b>	<b>(335.320)</b>	<b>118</b>	<b>(33.891)</b>	<b>312.213</b>
Subvenção do contrato de gestão (operação)	-	<b>54.877</b>	-	-	-	<b>(54.877)</b>	-

## Centro Nacional de Pesquisa em Energia e Materiais - CNPEM

Notas explicativas às demonstrações financeiras--Continuação

31 de dezembro de 2017 e 2016

(Valores expressos em milhares de reais)

### 6. Recursos de convênios/projetos e subvenções--Continuação

#### 6.1. Movimentação das subvenções--continuação

As aquisições de imobilizado no valor de R\$335.320 referem-se aos ativos adquiridos no exercício de 2017, os quais são reclassificados para o não circulante, conforme demonstrado na nota explicativa 6.4, sendo posteriormente reconhecida a sua receita mediante a depreciação desses ativos.

#### 6.2. Mapa de movimentação dos convênios

	2016	Recursos recebidos	Rendimento de aplicação financeira	Constituição de receita diferida	Gastos incorridos	2017
Convênio CTBE BNDES Jacto	420	-	22	(93)	(80)	269
Convênio FINEP PACMAN	2.325	1.761	128	(62)	(1.039)	3.113
Convênio FINEP INFRAPEM	39	-	-	(36)	(3)	-
Convênio BNDES LIMA	2.569	-	223	(1)	(12)	2.779
Convênio MS SICONV LIMA	5.107	-	255	(2.146)	(449)	2.767
Convênio FMC FSW CLAD	441	-	28	(14)	(28)	427
Convênio EMBRAPII	187	511	29	(473)	(2)	252
Convênio FINEP ELI LILLY	623	-	40	(2)	(78)	583
Convênio ENZIMAS RAMIFICADAS-BRK	11	-	-	(10)	(1)	-
Convênio PNUD SUCRE	1	8.531	-	(3.732)	(4.797)	3
Convênio DOW DSM	5.461	3.000	351	(1.152)	(5.211)	2.449
Petrobrás CO2	617	-	47	(52)	(112)	500
Petrobrás FSW 4	1.768	94	69	(156)	(840)	935
Convênios BNDES MAHLE	430	-	19	(47)	(371)	31
Convênios LNBio GRANT U E	29	205	1	3	(238)	-
Petrobrás SAP	183	196	7	(117)	(269)	-
Petrobrás E-Tong	125	544	13	(26)	(281)	375
Finep Idcoloff	172	-	4	(108)	(68)	-
DNDI	52	-	1	(2)	(51)	-
Boticário	105	300	17	(51)	(147)	224
Petrobras Dutos	253	-	14	(37)	(148)	82
Embrapii Mahle	285	108	16	(24)	(232)	153
Gras - BRK	-	41	1	(1)	(41)	-
Gras Embrapii	-	37	1	(1)	(37)	-
Comp Line	-	44	1	(5)	(27)	13
Comp Nano	-	88	2	(6)	(67)	17
Mahle CTBE	567	371	36	(19)	(297)	658
Convênio FINEP DTMX2	116	-	2	(116)	(2)	-
Max Planck	4	-	-	-	(2)	2
Sibratec Nano Fe+_Omnis	6	-	-	-	-	6
Escalonamento BRK CTBE	-	185	2	-	(186)	1
Embrapii BRKOMP Nano	-	147	3	(150)	-	-
Nanocomposito	-	255	4	(19)	(47)	193
Conicet	-	379	5	-	(2)	382
MPH Embrapii Dermocosméticos	-	63	-	(6)	(37)	20
MPH Embrapii Anticancer	-	118	1	(8)	(18)	93
MPH Dermocosméticos	-	90	1	(6)	(7)	78
MPH Anticancer	-	160	-	(12)	(2)	146
Finep IEAB	-	460	-	-	-	460
Outros convênios	558	218	30	11	(314)	503
	<b>22.454</b>	<b>17.906</b>	<b>1.373</b>	<b>(8.676)</b>	<b>(15.543)</b>	<b>17.514</b>

## Centro Nacional de Pesquisa em Energia e Materiais - CNPEM

Notas explicativas às demonstrações financeiras--Continuação  
31 de dezembro de 2017 e 2016  
(Valores expressos em milhares de reais)

### 6. Recursos de convênios/projetos e subvenções--Continuação

#### 6.2. Mapa de movimentação dos convênios--continuação

Constituição de receita diferida - Se refere a movimentações dos Convênios sendo composta basicamente por contas patrimoniais que não afetam o caixa, baixa e a realização do convênio por aquisição de imobilizado FINEP.

Gastos incorridos - Se refere a todas as despesas de convênios no período que afetam o fluxo de caixa de cada contrato, sendo este, recurso monetário efetivamente utilizado pelo convênio, o qual foi reconhecido no resultado do exercício.

#### 6.3. Movimentação das subvenções governamentais

	Movimentação das subvenções a receber			2017
	2016	Adição de contratos e aditivos	Recursos recebidos	
Projeto em execução do Sirius	-	325.934	(325.934)	-
Projeto em execução do Sisnano	-	6.664	(6.664)	-
Recursos de projetos	-	332.598	(332.598)	-

#### 6.4. Movimentação receita diferida

	Movimentação receita diferida 2017					2017
	2016	Ativações	Impairment	Realização da receita diferida por depreciação e amortização	Outros	
Receita diferida ativos Sirius	242.475	333.970	-	(1.944)	(998)	573.503
Receita diferida ativos Sisnano	22.983	1.347	-	(1.520)	88	22.898
Receita diferida ativos BIOTEC	2.081	2	-	(88)	1	1.996
Receita diferida ativos convenio	33.733	4.915	(71)	(2.166)	(586)	35.825
Receita diferida ativo Contrato de Gestão	11.056	1.353	(396)	(966)	(22)	11.025
	312.328	341.587	(467)	(6.684)	(1.517)	645.247

##### a) Recursos de convênios

A Instituição possui diversos projetos de pesquisa vinculada às empresas, agências de fomentos e/ou bancos. Para isso, os instrumentos reguladores são firmados mediante Acordo de Cooperação ou Convênios entre as partes, com base em um plano de trabalho e um cronograma de desembolso específico ao projeto, que pode ou não

## Centro Nacional de Pesquisa em Energia e Materiais - CNPEM

Notas explicativas às demonstrações financeiras--Continuação  
31 de dezembro de 2017 e 2016  
(Valores expressos em milhares de reais)

### 6. Recursos de convênios/projetos e subvenções--Continuação

haver contrapartida financeira do CNPEM, sendo que no fim do convênio é feita a prestação de contas ao parceiro.

#### a) Recursos de convênios--continuação

Em 31 dezembro de 2017, os principais parceiros da Instituição são Programa das Nações Unidas para o Desenvolvimento - PNUD, Banco Nacional de Desenvolvimento - BNDES, FINEP, Ministério da Saúde, DOW DSM, EMBRAPII, Petrobrás, entre outros.

Durante o exercício de 2017, foram recebidas doações patrimoniais dos convênios que correspondem a equipamentos para pesquisas e outros fins relacionados à atividade da Instituição, no montante de R\$17.077, conforme descrito na nota explicativa 7.

#### b) Recursos de projetos

##### *SIRIUS*

Os recursos contratados estão destinados, em sua maioria, à execução do Projeto Sirius, à nova Fonte de Luz Síncrotron de quarta geração, planejada para ser uma das mais avançadas do mundo.

Os valores apresentados na nota explicativa 6.3 acima representam a diferença entre o saldo de orçamentos pactuados em exercícios anteriores, os rendimentos financeiros e o montante orçamentário executado deste projeto, além dos recursos firmado por meio dos 17º, 19º e 20º termos aditivos ao Contrato de Gestão, no montante de R\$189.382, R\$85.318 e R\$51.234, respectivamente.

##### *SisNano*

Os recursos destinados a este projeto serão utilizados na aquisição de equipamentos para implantação da nova instalação do LNNano, viabilizando a realização das linhas de pesquisa previstas para o Laboratório de Referência do SisNano. Para 2017, o recurso do projeto foi firmado no 18º Termo Aditivo ao Contrato de Gestão, no montante de R\$6.664.

##### *BIOTEC*

Este projeto tem por objetivo a criação de uma infraestrutura laboratorial destinada à geração de linhagens celulares e bancos de células produtoras de proteínas

## Centro Nacional de Pesquisa em Energia e Materiais - CNPEM

Notas explicativas às demonstrações financeiras--Continuação

31 de dezembro de 2017 e 2016

(Valores expressos em milhares de reais)

### 6. Recursos de convênios/projetos e subvenções--Continuação

recombinantes. Em 2017, não foram contratados novos recursos e o projeto apenas deu continuidade às suas atividades, de acordo com o cronograma estabelecido.

c) Subvenção de contrato de gestão

O contrato de gestão firmado entre o CNPEM e MCTIC é destinado para o custeio das atividades desenvolvidas nos Laboratórios Nacionais e seu resultado é medido anualmente, por meio de indicadores de desempenhos técnicos.

Os valores apresentados no passivo não circulante se referem a receita diferida registrada em contrapartida dos ativos imobilizado e intangível adquiridos para os respectivos projetos, os quais são depreciados/amortizados de acordo com a vida útil dos respectivos bens e direitos adquiridos.

### 7. Custos e despesas com e sem restrição

<b>Despesas com atividades de desenvolvimento tecnológico com e sem restrição</b>		
	<b>2017</b>	<b>2016</b>
<b>PROJETO SIRIUS</b>		
Salários, encargos e despesas relacionadas	25.974	17.762
Depreciação e amortização	1.944	1.662
Realização de receita diferida ativos doados	(1.944)	(1.662)
Realização de receita diferida por baixa	(1.144)	-
Serviços de terceiros	2.046	1.725
Material de consumo e outros	2.342	3.248
	<b>29.218</b>	<b>22.735</b>
Impostos e taxas	1.034	1.905
Outras despesas operacionais, líquidas	297	-
Resultado variação cambial, líquida	572	1.183
	<b>1.903</b>	<b>3.088</b>
	<b>31.121</b>	<b>25.823</b>
<b>PROJETO SISNANO</b>		
Depreciação e amortização	1.520	1.512
Realização de receita diferida ativos doados	(1.520)	(1.512)
Serviços de terceiros	62	105
Material de consumo e outros	253	225
	<b>315</b>	<b>330</b>
Impostos e taxas	78	64
Resultado variação cambial, líquida	2	143
	<b>80</b>	<b>207</b>
	<b>395</b>	<b>537</b>

## Centro Nacional de Pesquisa em Energia e Materiais - CNPEM

Notas explicativas às demonstrações financeiras--Continuação

31 de dezembro de 2017 e 2016

(Valores expressos em milhares de reais)

### 7. Custos e despesas com e sem restrição--Continuação

	<b>2017</b>	<b>2016</b>
<b>PROJETO BIOTEC</b>		
Salários, encargos e despesas relacionadas	1.135	1.617
Depreciação e amortização	88	106
Realização de receita diferida ativos doados	(88)	(106)
Serviços de terceiros	49	42
Material de consumo e outros	42	278
	<b>1.226</b>	<b>1.937</b>
Impostos e taxas	8	44
Resultado variação cambial, líquida	(2)	11
	<b>6</b>	<b>55</b>
	<b>1.232</b>	<b>1.992</b>
<b>CONVÊNIO</b>		
Gastos incorridos	15.543	14.632
Realização de receita diferida sobre gastos incorridos	(15.543)	(14.632)
	-	-
<b>OPERAÇÃO</b>		
Salários, encargos e despesas relacionadas	56.561	53.507
Depreciação e amortização	11.528	13.618
Realização de receita diferida ativos doados	(3.690)	(2.617)
Serviços de terceiros	16.738	20.106
Material de consumo e outros	8.109	4.207
	<b>89.246</b>	<b>88.821</b>
Impostos e taxas	2.058	883
Outras despesas operacionais, líquidas	409	-
Resultado variação cambial, líquida	52	(208)
	<b>2.519</b>	<b>675</b>
	<b>91.765</b>	<b>89.496</b>
<b>TOTAL</b>		
Salários, encargos e despesas relacionadas	83.670	72.886
Depreciação e amortização	15.080	16.898
Realização de receita diferida ativos doados	(8.386)	(5.897)
Serviços de terceiros	18.895	21.978
Material de consumo e outros	10.746	7.958
	<b>120.005</b>	<b>113.823</b>
Impostos e taxas	3.178	2.896
Outras despesas operacionais, líquidas	706	-
Resultado variação cambial, líquida	624	1.129
	<b>4.508</b>	<b>4.025</b>
	<b>124.513</b>	<b>117.848</b>



## **Centro Nacional de Pesquisa em Energia e Materiais - CNPEM**

Notas explicativas às demonstrações financeiras--Continuação  
31 de dezembro de 2017 e 2016  
(Valores expressos em milhares de reais)

### **8. Plano de previdência privada**

A Instituição disponibiliza para 100% de seus colaboradores um plano de previdência privada por contribuição definida (BrasilPrev), com o objetivo de complementação da previdência oficial. No ato da aposentadoria, o participante poderá optar pelo benefício da aposentadoria ou pelo resgate do saldo alcançado na composição do seu fundo.

O plano tem participação da Instituição e dos seus colaboradores na formação do fundo, por meio de contribuições mensais regulares e podendo o colaborador realizar aportes adicionais a qualquer tempo.

O plano prevê rentabilidade garantida do Índice Geral de Preços do Mercado (IGP-M/FGV), acrescido de 6% ao ano, e taxa de carregamento de 3% sobre o valor das contribuições mensais.

O montante das contribuições no exercício de 2017 foi de R\$2.159 (R\$2.928 em 2016).

### **9. Instrumentos financeiros**

Os valores contábeis referentes aos instrumentos financeiros constantes no balanço patrimonial consistiam basicamente de caixa e equivalente de caixa e aplicações financeiras (conforme nota explicativa 4). A Instituição não possui empréstimos com terceiros.

#### Risco de crédito

O risco de crédito é administrado pela Instituição. O risco de crédito decorre de caixa e equivalentes e depósitos em instituições financeiras. Para as instituições financeiras, são aceitos somente títulos de entidades de primeira linha no mercado.

#### Risco de mercado

O risco cambial decorre das importações em moeda estrangeira realizadas pela Instituição, para os projetos em andamento. Durante os exercícios findos em 31 de dezembro de 2017 e 2016, a Instituição não realizou operações com derivativos.

#### Risco de liquidez

A previsão de fluxo de caixa é realizada pela Instituição e monitorada pelo Departamento financeiro. Este Departamento monitora as previsões contínuas das exigências de liquidez da Instituição para assegurar que ele tenha caixa suficiente para atender às necessidades operacionais.

## **Centro Nacional de Pesquisa em Energia e Materiais - CNPEM**

Notas explicativas às demonstrações financeiras--Continuação  
31 de dezembro de 2017 e 2016  
(Valores expressos em milhares de reais)

### **9. Instrumentos financeiros--Continuação**

A Instituição investe o excesso de caixa em aplicações financeiras e debêntures, escolhendo instrumentos com vencimentos apropriados ou liquidez suficiente para fornecer margem suficiente conforme determinado pelas previsões acima mencionadas.

### **10. Cobertura de seguros (não auditado)**

A Instituição contratou cobertura de seguros para os bens sujeitos a riscos, por montantes considerados suficientes para cobrir eventuais sinistros, considerando a natureza de sua atividade.

As premissas de riscos adotadas, dada a sua natureza, não fazem parte do escopo de uma auditoria das demonstrações financeiras e, conseqüentemente, não foram examinadas pelos nossos auditores independentes.

Em 31 de dezembro de 2017, a apólice de seguro da Instituição totaliza R\$260.000, sendo as principais coberturas contra eventos de qualquer natureza, incluindo danos materiais e de responsabilidade civil de R\$120.000.

### **11. Avais, fianças e garantias**

A Instituição não prestou garantias e não possuía quaisquer transações como interveniente garantidora em 31 de dezembro de 2017 e 2016.

### **12. Eventos subsequentes**

Em dezembro de 2017 o MCTIC empenhou R\$19.900 ao CNPEM por meio do 21º Termo Aditivo do Contrato de Gestão, a assinatura deste aditivo ocorreu em janeiro de 2018.